

UNIVERSIDADE DE SÃO PAULO  
FACULDADE DE ECONOMIA, ADMINISTRAÇÃO E CONTABILIDADE DE  
RIBEIRÃO PRETO  
DEPARTAMENTO DE CONTABILIDADE  
PROGRAMA DE PÓS-GRADUAÇÃO EM CONTROLADORIA E CONTABILIDADE

LUCAS JOSÉ MACHADO DOS SANTOS

**Relação das emissões de gases de efeito estufa com variáveis contábeis conforme hipótese  
da curva ambiental de Kuznets**

ORIENTADORA: PROFA. DRA. MAISA DE SOUZA RIBEIRO

RIBEIRÃO PRETO

2022

**Prof. Dr. Carlos Gilberto Carlotti Junior**  
Reitor da Universidade de São Paulo

**Prof. Dr. Fábio Augusto Reis Gomes**  
Diretor da Faculdade de Economia, Administração e Contabilidade de Ribeirão Preto

**Prof. Dr. Marcelo Botelho da Costa Moraes**  
Coordenador do Programa de Pós-Graduação em Controladoria e Contabilidade

**Prof. Dr. Carlos Alberto Grespan Bonacim**  
Chefe do Departamento de Contabilidade

**LUCAS JOSÉ MACHADO DOS SANTOS**

Relação das emissões de gases de efeito estufa com variáveis contábeis conforme hipótese da  
curva ambiental de Kuznets

Tese apresentada ao Programa de Pós-Graduação  
em Controladoria e Contabilidade da Faculdade de  
Economia, Administração e Contabilidade de  
Ribeirão Preto da Universidade de São Paulo, como  
parte dos requisitos para a obtenção do título de  
Doutor em Ciências. Versão Corrigida. A original  
encontra-se disponível na FEA-RP/USP

ORIENTADORA: PROFA. DRA MAISA DE SOUZA RIBEIRO

RIBEIRÃO PRETO

2022

Autorizo a reprodução e divulgação total ou parcial deste trabalho, por qualquer meio convencional ou eletrônico, para fins de estudo e pesquisa, desde que citada a fonte.

SANTOS, Lucas José Machado dos Santos  
Relação das emissões de gases de efeito estufa com variáveis contábeis  
conforme hipótese da curva ambiental de Kuznets. Ribeirão Preto, 2022.

180 p.; il.; 30 cm

Tese de Doutorado, apresentada à Faculdade de Economia, Administração e Contabilidade de Ribeirão Preto. Área de concentração: Controladoria e Contabilidade.

Orientadora: Profa. Dra. Ribeiro, Maísa de Souza.

1. Curva Ambiental de Kuznets. 2. Emissões de Gases de Efeito Estufa. 3. Variáveis Contábeis.

## **FICHA DE APROVAÇÃO**

Nome: Santos, Lucas José Machado dos.

Título: Relação das emissões de gases de efeito estufa com variáveis contábeis conforme hipótese da curva ambiental de Kuznets

Tese apresentada ao Programa de Pós-Graduação em Controladoria e Contabilidade da Faculdade de Economia, Administração e Contabilidade de Ribeirão Preto da Universidade de São Paulo, para obtenção do título de Doutor em Ciências.

Aprovada em:

Banca Examinadora

Prof. Dr. \_\_\_\_\_ Instituição: \_\_\_\_\_

Julgamento \_\_\_\_\_ Assinatura: \_\_\_\_\_

Prof. Dr. \_\_\_\_\_ Instituição: \_\_\_\_\_

Julgamento \_\_\_\_\_ Assinatura: \_\_\_\_\_

Prof. Dr. \_\_\_\_\_ Instituição: \_\_\_\_\_

Julgamento \_\_\_\_\_ Assinatura: \_\_\_\_\_

Prof. Dr. \_\_\_\_\_ Instituição: \_\_\_\_\_

Julgamento \_\_\_\_\_ Assinatura: \_\_\_\_\_

Prof. Dr. \_\_\_\_\_ Instituição: \_\_\_\_\_

Julgamento \_\_\_\_\_ Assinatura: \_\_\_\_\_

Dedico este trabalho a Deus e a Cristo, em primeiro lugar.  
Para toda minha família, meu principal suporte em minha vida.  
Para minha esposa e companheira, pela sua paciência e grande ajuda.

## **AGRADECIMENTOS**

Agradeço primeiramente a Deus, Cristo e Nossa Senhora, pois sem eles não seria possível essa jornada.

A toda minha família, pai, mãe, avós, irmão, tias e tios, primas e primos por serem parte da formação de meu caráter, educação e ideais.

À minha esposa que foi paciente e me ajudou a superar mais esta etapa da vida e sem ela teria sido mais difícil. Assim como a toda a sua família, exemplo de superação, determinação e caráter.

À minha excelente orientadora Prof. Dra. Maísa de Souza Ribeiro, mais que orientadora, uma mãe na minha formação profissional, que soube com maestria me direcionar neste trabalho.

Aos membros da banca que contribuíram pertinentemente para a melhoria e qualidade do trabalho.

A todos os funcionários da FEA USP-RP que contribuem para que instituição mantenha sua excelência em ensino e formação de profissionais altamente reconhecidos pela sociedade.

Aos meus amigos e companheiros, que me ajudaram a superar as dificuldades indireta ou diretamente.

*“A humildade é a única base sólida de todas as virtudes”.* (Confúcio)

*“O topo da inteligência é alcançar a humildade”.*

*“Quanto maiores somos em humildade, tanto mais próximos estamos da grandeza”*  
*(Rabindranath Tagore).*

# **RELAÇÃO DAS EMISSÕES DE GASES DE EFEITO ESTUFA COM VARIÁVEIS CONTÁBEIS CONFORME HIPÓTESE DA CURVA AMBIENTAL DE KUZNETS**

## **RESUMO**

Identificar, mensurar e divulgar os riscos e oportunidades que surgem da relação entre as operações das entidades com o meio ambiente, poderá ajudar a subsidiar os usuários dos relatórios financeiros com informações que apoiem suas avaliações sobre a criação de valor empresarial e o fornecimento de recursos às entidades. Considerando que as atividades das entidades são refletidas e representadas em suas demonstrações contábeis-financeiras, o objetivo deste trabalho é analisar a relação das emissões de gases de efeito estufa com o resultado operacional das entidades e as variáveis contábeis intangível líquido, amortização, imobilizado líquido, depreciação e pesquisa e desenvolvimento, considerando a curva ambiental de Kuznets. A amostra é composta por 682 empresas de 40 países pertencentes a 11 setores diferentes, que divulgaram suas emissões de gases de efeito estufa do escopo 1 durante o período de 2012 a 2019 na base de dados da Thomson Reuters Refinitiv Eikon. A base de dados é analisada com todas as empresas e em seguida agrupando-as por países (desenvolvidos e em desenvolvimento), por setor de atuação econômica (primário-secundário e terciário) e por ciclo de vida do fluxo de caixa (introdução-crescimento, maturidade e turbulência-declínio). Os resultados encontrados pela regressão em painel, para as empresas pertencentes ao setor primário-secundário e para as classificadas no grupo de países desenvolvidos, apontam que há uma relação das emissões de gases de efeito estufa conforme prevista pela Hipótese Curva Ambiental de Kuznets (HCAK) em que tais emissões desenham, graficamente, uma curva em “U” invertida, onde pelo efeito escala, há um aumento das emissões de gases de efeito estufa à medida que o resultado operacional da entidade vai aumentando, porém, pelo efeito composição conforme as empresas utilizam maior quantidade de intangível líquido e menos imobilizado líquido suas emissões são menores e, por fim, pelo efeito tecnológico, empresas que possuem maiores gastos com pesquisa e desenvolvimento emitem menos gases de efeito estufa.

**Palavras-Chave:** Curva Ambiental de Kuznets, Emissões de Gases de Efeito Estufa, Variáveis Contábeis

# **RELATIONSHIP OF GREENHOUSE GAS EMISSIONS WITH ACCOUNTING VARIABLES ACCORDING TO THE ENVIRONMENTAL KUZNETS CURVE HYPOTHESIS**

## **ABSTRACT**

Identify, measure and disclose the risks and opportunities that arise from the relationship between the entity's operations and the environment, can help to subsidize users of financial reports with information that supports their assessments on the creation of business value and the provision of resources to entities. Considering that the activities of entities are reflected and represented in their accounting and financial statements, the objective of this work is to analyze the relationship of greenhouse gas emissions with the operating result of entities and the accounting variables net intangible, amortization, net fixed assets, depreciation and research and development, considering the Kuznets environmental curve. The sample is composed of 682 companies from 40 countries belonging to 11 different sectors, which disclosed their Scope 1 greenhouse gas emissions during the period from 2012 to 2019 in the Thomson Reuters Refinitiv Eikon database. The database is analyzed with all companies and then grouped by countries (developed and developing), by economic activity sector (primary-secondary and tertiary) and by cash flow life cycle (introduction-growth, maturity and turbulence-decline). The results found by panel regression, for companies belonging to the primary-secondary sector and for those classified in the group of developed countries, indicate that there is a relationship of greenhouse gas emissions as predicted by the Kuznets Environmental Curve Hypothesis (HCAK) in which such emissions graphically draw an inverted "U" curve, where due to the scale effect, there is an increase in greenhouse gas emissions as the entity's operating result increases, however, due to the composition effect according to the companies they use a greater amount of net intangible assets and less net fixed assets, their emissions are lower and, finally, due to the technological effect, companies that spend more on research and development emit less greenhouse gases.

**Keywords:** Environmental Kuznets Curve, Greenhouse Gas Emissions, Accounting Variables

## LISTA DE QUADROS

|  |    |
|--|----|
| Quadro 1:Definições das emissões por escopo.....   | 22 |
| Quadro 2: Resumo das hipóteses do trabalho.....  | 34 |
| Quadro 3:Taxonomia da produção primária, secundária e terciária por ramo de atividade econômica..... | 36 |
| Quadro 4:Classificações dos setores de produção econômica.....                                       | 37 |
| Quadro 5:Classificação em estágios do ciclo de vida de acordo com o modelo de Dickinson (2011) ..... | 40 |
| Quadro 6: Dados da amostra base principal .....  | 43 |
| Quadro 7:Detalhamento da fonte das variáveis utilizadas .....  | 44 |
| Quadro 8: Quantidade de períodos e anos divulgados .....   | 45 |
| Quadro 9: Estatística descritiva após winsorização.....  | 46 |
| Quadro 10: Grupos por setores de produção econômica .....  | 47 |
| Quadro 11: Grupos por setores de produção econômica .....  | 48 |
| Quadro 12: Quantidade de países por grupo. ....  | 48 |
| Quadro 13: Amostra agrupada por países. ....   | 49 |
| Quadro 14: Amostra conforme classificação pelo ciclo de vida .....                                   | 50 |
| Quadro 15: Distribuição por países .....   | 50 |
| Quadro 16: Resultado regressão em painel para a base principal da amostra.....                       | 52 |
| Quadro 17: Resumo dos resultados da regressão em painel para a base principal da amostra             | 52 |
| Quadro 18: Estatística descritiva por setor e testes de diferenças mediana e média. ....             | 54 |
| Quadro 19: Montante de EGEE por total de ativos de cada setor. ....                                  | 56 |
| Quadro 20: Resultado regressão em painel para setor primário-secundário. ....                        | 57 |
| Quadro 21: Resumo dos resultados da regressão em painel para setor primário-secundário...            | 58 |
| Quadro 22: Resultado regressão em painel para setor terciário .....                                  | 59 |
| Quadro 23: Resumo dos resultados da regressão em painel para setor terciário.....                    | 60 |
| Quadro 24: Estatística descritiva por país e testes de diferenças mediana e média. ....              | 60 |
| Quadro 25: Resultado regressão em painel para países desenvolvidos .....                             | 62 |
| Quadro 26: Resumo dos resultados da regressão em painel para países desenvolvidos .....              | 62 |
| Quadro 27: Resultado regressão de dados empilhados MQO para países em desenvolvimento. ....          | 64 |
| Quadro 28: Resumo dos resultados da regressão em painel para países em desenvolvimento.              | 64 |
| Quadro 29: Teste de mediana U de Mann-Whitney entre grupos pelo ciclo de vida.....                   | 65 |

|   |    |
|---|----|
| Quadro 30: Teste de média t-Student entre grupos pelo ciclo de vida .....                   | 66 |
| Quadro 31: Resultado regressão de dados empilhados MQO para ciclo de vida maturidade..      | 69 |
| Quadro 32: Resumo dos resultados da regressão para ciclo de vida maturidade .....           | 69 |
| Quadro 33: Resultado regressão em painel para painel ciclo de vida turbulência-declínio.... | 71 |
| Quadro 34: Resumo dos resultados da regressão em painel ciclo de vida turbulência-declínio. | 71 |
| .....   | 71 |
| Quadro 35: Resumo dos resultados encontrados .....  | 74 |

## **LISTA DE GRÁFICOS**

|   |    |
|---|----|
| Gráfico 1: Resumo dos resultados da regressão em painel para a base principal da amostra ...  | 18 |
| Gráfico 2: Representação da HCAK para as entidades da base principal da amostra.....  | 54 |
| Gráfico 3: Características das variáveis contábeis em cada setor. ....  | 55 |
| Gráfico 4: Emissões de gases de efeito estufa em cada setor.....  | 56 |
| Gráfico 5: Características das variáveis contábeis por grupo de países. ....  | 61 |
| Gráfico 6: Comportamento das variáveis contábeis nas fases de ciclo de vida .....   | 67 |
| Gráfico 7: Comportamento das variáveis contábeis nas fases de ciclo de vida .....   | 68 |
| Gráfico 8: Representação da relação entre emissões de gases de efeito estufa com variáveis contábeis conforme HCAK para a base principal da amostra, setor primário-secundário e países desenvolvidos. .... | 73 |
| Gráfico 9: Representação da relação entre emissões de gases de efeito estufa com variáveis contábeis conforme HCAK para empresas do grupo setor terciário. ....   | 75 |
| Gráfico 10: Representação da relação entre emissões de gases de efeito estufa com variáveis contábeis conforme HCAK para empresas do grupo de países em desenvolvimento.....                                | 77 |
| Gráfico 11: Representação da relação entre emissões de gases de efeito estufa com variáveis contábeis conforme HCAK para empresas do grupo de maturidade.....   | 79 |

## **LISTA DE EQUAÇÕES**

|   |    |
|---|----|
| Equação 1: Modelo de regressão padrão da HCAK .....   | 27 |
| Equação 2: Modelo de estimativa empírica de HCAK..... | 28 |
| Equação 3: Modelo Proposto.....                       | 43 |

## SUMÁRIO

|  |     |
|--|-----|
| <b>Introdução .....</b>  | 14  |
| <b>Problema de pesquisa.....</b>   | 20  |
| <b>Objetivo Geral .....</b>  | 20  |
| <b>Objetivos Específicos.....</b>  | 20  |
| <b>2. Referencial Teórico .....</b>  | 21  |
| <b>2.1. Emissões de gases de efeito estufa .....</b>                                     | 21  |
| <b>2.2. Curva Ambiental de Kuznets.....</b>  | 24  |
| <b>2.3. Relação das atividades operacionais das entidades com os impactos ambientais</b> |     |
| <b>29</b>  |     |
| <b>2.4. Características dos setores econômicos de produção e suas classificações em</b>  |     |
| <b>primário, secundário e terciário .....</b>  | 35  |
| <b>2.5. Relação da curva ambiental de Kuznets com o desenvolvimento dos países .....</b> | 38  |
| <b>2.6. Classificação das empresas em ciclo de vida pela demonstração do fluxo de</b>    |     |
| <b>caixa 40</b>  |     |
| <b>3. Metodologia .....</b>  | 43  |
| <b>3.1. Procedimentos metodológicos para os grupos por setores de produção</b>           |     |
| <b>econômica.....</b>  | 47  |
| <b>3.2. Procedimentos metodológicos para os grupos por países. ....</b>                  | 48  |
| <b>3.3. Procedimentos metodológicos para os grupos por ciclo de vida do fluxo de</b>     |     |
| <b>caixa. 49</b>   |     |
| <b>4. Resultados e análises.....</b>   | 51  |
| <b>4.1. Resultados e análises para a base principal.....</b>                             | 51  |
| <b>4.2. Resultados e análises por setores de produção econômica.....</b>                 | 54  |
| <b>4.3. Resultados e análises por países desenvolvidos e em desenvolvimento.....</b>     | 60  |
| <b>4.4. Resultados e análises por ciclo de vida.....</b>                                 | 65  |
| <b>4.5. Resumo dos resultados .....</b>  | 72  |
| <b>5. Considerações finais .....</b>   | 80  |
| <b>REFERÊNCIAS .....</b>   | 85  |
| <b>ANEXOS .....</b>  | 92  |
| <b>APÊNDICE .....</b>  | 115 |

## Introdução

O aumento da temperatura global, causado pela emissão de gases de efeito estufa antropogênicos, ou seja, aqueles associados a queima de combustíveis fósseis, queimadas, desmatamento, decomposição de lixo, entre outros, impacta profundamente o planeta causando a extinção de espécies animais e vegetais, alterando na frequência e intensidade de chuvas (interferindo, por exemplo, na agricultura), elevando o nível do mar e intensificando fenômenos meteorológicos (por exemplo: tempestades severas, inundações, vendavais, ondas de calor, secas prolongadas) (INPE, 2022).

A emissão desses gases se deve, em parte, às operações das entidades. A crescente preocupação mundial sobre questões ambientais, pressões sociais e legais têm levado as entidades a modificarem, de alguma maneira, suas estratégias e atividades operacionais para diminuírem seus impactos ambientais.

Por isso, Lima e Benke (2021) e Souza *et al* (2018) dizem que há necessidade de estudar a relação das entidades com o meio ambiente, pois, devido a fatores de risco trazidos pelas ações antrópicas sobre o meio ambiente, como os riscos econômicos, financeiros, físicos e reputacionais, surge uma discussão crescente sobre a importância das empresas adotarem estratégias para enfrentamento ao aquecimento global.

Conforme Linnenluecke, Birt e Griffiths (2015), entender essa relação, entre as mudanças climáticas e as atividades de criação de valor das empresas, é um importante ponto de partida para as avaliações de risco e tanto a contabilidade gerencial quanto a financeira têm um papel a desempenhar, como fonte dos dados necessários para avaliação destes riscos e, assim, determinar e avaliar a vulnerabilidade de ativos e operações diante das mudanças climáticas.

Segundo Seles et al (2018), as organizações devem se adaptar ou se concentrar na mitigação das mudanças climáticas, adotando iniciativas de gestão ambiental e práticas de gestão de operações de baixo carbono.

Linnenluecke, Birt e Griffiths (2015) explicam que ações de adaptação são iniciativas e medidas para reduzir a exposição e a vulnerabilidade às mudanças climáticas reais ou esperadas, enquanto as mitigações são as ações tomadas com o intuito de mitigar e reduzir substancialmente as emissões de gases de efeito estufa.

Faria, Andrade e Gomes (2018) dizem que as entidades, para preservar a continuidade de suas atividades, buscam evidenciar suas ações voluntárias e obrigatórias por acreditar na cobrança, cada vez maior, da sociedade pelo amplo conhecimento das suas

práticas diante das mudanças climáticas, portanto, entender quais as determinantes das ações de mitigação ou adaptação dos impactos ambientais das empresas, ajuda a contribuir no processo de suas evidenciações.

Dessa forma, identificar, mensurar e divulgar os riscos e oportunidades relacionados à sustentabilidade da relação entre as operações das entidades com o meio ambiente, poderá ajudar a atender a demanda de investidores e *stakeholders* que têm elevado a exigência por informações e “relatórios de alta qualidade, transparentes, confiáveis e comparáveis sobre clima e outros assuntos ambientais, sociais e de governança” (IFRS, 2022).

O próprio IFRS (*International Financial Reporting Standards*) criou um novo conselho de definição de padrões, o ISSB (*International Sustainability Standards Board*), com o objetivo de fornecer, aos investidores e outros participantes do mercado de capitais, uma linha de base global e abrangente para divulgações relacionadas à sustentabilidade. Tal iniciativa tem a finalidade de ajudar na avaliação e tomada de decisões sobre a criação de valor empresarial e o fornecimento de recursos às entidades considerando, para isso, a maneira como a entidade se relaciona com questões ambientais (IFRS, 2022).

A ideia de diretrizes globais lançada pelo ISSB, retro mencionada, é relevante dada a complexa interação das atividades econômicas com o meio natural e social. Segundo Liu, Guo e Xiao (2019), diferentes características de emissão, portanto, de impactos ambientais, são determinadas por peculiaridades das indústrias. Ainda segundo os autores, por exemplo, os setores de eletricidade, gás e abastecimento de água foram os que mais contribuíram para o crescimento das emissões de CO<sub>2</sub>, seguidos pela fabricação de outros produtos minerais não metálicos, metais básicos e metal fabricado, mineração e pedreiras, transporte por dutos e terrestre.

No estudo de Carreira, Re'em e Tarin (2015), depois de analisarem quarenta e cinco setores de produção econômica do Brasil, destacaram que a pecuária, fabricação de cimento e abate e processamento animal são os com maior emissão de EGEE (emissões de gases de efeito estufa) e os maiores custos de capital natural são a pecuária, a cultura da soja e a extração de petróleo bruto e gás natural; devendo-se isso aos elevados níveis de produção e intensidades desses setores.

Capital natural, segundo Carreira, Re'em e Tarin (2015), é o termo usado para descrever o valor dos bens e serviços que os ecossistemas fornecem, como água, terra e regulação do clima. Porém, a crescente demanda empresarial por capital natural e a queda da oferta devido à degradação ambiental estão contribuindo para as restrições dos recursos naturais.

Há estudos, como o de Den Butter e Verbruggen (1994), descrevendo uma corrente de pensamento que defende que o crescimento econômico causa inevitavelmente danos ambientais, sendo assim, o declínio econômico (crescimento econômico negativo) seria essencial para um ambiente mais limpo, porém, uma outra linha defende que o crescimento econômico é essencial para a redução de danos ambientais.

Essa visão de que somente com o declínio econômico é possível diminuir os impactos ambientais, pode ser percebida com o evento da pandemia de COVID-19 que reduziu, significativamente, as atividades econômicas no mundo todo, consequentemente, havendo redução das emissões de gases de efeito estufa, seja no transporte ou em atividades operacionais que deixaram de ser executadas. Por exemplo, Mostafa, Gamal e Wafiq (2021), em sua pesquisa no Egito, constataram que o índice de absorção de aerossol diminuiu cerca de 30%, o dióxido de nitrogênio (NO<sub>2</sub>) diminuiu 15% e 33% nas províncias do Cairo e Alexandria, respectivamente, e que o monóxido de carbono (CO) diminuiu cerca de 5% nas duas províncias. Constataram, também, que, de forma geral, as emissões de gases de efeito estufa diminuíram cerca de 4% no país como um todo durante a pandemia.

Ainda, os trabalhos de Caraka et al (2020) e Zowalaty, Young e Järhult (2020), constataram que bloqueios, quarentenas e fechamentos de fronteiras, após a pandemia, levaram a reduções na poluição do ar por meio da diminuição das viagens e da produção. Entretanto, admitem que esses efeitos ambientais positivos são, provavelmente, temporários, mas podem servir como um exemplo de que mudanças no modo de vida podem ter efeitos positivos imediatos para o meio ambiente.

Entretanto, pela outra linha que defende o crescimento econômico como essencial para a redução de danos ambientais, Seles *et al* (2019) e Seles *et al* (2018) dizem que apesar das empresas poderem impactar negativamente o meio ambiente conforme aumentam suas operações e seus resultados, por conta de pressões sociais, legais ou de mercado elas, por vezes, tenderiam a modificar sua estrutura operacional com o intuito de diminuir seus impactos ambientais e continuar gerando resultados operacionais crescentes.

Segundo os autores, essas modificações passariam por incluir em suas operações sistemas de controles formais e informais sobre a gestão do desenvolvimento sustentável, desenvolver políticas internas em relação às mudanças climáticas, investir em pesquisa e desenvolvimento para mitigar e se adaptar à crise climática, adotar práticas de gestão de operações de baixo carbono, controlar e divulgar os custos e benefícios de suas ações de mitigação das mudanças climáticas.

Seles *et al* (2019) e Seles *et al* (2018) dizem que tais estratégias ambientais podem atuar sinergicamente com o desempenho financeiro criando oportunidades para aumentar a receita e cortar custos.

Amjad, Rafique e Khan (2021), por exemplo, estudando o setor de manufatura, constataram que abordagens de *first-in-first-out*, manutenção produtiva total, controle de produção inteligente, sistemas ciberfísicos, 6R (*Reduce, Reuse, Recycle, Recover, Redesign e Remanufacture*) e monitoramento de energia inteligente são extremamente benéficas para alcançar uma produção otimizada e mais limpa, onde as emissões de dióxido de carbono, metano e óxido nitroso foram reduzidas em 55%.

Eccles, Ioannou e Serafeim (2014) já haviam constatado que há uma variação substancial na maneira como as empresas realmente competem e buscam a maximização do lucro sendo, uma delas, a preocupação maior ou menor com o impacto das externalidades de suas operações sobre outras partes interessadas. Estes autores questionaram quais seriam as implicações de desempenho da integração de questões sociais e ambientais nas estratégias e operações de uma empresa e, pesquisando 90 pares de empresas e separando-as, comparativamente, entre empresas de alta e baixa sustentabilidade, identificaram que o desempenho anormal anual (tanto contábil quanto no retorno das ações) é maior para o grupo de alta sustentabilidade em comparação com o grupo de baixa.

Além disso, as empresas mais sustentáveis têm melhor desempenho ao considerar as taxas de retorno contábil, como retorno sobre o patrimônio (ROE) e retorno sobre ativos (ROA), e que esse desempenho superior é mais pronunciado para empresas que vendem produtos para pessoas físicas, competem com base em marca e reputação e fazem uso substancial de recursos naturais (ECCLES, IOANNOU e SERAFEIM, 2014).

Ainda, segundo Eccles, Ioannou e Serafeim (2014), empresas que integraram voluntariamente questões sociais e ambientais em seus modelos de negócios e operações diárias (ou seja, sua estratégia), representam um tipo distinto de corporações modernas. Tais empresas caracterizam-se por possuírem uma estrutura de governança visando o desempenho financeiro, se preocupam com sua responsabilidade no impacto ambiental e social, possuem uma abordagem de longo prazo para maximizar os lucros intertemporais, têm um processo ativo de gerenciamento dos *stakeholders* e sistemas de medição e relatórios mais desenvolvidos.

Equilibrar a balança desse *trade-off* entre desenvolvimento econômico e mudança climática, para Ma e Jiang (2019), é uma tarefa desafiadora, um tópico acalorado, sendo essa

relação análoga a dois lados da mesma moeda na questão de bem-estar social e impactos ambientais.

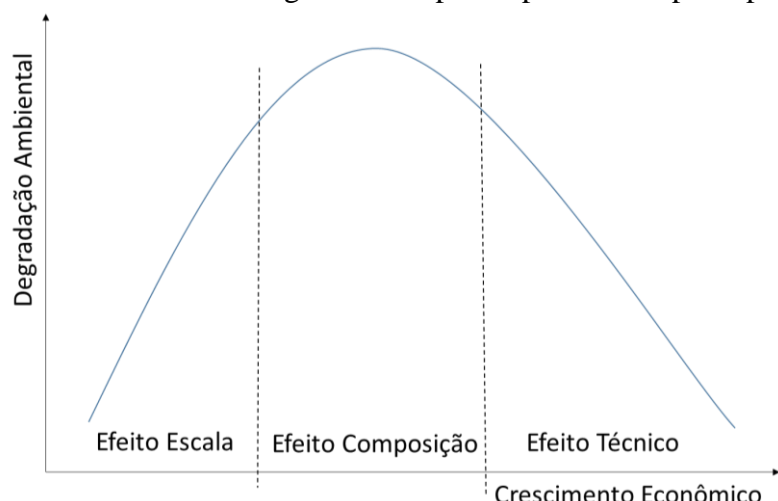
Com o intuito, então, de analisar a relação entre desenvolvimento econômico e impacto ambiental, Grossman e Krueger (1991) adaptaram a proposta de Kuznets (1955) onde dizia que a mudança de relação entre renda per capita e desigualdade de renda desenharia uma curva em forma de “U” invertido em que, à medida que a renda per capita aumenta, a desigualdade de renda também aumenta no início e depois começa a diminuir, invertendo a curva.

Grossman e Krueger (1991) afirmam, então, que a relação entre desenvolvimento econômico e pressões ambientais se daria em um comportamento de “U” invertido em três fases por efeito escala, composição e tecnológico. Na primeira fase o crescimento econômico aumentaria a degradação ambiental, porém, as duas últimas fases acarretariam uma menor pressão ambiental diminuindo sua degradação mesmo com o crescimento econômico.

Segundo Shahbaz e Sinha (2019), pelo efeito escala, quando a economia é fortemente dependente dos setores primário (setor agrícola) e secundário (manufatura e setores industriais), o crescimento econômico tende a aumentar a degradação ambiental.

Posteriormente, pelo efeito de composição, o setor terciário (setor de serviços) começa a crescer e a economia gradualmente passa a se tornar intensiva em conhecimento, ao invés de capital intensiva, sendo este o momento em que a economia passa a investir mais em atividades de pesquisa e desenvolvimento, e as tecnologias obsoletas e poluentes em uso no setor secundário passam a ser substituídas, considerando-se assim o efeito tecnológico sobre o meio ambiente (SHAHBAZ e SINHA, 2019).

Gráfico 1: Resumo dos resultados da regressão em painel para a base principal da amostra



Fonte: Shahbaz e Sinha (2019)

O gráfico 1 ilustra que nos momentos iniciais, o crescimento econômico impacta negativamente o meio ambiente, mas em um segundo (pelo efeito composição) e terceiro momento (pelo efeito tecnológico) a degradação ambiental diminui apesar do contínuo crescimento econômico.

Com base na hipótese da curva ambiental de Kuznets (HCAK) de Grossman e Krueger (1991), há uma relação em “U” invertido entre impacto ambiental e desenvolvimento econômico, onde seria possível diminuir a pressão sobre o meio ambiente mesmo com o crescimento econômico, sendo assim, os impactos ambientais provocados variam conforme o passar do desenvolvimento econômico dos países.

A maior parte das pesquisas que tentam identificar essa relação prevista pela HCAK tem sido realizada em nível macro como os trabalhos de Ahmad, Jabeen e Wu (2021), Arnaut e Lidman (2021), Aslam et al (2021), Lu et al (2020), Ma e Jiang (2019), Lapinskienė, Peleckis e Nedelko (2017), Tang e Tan (2015), Chang (2015), Zavalloni, Groeneveld e van Zwieten (2014) e Oliveira et al (2011) que verificam o desenvolvimento econômico (utilizando como variáveis mais comuns o Produto Interno Bruto para o efeito escala, taxa de urbanização e taxa de industrialização para o efeito composição e taxa de gastos com pesquisa e desenvolvimento para o efeito tecnológico) de cidades ou países e a relação com a degradação ambiental, sendo esta representada pelo consumo de água e energia de fontes fósseis, desmatamento e emissões de gases de efeito estufa em seus diferentes escopos 1, 2 e 3.

O escopo 1, conforme EPA (2021), GHG Protocol (2015) e Tian, Zhu e Geng (2013), diz respeito às emissões diretas das operações das entidades, as de escopo 2 são emissões relacionadas ao consumo de energia adquirida dos produtores e, por fim, as de escopo 3 são emissões que fazem parte da cadeia de produção e valor das entidades.

No entanto, tem sido poucos os trabalhos, que verificaram a relação entre a performance financeira e performance ambiental no nível empresarial, sob o foco da HCAK, como o trabalho de Vasanth et al (2015), que testou, em empresas indianas, variáveis como ROA (*return on assets*), ROE (*return on equity*), ROCE (*return on capital employed*) e ROS (*return on sales*), tendo encontrado uma relação em forma de “U” para as variáveis ROE, ROCE e ROS e uma relação HCAK, por meio de curva em forma de “U” invertido para ROA.

Alshehhi, Nobanee e Khare (2018) analisaram a literatura sobre o impacto da sustentabilidade empresarial no desempenho financeiro das empresas e encontraram apenas um trabalho com uma abordagem metodológica na hipótese da curva ambiental de Kuznets e o mesmo não analisou ao nível das contas apresentadas no balanço patrimonial.

Levando-se em consideração o apresentado nesta introdução elabora-se o seguinte problema de pesquisa:

### **Problema de pesquisa**

Qual a relação das emissões de gases de efeito estufa com o resultado operacional das entidades e suas variáveis contábeis, considerando a curva ambiental de Kuznets?

### **Objetivo Geral**

O objetivo deste trabalho é analisar a relação das Emissões de Gases de Efeito Estufa de escopo 1 (EGEE1) com o resultado operacional (Ebit – *Earnings Before Interests and Taxes*) das entidades e suas variáveis contábeis, buscando-se identificar uma relação de “U” invertido, conforme previsto pela hipótese da HCAK, além de verificar os efeitos escala, composição e técnica utilizando as variáveis contábeis intangível líquido, amortização, imobilizado líquido, depreciação e pesquisa-desenvolvimento.

### **Objetivos Específicos**

Após uma análise no aspecto geral da base de dados utilizada neste trabalho, é analisada a HCAK segregando a amostra em três grupos diferentes, sendo:

1. por setores econômicos de produção (primário-secundário e terciário);
2. por países (desenvolvidos e em desenvolvimento);
3. por ciclo de vida das entidades (introdução-crescimento, maturidade e turbulência-declínio).

### **Justificativa**

Aplicar conceitos macros da HCAK no nível empresarial (micro) e tentar identificar determinantes que possam explicar a relação das empresas com o meio ambiente podem gerar subsídios para atender iniciativas como a do ISSB (*International Sustainability Standards Board*) na formulação de padrões e métricas de divulgação de sustentabilidade.

Tal abordagem se faz importante, principalmente, neste momento em que as demandas sobre os países e empresas para redução de impactos ambientais, notadamente, emissões de gases de efeito estufa e desmatamento, estão tão elevadas e em destaque.

Testar em nível empresarial a existência do padrão HCAK permitirá entender quais variáveis poderiam explicar a intensificação ou amenização das emissões de gases de efeito estufa das empresas, podendo servir para avaliações de investimento.

Se comprovada a HCAK no padrão de relação das entidades com suas emissões de gases de efeito estufa, isso poderá suportar a conclusão de que as empresas estão caminhando para o objetivo de gerar cada vez mais valor com menos impacto ambiental.

Dessa forma, entender também as características das empresas (considerando seus setores, países e ciclo de vida) nos fatores escala (resultado operacional), de composição (estrutura de produção) e técnica (tecnologia) poderá servir de referência para que seja estimulada práticas de gestão, que, por fim, refletirão nas demonstrações contábeis, de menor impacto ambiental pelo menos no quesito emissões de GEE.

### **Estrutura da tese**

O presente trabalho está estruturado em cinco tópicos, tendo sido apresentado a introdução no primeiro tópico, seguem-se no tópico dois o referencial teórico, no tópico três a metodologia, tópico quatro os resultados e análises e, por fim, no tópico cinco as considerações finais.

## **2. Referencial Teórico**

### **2.1. Emissões de gases de efeito estufa**

Conforme Kweku *et al* (2017), o efeito estufa é causado, principalmente, pela capacidade de gases na atmosfera terrestre capturarem calor e, como são vários os tipos que podem causar o aquecimento global, o IPCC (*Intergovernmental Panel on Climate Change*) atribui metodologia de Potencial de Aquecimento Global (*Global Warm Potential – GWP*) que “é uma medida de quanta energia as emissões de uma tonelada de um gás absorverá em um determinado período de tempo, em relação às emissões de uma tonelada de dióxido de carbono (CO<sub>2</sub>)” (EPA, 2021).

Essa mensuração é realizada por meio do inventário de EGEE, cuja metodologia mais empregada é, segundo Matos et al (2017), o *GHG Protocol (Greenhouse Gas Protocol)*, que classifica as emissões por escopos 1, 2 ou 3.

Segundo EPA (2021), GHG Protocol (2015) e Tian, Zhu e Geng (2013) as emissões de escopo 1 são de responsabilidade direta das operações das entidades, que ocorrem a partir de fontes controladas ou de propriedade dela (por exemplo, associadas à queima de combustível em caldeiras, fornos, veículos etc).

As emissões do escopo 2 focam a fonte energética utilizada pela entidade, como aquelas associadas à compra de eletricidade, vapor, calor ou refrigeração, cuja responsabilidade das emissões seria dos produtores das fontes de energia (EPA, 2021; GHG PROTOCOL, 2015; TIAN, ZHU e GENG, 2013).

Por fim, as emissões do escopo 3, conforme os mesmos autores, são realizadas em fontes que não são controladas pela entidade, mas fazem parte da sua cadeia de valor, incluindo todas as que não estão dentro dos limites do escopo 1 e 2 de uma organização.

Uma síntese dos escopos referentes às emissões de EGEE pode ser observada no quadro 1.

**Quadro 1:Definições das emissões por escopo**

| Tipos de Emissões  | Escopo   | Definição  | Exemplos   |
|--------------------|----------|--|--|
| Emissões Diretas   | Escopo 1 | Emissões diretas de GEE que ocorrem de fontes que são própias ou controladas pela companhia.                             | emissões da combustão em caldeiras próprias ou controladas, fornos, veículos, etc; Emissões da produção de produtos químicos em equipamentos de processos próprios ou controlados. |
| Emissões Indiretas | Escopo 2 | Emissões de GEE oriundas da geração de energia elétrica comprada de fontes calor, vapor, etc., consumida pelas empresas. | as emissões ocorrem na instalação onde a eletricidade comprada é gerada por calor e vapor.   |
|                    | Escopo 3 | Emissões que ocorrem de fontes não pertencentes ou controladas pelas empresas.   | emissões de extração e produção de materiais comprados; transporte de combustíveis comprados; e uso de produtos e serviços vendidos.   |

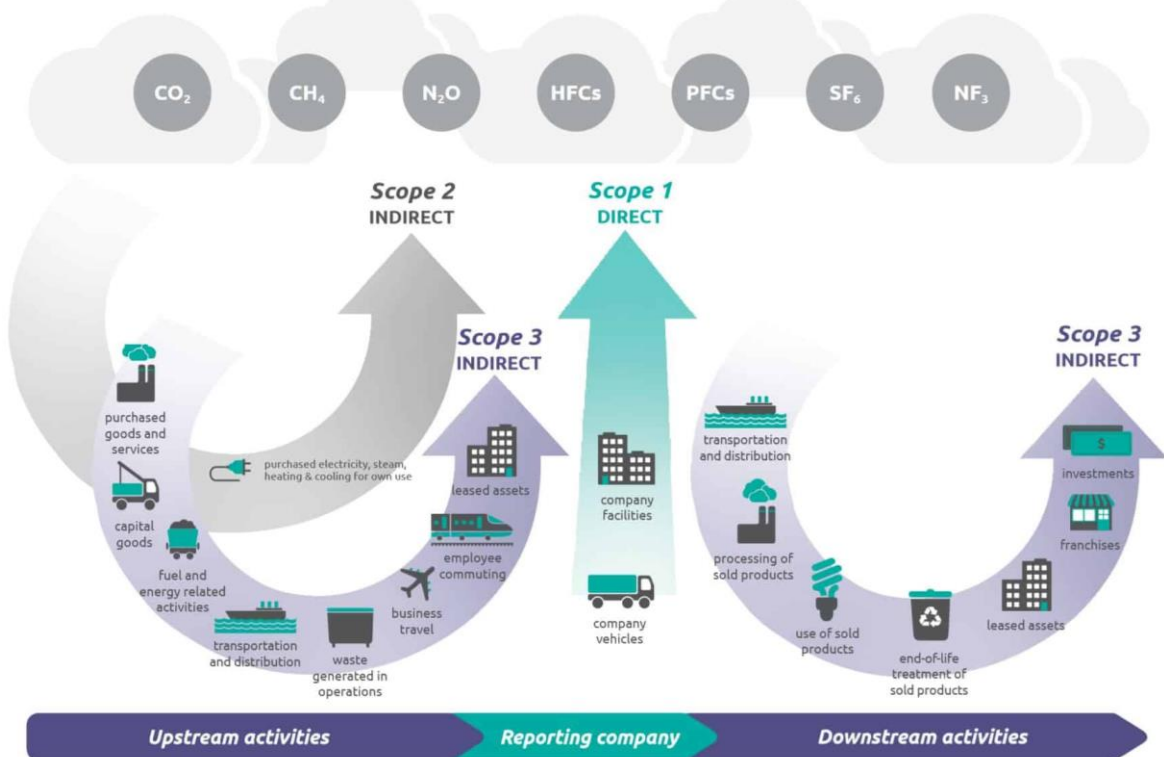
Fonte: tradução livre de GHG Protocol (2015)

Downie e Stubbs (2013) afirmam que no aspecto microeconômico, as grandes corporações têm um papel vital a desempenhar nos esforços para mitigar o aquecimento global como produtoras dominantes de emissões industriais de gases de efeito estufa, mas, todas as demais devem colaborar, inclusive, em relação à cadeia de valor.

A figura 1 ilustra os diferentes escopos e como se dá a separação do escopo 3 dentro da cadeia de valor a montante (*upstream activities*) e a jusante (*downstream activities*).

Segundo Bhatia *et al* (2011) a distinção do escopo 3 é baseada nas transações financeiras da empresa relatora em que as emissões a montante são indiretas relacionadas a bens e serviços comprados ou adquiridos e as emissões a jusante são indiretas relacionadas a bens e serviços vendidos.

Figura 1: Visão geral dos escopos e emissões do GHG Protocol em toda a cadeia de valor



Fonte: Bhatia *et al* (2011)

Tais fontes de emissão no escopo 3 são classificadas em 15 subcategorias, 8 a montante (*upstream*) e 7 a jusante (*dowstream*), conforme Bhatia *et al* (2011).

O trabalho de Grewal, Richardson e Wang (2022) atestaram que, para empresas do Reino Unido, relatórios obrigatórios de divulgação de emissões de gases, considerando os 3 escopos, reduziram as oportunidades de *greenwashing* impulsionando as empresas a fazerem mudanças reais para melhorar o desempenho ambiental.

Como exemplo da separação das emissões por escopo, no âmbito macroeconômico, Leão *et al* (2020) verificaram os inventários de emissões de gases das cidades brasileiras dividindo os escopos das emissões. Consideraram que o escopo 1 seria de fontes localizadas dentro dos limites das cidades, o escopo 2 seria do uso de eletricidade, calor, vapor e / ou resfriamento fornecidos pela rede dentro dos limites das cidades, enquanto que emissões do escopo 3 seriam todas as outras emissões de gases que ocorrem fora dos limites das cidades.

Radonjić e Tompa (2018), a fim de compreender a importância das categorias dos escopos, pesquisaram a pegada de carbono de empresas de telecomunicação e concluíram que o maior contribuinte para as emissões de gases de efeito estufa é o consumo de eletricidade comprada, usada para a operação da rede e equipamentos de telecomunicações, bem como atividades de apoio e infraestrutura em edifícios próprios, seguido pelo transporte de

funcionários de ida e volta para o trabalho, uso de carros próprios para transporte e aquecimento.

Ryan e Tiller (2022) ressaltam a crítica de que reportar as emissões do escopo 3 resulta em dupla contagem, pois, por exemplo, as emissões de escopo 2 de uma entidade virão das emissões de escopo 1 de um gerador. Todas as emissões de escopo 3 são emissões de escopo 1, 2 ou 3 de outra entidade, então essas emissões serão contadas três ou mais vezes por outras entidades. Entretanto, não haveria dupla contagem entre o escopo 1 de duas entidades diferentes, já que estas emissões só aparecem em uma das entidades.

Diniz *et al* (2021) estudaram o propósito e alcance da tecnologia do *blockchain* no processo de contabilização das emissões de escopo 2 do *GHG Protocol*, vendo uma oportunidade dessa tecnologia em melhorar o rastreamento e a produção de inventários das emissões de gases de efeito estufa, proporcionando mais transparência e evitando a dupla contagem dessas emissões. Porém, em suas conclusões descobriram que nem todos os atores podem querer maior transparência na cadeia de suprimentos e que os emissores de certificados tradicionais devem resistir, enquanto uma nova geração de certificados baseados em *blockchain* desafia os concorrentes mais tradicionais.

Sendo assim, como a finalidade deste trabalho é analisar a relação direta das atividades operacionais da entidade com suas emissões de gases de efeito estufa, evitando-se a dupla contagem das emissões, adota-se, portanto, as emissões de escopo 1, chamadas de EGEE1, sendo essa a variável dependente a ser analisada.

## **2.2. Curva Ambiental de Kuznets**

O tema central do trabalho de Kuznets (1955) era encontrar as características e as causas das mudanças de longo prazo na distribuição de renda per capita, questionando se a desigualdade na distribuição de renda aumentaria ou diminuiria ao longo do crescimento econômico de um país.

Seu achado foi que, segundo Dinda (2004), a mudança na relação entre renda per capita e desigualdade de renda é uma curva em forma de “U” invertido, melhor explicando, a distribuição de renda torna-se mais desigual no estágio inicial de crescimento da renda e, então, a distribuição se move para uma maior igualdade à medida que o crescimento econômico continua.

Nos anos 90 a Curva de Kuznets, como ficou conhecida, segundo Dinda (2004), teve nova aplicação com três estudos empíricos independentes, Grossman e Krueger (1991), Shafik e Bandyopadhyay (1992) e Panayotou (1993), que testaram a relação entre crescimento econômico e níveis de qualidade ambiental, tendo Grossman e Krueger (1991) encontrado uma relação em “U” invertido entre poluentes (SO<sub>2</sub> e fumaça) e renda per capita. Entretanto, foi Panayotou (1993) que cunhou pela primeira vez como a Curva Ambiental de Kuznets (CAK).

Grossman e Krueger (1991) apresentaram evidências empíricas para avaliar as magnitudes relativas dos efeitos escala, composição e técnica, do *North American Free Trade Agreement* (NAFTA) à medida que se aplicaram a uma maior liberalização do comércio no México, concluindo que uma redução nas barreiras comerciais afetaria o meio ambiente, expandindo a escala da atividade econômica, alterando a composição desta e provocando uma mudança nas técnicas de produção.

Com relação ao efeito escala, Grossman e Krueger (1991) disseram que a liberalização do comércio e do investimento causariam uma expansão da atividade econômica e se sua origem permanecesse inalterada, a quantidade total de poluição gerada deveria aumentar, pois, na medida em que o crescimento econômico resulta em um crescimento da demanda por energia, haveria um aumento na produção de poluentes nocivos. Assim sendo, com a expansão do comércio e do consumo de energia também haveria uma maior deterioração da qualidade do ar (impacto ambiental).

Nesse contexto do efeito escala, segundo Shahbaz e Sinha (2018), para impulsionar o crescimento econômico, os formuladores de políticas negligenciam os danos à qualidade ambiental e, então, a degradação começa com o aumento do crescimento econômico, sendo que este cenário é visível, especialmente quando a economia é fortemente dependente dos setores primário (setor agrícola) e secundário (manufatura e setores industriais).

Em um segundo momento, Grossman e Krueger (1991) dizem que haveria o efeito de composição que seria resultado de qualquer mudança na política comercial, pois, quando o comércio é liberalizado, os países se especializam em maior medida nos setores em que desfrutam de vantagem competitiva e, então, o efeito líquido disso no nível de poluição em cada local dependerá da expansão ou contração de atividades intensivas em poluição que, em média, tem os controles de poluição mais rigorosos.

Para Shahbaz e Sinha (2018) é durante essa fase que o setor secundário começa a amadurecer e as indústrias mudam para tecnologias mais limpas.

Por último, Grossman e Krueger (1991) dizem que haveria o efeito técnico onde a produção não precisa ser feita exatamente pelos mesmos métodos subsequentes à liberalização do comércio e do investimento estrangeiro, como era antes da mudança de regime e que padrões mais rígidos de poluição e maior rigor das leis existentes poderiam ser uma resposta política natural ao crescimento econômico.

Conforme Shahbaz e Sinha (2019) no momento do efeito técnica, o setor terciário (setor de serviços) começa a crescer e a economia, gradualmente, se torna intensiva em conhecimento, ao invés de capital intensiva, sendo este o momento em que a economia passa a investir mais em atividades de pesquisa e desenvolvimento, e as tecnologias obsoletas e poluentes em uso no setor secundário passam a ser substituídas.

Portanto, conforme Ávila e Diniz (2015), a hipótese teórica em que se baseia a HCAK, é que o impacto negativo do efeito escala tende a prevalecer nos estágios iniciais do crescimento econômico, mas é compensado pelos efeitos composição e técnica, que tendem a reduzir os níveis das emissões.

Segundo Koondhar *et al.* (2021) e Stern (2017) a curva ambiental de Kuznets é uma ferramenta estatística para examinar o nexo de cointegração e causalidade entre o crescimento econômico e as emissões de carbono ou degradação ambiental e a renda per capita. A HCAK é amplamente utilizada em estudos de economia ambiental e de energia.

Lapinskienė, Peleckis e Nedelko (2017) analisaram a HCAK em 20 países da UE (União Europeia), no período 2006-2013, e encontraram que quanto maior a participação da agricultura, produção e construção na economia, maiores são as EGEE. Concluíram que impostos mais altos sobre energia, maiores gastos em pesquisa e desenvolvimento e maior número de empresas sustentáveis, menores serão os níveis de emissão de gases de efeito estufa em uma economia. Sendo assim, concluíram que os fatores de participação de uma determinada indústria poluidora, impostos ambientais e sobre energia, pesquisa e desenvolvimento, a variável *dummy* das crises e a pontuação de sustentabilidade da empresa, podem ser aplicados para ajustar a tendência na região e pode ser útil para o ajuste da política de mudança climática.

Tang e Tan (2015), em um estudo sobre os efeitos do crescimento econômico no Vietnam, dizem que, na prática, o nível de poluição ambiental naquele país aumentou significativamente em decorrência do alto consumo de energia e crescimento econômico nas últimas décadas e, como resultado, houve um aumento de, aproximadamente, 15% ao ano na produção de CO<sub>2</sub> no país. Em um de seus exemplos, os mencionados autores relatam esse *trade-off* em que o rápido aumento das emissões de CO<sub>2</sub> é, principalmente, o resultado das

atividades humanas devido ao desenvolvimento e industrialização e que é essencial analisar empiricamente a relação entre emissões de CO<sub>2</sub>, consumo de energia, IED (Investimento Estrangeiro Direto) e crescimento econômico no país estudado.

Zavalloni, Groeneveld e van Zwieten (2014) analisaram a relação dos manguezais da província de Cà Mau, no Vietnam, e afirmam que os *trade-offs* entre desenvolvimento e conservação da natureza precisam ser avaliados para gerenciar eficientemente as áreas de mangue e objetivos políticos. Os autores complementam dizendo que essa análise é particularmente importante nos países em desenvolvimento, onde os custos de oportunidade de conservação são altos e a conversão do ecossistema gera benefícios a curto prazo e custos a longo prazo, pois, tanto a dimensão espacial, quanto a presença de não linearidade devem ser levadas em consideração quando os *trade-offs* de uso da terra, em relação aos manguezais, são avaliados.

Ma e Jiang (2019), considerando a disponibilidade de dados, pesquisaram 30 províncias na China durante o período 2001-2015, utilizando a variável Produto Interno Bruto (PIB) elevada ao quadrado, justamente para testar a HCAK. Encontraram que PIB e o progresso técnico tinham uma relação invertida em forma de U com as emissões de carbono, mas a relação entre a estrutura industrial e emissões de carbono tendia a ser linear.

Pincheira e Zuniga (2021) criticam o modelo de estimativa da HCAK ao utilizar a variável PIB em seu valor original, elevada ao quadrado e, por vezes elevado ao cubo, pois, isso pode causar problemas de multicolinearidade ou colinearidade entre as variáveis e, consequentemente, limitações econométricas, entretanto, neste presente trabalho, os testes de multicolinearidade não apresentaram impedimento para a análise dos resultados obtidos.

Stern (2017) diz que o modelo de regressão padrão da HCAK segue:

**Equação 1: Modelo de regressão padrão da HCAK**

$$E_{i,t} = \alpha_{i,t} + \gamma t + \beta_1 Y_{i,t} + \beta_2 Y^2_{i,t} + \varepsilon_{i,t}$$

Fonte: Stern (2017)

onde E é o logaritmo natural da qualidade ambiental ou das emissões por pessoa, Y é o logaritmo natural do produto interno bruto per capita e  $\varepsilon$  é um termo de erro aleatório. i indexa países e tempo t. O uso de logaritmos restringe as projeções da variável dependente a ser diferente de zero, o que é apropriado, exceto no caso de taxas líquidas de variação do estoque de recursos renováveis, em que, por exemplo, pode ocorrer o reflorestamento. Os primeiros dois termos do lado direito da equação são efeitos de país e tempo (STERN, 2017).

Stern (2017) diz que, normalmente, o modelo da HCAK é estimado com dados em painel, mais comumente usando o estimador de efeitos fixos, mas, os dados de séries temporais e de seção transversal, também, são usados. Além disso, um grande número de métodos de estimativa foi tentado, incluindo métodos não paramétricos, embora estes, geralmente, não produzam resultados radicalmente diferentes de estimativas paramétricas.

Entretanto, Sarkodie e Strezov (2019) reforçam que independentemente dos diferentes métodos empregados nos estudos existentes sobre a hipótese de HCAK, quase todos seguem uma especificação de modelo semelhante. Usando uma série de dados em painel, o nexo entre a pressão ambiental ou o nível de poluição e o nível de renda é expresso de forma reduzida como:

**Equação 2: Modelo de estimativa empírica de HCAK**

$$Y_{i,t} = \alpha_{i,t} + \beta_1 X_{i,t} + \beta_2 X^2_{i,t} + \beta_3 X^3_{i,t} + \beta_4 Z_{i,t} + \varepsilon_{i,t}$$

Fonte: Sarkodie e Strezov (2019)

onde  $\alpha$  é a constante,  $Y$  representa os indicadores de pressão ambiental;  $x$ ,  $x^2$  e  $x^3$  denotam o nível de renda, ao quadrado do nível de renda e cúbica do nível de renda;  $z$  representa outras variáveis que afetam a deterioração ambiental,  $\beta$ 's são as estimativas dos coeficientes dos regressores; e, por fim,  $\varepsilon$  denota o termo de erro por meio das unidades transversais  $i$  no tempo  $t$  (SARKODIE e STREZOV, 2019).

Maneejuk e Yamaka (2022), Koondhar *et al.* (2021) e Stern (2017) dizem, entretanto, que embora a HCAK seja um fenômeno essencialmente empírico, a maioria das estimativas dos modelos não são estatisticamente robustas e, apesar das concentrações de alguns poluentes locais terem diminuído claramente nos países desenvolvidos, ainda não há consenso sobre as causas das mudanças nas emissões. Além disso, existem resultados inconclusivos e controversos do nexo crescimento-ambiente, sendo que, uma possível razão, é que podem não ter usado dados em painel com séries temporais longas.

Dinda (2004) diz que há evidência mista sobre a relação entre crescimento econômico e qualidade ambiental, pois, não é unânime entre os pesquisadores sobre a possibilidade de se explicar os diferentes tipos de impactos ambientais por uma relação conforme a HCAK com o desenvolvimento econômico.

Com isso exposto e com base em Koondhar *et al.* (2021), Sarkodie e Strezov (2019), Ma e Jiang (2019) e Stern (2017) elabora-se a primeira hipótese deste trabalho (H1). Com o objetivo de capturar a relação em “U” invertido das emissões, considera-se como fator de

produção das entidades a variável independente “resultado operacional” elevado ao quadrado (“Ebit2”), correspondendo ao produto interno bruto (PIB), utilizado no nível macro.

**H1:** Há uma relação inversa entre a variável resultado operacional ao quadrado (Ebit2) e a variável EGEE1.

Sendo EGEE1 as emissões de gases de efeito estufa de escopo 1 geradas pelas entidades.

### **2.3. Relação das atividades operacionais das entidades com os impactos ambientais**

A emissão de gases de efeito estufa é uma das diversas maneiras pelas quais as atividades operacionais das entidades impactam o meio ambiente. Entretanto, as pressões sociais, econômicas e legais têm levado à modificações em estratégias e operações, no intuito de diminuir impactos ambientais.

Faria, Andrade e Gomes (2018) reforçam dizendo que os impactos das mudanças climáticas previstos na cadeia produtiva e de consumo, no curto prazo, provocam alterações nas empresas, pois podem comprometer sua sobrevivência no longo prazo.

Conforme Yong et al (2019), parte das empresas começam a responder a tais pressões tornando a sustentabilidade cada vez mais importante, como resposta ao rápido esgotamento dos recursos naturais e das preocupações com questões ambientais.

Linnenluecke, Birt e Griffiths (2015) dizem que os impactos das mudanças climáticas refletirão nas empresas em seus custos, na divulgação dos seus relatórios, vulnerabilidades e capacidade de adaptação, afetando, assim, a governança corporativa e levando os tomadores de decisão a avaliar as implicações econômicas dos impactos climáticos e da adaptação para apoiar análises de custo-benefício e identificar riscos.

Conforme Seles et al (2018), as entidades devem se adaptar ou se concentrar na mitigação dos impactos gerados por mudanças climáticas. Necessitando que as organizações se mobilizem internamente, adotando iniciativas de gestão ambiental e práticas de operações de baixo carbono.

Seles et al (2019) e Seles et al (2018) reforçam que os setores podem ser indiretamente afetados por pressão regulatória, pública e pressões do mercado que exigem concentração na mitigação e adaptação às mudanças climáticas.

Segundo Machado *et al* (2020), ao receber a sinalização econômica adequada, setores intensivos em carbono podem modificar suas funções de produção via inovação e, desenvolver processos com menor pegada de carbono, alcançando competitividade dinâmica vis-à-vis seus competidores. Por exemplo, Lapinskienė, Peleckis e Nedelko (2017) dizem que com maiores impostos as empresas tenderiam a economizar mais em seus gastos com energia para operarem e, assim, com menor consumo de energia, menos poluentes seriam lançados na atmosfera.

Outro exemplo, considerando uma cadeia de suprimentos (*supply chains*) como pesquisada por Jabour et al (2017) e Mani, Jabour e Mani (2020), a demanda por determinado produto acarreta a exploração de um recurso natural relacionado a este produto, dessa forma, é necessário que se entenda quais os impactos sociais, ambientais e financeiros para a entidade ao atender a demanda do mercado.

Dada a possibilidade de escassez do recurso ambiental aumentar os custos da empresa, esta poderia se reestruturar para manter ou aumentar sua margem (receita menos gastos operacionais totais); além disso, não somente pela escassez do recurso natural, mas por questões de força legal e social em um processo de produção menos poluente, com menor emissão de gases de efeito estufa e impacto ambiental.

Linnenluecke, Birt e Griffiths (2015) dizem que a dificuldade é que as adaptações não podem ser facilmente ligadas aos benefícios de desempenho financeiro das organizações. Já as mitigações, como esforços de redução de emissões que incentivam a economia de recursos (por exemplo, energia), correspondem diretamente à redução de gastos com insumos, enquanto as estratégias de adaptação visam fornecer resultados a longo prazo.

Sendo assim, tais reestruturações podem impactar os resultados operacionais das entidades que, por conseguinte, influenciariam os impactos ambientais das entidades positiva ou negativamente.

Nesse intuito de verificar a relação do resultado financeiro/operacional das entidades com seus impactos ambientais, Alshehhi, Nobanee e Khare (2018), em uma revisão de literatura de 132 artigos, analisaram a relação entre sustentabilidade corporativa e desempenho financeiro e, em apenas, um artigo foi utilizada uma abordagem metodológica da relação HCAK sendo que a medida de performance financeira mais utilizada foi o ROA, seguido de ROE e Vendas. Entretanto, os autores não chegaram a um consenso de qual seria a

melhor medida de performance ambiental dizendo que a complexidade em medir a sustentabilidade corporativa vem da natureza multidimensional do próprio conceito e como diferentes contextos corporativos o influenciam.

Vasanth et al (2015) analisaram ROA (*Return On Assets*), ROE (*Return On Equity*), ROCE (*Return On Capital Employed*) e ROS (*Return On Sales*) encontrando, em empresas da Índia, uma relação em formato de “U” invertido, como previsto pela HCAK, apenas para a variável ROA e a intensidade de energia.

Boaventura, Silva e Bandeira-de-Melo (2012) descreveram que as variáveis ROA, ROE, ROS, Crescimento das Vendas e Margem de Contribuição são utilizadas em estudos que verificam a relação entre o desempenho financeiro e o desempenho socioambiental das entidades e ressaltaram que o indicador ROA é o mais utilizado dentre eles. Mas, ressalta que, apesar do ROA ser uma variável contábil por natureza, deve ser usado com cautela, pois essa variável representa o desempenho de curto prazo e não reflete o desempenho de longo prazo.

Apesar de, para calcular tais indicadores (ROA, ROE, ROCE e ROS) utiliza-se o lucro líquido dividido pelo total do ativo, total do patrimônio líquido, total do capital empregado nos ativos ou total das vendas, respectivamente, o presente trabalho utiliza o resultado operacional como variável para analisar o efeito escala e baseando-se em Koondhar *et al.* (2021), Sarkodie e Strezov (2019), Ma e Jiang (2019), Alshehhi, Nobanee e Khare (2018) e Stern (2017), Vasanth et al (2015) e Boaventura, Silva e Bandeira-de-Melo (2012), elabora-se a hipótese H2.

**H2:** Há uma relação direta entre a variável resultado operacional (Ebit) e a variável EGEE1.

Quanto ao efeito composição levam-se em consideração os ativos não circulantes que estariam relacionados com as atividades operacionais da entidade como, por exemplo, o ativo imobilizado e ativo intangível.

Com base em Seles *et al* (2019) Seles *et al* (2018), Alshehhi, Nobanee e Khare (2018), Vasanth *et al* (2015) e Boaventura, Silva e Bandeira-de-Melo (2012), os grupos contábeis imobilizado líquido, depreciação acumulada, intangível líquido e amortização acumulada são utilizados para considerar o efeito composição, pois, estariam mais relacionados a esta reestruturação por estratégias socioambientais, de mitigação ou adaptação, podendo afetar a performance ambiental das entidades, elaborando-se então as hipóteses H3a, H3b, H3c e H3d.

**H3a:** Há uma relação inversa entre a variável intangível líquido (IntLíq) e a variável EGEE1.

**H3b:** Há uma relação inversa entre a variável amortização (Amort) e a variável EGEE1.

**H3c:** Há uma relação direta entre a variável imobilizado líquido (ImobLíq) e a variável EGEE1.

**H3d:** Há uma relação direta entre a variável depreciação (Deprec) e a variável EGEE1.

Já, para considerar o efeito técnico, conforme previsto pela HCAK, utiliza-se os gastos com pesquisa e desenvolvimento das empresas (P&D), pois, segundo Shahbaz e Sinha (2019) o efeito tecnológico sobre o meio ambiente se dá “quando as indústrias começam a incorporar tecnologias para aumentar a eficiência energética, investindo mais em atividades baseadas em pesquisa e desenvolvimento, e as tecnologias obsoletas e poluentes começam a ser substituídas”.

Considerar os gastos com pesquisa e desenvolvimento como uma *proxy* para tecnologia está de acordo com o realizado por Lee e Min (2015), que pesquisaram os efeitos de P&D sobre a performance financeira e a performance ambiental das entidades japonesas, separando-as entre “total” e “verde” e considerando que este segundo seria uma *proxy* para investimentos ecoinovadores. Os autores concluíram que, como esperada, há uma correlação negativa entre as emissões de carbono e as variáveis de P&D, embora a significância estatística exista apenas para P&D\_total. Apesar da significância estatística, a magnitude da correlação entre a emissão de carbono e P&D\_total parece ser relativamente baixa.

Wang *et al* (2021) dizem que a inovação advinda da pesquisa e desenvolvimento pode ser decisiva na mitigação dos efeitos adversos das mudanças climáticas e usando abordagens de cointegração para estudarem a China, concluíram que no longo prazo, o crescimento verde depende da inovação tecnológica, PIB, capital humano, globalização econômica e gastos com P&D.

Alvarado *et al* (2021), estudando 77 países sob a ótica da HCAK, dizem que a inovação advinda da P&D pode ser decisiva na mitigação dos efeitos adversos das mudanças climáticas.

Li *et al* (2021), usando um conjunto de dados composto por empresas públicas, que operam em 52 países de 2002 a 2015, descobriram que, embora a entrada de P&D continue

sendo uma das abordagens mais importantes para mitigar a emissão de carbono, o efeito marginal do progresso tecnológico na redução dessas emissões tende a diminuir, mas que, apesar disso, há uma relação em forma de “U” invertido entre a entrada de pesquisa e desenvolvimento e a redução de emissão de carbono.

Assim, com base em Alvarado et al (2021), Wang et al (2021), Li *et al* (2021), Shahbaz e Sinha (2019) e Lee e Min (2015) elabora-se a hipótese H4.

**H4:** Há uma relação inversa entre a variável pesquisa e desenvolvimento (PD) e a variável EGEE1.

Entretanto, é preciso ser ressaltado que, conforme Galindo-Rueda e Verger (2016), a inovação é muito mais ampla do que a mudança tecnológica ou gastos com P&D, e nem todas as empresas que têm sucesso no desenvolvimento ou implementação de inovação são necessariamente executoras de P&D.

Haveria que se ressaltar ainda que a P&D e as emissões ocorrem em momentos diferentes. P&D podem resultar em redução de emissões no futuro; mas o fato de existir pode ser reflexo da preocupação em reduzir as referidas emissões.

Conforme Galindo-Rueda e Verger (2016), por vezes, as estratégias de inovação da maioria das empresas inovadoras introduzem novos métodos de marketing ou processos organizacionais juntamente com inovações de produto ou processo, uma vez que estes são frequentemente complementares.

Além disso, os mesmos autores dizem que muitas empresas são adotantes bem-sucedidas de tecnologia que não desenvolveram e, portanto, medir os gastos de P&D pode não caracterizar efetivamente o desempenho inovador de empresas ou setores.

Essa adoção de tecnologias não desenvolvidas pelas empresas é um fator importante para o descolamento entre crescimento econômico e degradação ambiental. Existem tecnologias limpas com foco da redução na fonte geradora, implicando em menores custos. Por outro lado, há tecnologias *end of pipe*, por exemplo, que queimam o metano de aterros sanitários através de um *flare* para transformar metano em CO<sub>2</sub> - sem reduzir emissões de GEE, mas reduzindo o potencial de aquecimento do gás e com isso ganhando o direito de receber créditos de carbono.

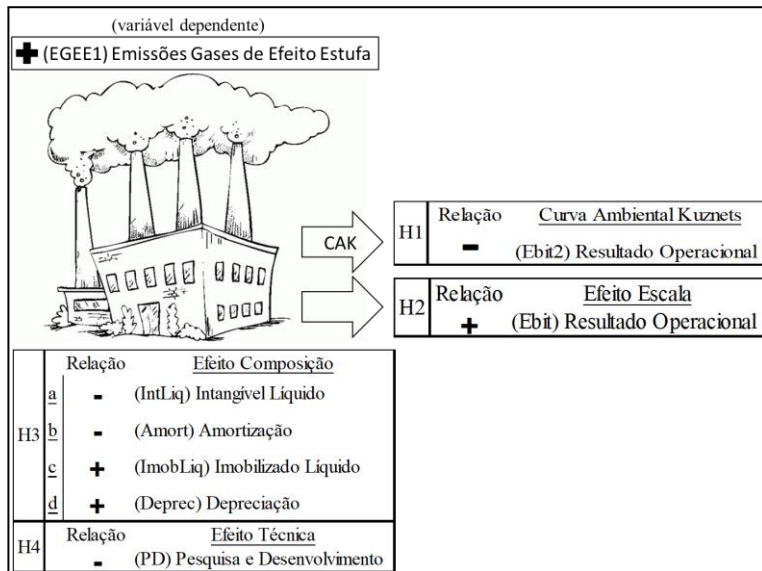
Outro exemplo, empresas podem substituir a compra de energia fóssil (termelétrica a diesel, gás natural ou carvão mineral) ou a geração própria de energia fóssil (por meio de caldeiras a diesel) por painéis fotovoltaicos, dessa forma, a adoção dessas novas tecnologias

poderia emitir menos gases de efeito estufa, tendo a empresa um imobilizado cuja operação impacta menos o meio ambiente.

Ressalta-se ainda que a P&D e as emissões ocorrem em momentos diferentes. P&D pode resultar em redução de emissões no futuro, mas o fato de existir pode ser reflexo da preocupação em reduzir as referidas emissões.

Tendo apresentado as hipóteses resume-se na figura 1 uma visualização das relações que se espera identificar com a execução deste trabalho.

Figura 2: Relações das variáveis do trabalho



Fonte: Elaborado pelo autor (2022)

Considera-se na análise as variáveis de depreciação (“Deprec”) e amortização (“Amort”) como variáveis de controle com o propósito de capturar o efeito das operações da entidade relacionando a depreciação com o imobilizado líquido e a amortização com o intangível líquido.

O quadro 2 apresenta um resumo das hipóteses que serão testadas.

Quadro 2: Resumo das hipóteses do trabalho

| Hipóteses  |            |   |
|------------|------------|---|
| Kuznets    | <b>H1</b>  | Há uma relação inversa entre a variável resultado operacional ao quadrado (Ebit2) e a variável EGEE1. |
| Escala     | <b>H2</b>  | Há uma relação direta entre a variável resultado operacional (Ebit) e a variável EGEE1.               |
| Composição | <b>H3a</b> | Há uma relação inversa entre a variável intangível líquido (IntLiq) e a variável EGEE1.               |
|            | <b>H3b</b> | Há uma relação inversa entre a variável amortização (Amort) e a variável EGEE1                        |
|            | <b>H3c</b> | Há uma relação direta entre a variável imobilizado líquido (ImobLiq) e a variável EGEE1.              |
|            | <b>H3d</b> | Há uma relação direta entre a variável depreciação (Deprec) e a variável EGEE1.                       |
| Técnica    | <b>H4</b>  | Há uma relação inversa entre a variável pesquisa e desenvolvimento (PD) e a variável EGEE1.           |

Fonte: Elaborado pelo autor (2022)

Essas hipóteses serão testadas para a amostra da base principal e pelos grupos de setores, países e ciclo de vida do fluxo de caixa.

## **2.4. Características dos setores econômicos de produção e suas classificações em primário, secundário e terciário**

É possível agrupar as empresas por sua atividade de produção econômica em setor primário, secundário ou terciário sendo que, segundo Andriansyah, Nurwanda e Rifai (2020), Pochmann (2020), Kurniasih (2017) e Almeida, Silva e Angelo (2012) o setor primário (agrícola e mineração) abrange a agricultura em sentido restrito (isto é, a lavoura), a pecuária, a caça, a pesca, bem como a extração de minerais e de madeira, ou seja, todas as atividades de exploração direta dos recursos naturais de origem vegetal, animal e mineral, não implicando em uma agregação de valor via industrialização.

O setor secundário, ainda segundo os mesmos autores, seriam as indústrias em geral, atividades de transformação de bens e dividindo-se em indústria da construção civil, a indústria de serviços públicos (geração e distribuição de energia elétrica, beneficiamento e distribuição de água à população, produção e distribuição de gás encanado) e a indústria manufatureira, inclusive a relacionada ao agronegócio como, por exemplo: as fábricas de papel e celulose, os frigoríficos, entre outras. Já o setor terciário (ou de serviços em geral) se refere a todas as demais atividades econômicas que se caracterizam por não produzirem bens materiais e sim prestarem serviços, como no caso dos complexos da saúde, educação e outros.

Os setores primário e secundário têm a característica de serem de capital intensivo e, conforme encontrado em Thakur e Vaidya (2021), tais tipos de empresas necessitam de grandes investimentos em máquinas, instalações e equipamentos, além disso, possuem proporção maior de ativos fixos em comparação ao total de ativos. Por outro lado, companhias de software (setor terciário de produção) não têm uso intensivo de capital.

Shin *et al* (2017) consideraram tais ativos ao analisarem a relação entre a multinacionalidade e o desempenho da empresa, no contexto de microempresas multinacionais no setor de serviços, separando-as em empresas de capital-intensivo e conhecimento-intensiva (como escritórios de publicidade, contabilidade e advocacia).

Segundo Shin *et al* (2017), empresas de conhecimento-intensivas não precisam implementar investimentos tangíveis consideráveis em mercados estrangeiros, embora exijam

significativos aportes em sua equipe profissional, tendo sua fonte de valor em seus ativos intangíveis em grande medida embutidos em seus recursos humanos.

Jalava (2006) considera que o setor de produção secundária exige investimentos consideráveis em capital fixo e separou as atividades econômicas dentro dos setores como demonstrado no quadro 3.

Quadro 3: Taxonomia da produção primária, secundária e terciária por ramo de atividade econômica

| <b>Setor de Produção</b> | <b>Atividades Econômicas</b>  |
|--------------------------|---|
| Primário                 | Agricultura, caça e silvicultura                                      |
|                          | Pesca   |
| Secundário               | mineração e pedreira  |
|                          | manufatura  |
|                          | eletricidade, gás e abastecimento de água                             |
|                          | construção  |
| Terciário                | comércio por atacado e varejo; reparação de veículos automóveis, etc. |
|                          | Hotéis e restaurantes   |
|                          | transporte, armazenamento e comunicações                              |
|                          | intermediação financeira  |
|                          | atividades imobiliárias, arrendamentos e negócios                     |
|                          | Administração pública e defesa; segurança social obrigatória          |
|                          | educação  |
|                          | saúde e serviço social  |
|                          | outras atividades de serviço comunitário, social e pessoal            |
|                          | atividades de famílias particulares como empregados, etc.             |

Fonte: Jalava (2006)

A *Thomson Reuters Business Classification* (TRBC) classifica as empresas em onze setores econômicos de produção sendo energia (*energy*), materiais básicos (*basic materials*), indústrias (*industrials*), consumo cíclicos (*consumer cyclicals*), consumo não-cíclico (*consumer non-cyclicals*), financeiros (*financials*), imobiliário (*real estate*), assistência médica (*healthcare*), tecnologia (*technology*), utilidades (*utilities*) e serviços acadêmicos e educacionais (*academic and educational services*).

Baseando-se em Andriansyah, Nurwanda e Rifai (2020), Pochmann (2020), Kurniasih (2017), Almeida, Silva e Angelo (2012) e Jalava (2006) e utilizando as classificações da TRBC, a amostra foi agrupada em setor primário, secundário e terciário, como demonstrado no quadro 4.

Quadro 4: Classificações dos setores de produção econômica.

| <b>Setores</b> | <b>Classificação TRBC</b>          |
|----------------|------------------------------------|
| Primário       | Consumo Não-Cíclico                |
| Secundário     | Materiais Básicos                  |
|                | Energia                            |
|                | Utilidades                         |
|                | Indústrias                         |
| Terciário      | Serviços Acadêmicos e Educacionais |
|                | Consumo Cíclico                    |
|                | Financeiros                        |
|                | Assistência Médica                 |
|                | Tecnologia                         |
|                | Imobiliário                        |

Fonte: Elaborado pelo autor com base em Jalava (2006)

Esta classificação será utilizada para analisar as hipóteses elaboradas neste trabalho nos tópicos 2.2 e 2.3, levando em consideração as empresas classificadas em dois grupos, sendo um deles a junção dos setores primário e secundário e o outro: setor terciário.

Vale lembrar que alguns setores de produção tendem a ter uma relação de maior impacto com o meio ambiente devido a sua necessidade de consumo de recursos naturais, emitindo mais ou menos gases de efeito estufa, dependendo do setor.

Conforme Sarkodie e Strezov (2019), o setor industrial como cimento, produtos químicos, metais primários (aço pesado) e produtos florestais (papel e celulose), entre outros, são mais intensivos em carbono e energia. Já indústrias de alimentos, equipamentos de transporte, tecnologias sofisticadas e modernizadas (como tecnologias de energia verde e limpa), equipamentos elétricos e eletrônicos e serviços são menos intensivas em energia e carbono.

Já o levantamento feito por Ritchie (2020), mensurando o consumo de energia dos setores produtivos, identificou quais setores seriam os maiores emissores de gases de efeito estufa, dando destaque que o uso de energia em indústrias (24,2%), os setores de agricultura, silvicultura e uso da terra (18,4%), a energia consumida por prédios residências e comerciais (17,5%) e meios de transporte (16,2%) estão entre os que mais emitem gases de efeito estufa.

Liu, Guo e Xiao (2019), com evidências de 40 países, dizem que o consumo de combustível e a produção industrial contribuíram fortemente para as emissões de CO<sub>2</sub>, entre os anos de 1995 a 2009, sendo os setores de eletricidade, gás e abastecimento de água os que mais emitiram, seguidos pelos setores de fabricação de outros produtos minerais não metálicos, metais básicos e metal fabricado, mineração e pedreiras, transporte terrestre e por

dutos. Porém, o comércio atacadista e varejista são os dois setores que mais contribuem para a redução das emissões de CO<sub>2</sub>.

## **2.5. Relação da curva ambiental de Kuznets com o desenvolvimento dos países**

Segundo Leal, Marques e Shahbaz (2021) e Sarkodie e Strezov (2019), a relação sistemática entre desenvolvimento econômico e meio ambiente fornece a premissa para a hipótese da curva ambiental de Kuznets, sendo esta hipótese empregada em diversos contextos, para os mais diversos países, com diversos indicadores ambientais, e incluindo inúmeros fatores determinantes.

Nos estudos da HCAK, por vezes, comparam-se países que possuem maior desenvolvimento econômico com aqueles em desenvolvimento, apresentando resultados em que os primeiros tendem a apresentar uma relação de “U” invertido entre o crescimento econômico e medidas de impactos ambientais, como poluição, desmatamento, consumo de energia ou água.

Sarkodie e Strezov (2019) reforçam as palavras de Shafik e Bandyopadhyay (1992) e Selden e Song (1994) que já haviam considerado em seus estudos que na maioria dos países de renda média, a qualidade ambiental tende a melhorar seguindo a relação “U” invertida entre renda e meio ambiente, ressaltando que o principal motivo dessa relação pode ser explicado à medida em que a renda cresce, os países com um padrão de vida mais elevado tomam medidas maiores para proteger o meio ambiente. Assim, eles experimentam e exigem maior qualidade ambiental por meio de mudanças na composição da demanda e oferta, níveis mais elevados de educação e maior consciência ambiental no sistema político.

Sarkodie e Strezov (2019) ainda dizem que nos países desenvolvidos, devido ao avanço tecnológico e à inovação, o crescimento econômico será menos intensivo em carbono do que nos países em desenvolvimento. Além disso, o declínio das emissões de dióxido de carbono nos países desenvolvidos pode ser atribuído a uma mudança de paradigma e estrutural de indústrias intensivas em alta energia e carbono, para indústrias de serviços e informações intensivas.

Leal, Marques e Shahbaz (2021) verificaram que os países desenvolvidos produziram uma curva em forma de “U” invertido e que a globalização teve um efeito benéfico, principalmente, sobre o meio ambiente, mas, em contraste, as economias em desenvolvimento produziram uma curva em forma de “U” e a globalização foi geralmente prejudicial. A

explicação é que a globalização econômica sugere a transferência de indústrias poluentes de países desenvolvidos para países em desenvolvimento.

A questão da globalização econômica afeta a qualidade ambiental, por meio de transferências de indústrias poluentes, pode ser explicada pelo investimento estrangeiro direto (IED) como destacado por Pincheira e Zuniga (2021), Liu, Guo e Xiao (2019) e Sarkodie e Strezov (2018) que dizem que esta transferência pode ocorrer, por exemplo, quando países desenvolvidos com políticas ambientais rigorosas baseadas no princípio do poluidor-pagador, ou regulamentações ambientais, como impostos de carbono e programas de redução de emissões, transferem seus setores de produção intensivos em energia ou poluição para outros países com políticas e regulamentações ambientais fracas ou flexíveis, o que significa que os países em desenvolvimento estão se tornando paraísos de poluição.

Conforme Sarkodie e Strezov (2018), as políticas e regulamentações ambientais nos países em desenvolvimento são mais fracas em comparação com os países desenvolvidos, como tal, tornam-se um paraíso para indústrias de alta energia e intensivas em carbono. A alta consciência da sustentabilidade ambiental, nos países desenvolvidos, avanços tecnológicos, regulamentos e políticas ambientais rigorosas resultam em um declínio na intensidade de energia e um declínio nas emissões de dióxido de carbono.

Pincheira e Zuniga (2021) reforçam dizendo que as ligações entre desenvolvimento econômico, degradação ambiental e qualidade institucional ganharam maior relevância recentemente, pois, os resultados fornecem evidências que apoiaram a hipótese HCAK e confirmaram a relevância do desenvolvimento financeiro e da qualidade institucional para o desempenho ambiental.

Neste trabalho as empresas são separadas como pertencentes a países desenvolvidos e países em desenvolvimento, para isso é utilizada classificação feita em UN (2022). Isso é feito com intuito de verificar se haveria diferença da relação das variáveis contábeis e as emissões de gases de efeito estufa, conforme HCAK, dependendo do grupo (países desenvolvidos ou em desenvolvimento) em que as empresas se encontram, respondendo assim, as hipóteses elaboradas neste trabalho nos tópicos 2.2 e 2.3.

## 2.6. Classificação das empresas em ciclo de vida pela demonstração do fluxo de caixa

Silva (2016) destaca as várias iniciativas de se identificar o ciclo de vida das organizações por diferentes modelos, mas que apenas os modelos de Anthony e Ramesh (1992), Yan e Zao (2010) e Dickinson (2011) definem os estágios do ciclo de vida das empresas partindo de informações contábeis e financeiras disponíveis em bancos de dados e notas explicativas, permitindo sua aplicação para um grande número de empresas ao longo do tempo, sendo que outros modelos utilizam *surveys* que impossibilitam tal aplicação.

Dickinson (2011) classifica o ciclo de vida das empresas utilizando a combinação dos padrões de fluxo de caixa operacional, investimento e financiamento líquidos obtendo um mapeamento deste ciclo em estágios de introdução, crescimento, maturidade, turbulência e declínio.

Porém, Dickinson, Kassa e Schaberl (2018) dizem que, o ciclo de vida da empresa não precisa progredir linearmente através dos estágios, na verdade, é ideal para uma empresa reciclar entre os estágios de crescimento e maturidade, onde os lucros são maximizados e o risco é, presumivelmente, menor do que seria nos estágios de introdução e declínio.

O quadro 5 mostra a classificação do ciclo de vida das empresas realizada por Dickinson (2011) ao usar o sinal (positivo ou negativo) dos fluxos de caixa operacionais, de investimento e financiamento líquidos, obtendo oito combinações de padrões de fluxo de caixa possíveis.

Quadro 5:Classificação em estágios do ciclo de vida de acordo com o modelo de Dickinson (2011)

| Ciclo de Vida | Fluxo de Caixa |              |               |
|---------------|----------------|--------------|---------------|
|               | Operacional    | Investimento | Financiamento |
| Introdução    | -              | -            | +             |
| Crescimento   | +              | -            | +             |
| Maturidade    | +              | -            | -             |
| Turbulência   | -              | -            | -             |
| Turbulência   | +              | +            | +             |
| Turbulência   | +              | +            | -             |
| Declínio      | -              | +            | +             |
| Declínio      | -              | +            | -             |

Fonte: Dickinson (2011)

Nota-se que as oito classificações são agrupadas em cinco estágios do ciclo de vida, pois, para a fase de turbulência há três situações possíveis do fluxo de caixa e para a fase de declínio, duas possibilidades de classificação.

Durana *et al* (2021), Dickinson, Kassa e Schaberl (2018) e Silva (2016) relatam estudos que têm testado a relação entre ciclo de vida das empresas e respectivas idades, classificações de crédito, tamanho, crescimento das vendas, pesquisa e desenvolvimento, pagamentos de dividendos, performance da empresa, qualidade das informações contábeis, conservadorismo, estrutura de capital, gerenciamento de resultado, falência e gastos com capital intelectual. Por exemplo, Bhattacharya, Chang e Li (2019) forneceram evidências da capacidade da *proxy* de ciclo de vida baseado em fluxo de caixa desenvolvido por Dickinson (2011), para explicar a propensão das empresas a pagar dividendos, dependendo do estágio do ciclo de vida.

O trabalho de Blomkvist, Loflund e Vyas (2021) mostra que as classificações de crédito exibem uma relação inversa em forma de U ao longo do ciclo de vida corporativo, onde a probabilidade de as empresas obterem uma classificação, inicialmente, aumenta ao longo do ciclo de vida à medida que a reputação aumenta e as informações assimétricas são reduzidas. Mas, à medida que as oportunidades de investimento diminuem durante as fases de turbulência e declínio, o benefício de ter uma classificação diminui.

Tascón, Castro e Ferreras (2021) utilizaram a metodologia de Dickinson (2011) para analisar como o ciclo de vida da empresa afeta a relação entre desempenho de carbono e dívida financeira, usando dados de painel, em uma amostra europeia, durante o período de 2005-2018. Os autores encontraram evidências sugerindo que entidades com melhor desempenho de carbono têm maior acesso a financiamento externo durante seus estágios de crescimento e menor acesso durante a maturidade. Em suas conclusões, a dívida é maior durante o crescimento e os lucros acumulados são maiores durante a maturidade, verificando-se, assim, que a relação negativa geral entre desempenho de carbono e dívida muda substancialmente de um estágio para outro, apoiando a hipótese de que o efeito do desempenho do carbono sobre a dívida é diferente durante os estágios de crescimento, maturidade e turbulência.

Ressalta-se que o tempo de vida das empresas, em média, é de 40 anos o que pode afetar a análise das fases de ciclo de vida pelo fluxo de caixa proposto por Dickinson (2011) e o tempo total da amostra deste trabalho.

O trabalho de Faff *et al* (2016) tenta contornar os problemas de classificações de ciclo de vida das empresas utilizando uma análise discriminante linear utilizando outras

variáveis como idade da empresa, a razão entre lucro e ativo total, o lucro operacional como proxy para o fluxo de caixa e o crescimento dos ativos, nomeando tal análise de *multiclass linear discriminant analysis* (MLDA).

A proposta feita por Faff *et al* (2016) é para contornar problemas como, primeiro, muitas proxies indicativas do ciclo de vida não apenas indicam o estágio do ciclo de vida de uma empresa, mas também refletem outras características da empresa. Em segundo lugar, é verificado por procedimentos estatísticos. Em terceiro lugar, muitas variáveis não são boas proxies para o ciclo de vida, pois não evoluem monotonicamente ao longo dos estágios do ciclo de vida.

Como já mencionado, Den Butter e Verbruggen (1994) dizem que uma linha de pensamento defende que o crescimento econômico causa, inevitavelmente, danos ambientais, de modo que o declínio econômico é essencial para um ambiente mais limpo. Por esta visão, para se diminuir os impactos ambientais, uma economia e suas entidades deveriam estar em declínio, sendo essa a maneira de diminuir seus impactos ambientais, o que implicaria em descontinuidade de suas atividades.

Entretanto, a HCAK postula que há uma relação invertida em forma de U entre impacto ambiental e desenvolvimento econômico, ou seja, seria possível diminuir a pressão sobre o meio ambiente mesmo com o crescimento econômico.

Para a presente pesquisa será utilizado o modelo puro proposto por Dickinson (2011), pois, vários trabalhos têm baseado suas conclusões em seu modelo de classificação de ciclo de vida. As empresas da amostra serão agrupadas utilizando a combinação dos sinais da demonstração do fluxo de caixa operacional, investimento e financiamento, em três grupos sendo o primeiro o de introdução e crescimento (introdução-crescimento), o segundo será o de maturidade e o terceiro grupo de turbulência e declínio (turbulência-declínio), em cada ano analisado.

Isso é feito com intuito de verificar em qual momento do ciclo de vida das entidades é possível identificar uma relação conforme HCAK, conforme as hipóteses elaboradas nos tópicos 2.2 e 2.3.

### 3. Metodologia

Utilizam-se dados levantados da base da Thomson Reuters Refinitiv Eikon (TRRE), referentes aos anos de 2010 a 2019, de um total inicial de 61.312 empresas de 141 países. Entretanto, empresas cujo patrimônio líquido tenha valor negativo, não apresente dados de emissões de gases em nenhum dos anos considerados do período, não possua dados de nenhuma das variáveis analisadas e que possuam valores faltantes, foram retiradas da amostra.

Ressalta-se que o período se restringiu até 2019 devido ao pressuposto de que a crise gerada pela pandemia do covid-19 pode ter alterado de forma significativa os anos de 2020 e 2021.

Desta forma, a base principal da amostra passou para 682 empresas de 40 países e 11 setores de produção econômico que serão analisados a partir de regressões em painel desbalanceado.

Quadro 6: Dados da amostra base principal

| Amostra                 |        |
|-------------------------|--------|
| Inicial                 | 61.312 |
| (-) Variáveis negativas | 8.806  |
| (-) Missing Values      | 51.824 |
| Total Empresas          | 682    |
| Países                  | 40     |

Fonte: Elaborado pelo autor (2022)

Seguindo uma formatação em painel foram consideradas as seguintes variáveis no modelo:

Equação 3: Modelo Proposto

$$\text{EGEE1}_{i,t} = \beta_0 + \beta_1 \text{Ebit}^2_{i,t} + \beta_2 \text{Ebit}_{i,t} + \beta_3 \text{IntLiq}_{i,t} + \beta_4 \text{Amort}_{i,t} + \beta_5 \text{ImobLiq}_{i,t} + \beta_6 \text{Deprec}_{i,t} + \beta_7 \text{PD}_{i,t} + \varepsilon_{i,t}$$

Onde:

EGEE1 = Emissão Gases Efeito Estufa

Ebit<sup>2</sup> = Lucro Operacional elevado ao quadrado

Ebit = Lucro Operacional

IntLiq = Intangível Líquido

Amort = Amortização

ImobLiq = Imobilizado Líquido

Deprec = Depreciação

PD = Pesquisa e Desenvolvimento

Estudos que trabalharam com a HCAK utilizaram a “variável independente” de maior interesse elevada ao quadrado (como exposto no tópico 2.2), pois, para se obter uma curva em formato de “U” invertido, matematicamente, é necessária uma equação do segundo grau com o valor da constante “a” negativo.

As variáveis utilizadas são descritas no quadro 7 extraídas da base *Thomson Reuters Refinitiv Eikon*.

**Quadro 7: Detalhamento da fonte das variáveis utilizadas**

| Fonte das Variáveis - Thomson Reuters Refinitiv Eikon              |   |
|--|---|
| Emissões Equivalentes de CO <sub>2</sub> Diretas, Escopo 1         | Emissão direta de CO <sub>2</sub> e equivalentes de CO <sub>2</sub> em toneladas. - emissões diretas de fontes que são de propriedade ou controladas pela empresa (emissões de escopo 1) - os seguintes gases são relevantes: dióxido de carbono (CO <sub>2</sub> ), metano (CH <sub>4</sub> ), óxido nitroso (N <sub>2</sub> O), hidrofluorocarbonetos (HFCS), composto perfluorado (PFCS), hexafluoreto de enxofre (SF <sub>6</sub> ), trifluoreto de nitrogênio (NF <sub>3</sub> ) - seguimos o protocolo de gases de efeito estufa (GEE) para todas as nossas classificações de emissão por tipo. |
| Ebit   | O EBIT é calculado como receitas totais para o ano fiscal menos despesas operacionais totais mais despesas de juros operacionais, despesas/receitas incomuns [SUIE] e itens não recorrentes, suplementares, total [SUIT] para o mesmo período. Esta definição exclui receitas e despesas não operacionais.  |
| Intangível, Líquido  | Representa intangíveis bruto reduzido pela amortização intangível acumulada. Intangíveis líquido é utilizado quando a empresa não fornece intangíveis brutos.   |
| Amortização - Atual  | A amortização refere-se à contabilização do custo de aquisição menos o valor residual dos ativos intangíveis (geralmente propriedade intelectual, como patentes e marcas ou direitos autorais) de maneira sistemática ao longo de sua vida útil econômica estimada.   |
| Imobilizado Líquido (Propriedades/Plantas/ Equipamentos- Líquidos) | Normalmente representa o ativo imobilizado, total e bruto reduzido pela depreciação acumulada, total. No entanto, quando uma empresa relata seus ativos fixos líquidos de depreciação acumulada, os ativos fixos são compilados usando imobilizado, total e líquido.  |
| Depreciação - Atual  | A depreciação refere-se a contabilização do custo de aquisição ou valor contábil menos o valor residual dos ativos tangíveis de uma maneira sistemática ao longo de sua vida econômica útil estimada, de modo a refletir seu consumo, expiração, obsolescência ou outro declínio no valor como resultado do uso ou passagem de tempo.   |
| Pesquisa e Desenvolvimento   | Representa despesas com pesquisa e desenvolvimento de novos produtos e serviços de uma empresa com o objetivo de obter vantagem competitiva.  |

Fonte: Elaborado pelo autor a partir de transcrição exata da base TRRE (2022).

Os dados foram normalizados pelo ativo total médio (média calculada pela soma de dois anos sequenciais dividido por dois) de cada entidade.

Pelo fato de haver dados faltantes do ativo total médio nos anos de 2010 e 2011 o horizonte temporal da amostra é de 2012 a 2019, portanto, de oito anos, sendo que nem todas as empresas apresentavam dados para todos os anos, apresentado no quadro 8, configurando-se, assim, um painel de dados desbalanceados devidamente tratado nos procedimentos estatísticos.

Quadro 8: Quantidade de períodos e anos divulgados

| Períodos | Empresas | Ano    | Divulgações |     |
|----------|----------|--------|-------------|-----|
| 1        | 118      | 17,30% | 2012        | 19  |
| 2        | 120      | 17,60% | 2013        | 239 |
| 3        | 100      | 14,66% | 2014        | 317 |
| 4        | 57       | 8,36%  | 2015        | 352 |
| 5        | 67       | 9,82%  | 2016        | 362 |
| 6        | 70       | 10,26% | 2017        | 414 |
| 7        | 143      | 20,97% | 2018        | 486 |
| 8        | 7        | 1,03%  | 2019        | 509 |

Fonte: Elaborado pelo autor (2022)

Nota-se pelo quadro 8 que das 682 empresas a maioria (20,97%) apresentaram dados para sete dos oito anos estudados. Porém, a maior parte das empresas apresentaram dados entre 1 a 3 anos, sendo que apenas 7 empresas (1,03%) apresentaram dados nos oito anos estudados. Ainda, os anos com mais divulgações foram os de 2017, 2018 e 2019, demonstrando que é mais recente a divulgação de dados das emissões.

Ressalta-se aqui o que foi dito por Maneejuk e Yamaka (2022) do problema de estudos anteriores apresentarem resultados inconclusivos e controversos com relação a HCCK devido ao uso de séries temporais curtas, fato que não deve inibir iniciativas de pesquisas sobre o tema.

Entretanto, optou-se por abranger dez anos de horizonte temporal na coleta de dados já que estas são escassas e, mesmo assim, a amostra foi reduzida em oito anos de análise devido a não divulgação de dados nos anos de 2010 e 2011.

Quanto ao tratamento das variáveis contábeis, ao realizar a normalização do “Ebit” pelo valor médio dos ativos totais se obtém o indicador de Retorno sobre o Ativo (ROA – *Return On Assets*). Vasanth et al (2015) e Boaventura, Silva e Bandeira-de-Mello (2012) relatam que a variável ROA, de natureza contábil, é a mais utilizada em estudos que verificam a relação entre o desempenho financeiro e o desempenho socioambiental das entidades, porém, ressaltam que este fato deve ser observado com cautela, na medida em que esta

variável representa o desempenho de curto prazo, mas não reflete o desempenho de longo prazo.

Com relação a não utilização de regressão GMM (*generalized method of moments*), não se encontra na literatura a possibilidade de que a variável dependente, no caso, emissões de gases de efeito estufa, influenciaria as atividades operacionais e, portanto, no aumento ou redução do resultado operacional, ou qualquer outra variável adotada no modelo deste trabalho.

Sendo assim, a regressão em painel foi selecionada como metodologia estatística para testar as hipóteses propostas neste trabalho, e, na escala de prioridade, seguiu-se a regressão indicada pelos resultados dos testes realizados sendo *pooled*, efeitos-fixos ou aleatórios, no entanto, para determinados grupos da amostra (grupo “países em desenvolvimento”, “introdução-crescimento” e “maturidade”) foi adotado o modelo *pooled* OLS nos casos em que a significância geral do modelo em painel não apresente resultado ao nível de 5%.

No quadro 9 está a estatística descritiva dos dados após a *winsorização* a 1% com 2.698 observações. Todas as variáveis apresentaram média e desvio padrão próximas de zero, exceto a variável “ImobLiq”. Destaca-se que o valor mínimo negativo é identificado apenas na variável “Ebit”, pois as empresas da amostra podem apresentar resultado negativo em suas operações (prejuízo operacional).

Quadro 9: Estatística descritiva após winsorização

| Variable | Obs  | Mean     | Std. Dev. | Min       | Max      |
|----------|------|----------|-----------|-----------|----------|
| EGEE1    | 2698 | .0000864 | .0002463  | 2.71e-08  | .0018748 |
| Ebit     | 2698 | .0889042 | .0652438  | -.0608758 | .3071699 |
| Ebit2    | 2698 | .0125046 | .017501   | 8.55e-06  | .100859  |
| IntLiq   | 2698 | .0796087 | .0888296  | .000477   | .4751883 |
| Amort    | 2698 | .0087702 | .0105208  | 0         | .0609321 |
|          |      |          |           |           |          |
| ImobLiq  | 2698 | .2617461 | .188329   | .0107805  | .8313079 |
| Deprec   | 2698 | .03236   | .0230616  | .0008738  | .1236128 |
| PD       | 2698 | .0333881 | .0374234  | .0000302  | .1849789 |

Fonte: Elaborado pelo autor (2022).

Os procedimentos metodológicos para cada grupo da amostra estão nos tópicos 3.1 a 3.3, enquanto os resultados e análises estão nos tópicos 4.1 ao 4.4.

Para responder aos objetivos específicos agrupou-se as empresas, tópico 4.2, por setor (primário-secundário e terciário), no tópico 4.3 apresenta-se o agrupamento por países (desenvolvidos e em desenvolvimento), e no tópico 4.4 a amostra é segregada pelo ciclo de vida (introdução-crescimento, maturidade e turbulência-declínio) das entidades. Sendo

realizado testes de diferença de mediana U de *Mann-Whitney* e diferença de média T-*Student* para verificar se os grupos são, estatisticamente, diferentes.

### **3.1. Procedimentos metodológicos para os grupos por setores de produção econômica.**

Com base em Liu, Guo e Xiao (2019) e Carreira, Re'em e Tarin (2015) os diferentes setores de produção da economia - primário, secundário e terciário - impactam de maneiras diferentes o meio ambiente. Nesta tese, as empresas são separadas em dois grupos de produção econômica: setor primário juntamente com o setor secundário e, outro com o setor terciário.

Utilizando as classificações apresentadas no tópico 2.4, quadro 4, as quantidades de empresas classificadas em cada grupo são expostas no quadro 10.

Quadro 10: Grupos por setores de produção econômica

| Setores                         |                   |                                    |
|---------------------------------|-------------------|------------------------------------|
| Primário                        | Secundário        | Terciário                          |
| Consumo Não-Cíclico             |                   | Serviços Acadêmicos e Educacionais |
|                                 | Materiais Básicos | Consumo Cíclico                    |
|                                 | Energia           | Financeiros                        |
|                                 | Indústrias        | Assistência Médica                 |
|                                 | Utilidades        | Tecnologia                         |
|                                 |                   | Imobiliário                        |
| <b>Total empresas por setor</b> |                   |                                    |
| 63                              | 279               | 340                                |

Fonte: Elaborado pelo autor (2022).

Pelo motivo de no setor primário ter sido classificado apenas as empresas de consumo não-cíclico com 63 empresas ao todo, optou-se por agrupar com o setor secundário perfazendo um total de 342 empresas, enquanto o grupo do setor terciário possui um total de 340 empresas.

No quadro 11 são apresentadas as quantidades de empresas e observações em cada setor em específico.

Quadro 11: Grupos por setores de produção econômica

| Setores de Produção                | Primário-Secundário |             | Terciário |             |
|------------------------------------|---------------------|-------------|-----------|-------------|
|                                    | Empresas            | Observações | Empresas  | Observações |
| Utilidades                         | 12                  | 51          | -         | -           |
| Materiais Básicos                  | 112                 | 437         | -         | -           |
| Indústrias                         | 110                 | 423         | -         | -           |
| Energia                            | 45                  | 169         | -         | -           |
| Consumo Não-Cíclico                | 63                  | 279         | -         | -           |
| Tecnologia                         | -                   | -           | 151       | 646         |
| Serviços Acadêmicos e Educacionais | -                   | -           | 1         | 6           |
| Imobiliário                        | -                   | -           | 7         | 19          |
| Financeiros                        | -                   | -           | 5         | 9           |
| Consumo Cíclico                    | -                   | -           | 79        | 277         |
| Assistência Médica                 | -                   | -           | 97        | 382         |
| Total                              | 342                 | 1359        | 340       | 1339        |

Fonte: Elaborado pelo autor (2022).

O motivo da quantidade de observações ser diferente da quantidade de empresas é que algumas não possuíam dados em todos os anos observados. O setor de tecnologia é o que possui maior número de empresas e as que mais divulgam as informações das variáveis abordadas neste trabalho, seguido dos setores de materiais básicos e indústrias, sendo o setor de serviços acadêmicos e educacionais representado apenas por uma empresa, com seis anos de observações.

### 3.2. Procedimentos metodológicos para os grupos por países.

Utilizando como referência a classificação que as Nações Unidas fazem para os países (UN, 2022), as empresas foram agrupadas conforme pode ser observado no quadro 12.

O grupo de países desenvolvidos é representado por 22 países, enquanto o de países em desenvolvimento é composto por 12 países.

Quadro 12: Quantidade de países por grupo.

| Desenvolvidos          | Em Desenvolvimento | Desenvolvidos    | Em Desenvolvimento |
|------------------------|--------------------|------------------|--------------------|
| 1 Suécia               | China              | 12 Japão         | Israel             |
| 2 Austrália            | India              | 13 Dinamarca     | África do Sul      |
| 3 Canadá               | Hong Kong          | 14 Finalândia    | Malásia            |
| 4 França               | Taiwan             | 15 Alemanha      | Rússia             |
| 5 Reino Unido          | Korea do Sul       | 16 Suíça         | Arábia Saudita     |
| 6 Países Baixos        | Tailândia          | 17 Grécia        | Gibraltar          |
| 7 República da Irlanda | Brasil             | 18 Bélgica       | Ilhas Cayman       |
| 8 Áustria              | Turquia            | 19 Luxemburgo    |                    |
| 9 Noruega              | Indonésia          | 20 Itália        |                    |
| 10 Spanha              | Filipinas          | 21 Malta         |                    |
| 11 Estados Unidos      | Chile              | 22 Nova Zelândia |                    |

Fonte: Elaborado pelo autor (2022).

Separando as empresas, já classificadas em seus devidos setores, nota-se, no quadro 13, que no grupo de países “desenvolvidos” foram classificadas 478 empresas com 1930 observações no total, já nos países “em desenvolvimento” são 204 empresas com 768 observações.

Quadro 13: Amostra agrupada por países.

| Setores de Produção                | Desenvolvidos |             | Em Desenvolvimento |             | Total Empresas | Total Observações |
|------------------------------------|---------------|-------------|--------------------|-------------|----------------|-------------------|
|                                    | Empresas      | Observações | Empresas           | Observações |                |                   |
| Utilidades                         | 4             | 18          | 8                  | 33          | 12             | 51                |
| Tecnologia                         | 97            | 420         | 54                 | 226         | 151            | 646               |
| Serviços Acadêmicos e Educacionais | 1             | 6           | 0                  | 0           | 1              | 6                 |
| Materiais Básicos                  | 82            | 323         | 30                 | 114         | 112            | 437               |
| Indústrias                         | 77            | 298         | 33                 | 125         | 110            | 423               |
| Imobiliário                        | 3             | 13          | 4                  | 6           | 7              | 19                |
| Financeiros                        | 4             | 8           | 1                  | 1           | 5              | 9                 |
| Energia                            | 26            | 109         | 19                 | 60          | 45             | 169               |
| Consumo Não-Cíclico                | 46            | 207         | 17                 | 72          | 63             | 279               |
| Consumo Cíclico                    | 54            | 180         | 25                 | 97          | 79             | 277               |
| Assistência Médica                 | 84            | 348         | 13                 | 34          | 97             | 382               |
| Total                              | <b>478</b>    | <b>1930</b> | <b>204</b>         | <b>768</b>  | <b>682</b>     | <b>2698</b>       |

Fonte: Elaborado pelo autor (2022).

No grupo de países desenvolvidos a maior quantidade de empresas é pertencente ao setor de tecnologia, seguido por assistência médica, materiais básicos e indústrias. O setor de tecnologia também é o que mais possui empresas no grupo de países em desenvolvimento, seguido, porém, pelos setores de indústrias e materiais básicos.

Trabalhos como o de Liu, Guo e Xiao (2019), Scherer, Koning e Tukker (2019) e Sarkodie e Strezov (2018) analisaram a relação do desenvolvimento econômico de países desenvolvidos e em desenvolvimento com seus impactos ambientais. Utilizando a classificação de U.N. (2022), separa-se a amostra em países desenvolvidos e em desenvolvimento para analisar se há uma curva ambiental de Kuznets nos diferentes grupos.

### **3.3. Procedimentos metodológicos para os grupos por ciclo de vida do fluxo de caixa.**

Utilizando a divulgação do fluxo de caixa das entidades, quanto aos recursos gerados pelas atividades operacionais, de investimento e de financiamento, e a metodologia desenvolvida por Dickinson (2011), apresentado no quadro 5 do tópico 2.6, o agrupamento das 682 empresas está evidenciado no quadro 14.

Quadro 14: Amostra conforme classificação pelo ciclo de vida

| Ciclo de Vida           | Empresas | Observações |
|-------------------------|----------|-------------|
| Introdução- Crescimento | 135      | 162         |
| Maturidade              | 571      | 1.602       |
| Turbulência - Declínio  | 360      | 611         |
| Total                   | 1.066    | 2.375       |

Fonte: Elaborado pelo autor (2022).

Como a amostra evidenciou-se pequena em alguns casos, optou-se por agrupar as empresas classificadas em “introdução” e “crescimento” (“introdução-crescimento”), as classificadas em “turbulência” e “declínio” (“turbulência-declínio”), em dois grupos distintos e um terceiro grupo composto apenas por empresas classificadas na fase de “maturidade”.

Algumas empresas não apresentavam valores de seus fluxos caixa em determinados anos, impossibilitando sua classificação pelo ciclo de vida. Por exemplo, a empresa “A” apresentou valores de seu fluxo de caixa nos anos de 2017 a 2019, mas não apresentava dados de 2011 a 2016.

A quantidade de empresas no quadro 25 é maior que as 682 da amostra original, pois uma mesma companhia pode ser classificada em um determinado ano no ciclo de vida de “introdução-crescimento”, mas em outro ano estaria classificada no estágio de “maturidade”.

A distribuição por países desenvolvidos e em desenvolvimento das empresas classificadas pelo ciclo de vida do fluxo de caixa são dispostas no quadro 15.

Quadro 15: Distribuição por países

| Ciclo de Vida Fluxo Caixa | Países        |                    | Total       |
|---------------------------|---------------|--------------------|-------------|
|                           | Desenvolvidos | Em Desenvolvimento |             |
| Introdução-Crescimento    | 102           | 33                 | 135         |
| Maturidade                | 396           | 175                | 571         |
| Turbulência-Declínio      | 239           | 121                | 360         |
| Total                     | 737           | 329                | <b>1066</b> |

Fonte: Elaborado pelo autor (2022).

Destaca-se que a maior parte das informações são de empresas que se concentram em países desenvolvidos, sendo a classificação na fase de maturidade, também, pertencente a este grupo.

Baseando-se nas duas vertentes da literatura citada por Shahbaz e Sinha (2018) e Den Butter e Verbruggen (1994), em que há o antagonismo de que o crescimento econômico causa, inevitavelmente, danos ambientais ou, é essencial para a redução de danos ambientais, analisa-se a relação dos resultados operacionais das entidades com suas emissões de gases de

efeito estufa, classificando o ciclo de vida das entidades de acordo com a metodologia desenvolvida por Dickinson (2011), a qual, analisando os fluxos de caixa operacionais, de investimentos e financiamentos das empresas, prevê uma classificação em fases de introdução, crescimento, maturidade, turbulência e declínio.

Após os agrupamentos são realizadas as regressões para cada grupo separadamente.

## **4. Resultados e análises**

### **4.1. Resultados e análises para a base principal.**

Com o intuito de testar as hipóteses H1, H2, H3a, H3b, H3c e H3d e H4 (apresentadas nos tópicos 2.2 e 2.3) deu-se os procedimentos de pré-teste estatísticos (winsorização, normalidade Shapiro-Wilk, normalidade dos resíduos, correlação de Spearman, multicolinearidade *VIF*, heterocedasticidade, omissão de variáveis de Ramsey, Breusch-Pagan, teste de Chow e especificação de Hausman), apresentados nas tabelas de 1.1 a 1.6 e nos quadros de 1.1 a 1.3 no anexo deste trabalho.

Destaca-se, no quadro 1.1 (do anexo), que após a base de dados ter sido winsorizada a 1% para eliminar valores extremos houve melhora nos dados de todas as variáveis.

A amostra e os resíduos não apresentaram normalidade (quadros 1.2 e 1.3 do anexo), entretanto, este é um fato comum encontrado em pesquisas econômico-financeiras-contábeis que não impede a continuidade dos testes estatísticos e futuras conclusões.

No quadro 1.4 do anexo estão os resultados da correlação das variáveis independentes entre si e com a dependente, observando-se que apresentaram correlação significante a 5% com a dependente, e que todas as variáveis independentes tiveram correlação significativa, também a 5% entre si, exceto “ImobLiq” com “Ebit” e “Ebit2”.

Este fator da correlação das variáveis poderia indicar um problema de multicolinearidade, entretanto, o teste *VIF* (teste de inflação da variância, quadro 1.5, do anexo) da amostra apresentou resultado abaixo de 5, portanto, aceitável para dar continuidade com os testes.

Nos testes de heterocedasticidade, Ramsey e Hausman (quadros 1.6, 1.7 e 1.8 do anexo), para especificação do modelo, apontam para uma regressão em painel por efeitos fixos robustos, sendo os resultados apresentados no quadro 16.

Quadro 16: Resultado regressão em painel para a base principal da amostra.

| Fixed-effects (within) regression                |            | Number of obs = 2698              |       |       |                      |
|--|------------|-----------------------------------|-------|-------|----------------------|
| Group variable: Empresa                          |            | Number of groups = 682            |       |       |                      |
| R-sq: within = 0.0299                            |            | Obs per group: min = 1            |       |       |                      |
| between = 0.0291                                 |            | avg = 4.0                         |       |       |                      |
| overall = 0.0238                                 |            | max = 8                           |       |       |                      |
|  |            | F(7, 681) = 2.86                  |       |       |                      |
| corr(u_i, Xb) = 0.1052                           |            | Prob > F = 0.0060                 |       |       |                      |
| (Std. Err. adjusted for 682 clusters in Empresa) |            |                                   |       |       |                      |
| EGEE1  | Coef.      | Robust<br>Std. Err.               | t     | P> t  | [95% Conf. Interval] |
| Ebit   | .0001838   | .0000603                          | 3.05  | 0.002 | .0000654 .0003022    |
| Ebit2  | -0.0005621 | .0001941                          | -2.90 | 0.004 | -.0009432 -.0001811  |
| IntLiq   | -0.0000676 | .0000325                          | -2.08 | 0.038 | -.0001314 -3.89e-06  |
| Amort  | .0001529   | .0001068                          | 1.43  | 0.153 | -.0000567 .0003625   |
| ImobLiq  | 7.24e-06   | .0000222                          | 0.33  | 0.744 | -.0000363 .0000507   |
| Deprec   | .0003222   | .0001172                          | 2.75  | 0.006 | .000092 .0005524     |
| PD   | .0000131   | .0000611                          | 0.21  | 0.831 | -.000107 .0001331    |
| _cons  | .0000683   | 6.99e-06                          | 9.77  | 0.000 | .0000546 .0000821    |
| sigma_u  | .00024573  |                                   |       |       |                      |
| sigma_e  | .00002903  |                                   |       |       |                      |
| rho  | .98623986  | (fraction of variance due to u_i) |       |       |                      |

Fonte: Elaborado pelo autor (2022).

O modelo possui capacidade de explicação do comportamento da variável dependente de 2,38% (*overall*) tendo apresentado o Chi<sup>2</sup> e a constante com significância a 10%, dessa forma, no quadro 17 apresenta-se um resumo dos resultados obtidos na análise em painel aleatório robusto.

Quadro 177: Resumo dos resultados da regressão em painel para a base principal da amostra

| Variáveis           | Esperado | Resultados          |
|---------------------|----------|---------------------|
| <b>Ebit</b>         | <b>+</b> | <b>0.0001838**</b>  |
| <b>Ebit2</b>        | <b>-</b> | <b>-0.0005621**</b> |
| <b>IntLiq</b>       | <b>-</b> | <b>-0.0000676*</b>  |
| <b>Amort</b>        | <b>-</b> | <b>0.0001529</b>    |
| <b>ImobLiq</b>      | <b>+</b> | <b>7.24e-06</b>     |
| <b>Deprec</b>       | <b>+</b> | <b>0.0003222*</b>   |
| <b>PD</b>           | <b>-</b> | <b>-0.0000131</b>   |
| <b>Constante</b>    |          | <b>0.0000683***</b> |
| <b>Prob&gt;chi2</b> |          | <b>0.0060</b>       |

Fonte: Elaborado pelo autor (2022).

\*10% de significância; \*\*5% de significância; \*\*\*1% de significância

As variáveis “Amort”, “ImobLiq” e “PD” não apresentaram significância no modelo. Porém, “Ebit” e “Ebit2” apresentaram relação significante a 5% com as emissões de gases de

efeito estufa (“EGEE1”), e “IntLiq” e “Deprec” tiveram resultado significante a 10% de confiança.

O resultado significativo da variável “Ebit2” sinaliza a possibilidade de que em algum momento, mesmo a entidade gerando maior resultado operacional, haveria uma menor emissão de gases de efeito estufa desenhandando, dessa forma, uma curva em formato de “U” invertido, aceitando-se, então, a hipótese H1.

O resultado da relação entre “Ebit” e “EGEE1” indicam que há o efeito escala previsto pela HCAK, ou seja, quanto mais a empresa gerar resultado operacional maiores seriam suas emissões de gases de efeito estufa, sendo, então, aceita a hipótese H2.

Essa situação poderia ser explicada pelo efeito composição, considerado por esta pesquisa como sendo a relação de ativo imobilizado e ativo intangível das entidades. Os resultados encontrados para as variáveis “Deprec” e “IntLiq” sinalizam a possibilidade desse efeito aceitando-se, assim, as hipóteses H3a e H3d, rejeitando-se a hipótese H3b e H3c, pois a variável “Amort” e “ImobLiq” não apresentaram resultado significante.

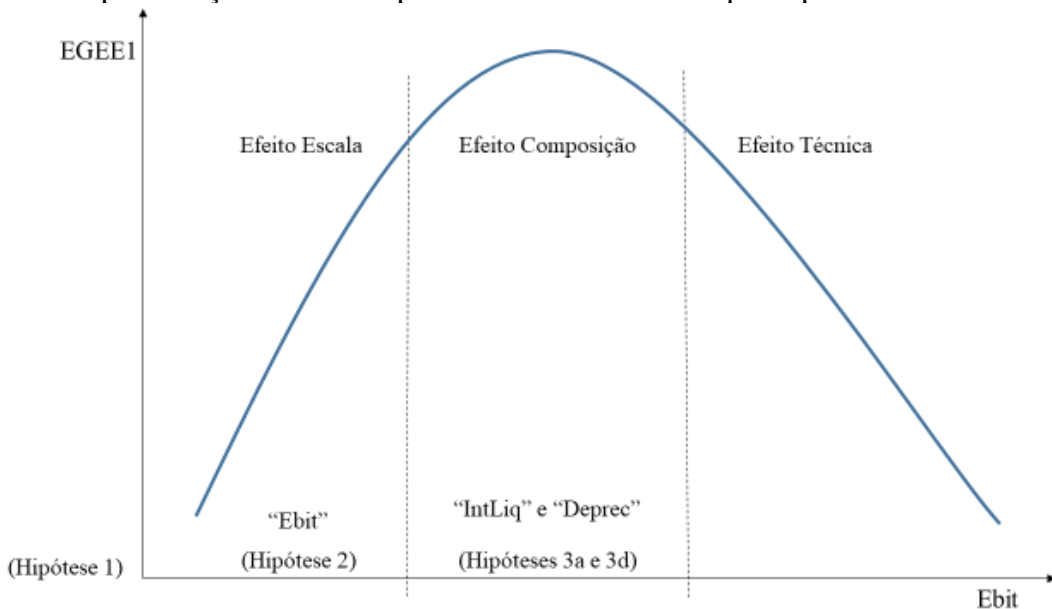
Nota-se que a variável “Deprec” apresentou sinal positivo indicando que quanto maior o valor da depreciação, maior a quantidade de emissões de gases de efeito estufa.

O inverso é observado para a variável “IntLiq”, quanto maior a quantidade de intangível menor o impacto ambiental causado pela entidade, quando considerado a emissão de gases de efeito estufa.

O efeito técnica/tecnológico previsto pela HCAK não foi confirmado, pois a variável “PD”, não apresentou resultado significante, sendo rejeitada a hipótese H4.

Assim, os resultados com a regressão em painel sugerem uma curva em formato de “U” invertido conforme demonstrado no gráfico 2.

Gráfico 2: Representação da HCAK para as entidades da base principal da amostra



Fonte: Elaborado pelo autor com base nos resultados e em Shahbaz e Sinha (2019)

Em um primeiro momento, pelo efeito escala, as entidades tendem a emitir maior quantidade de gases de efeito estufa à medida em que vão aumentando seus resultados operacionais, porém, pelo efeito composição, quando a entidade passa a ter mais intangível e utilizar mais seu imobilizado, capturado por meio da depreciação, as EGEE's vão se estabilizando e tendendo a uma diminuição.

#### 4.2. Resultados e análises por setores de produção econômica.

Ao separar as empresas por setor primário-secundário e terciário realiza-se os testes de diferenças de mediana e média apresentadas no quadro 18, verificando que os grupos são, estatisticamente, diferentes; sendo relevante realizar análises das características de ambos os grupos.

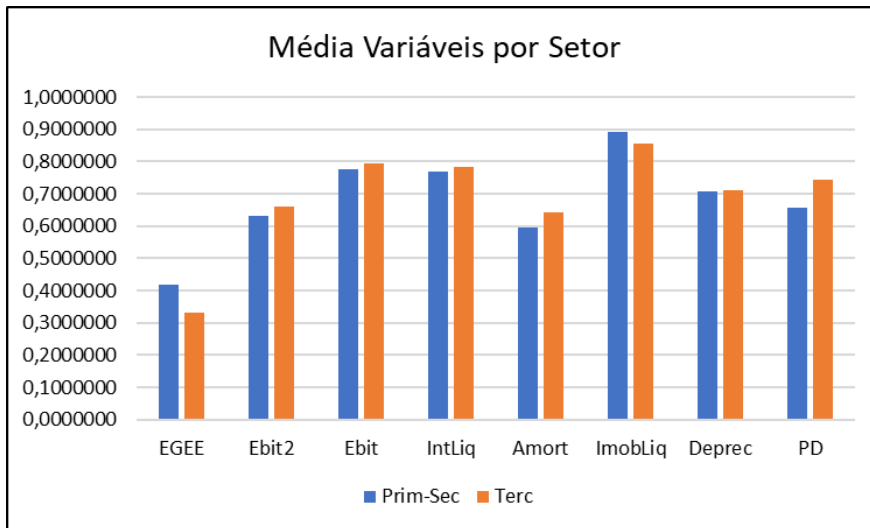
Quadro 18: Estatística descritiva por setor e testes de diferenças mediana e média.

| Variáveis | Obs      |      | Média    |          | Desv. Pad. |          | Min       |           | Máx      |          | Mann-Whitney | T-student |
|-----------|----------|------|----------|----------|------------|----------|-----------|-----------|----------|----------|--------------|-----------|
|           | Prim-Sec | Terc | Prim-Sec | Terc     | Prim-Sec   | Terc     | Prim-Sec  | Terc      | Prim-Sec | Terc     |              |           |
| EGEE      | 1359     | 1339 | .0001644 | .0000157 | .0003822   | .0000389 | 2.33e-07  | 8.75e-09  | .0025356 | .0002761 | 0.0000       | 0.0000    |
| Ebit2     | 1359     | 1339 | .0098976 | .0154084 | .013828    | .0216896 | -.0465879 | .0000139  | .0780234 | .1346207 | 0.0000       | 0.0000    |
| Ebit      | 1359     | 1339 | .0800815 | .0977094 | .0582583   | .0719546 | 2.47e-06  | -.0930421 | .2758976 | .3393802 | 0.0000       | 0.0000    |
| IntLiq    | 1359     | 1339 | .0711983 | .0879595 | .0791716   | .0963873 | .0004706  | .0004831  | .4187508 | .5025407 | 0.0001       | 0.0000    |
| Amort     | 1359     | 1339 | .005544  | .0119337 | .0062152   | .0125357 | 0         | 0         | .0349707 | .0665904 | 0.0000       | 0.0000    |
| ImobLiq   | 1359     | 1339 | .3140054 | .2085647 | .1997289   | .1591461 | .0359394  | .0053028  | .8726583 | .6703828 | 0.0000       | 0.0000    |
| Deprec    | 1359     | 1339 | .0315801 | .0331311 | .0185445   | .0267836 | .0036136  | .0004301  | .1029528 | .1296866 | 0.0055       | 0.1171    |
| PD        | 1359     | 1339 | .0145757 | .0526096 | .0162017   | .0434985 | .0000228  | .0000381  | .0847442 | .2029802 | 0.0000       | 0.0000    |

Fonte: Elaborado pelo autor (2022).

O gráfico 3 é formado com base na média das variáveis apresentadas quadro 18.

Gráfico 3: Características das variáveis contábeis em cada setor.



Fonte: Elaborado pelo autor (2022).

Tal característica pode ser suportada pelo que diz Thakur e Vaidya (2021) e Liu, Guo e Xiao (2019), que empresas do primeiro e segundo setor de produção econômico tendem a fazer maior uso de capital intensivo e possuírem maior representatividade de imobilizado em seus balanços financeiros, sendo que o consumo de combustível, produção industrial e agricultura contribuem fortemente para as emissões de CO<sub>2</sub>. O comércio atacadista e varejista são os dois setores que mais contribuem para a redução das emissões de CO<sub>2</sub>.

Considerando os dados da amostra, no gráfico 3, empresas de setor primário-secundário emitem mais gases de efeito estufa (“EGEE”) utilizando maior quantidade de imobilizado líquido (“ImobLiq”) do que empresas do setor terciário. Por outro lado, as empresas do setor terciário geram maior resultado operacional (“Ebit”), utilizando maior quantidade de intangível (“IntLiq”), amortização (“Amort”) e pesquisa e desenvolvimento (“PD”) que empresas do setor primário-secundário.

No quadro 19 apresentam-se os resultados da relação das emissões de gases de efeito estufa com o tamanho do ativo total de cada setor em separado.

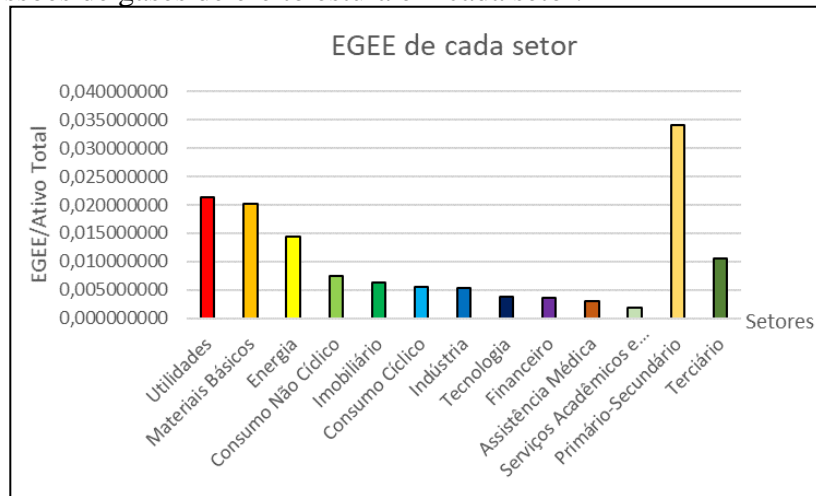
Quadro 19: Montante de EGEE por total de ativos de cada setor.

| Ranking | Setores                            | EGEE       |
|---------|------------------------------------|------------|
| 1       | Utilidades                         | 0,00045667 |
| 2       | Materiais Básicos                  | 0,00041036 |
| 3       | Energia                            | 0,00020556 |
| 4       | Consumo Não-Cíclico                | 0,00005512 |
| 5       | Imobiliário                        | 0,00003873 |
| 6       | Consumo Cíclico                    | 0,00003018 |
| 7       | Indústrias                         | 0,00002792 |
| 8       | Tecnologia                         | 0,00001438 |
| 9       | Financeiros                        | 0,00001270 |
| 10      | Assistência Médica                 | 0,00000957 |
| 11      | Serviços Acadêmicos e Educacionais | 0,00000355 |
| Total   | Primário-Secundário                | 0,00115563 |
|         | Terciário                          | 0,00010910 |

Fonte: Elaborado pelo autor (2022).

Nota-se que o setor com maior emissão de gases de efeito estufa é o de utilidades (fornecimento de eletricidade, gás natural e água) seguido, com pequena diferença, pelo setor de materiais básicos (por exemplo químicos e recursos minerais), já com quase a metade das emissões dos dois primeiros colocados, o setor de energia (combustíveis fósseis, energia renovável e urânio). Em seguida, vem o setor de consumo não-cíclico (que engloba produção de comidas, bebidas e fazendas), com emissão significativamente menor que os setores antecedentes.

Gráfico 4: Emissões de gases de efeito estufa em cada setor.



Fonte: Elaborado pelo autor (2022).

Obs: Foi calculada a raiz quadrada dos dados do quadro 18 para ajustar a escala no gráfico

Já o setor com menor EGEE, constituído por agrupamento de várias empresas, foi “assistência médica”. Na última posição, estão os serviços acadêmicos e educacionais, porém, representado por apenas uma única entidade nesta amostragem. Fica evidenciado, como

demonstrado no quadro 19 e o gráfico 4, que o setor primário-secundário seria o maior emissor de gases de efeito estufa.

Procede-se, então, com a regressão em painel em cada grupo iniciando os testes nas empresas agrupadas no setor primário-secundário.

Os testes realizados (quadros 2.1 a 2.9 do anexo) apontam em direção a uma regressão em painel por efeitos-aleatórios robustos, cujo resultados são apresentados no quadro 20.

Quadro 20: Resultado regressão em painel para setor primário-secundário.

| Random-effects GLS regression                    |           | Number of obs = 1359              |       |       |                      |
|--|-----------|-----------------------------------|-------|-------|----------------------|
| Group variable: Empresa                          |           | Number of groups = 342            |       |       |                      |
| R-sq: within = 0.0354                            |           | Obs per group: min = 1            |       |       |                      |
| between = 0.1409                                 |           | avg = 4.0                         |       |       |                      |
| overall = 0.1400                                 |           | max = 8                           |       |       |                      |
|  |           | Wald chi2(7) = 38.48              |       |       |                      |
| corr(u_i, X) = 0 (assumed)                       |           | Prob > chi2 = 0.0000              |       |       |                      |
| (Std. Err. adjusted for 342 clusters in Empresa) |           |                                   |       |       |                      |
| EGEE1  | Coef.     | Robust                            |       |       |                      |
|  |           | Std. Err.                         | z     | P> z  | [95% Conf. Interval] |
| Ebit   | .0003897  | .000109                           | 3.58  | 0.000 | .0001761 .0006034    |
| Ebit2  | -.001242  | .0003131                          | -3.97 | 0.000 | -.0018557 -.0006284  |
| IntLiq   | -.0002063 | .0000989                          | -2.09 | 0.037 | -.0004001 -.0000125  |
| Amort  | -.0000234 | .0003959                          | -0.06 | 0.953 | -.0007993 .0007525   |
| ImobLiq  | .0000654  | .0000335                          | 1.95  | 0.051 | -2.02e-07 .0001309   |
| Deprec   | .0008442  | .0002694                          | 3.13  | 0.002 | .0003162 .0013723    |
| PD   | -.0013488 | .0005079                          | -2.66 | 0.008 | -.0023443 -.0003533  |
| _cons  | .0001418  | .0000244                          | 5.81  | 0.000 | .000094 .0001897     |
| sigma_u  | .00034631 |                                   |       |       |                      |
| sigma_e  | .00005063 |                                   |       |       |                      |
| rho  | .97906975 | (fraction of variance due to u_i) |       |       |                      |

Fonte: Elaborado pelo autor (2022).

No grupo de empresas pertencentes ao setor primário-secundário, o modelo é capaz de explicar a variável dependente em 14,00% (*overall*) tendo apresentado o Chi<sup>2</sup> e a constante com significância a 1%.

O quadro 21 apresenta que, dentro da HCAK, é possível identificar o efeito escala pelo resultado obtido, a 1% de significância com o sinal da constante positivo, pela variável “Ebit” indicando que enquanto as empresas aumentam seus resultados operacionais, suas emissões de gases de efeito estufa, também, aumentam, aceitando-se a hipótese H2 para o grupo de empresas classificadas no setor primário-secundário.

Quadro 21: Resumo dos resultados da regressão em painel para setor primário-secundário

| Variáveis           | Esperado | Resultados           |
|---------------------|----------|----------------------|
| <b>Ebit</b>         | +        | <b>0.0003897***</b>  |
| <b>Ebit2</b>        | -        | <b>-0.001242***</b>  |
| <b>IntLiq</b>       | -        | <b>-0.0002063**</b>  |
| <b>Amort</b>        | -        | <b>-0.0000234</b>    |
| <b>ImobLiq</b>      | +        | <b>0.0000654*</b>    |
| <b>Deprec</b>       | +        | <b>0.0008442***</b>  |
| <b>PD</b>           | -        | <b>-0.0013488***</b> |
| <b>Constante</b>    |          | <b>0.0001418***</b>  |
| <b>Prob&gt;chi2</b> |          | <b>0.0000***</b>     |

Fonte: Elaborado pelo autor (2022).

\*10% de significância; \*\*5% de significância; \*\*\*1% de significância

Aceita-se, também, a hipótese H1, já que o resultado da variável “Ebit2”, a 1% de significância com sinal da constante negativo, indica a possibilidade do comportamento gráfico de um “U” invertido das emissões de gases de efeito estufa, nas empresas classificadas dentro dos setores primário-secundário, ou seja, em um primeiro momento essas empresas aumentam gradualmente suas emissões conforme aumentam seus resultados operacionais, mas, posteriormente, suas EGEE’s podem diminuir mesmo com o aumento de seus resultados operacionais.

Conforme o mesmo quadro 21, os efeitos composição e técnico são observados pelos resultados obtidos com as variáveis significantes de “IntLiq”, “ImobLiq”, “Deprec” e “PD”, ou seja, empresas do setor primário-secundário diminuiriam suas emissões à medida que fazem maior uso de intangível e tecnologia.

Para as empresas agrupadas no setor terciário os testes (apresentados nos quadros 3.1 a 3.9 do anexo) direcionam para uma regressão em painel por efeitos-fixos robustos, cujo resultado está apresentado no quadro 22, com significância a 5% no modelo e a 1% na constante.

Quadro 22: Resultado regressão em painel para setor terciário

| Fixed-effects (within) regression                |           | Number of obs                     | =     | 1339  |                     |
|--|-----------|-----------------------------------|-------|-------|---------------------|
| Group variable: Empresa                          |           | Number of groups                  | =     | 340   |                     |
| R-sq: within = 0.0330                            |           | Obs per group: min =              |       |       |                     |
| between = 0.0419                                 |           | avg =                             |       |       |                     |
| overall = 0.0220                                 |           | max =                             |       |       |                     |
|  |           | F(7, 339) = 2.41                  |       |       |                     |
| corr(u_i, Xb) = -0.2561                          |           | Prob > F = 0.0202                 |       |       |                     |
| (Std. Err. adjusted for 340 clusters in Empresa) |           |                                   |       |       |                     |
| EGEE1  | Coef.     | Robust                            |       |       |                     |
|  |           | Std. Err.                         | t     | P> t  |                     |
| Ebit   | .0000545  | .0000243                          | 2.24  | 0.026 | .6.68e-06 .0001023  |
| Ebit2  | -.0001245 | .000067                           | -1.86 | 0.064 | -.0002562 7.24e-06  |
| IntLiq   | -.0000104 | 5.13e-06                          | -2.02 | 0.044 | -.0000205 -2.68e-07 |
| Amort  | -5.39e-06 | .0000698                          | -0.08 | 0.938 | -.0001426 .0001318  |
| ImobLiq  | -.0000184 | .0000216                          | -0.85 | 0.396 | -.000061 .0000242   |
| Deprec   | .0000767  | .0001003                          | 0.77  | 0.445 | -.0001205 .000274   |
| PD   | .0000573  | .0000396                          | 1.45  | 0.149 | -.0000206 .0001353  |
| _cons  | .0000115  | 3.45e-06                          | 3.34  | 0.001 | 4.74e-06 .0000183   |
| sigma_u  | .00004121 |                                   |       |       |                     |
| sigma_e  | 8.623e-06 |                                   |       |       |                     |
| rho  | .95804869 | (fraction of variance due to u_i) |       |       |                     |

Fonte: Elaborado pelo autor (2022).

O modelo foi capaz de explicar o comportamento da variável dependente em 2,20% (*overall*) com o Chi<sup>2</sup> significante a 5% e a constante a 1%.

No quadro 23 são resumidos os resultados, sendo destacado que as variáveis “Ebit2”, “Ebit” e “IntLiq” apresentaram significância correspondendo os sinais das constantes ao esperado nas hipóteses H1, H2 e H3a, demonstrando que poderia haver o efeito escala (“Ebit”) e um comportamento em “U” invertido das emissões (“EGEE1”) em relação a resultado operacional da empresa (“Ebit2”).

O resultado com a variável “IntLiq” demonstra que as empresas do setor terciário apresentam uma relação inversa à utilização de intangível líquido com suas EGEE’s, ou seja, quanto maior o uso de intangíveis, menores são as emissões de gases de efeito estufa por essas empresas.

Quadro 23: Resumo dos resultados da regressão em painel para setor terciário.

| Variáveis           | Esperado | Resultados          |
|---------------------|----------|---------------------|
| <b>Ebit</b>         | +        | <b>0.0000545**</b>  |
| <b>Ebit2</b>        | -        | <b>-0.0001245*</b>  |
| <b>IntLiq</b>       | -        | <b>-0.0000104**</b> |
| <b>Amort</b>        | -        | <b>-5.39e-06</b>    |
| <b>ImobLiq</b>      | +        | <b>-0.0000184</b>   |
| <b>Deprec</b>       | +        | <b>0.0000767</b>    |
| <b>PD</b>           | -        | <b>0.0000573</b>    |
| <b>Constante</b>    |          | <b>0.0000115***</b> |
| <b>Prob&gt;chi2</b> |          | <b>0.0202**</b>     |

Fonte: Elaborado pelo autor (2022).

\*10% de significância; \*\*5% de significância; \*\*\*1% de significância

Entretanto, os efeitos composição e técnico não foram observados nos resultados obtidos para a amostra de empresas classificadas no setor terciário, rejeitando-se as demais hipóteses H3b, H3c, H3d e H4 para este grupo. As análises dos resultados obtidos estão descritas no tópico 4.5.

#### 4.3. Resultados e análises por países desenvolvidos e em desenvolvimento

Ao realizar o teste de diferença de mediana e média (*Mann-Whitney* e *t-Student*, respectivamente) nota-se, pelo quadro 24, que ambos os grupos são estatisticamente diferentes o que sinaliza que os setores primário/secundário e terciário possuem características distintas no tocante às variáveis em questão.

Quadro 24: Estatística descritiva por país e testes de diferenças mediana e média.

| Variáveis | Obs  |        | Média    |          | Desv. Pad. |          | Min       |           | Máx      |          | Mann-Whitney | T-student |
|-----------|------|--------|----------|----------|------------|----------|-----------|-----------|----------|----------|--------------|-----------|
|           | Des  | Em Des | Des      | Em Des   | Des        | Em Des   | Des       | Em Des    | Des      | Em Des   |              |           |
| EGEE      | 1930 | 768    | .0000584 | .0002111 | .000135    | .0007759 | 6.34e-08  | 7.84e-09  | .0008273 | .0060374 | 0,0005       | 0,0000    |
| Ebit2     | 1930 | 768    | .0135389 | .0098947 | .0181414   | .0155236 | .0000272  | 2.09e-06  | .1046772 | .08078   | 0,0000       | 0,0000    |
| Ebit      | 1930 | 768    | .0941451 | .0754682 | .065291    | .0646931 | -.0786872 | -.0453703 | .3175831 | .2842183 | 0,0000       | 0,0000    |
| IntLiq    | 1930 | 768    | .0960143 | .0396033 | .0980244   | .0491511 | .0010834  | .0003182  | .5226354 | .2328299 | 0,0000       | 0,0000    |
| Amort     | 1930 | 768    | .0107888 | .0038127 | .0117958   | .0046509 | 0         | 0         | .0669855 | .0220594 | 0,0000       | 0,0000    |
| ImobLiq   | 1930 | 768    | .2215398 | .362877  | .1658892   | .2031015 | .0096615  | .0234246  | .792197  | .8899952 | 0,0000       | 0,0000    |
| Deprec    | 1930 | 768    | .028996  | .0405157 | .0173464   | .0314967 | .0004816  | .0012491  | .0874326 | .1368335 | 0,0000       | 0,0000    |
| PD        | 1930 | 768    | .0389473 | .0193568 | .0402372   | .0241532 | .0000725  | 9.62e-06  | .193674  | .1281788 | 0,0000       | 0,0000    |

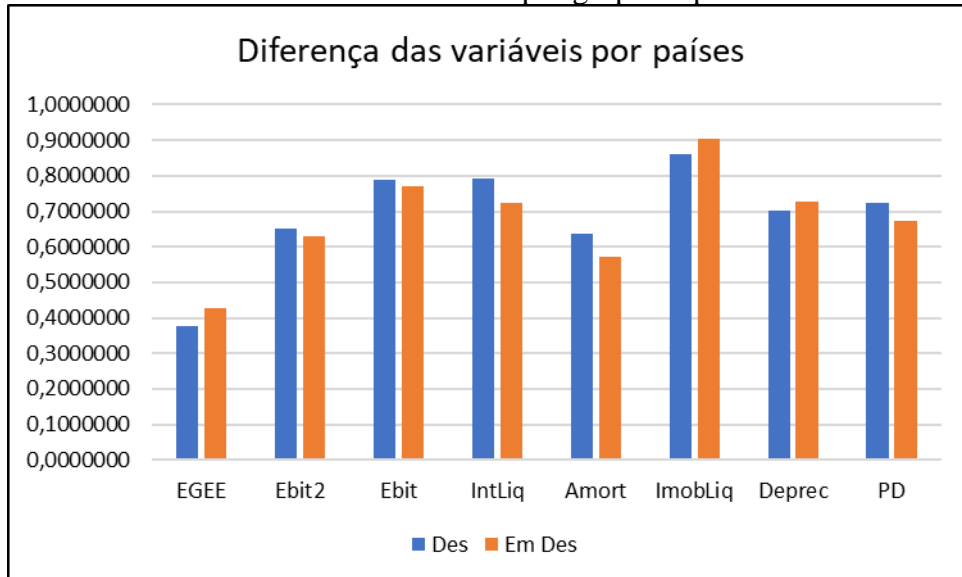
Fonte: Elaborado pelo autor (2022).

Pela média das variáveis apresentadas, no gráfico 5, empresas de países desenvolvidos geram maior resultado operacional (“Ebit”), possuem maior valor de ativos

intangíveis líquidos (“IntLiq”), amortização (“Amort”) e pesquisa e desenvolvimento (“PD”) comparado com empresas de países em desenvolvimento.

Já o imobilizado líquido (“ImobLiq”), a depreciação (“Deprec”) e as emissões de gases de efeito estufa (“EGEE”) são maiores em empresas pertencentes a países em desenvolvimento.

Gráfico 5: Características das variáveis contábeis por grupo de países.



Fonte: Elaborado pelo autor (2022).

Tais características observadas vão de encontro com as afirmações de Leal, Marques e Shahbaz (2021), Pincheira e Zuniga (2021), Sarkodie e Strezov (2019), e Sarkodie e Strezov (2018) ao dizerem que os países em desenvolvimento são mais intensivos em carbono e que há uma transferência de indústrias poluentes de países desenvolvidos para países em desenvolvimento por conta da globalização econômica ou países desenvolvidos transferirem seus setores de produção intensivos em energia ou poluição para outros países com políticas e regulamentações ambientais fracas ou flexíveis.

Para realizar as regressões em painéis para ambos os grupos, inicialmente para empresas de países desenvolvidos os testes (apresentados nos quadros 4.1 a 4.9 do anexo) apontaram para uma regressão em painel por efeitos-aleatórios robustos para empresas de países em desenvolvimento, sendo o resultado apresentado quadro 25.

Quadro 25: Resultado regressão em painel para países desenvolvidos

| Random-effects GLS regression                    | Number of obs        | =                                 | 1930   |       |                      |
|--|----------------------|-----------------------------------|--------|-------|----------------------|
| Group variable: Empresa                          | Number of groups     | =                                 | 478    |       |                      |
| R-sq: within = 0.0427                            | Obs per group: min = | 1                                 |        |       |                      |
| between = 0.1605                                 | avg =                | 4.0                               |        |       |                      |
| overall = 0.1602                                 | max =                | 8                                 |        |       |                      |
|  | Wald chi2(7)         | =                                 | 31.07  |       |                      |
| corr(u_i, X) = 0 (assumed)                       | Prob > chi2          | =                                 | 0.0001 |       |                      |
| (Std. Err. adjusted for 478 clusters in Empresa) |                      |                                   |        |       |                      |
| EGEE1  | Coef.                | Robust                            |        |       |                      |
|  |                      | Std. Err.                         | z      | P> z  | [95% Conf. Interval] |
| Ebit   | .0001826             | .0000625                          | 2.92   | 0.003 | .0000601 .0003052    |
| Ebit2  | -0.0005423           | .0001931                          | -2.81  | 0.005 | -.0009208 -.0001637  |
| IntLiq   | -0.0000444           | .0000168                          | -2.64  | 0.008 | -.0000773 -.0000114  |
| Amort  | .0000423             | .0000894                          | 0.47   | 0.636 | -.0001329 .0002175   |
| ImobLiq  | .0000667             | .0000281                          | 2.37   | 0.018 | .0000116 .0001218    |
| Deprec   | .0003274             | .0001121                          | 2.92   | 0.003 | .0001078 .000547     |
| PD   | -0.0001169           | .0000484                          | -2.42  | 0.016 | -.0002117 -.0000221  |
| _cons  | .0000335             | 9.26e-06                          | 3.61   | 0.000 | .0000153 .0000516    |
| sigma_u  | .00011865            |                                   |        |       |                      |
| sigma_e  | .00002142            |                                   |        |       |                      |
| rho  | .96842775            | (fraction of variance due to u_i) |        |       |                      |

Fonte: Elaborado pelo autor (2022).

No quadro 26 resume-se os resultados e as variáveis que apresentaram significância no modelo, tendo a regressão apresentado significância a 1% para o modelo e para a constante com poder de explicação da variável dependente de 16,02% (*overall*).

Quadro 26: Resumo dos resultados da regressão em painel para países desenvolvidos

| Variáveis           | Esperado | Resultados           |
|---------------------|----------|----------------------|
| <b>Ebit</b>         | <b>+</b> | <b>0.0001826***</b>  |
| <b>Ebit2</b>        | <b>-</b> | <b>-0.0005423***</b> |
| <b>IntLiq</b>       | <b>-</b> | <b>-0.0000444***</b> |
| <b>Amort</b>        | <b>-</b> | <b>0.0000423</b>     |
| <b>ImobLiq</b>      | <b>+</b> | <b>0.0000667**</b>   |
| <b>Deprec</b>       | <b>+</b> | <b>0.0003274***</b>  |
| <b>PD</b>           | <b>-</b> | <b>-0.0001169**</b>  |
| <b>Constante</b>    |          | <b>0.0000335***</b>  |
| <b>Prob&gt;chi2</b> |          | <b>0.0001***</b>     |

Fonte: Elaborado pelo autor (2022).

\*10% de significância; \*\*5% de significância; \*\*\*1% de significância

Apenas a variável “Amort” não apresentou significância, tendo todas as demais, a 1% e 5%, convergindo com o esperado nas hipóteses elaboradas, sendo assim, haveria um comportamento de “U” invertido das emissões de gases de efeito estufa para empresas que estão em países desenvolvidos. Ou seja, em um primeiro momento, pelo efeito escala, com a

variável “Ebit” (H2) tendo apresentado significância a 1%, com sinal de sua constante positivo, as empresas emitiriam maior quantidade de EGEE’s conforme aumentam seus resultados operacionais. Porém, em um segundo momento, pelo efeito composição, com a variável “IntLiq” (H3a) significante a 1%, com sinal da constante negativo, sinalizando que quanto maior a quantidade de intangível líquido, menores seriam as EGEE’s e, ainda pelo efeito composição, as variáveis “ImobLiq” (H3c) e “Deprec” (H3d) com significância a 5% e 1%, respectivamente, e sinais de suas constantes positivos sinalizam que quanto maiores os valores de imobilizado líquido e depreciação maiores seriam suas EGEE’s.

Em um momento final, pelo efeito tecnológico, a variável “PD” (H4) apresentou significância a 5%, sendo o sinal de sua constante negativo sinalizaria que quanto maiores os gastos com pesquisa e desenvolvimento, menores seriam suas emissões de gases de efeito estufa.

O comportamento de “U” invertido das emissões de gases de efeito estufa de empresas que pertencem a países desenvolvidos é confirmado pela significância a 1% da variável “Ebit2” (H1).

Resumindo, as empresas de países desenvolvidos diminuem suas emissões de gases de estufa mesmo aumentando seus resultados operacionais quando houver um maior uso de tecnologia ou, mudando sua composição, utilizando maior quantidade de intangível do que de imobilizado.

Para as empresas classificadas no grupo de países em desenvolvimento (testes apresentados nos quadros 5.1 a 5.15 do anexo) não foi possível realizar as estimativas a partir de regressões com dados em painel, tendo em vista que o teste-F que representa a significância global do modelo não foi estatisticamente significante ao nível de 5%. Nesse sentido, para esta amostra optou-se por estimar regressões com dados empilhados MQO (mínimos quadrados ordinários), atendendo os pressupostos específicos deste modelo.

No quadro 27 observam-se os resultados encontrados da regressão para a amostra em específico e nota-se que o modelo e a constante apresentaram significância a 1%.

Quadro 27: Resultado regressão de dados empilhados MQO para países em desenvolvimento.

| Linear regression |           | Number of obs = 768<br>F( 13, 754) = 3.90<br>Prob > F = 0.0000<br>R-squared = 0.1564<br>Root MSE = .00072 |           |       |           |                      |
|-------------------|-----------|---|-----------|-------|-----------|----------------------|
| EGEE1             |           | Robust  |           |       |           |                      |
|                   |           | Coef.   | Std. Err. | t     | P> t      | [95% Conf. Interval] |
| Ebit              | .0026925  | .0009537  | 2.82      | 0.005 | .0008202  | .0045647             |
| Ebit2             | -.0074337 | .0031181  | -2.38     | 0.017 | -.0135548 | -.0013126            |
| IntLiq            | -.0004912 | .0003893  | -1.26     | 0.207 | -.0012555 | .0002731             |
| Amort             | .0014299  | .0031272  | 0.46      | 0.648 | -.004709  | .0075689             |
| ImobLiq           | .0015898  | .0002814  | 5.65      | 0.000 | .0010374  | .0021423             |
| Deprec            | -.0056483 | .001132   | -4.99     | 0.000 | -.0078706 | -.0034259            |
| PD                | -.0032189 | .0008273  | -3.89     | 0.000 | -.0048429 | -.0015949            |
| Ano               |           |   |           |       |           |                      |
| 2014              | .0001758  | .000098   | 1.79      | 0.073 | -.0000166 | .0003681             |
| 2015              | .0001612  | .0000886  | 1.82      | 0.069 | -.0000126 | .000335              |
| 2016              | .0000679  | .0000709  | 0.96      | 0.339 | -.0000714 | .0002072             |
| 2017              | .0000795  | .0000817  | 0.97      | 0.331 | -.0000808 | .0002397             |
| 2018              | .0001227  | .0000734  | 1.67      | 0.095 | -.0000214 | .0002667             |
| 2019              | .000095   | .0000672  | 1.41      | 0.158 | -.0000369 | .0002269             |
| _cons             | -.0002936 | .0000839  | -3.50     | 0.000 | -.0004583 | -.0001288            |

Fonte: Elaborado pelo autor (2022).

No quadro 28 é apresentado um resumo do resultado encontrado na regressão realizada para empresas de países em desenvolvimento, sendo destaque a variável depreciação (“Deprec”) com significância a 1%, porém, sua relação com as emissões de gases de efeito estufa (“EGEE”) de empresas de países em desenvolvimento é inversa, ou seja, à medida que estas entidades têm maior consumo com depreciação, suas emissões seriam menores, rejeitando-se, portanto, a hipótese H3d.

O efeito escala é observado com a variável “Ebit” (H2) apresentando significância a 1%, sinalizando que quanto maiores os seus resultados operacionais, maiores seriam suas emissões de gases de efeito estufa.

Quadro 28: Resumo dos resultados da regressão em painel para países em desenvolvimento.

| Variáveis           | Esperado | Resultados           |
|---------------------|----------|----------------------|
| <b>Ebit</b>         | +        | <b>0.0026925***</b>  |
| <b>Ebit2</b>        | -        | <b>-0.0074337**</b>  |
| <b>IntLiq</b>       | -        | <b>-0.0004912</b>    |
| <b>Amort</b>        | -        | <b>0.0014299</b>     |
| <b>ImobLiq</b>      | +        | <b>0.0015898***</b>  |
| <b>Deprec</b>       | +        | <b>-0.0056483***</b> |
| <b>PD</b>           | -        | <b>-0.0032189***</b> |
| <b>Constante</b>    |          | <b>-0.0002936***</b> |
| <b>Prob&gt;chi2</b> |          | <b>0.0000***</b>     |

Fonte: Elaborado pelo autor (2022).

\*10% de significância; \*\*5% de significância; \*\*\*1% de significância

Ainda conforme o quadro 28, o efeito composição não é observado, pois não houve significância para as variáveis “IntLiq” e “Amort”, rejeitando-se, assim, as hipóteses H3a e H3b, mas, houve significância a 1% para a variável “ImobLiq” (H3c) em uma relação direta com a variável “EGEE”, ou seja, quanto maiores os valores de imobilizado líquido, maiores seriam suas emissões de gases de efeito estufa, isso pode ser explicado, pelas características destacadas por Leal, Marques e Shahbaz (2021), Pincheira e Zuniga (2021), Sarkodie e Strezov (2019) e Sarkodie e Strezov (2018).

É observado o efeito técnico pela variável “PD” (H4) ter resultado significante a 1% com uma relação inversa à variável “EGEE”, sendo assim, as empresas de países em desenvolvimento emitem menos gases de efeito estufa quando aumentam os gastos em pesquisa e desenvolvimento.

#### **4.4. Resultados e análises por ciclo de vida**

Os testes de mediana (U de *Mann-Whitney*) e média (t-*Student*) foram realizados comparando-se os grupos entre si, ou seja, foram feitos os testes entre os grupos intr-cresc/matur, intr-cresc/turb-decl e matur/turb-decl. Os resultados são apresentados nos quadros 29 e 30.

O teste de mediana U de *Mann-Whitney*, no quadro 29 não apresentou diferença estatística para as variáveis “IntLiq” e “Amort” entre nenhum dos grupos do ciclo de vida. As variáveis “EGEE1” e “ImobLiq” não apresentaram significância estatística apenas na comparação entre os grupos maturidade e turbulência-declínio.

Por último, a variável “PD” não foi significante estatisticamente na comparação entre os grupos introdução-crescimento e maturidade.

Quadro 29: Teste de mediana U de *Mann-Whitney* entre grupos pelo ciclo de vida

| U de Mann-Whitney | Intr-Cresc/Matur | Intr-Cresc/Turb-Decl | Matur/Turb-Decl |
|-------------------|------------------|----------------------|-----------------|
| EGEE1             | 0.00178          | 0.0141               | 0.4928          |
| Ebit2             | 0.0001           | 0.0049               | 0.0000          |
| Ebit              | 0.0000           | 0.0004               | 0.0000          |
| IntLiq            | 0.7509           | 0.7961               | 0.2873          |
| Amort             | 0.4055           | 0.1490               | 0.2266          |
| ImobLiq           | 0.0000           | 0.0000               | 0.2774          |
| Deprec            | 0.0000           | 0.0000               | 0.0315          |
| PD                | 0.2265           | 0.0015               | 0.0000          |

Fonte: Elaborado pelo autor (2022).

O quadro 30 mostra os resultados com o teste de diferença de média t-*Student*, onde, também, as variáveis “IntLiq” e “Amort” não apresentaram diferença estatística significante na comparação entre nenhum dos grupos.

Na comparação entre os grupos introdução-crescimento e maturidade as variáveis “EGEE1” e “Ebit2” não resultaram em diferença com significância estatística entre as médias. Já as variáveis “EGEE1” e “Deprec” não foram significantes na comparação entre os grupos maturidade e turbulência-declínio.

Quadro 30: Teste de média t-*Student* entre grupos pelo ciclo de vida

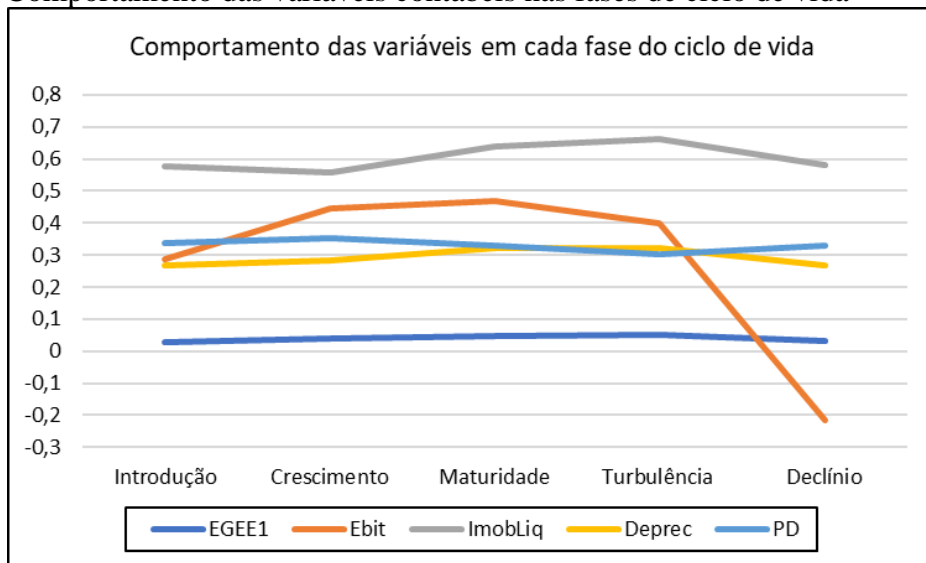
| T-Student | Intr-Cresc/Matur | Intr-Cresc/Turb-Decl | Matur/Turb-Decl |
|-----------|------------------|----------------------|-----------------|
| EGEE1     | 0.1802           | 0.0928               | 0.3096          |
| Ebit2     | 0.1324           | 0.0061               | 0.0000          |
| Ebit      | 0.0018           | 0.0000               | 0.0000          |
| IntLiq    | 0.7614           | 0.5230               | 0.4516          |
| Amort     | 0.8526           | 0.9838               | 0.7807          |
| ImobLiq   | 0.0000           | 0.0000               | 0.0426          |
| Deprec    | 0.0000           | 0.0000               | 0.2280          |
| PD        | 0.0113           | 0.0000               | 0.0001          |

Fonte: Elaborado pelo autor (2022).

Foi constatado que não há significância estatística nas variáveis das empresas em cada grupo do ciclo de vida. Estes resultados comprometem a comparação entre o comportamento das variáveis das empresas em cada grupo, pois, não é possível afirmar que sejam influenciadas dependendo da fase do ciclo de vida em que a empresa esteja.

Ao analisar as variáveis que apresentaram diferença significante nas médias ou medianas, no geral, no gráfico 6, todas, menos pesquisa e desenvolvimento, aumentaram seus valores até a fase de maturidade, ou até mesmo na fase de turbulência, como é o caso das variáveis “EGEE1” e “ImobLiq”, mas, a partir da fase de turbulência os valores começam a diminuir até a fase de declínio.

Gráfico 6: Comportamento das variáveis contábeis nas fases de ciclo de vida



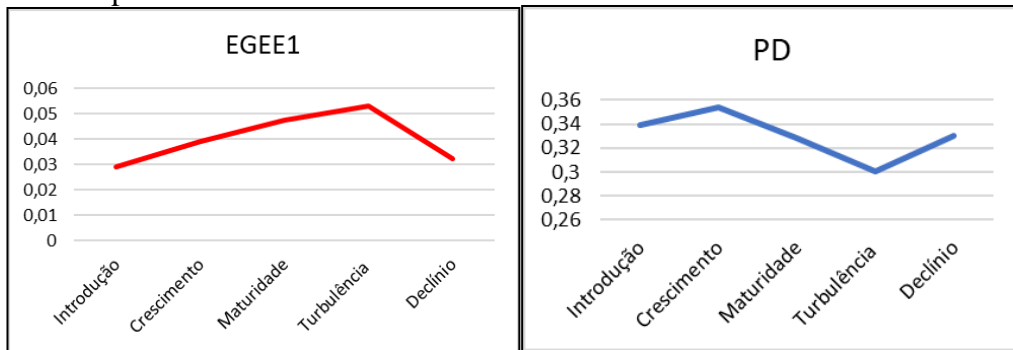
Fonte: Elaborado pelo autor (2022).

O comportamento do imobilizado líquido (“ImobLiq”) pode ser explicado pelo que é relatado por Dickinson (2011): à medida que as empresas amadurecem, a concorrência se torna mais intensa e a ênfase muda para redução de custos e melhor utilização da capacidade. Isso significa que os índices de giro de ativos devem aumentar no estágio maduro, podendo o alto nível na fase de introdução ser devido a investimentos em gastos não capitalizados, como pesquisa e desenvolvimento e/ou arrendamentos operacionais.

No gráfico 7 é dado destaque às variáveis “EGEE” e “PD” para uma análise do comportamento de seus gráficos. Nele fica claro o comportamento inverso das variáveis, enquanto as “EGEE” aumentam até a fase de maturidade e diminuem nas fases de turbulência e declínio, os gastos com “PD” têm um comportamento crescente na fase de introdução, diminuindo no decorrer das demais fases de crescimento, maturidade e turbulência, mas, no final, no estágio de declínio, ocorre um aumento nesses gastos.

Este comportamento dos gastos com pesquisa e desenvolvimento foram destacados por Dickinson (2011), que diz que a intensidade deles deve ser mais alta para empresas em estágio inicial à medida que constroem sua tecnologia, porém, as empresas em declínio parecem aumentar sua pesquisa e desenvolvimento, talvez, em uma tentativa de recuperação.

Gráfico 7: Comportamento das variáveis contábeis nas fases de ciclo de vida



Fonte: Elaborado pelo autor (2022).

O comportamento das emissões de gases de efeito estufa são condizentes com a expectativa de que à medida que empresas aumentam suas atividades impactariam mais o meio ambiente, entretanto, tal efeito pode ser amenizado ou até mesmo revertido se estas utilizarem tecnologias mais amigáveis ao meio ambiente.

Não foi possível realizar as estimativas a partir de regressões com dados em painel, para as empresas nos estágios de ciclo de vida introdução-crescimento (resultados constantes nos quadros 6.1 a 6.10 do anexo) e maturidade (resultados constantes nos quadros 7.1 a 7.15 do anexo) tendo em vista que o teste-F, que representa a significância global do modelo, não se apresentou significante estatisticamente ao nível de 5%. Nesse sentido, para estes grupos optou-se por estimar regressões com dados empilhados MQO (mínimos quadrados ordinários), atendendo os pressupostos específicos deste modelo. Porém, mesmo com dados empilhados MQO, com as empresas classificadas em introdução-crescimento, não retornaram resultados com significância, impossibilitando inferir se haveria o fenômeno da curva ambiental de Kuznets para empresas constantes nesta fase de ciclo de vida.

Já para as empresas classificadas na fase de maturidade prosseguiu-se com os testes metodológicos de especificação apontando para regressão de dados empilhados MQO sendo os resultados apresentados no quadro 31.

Quadro 31: Resultado regressão de dados empilhados MQO para ciclo de vida maturidade.

| Linear regression |           |          |           |       |                 |                      |
|-------------------|-----------|----------|-----------|-------|-----------------|----------------------|
|                   |           |          |           |       |                 |                      |
|                   |           |          |           |       | Number of obs = | 1602                 |
|                   |           |          |           |       | F( 13, 1588) =  | 18.58                |
|                   |           |          |           |       | Prob > F =      | 0.0000               |
|                   |           |          |           |       | R-squared =     | 0.2393               |
|                   |           |          |           |       | Root MSE =      | .00017               |
|                   |           |          |           |       |                 |                      |
|                   |           | Robust   |           |       |                 |                      |
|                   |           | Coef.    | Std. Err. | t     | P> t            | [95% Conf. Interval] |
| Ebit              | -.000485  | .0001979 | -2.45     | 0.014 | -.0008731       | -.0000968            |
| Ebit2             | .0008515  | .0005903 | 1.44      | 0.149 | -.0003063       | .0020094             |
| IntLiq            | -.0000652 | .000033  | -1.97     | 0.049 | -.0001299       | -3.92e-07            |
| Amort             | -.0005838 | .0002406 | -2.43     | 0.015 | -.0010557       | -.0001118            |
| ImobLiq           | .0005441  | .0000562 | 9.68      | 0.000 | .0004338        | .0006543             |
| Deprec            | -.001527  | .0002877 | -5.31     | 0.000 | -.0020914       | -.0009627            |
| PD                | -.0004318 | .0000727 | -5.94     | 0.000 | -.0005744       | -.0002891            |
| Ano               |           |          |           |       |                 |                      |
| 2014              | -.0000151 | .0000223 | -0.68     | 0.498 | -.0000588       | .0000286             |
| 2015              | -3.55e-06 | .0000224 | -0.16     | 0.874 | -.0000474       | .0000403             |
| 2016              | -.0000212 | .0000215 | -0.98     | 0.325 | -.0000633       | .000021              |
| 2017              | -.000031  | .0000209 | -1.48     | 0.138 | -.0000719       | 9.98e-06             |
| 2018              | -.000025  | .000021  | -1.19     | 0.234 | -.0000663       | .0000162             |
| 2019              | -.0000361 | .000021  | -1.73     | 0.085 | -.0000772       | 4.95e-06             |
| _cons             | .0000744  | .0000243 | 3.06      | 0.002 | .0000267        | .000122              |

Fonte: Elaborado pelo autor (2022).

Observa-se nos dados resumidos no quadro 32 que não é possível verificar a curva ambiental de Kuznets em empresas que estejam na fase do ciclo de vida de maturidade, pois a variável “Ebit2” não apresentou resultado com significância, rejeitando-se assim a hipótese H1 para esse grupo, diferentemente do resultado com a base principal da amostra onde a H1 foi aceita.

Quadro 32: Resumo dos resultados da regressão para ciclo de vida maturidade

| Variáveis           | Esperado | Resultados           |
|---------------------|----------|----------------------|
| <b>Ebit</b>         | +        | <b>-0.000485**</b>   |
| <b>Ebit2</b>        | -        | <b>0.0008515</b>     |
| <b>IntLiq</b>       | -        | <b>-0.0000652**</b>  |
| <b>Amort</b>        | -        | <b>-0.0005838**</b>  |
| <b>ImobLiq</b>      | +        | <b>0.0005441***</b>  |
| <b>Deprec</b>       | +        | <b>-0.001527***</b>  |
| <b>PD</b>           | -        | <b>-0.0004318***</b> |
| <b>Constante</b>    |          | <b>0.0000744***</b>  |
| <b>Prob&gt;chi2</b> |          | <b>0.0000***</b>     |

Fonte: Elaborado pelo autor (2022).

\*10% de significância; \*\*5% de significância; \*\*\*1% de significância

Para o grupo de empresas classificadas na fase de maturidade do ciclo de vida o modelo apresentou uma capacidade de explicação da variável dependente de 23,93% com significância a 1% da constante e do Chi<sup>2</sup>.

Considerando os resultados apresentados no quadro 32 e o gráfico 7, mesmo que as empresas no estágio de maturidade apresentem o maior nível de emissões de gases de efeito estufa, nesta fase, suas emissões diminuem enquanto que seus resultados operacionais aumentam. Isso pode ser constatado pela significância a 5% obtida com a variável “Ebit” com o sinal de sua constante negativo, porém, não configura como o efeito escala previsto pela HCAK, sendo rejeitada a hipótese H2.

O efeito composição pode ser verificado pela significância das variáveis “IntLiq”, “Amort” e “ImobLiq”, aceitando-se as hipóteses H3a, H3b e H3c, caracterizando que as empresas nesta fase, maturidade, emitem menos gases de efeito estufa à medida que utilizam maior quantidade de intangível líquido e amortização, mas, poluem mais ao utilizarem mais imobilizado líquido.

Entretanto, destaca-se pelo gráfico 6, que neste estágio as empresas possuem um maior valor com relação a depreciação, porém, os resultados encontrados para as empresas neste estágio de ciclo de vida, indicam que haveria uma relação inversa desses gastos com as emissões de gases de efeito estufa. Este resultado é o oposto do esperado na hipótese H3d.

Ainda no gráfico 7, observa-se que na fase de maturidade, os gastos com pesquisa e desenvolvimento são menores, porém, neste estágio, os resultados encontrados na regressão MQO, quadros 31 e 32, as emissões de gases de efeito estufa possuem uma relação inversa com a variável “PD”, tendendo, então, a diminuir à medida que as empresas gastam mais com pesquisa e desenvolvimento, podendo-se verificar a ocorrência do efeito técnica previsto pela HCAK, aceitando-se, assim, a hipótese H4.

Tais características são embasadas pela explicação de Dickinson (2011) ao dizer que há maior giro de ativos na fase de maturidade das empresas, dessa forma, nessa fase as empresas trocariam seus ativos por outros com maior tecnologia e eficiência em custos explicando-se, assim, o sinal inverso da depreciação com as emissões de gases de efeito estufa.

Já para as empresas classificadas em turbulência-declínio foi obtido significância do modelo, cujos resultados da regressão em painel por efeitos-fixos robustos são apresentados no quadro 33 e os testes estatísticos estão constantes nos quadros 8.1 a 8.9 do anexo.

Quadro 33: Resultado regressão em painel para painel ciclo de vida turbulência-declínio.

| Fixed-effects (within) regression                |  | Number of obs    | =         | 611                  |       |                                   |          |
|--|--|------------------|-----------|----------------------|-------|-----------------------------------|----------|
| Group variable: Empresa                          |  | Number of groups | =         | 360                  |       |                                   |          |
| R-sq: within = 0.0263                            |  | Obs per group:   |           |                      |       |                                   |          |
| between = 0.0010                                 |  | min =            |           |                      |       |                                   |          |
| overall = 0.0027                                 |  | avg =            |           |                      |       |                                   |          |
|  |  | max =            |           |                      |       |                                   |          |
|  |  | F(7, 359)        |           |                      |       |                                   |          |
| corr(u_i, Xb) = -0.0016                          |  | = 2.22           |           |                      |       |                                   |          |
|  |  | Prob > F         |           |                      |       |                                   |          |
|  |  | = 0.0325         |           |                      |       |                                   |          |
| (Std. Err. adjusted for 360 clusters in Empresa) |  |                  |           |                      |       |                                   |          |
| EGEE1  |  | Robust           |           |                      |       |                                   |          |
|  |  | Coef.            | Std. Err. | t                    |       |                                   |          |
|  |  |                  |           | P> t                 |       |                                   |          |
|  |  |                  |           | [95% Conf. Interval] |       |                                   |          |
| Ebit   |  | .0001948         | .0001305  | 1.49                 | 0.137 | -.0000619                         | .0004515 |
| Ebit2  |  | .0000101         | .0004144  | 0.02                 | 0.981 | -.0008048                         | .000825  |
| IntLiq   |  | -.0000962        | .0000581  | -1.66                | 0.098 | -.0002105                         | .000018  |
| Amort  |  | .000178          | .0004125  | 0.43                 | 0.666 | -.0006331                         | .0009892 |
| ImobLiq  |  | -.0000268        | .0000727  | -0.37                | 0.713 | -.0001698                         | .0001162 |
| Deprec   |  | .0005033         | .0003475  | 1.45                 | 0.148 | -.0001802                         | .0011867 |
| PD   |  | -.0001041        | .0001867  | -0.56                | 0.577 | -.0004713                         | .000263  |
| _cons  |  | .0000977         | .0000125  | 7.82                 | 0.000 | .0000732                          | .0001223 |
| sigma_u  |  | .00028723        |           |                      |       |                                   |          |
| sigma_e  |  | .00005188        |           |                      |       |                                   |          |
| rho  |  | .96840146        |           |                      |       | (fraction of variance due to u_i) |          |

Fonte: Elaborado pelo autor (2022).

O quadro 34 está resumindo o resultado obtido para as empresas classificadas na fase de turbulência-declínio dando destaque que a única variável a apresentar significância a 10% foi o intangível líquido (“IntLiq”).

Quadro 34: Resumo dos resultados da regressão em painel ciclo de vida turbulência-declínio.

| Variáveis           | Esperado | Resultados          |
|---------------------|----------|---------------------|
| <b>Ebit</b>         | +        | <b>0.0001948</b>    |
| <b>Ebit2</b>        | -        | <b>0.0000101</b>    |
| <b>IntLiq</b>       | -        | <b>-0.0000962*</b>  |
| <b>Amort</b>        | -        | <b>0.000178</b>     |
| <b>ImobLiq</b>      | +        | <b>-0.0000268</b>   |
| <b>Deprec</b>       | +        | <b>0.0005033</b>    |
| <b>PD</b>           | -        | <b>-0.0001041</b>   |
| <b>Constante</b>    |          | <b>0.0000977***</b> |
| <b>Prob&gt;chi2</b> |          | <b>0.0325</b>       |

Fonte: Elaborado pelo autor (2022).

Tal resultado indica que estas empresas no estágio de ciclo de vida de turbulência-declínio emitiriam menos EGEE's à medida que possuem maior quantidade de intangível líquido em suas operações. Leva-se em consideração que os resultados encontrados para as empresas nessa fase do ciclo de vida não identificam os efeitos escala, compensação ou

técnica previsto pela HCAK, rejeitando-se, portanto, as hipóteses elaboradas para essa amostra.

#### **4.5. Resumo dos resultados**

Os resultados para a base principal da amostra convergiram com o esperado nas hipóteses apontando que é possível encontrar o comportamento previsto pela HCAK, dado que as empresas, em um primeiro momento, com resultado significante para a variável “Ebit” em uma relação direta com a variável “EGEE1”, pelo efeito escala, emitem maior quantidade de gases de efeito estufa conforme aumentam seus resultados operacionais, aceitando, portanto, a hipótese H2, porém, pelo resultado significante da variável “Ebit2”, e confirmando a hipótese H1, suas emissões, em algum momento, tendem a uma diminuição, desenhando uma curva em “U” invertida.

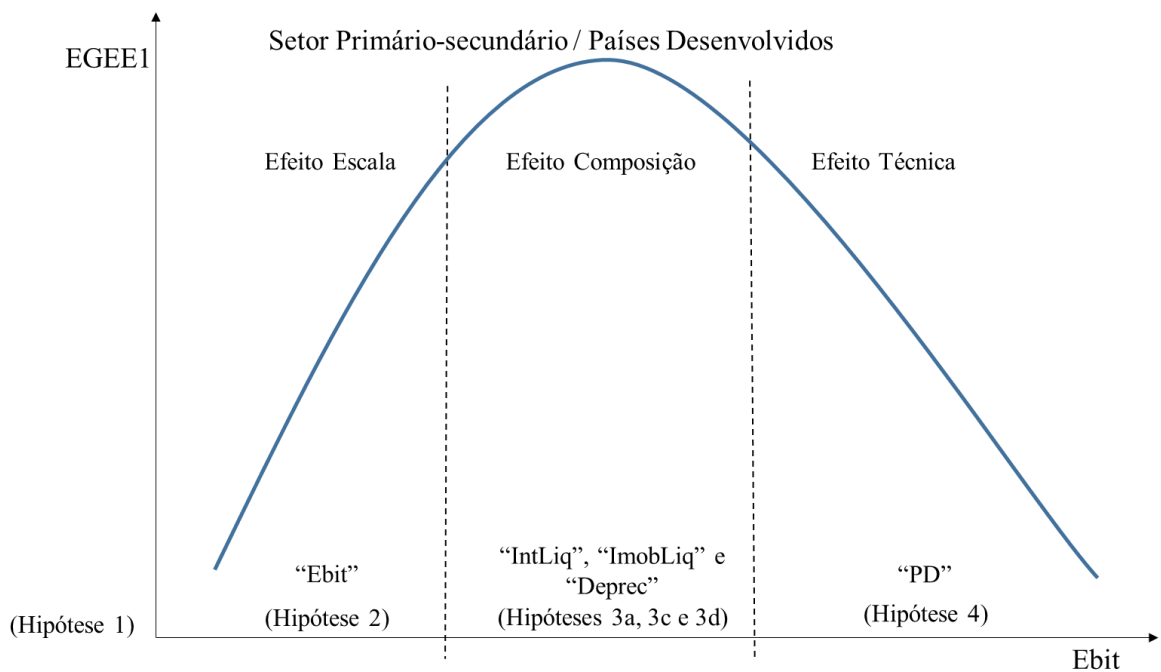
Esse comportamento ocorre à medida em que as entidades alteram sua estrutura de ativos, pelo efeito composição, utilizando menos recursos imobilizados (variável “Deprec”) e mais recursos intangíveis (variável “IntLiq”), aceitando-se, conforme os resultados significantes, as hipóteses H3a e H3d. Tal ação leva as empresas, de um modo geral, a diminuírem suas emissões de gases de efeito estufa mesmo com o contínuo aumento de seus resultados operacionais.

Não houve resultado significante para a variável “Amort”, “ImobLiq” e “PD”, portanto, não são aceitas as hipóteses H3b, H3c e H4.

Analizando a amostra separada em grupos de setores de produção, países e ciclo de vida encontra-se, também, a relação descrita pela HCAK, com evidências dos efeitos escala, composição e técnico nas empresas pertencentes aos grupos de setor primário-secundário e países desenvolvidos.

Esta relação é representada no gráfico 8.

Gráfico 8: Representação da relação entre emissões de gases de efeito estufa com variáveis contábeis conforme HCAK para a base principal da amostra, setor primário-secundário e países desenvolvidos.



Fonte: Elaborado pelo autor (2022).

O quadro 35 apresenta um resumo de todos os resultados obtidos na amostra principal e para cada grupo analisado.

Quadro 35: Resumo dos resultados encontrados

| Hipóteses  | Variáveis             | Esperado | Base Principal      | Resumo dos Resultados Encontrados |                     |                      |                      |                   |                      |                     |
|------------|-----------------------|----------|---------------------|-----------------------------------|---------------------|----------------------|----------------------|-------------------|----------------------|---------------------|
|            |                       |          |                     | Setores                           |                     | Países               |                      | Ciclo de Vida     |                      |                     |
|            |                       |          |                     | Primár.- Secund.                  | Terciário           | Desenvolvidos        | Em Desenv.           | Introd-Cresc      | Maturidade           | Turb-Decl           |
| <b>H1</b>  | <b>Ebit2</b>          | -        | <b>0.0001838**</b>  | <b>-0.0003131***</b>              | <b>-0.000067*</b>   | <b>-0.0005423***</b> | <b>-0.0074337**</b>  | <b>-0.0038632</b> | <b>0.0008515</b>     | <b>0.0000101</b>    |
| <b>H2</b>  | <b>Ebit</b>           | +        | <b>-0.0005621**</b> | <b>0.0001209***</b>               | <b>0.0000545**</b>  | <b>0.0001826***</b>  | <b>0.0026925***</b>  | <b>0.0010081</b>  | <b>-0.000485**</b>   | <b>0.0001948</b>    |
| <b>H3a</b> | <b>IntLiq</b>         | -        | <b>-0.0000676*</b>  | <b>-0.0002063**</b>               | <b>-0.0000104**</b> | <b>-0.0000444***</b> | <b>-0.0004912</b>    | <b>-0.0001191</b> | <b>-0.0000652**</b>  | <b>-0.0000962*</b>  |
| <b>H3b</b> | <b>Amort</b>          | -        | <b>0.0001529</b>    | <b>-0.0000234</b>                 | <b>-5.39e-06</b>    | <b>0.0000423</b>     | <b>0.0014299</b>     | <b>0.0000708</b>  | <b>-0.0005838**</b>  | <b>0.000178</b>     |
| <b>H3c</b> | <b>ImobLiq</b>        | +        | <b>7.24e-06</b>     | <b>0.0000654*</b>                 | <b>-0.0000184</b>   | <b>0.0000667**</b>   | <b>0.0015898***</b>  | <b>0.00093</b>    | <b>0.0005441***</b>  | <b>-0.0000268</b>   |
| <b>H3d</b> | <b>Deprec</b>         | +        | <b>0.0003222*</b>   | <b>0.0002694***</b>               | <b>0.0000767</b>    | <b>0.0003274***</b>  | <b>-0.0056483***</b> | <b>-0.0031174</b> | <b>-0.001527***</b>  | <b>0.0005033</b>    |
| <b>H4</b>  | <b>PD</b>             | -        | <b>-0.0000131</b>   | <b>-0.0013488***</b>              | <b>0.0000573</b>    | <b>-0.0001169**</b>  | <b>-0.0032189***</b> | <b>-0.0001402</b> | <b>-0.0004318***</b> | <b>-0.0001041</b>   |
|            | <b>Constante</b>      |          | <b>0.0000683***</b> | <b>0.0001418***</b>               | <b>0.0000115***</b> | <b>0.0000335***</b>  | <b>-0.0002936***</b> | <b>-0.0000764</b> | <b>0.0000744***</b>  | <b>0.0000977***</b> |
|            | <b>Prob &gt; chi2</b> |          | <b>0.0060</b>       | <b>0.0000***</b>                  | <b>0.0202**</b>     | <b>0.0001***</b>     | <b>0.0000***</b>     | <b>0.1893</b>     | <b>0.0000***</b>     | <b>0.0325</b>       |

Fonte: Elaborado pelo autor (2022).

\*10% de significância; \*\*5% de significância; \*\*\*1% de significância

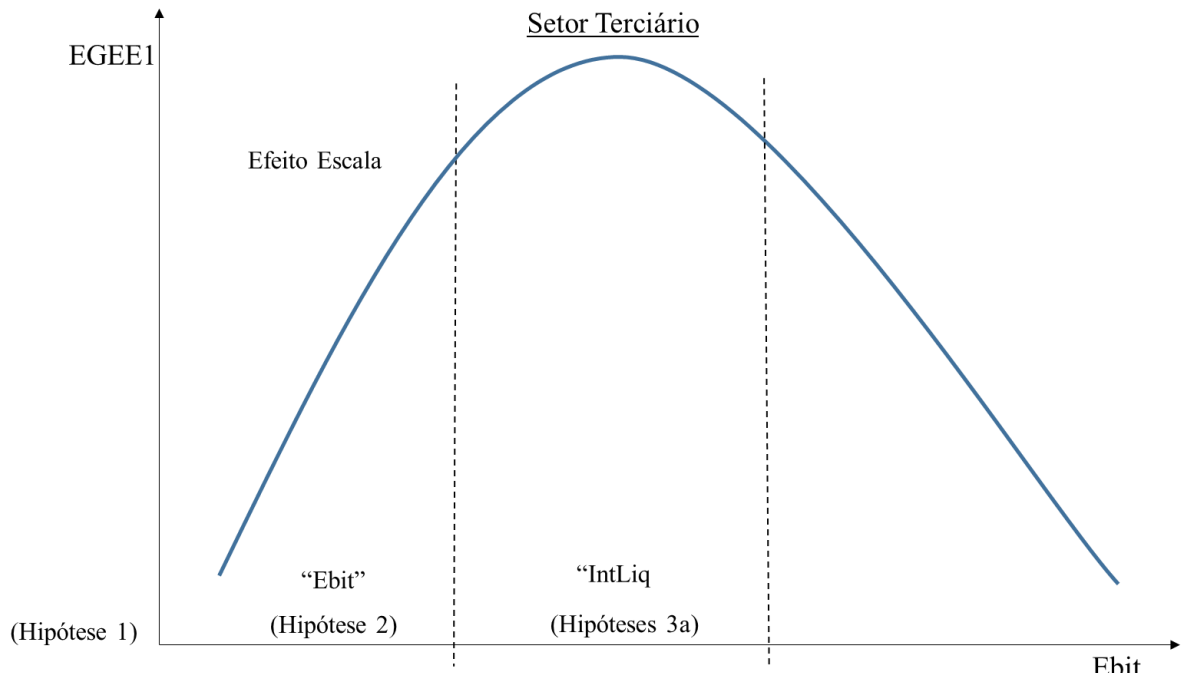
Na análise por setores é possível atestar a HCAK no grupo primário-secundário rejeitando-se apenas a hipótese H3b que relaciona a apropriação da amortização com as emissões de gases.

Já para o grupo de empresas do setor terciário encontrou-se a confirmação dos efeitos escala e do desenho gráfico em “U” invertido na relação das emissões de gases de efeito estufa com o resultado operacional, aceitando-se, também, as hipóteses H2 e H1, respectivamente, ou seja, para empresas do setor terciário há o aumento de suas emissões de gases conforme seus resultados operacionais aumentam, entretanto, em algum momento, suas emissões diminuem mesmo aumentando seus resultados.

Para este grupo, também é confirmada a hipótese H3a mostrando que quanto maior o uso de intangível líquido utilizado por estas empresas menores seriam suas emissões de gases.

O gráfico 9 representa a relação encontrada para as empresas classificadas no setor terciário.

Gráfico 9: Representação da relação entre emissões de gases de efeito estufa com variáveis contábeis conforme HCAK para empresas do grupo setor terciário.



Fonte: Elaborado pelo autor (2022).

Entretanto, para as empresas do setor terciário as demais hipóteses H3b, H3c, H3d e H4 foram rejeitadas, não sendo confirmados os efeitos composição e técnico para este grupo, não sendo possível atestar que exista uma relação completa conforme HCAK entre as emissões de gases de efeito estufa com seus resultados operacionais.

Como apresentado no gráfico 3 do tópico 4.2, empresas do setor terciário possuem maior quantidade de intangível e pesquisa e desenvolvimento e menor quantidade de imobilizado que empresas do setor primário-secundário. Tal característica pode explicar o resultado de não encontrar uma relação significativa entre o imobilizado e as emissões de gases. Já o intangível líquido é uma variável contábil relevante para explicar as emissões de empresas deste setor, no caso, quanto maior o uso de intangível menores são suas emissões de gases de efeito estufa.

Entretanto, a variável “PD” também é maior para empresas do setor terciário, porém, não foi encontrada uma relação significativa com as “EGEE1”, diferente do resultado encontrado para empresas do setor primário-secundário. Tal resultado pode sinalizar que a tecnologia utilizada por empresas do setor primário-secundário é voltada para a diminuição das emissões de gases, enquanto que para o grupo do setor terciário não são.

A razão por encontrar os efeitos escala, composição e técnico em empresas do setor primário-secundário e, apenas, o efeito escala para empresas do setor terciário, pode ser explicado pela pressão social e legal sobre companhias do primário-secundário para que diminuam suas emissões (impactem menos o meio ambiente), sendo estas vistas pela sociedade em geral como as empresas que mais impactariam o meio ambiente, se comparada a empresas do setor terciário. Dessa forma, empresas do setor primário-secundário procuraram utilizar inovações tecnológicas que impactem menos o meio ambiente e, assim, diminuam suas emissões de gases.

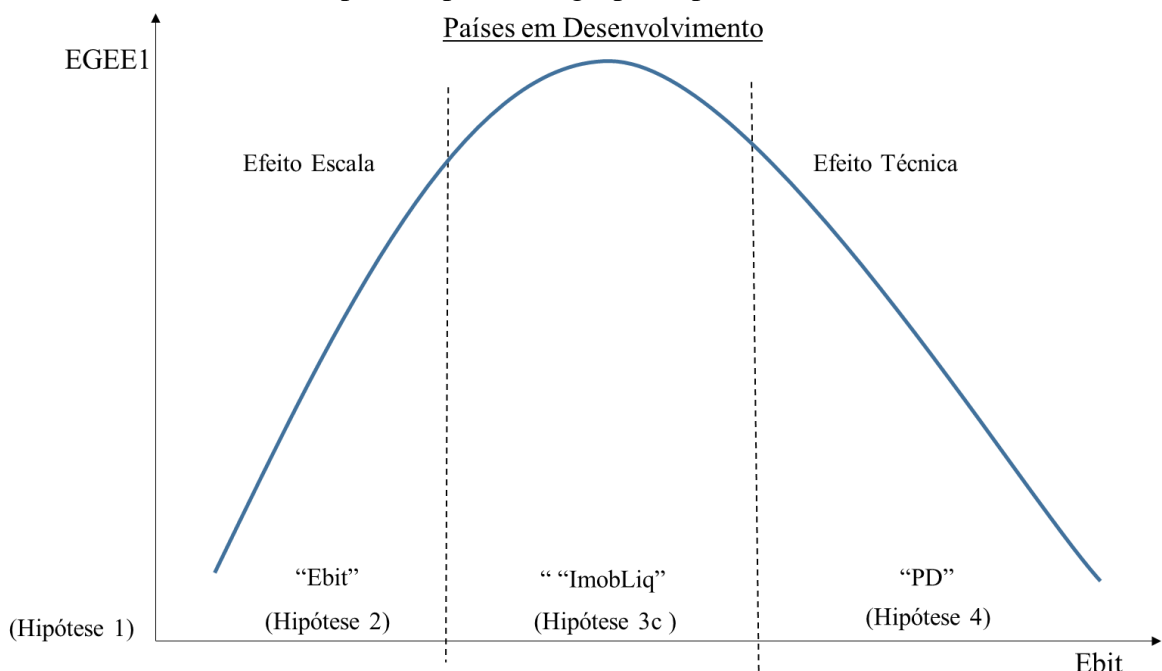
A relação das emissões de gases com o resultado operacional, encontrada por este trabalho, para o grupo de empresas separadas por seus setores fortalecem as características dos grupos apresentados por Thakur e Vaidya (2021) e Liu, Guo e Xiao (2019), de que empresas do primeiro e segundo setores de produção econômico, tendem a fazer maior uso de capital intensivo e possuírem maior representatividade de imobilizado em seus balanços financeiros, sendo que a produção industrial, agricultura e o consumo de combustível contribuem fortemente para as emissões de CO<sub>2</sub>, enquanto que, por outro lado, o comércio atacadista e varejista (setor terciário) são os dois setores que menos emitem CO<sub>2</sub>.

Também é confirmada a relação, conforme HCAK, para empresas pertencentes ao grupo de países desenvolvidos, o mesmo encontrado por Leal, Marques e Shahbaz (2021), sendo rejeitada, apenas, a hipótese H3b, enquanto que para empresas de países em desenvolvimento são confirmadas as hipóteses H1 (relação em “U” invertido das emissões com o resultado operacional), H2 (efeito escala) e H4 (efeito técnica).

A hipótese H3c foi aceita para empresas de países em desenvolvimento, evidenciando-se uma relação direta entre o imobilizado líquido com as emissões, porém, o resultado de uma relação inversa entre a depreciação (hipótese H3d) e a EGEE1, e a não significância das variáveis intangível líquido (hipótese H3a) e amortização (hipótese H3b), não possibilitam afirmar que haja o efeito composição para empresas deste grupo. Isso pode ser explicado pelo menor volume de intangíveis disponíveis para empresas nestes países e, no caso da depreciação e amortização, pela possível falta de uniformidade entre o consumo desses ativos e as emissões.

No gráfico 10 é apresentada a relação encontrada para as empresas classificadas no grupo de países em desenvolvimento.

Gráfico 10: Representação da relação entre emissões de gases de efeito estufa com variáveis contábeis conforme HCCK para empresas do grupo de países em desenvolvimento.



Fonte: Elaborado pelo autor (2022).

Estes resultados vão de encontro, em parte, ao que afirmam Leal, Marques e Shahbaz (2021) de que os países desenvolvidos produzem uma curva em forma de “U” invertido, mas, nos resultados deste trabalho, há uma relação de “U” invertido entre as emissões e o resultado operacional das empresas de países em desenvolvimento, ao contrário do que dizem Leal, Marques e Shahbaz (2021) que verificaram que os países em desenvolvimento produzem uma curva em forma de “U”.

Destaca-se que Leal, Marques e Shahbaz (2021) analisaram uma amostra de 32 economias desenvolvidas e 26 em desenvolvimento de 1995 a 2017, considerando o efeito da globalização sobre a degradação ambiental; diferente do presente trabalho que analisa a relação das variáveis contábeis com as emissões de gases de efeito estufa e um volume de 478 empresas de 22 países desenvolvidos e 204 empresas de 18 países em desenvolvimento.

Não se pode afirmar que há uma relação completa conforme descreve a HCAK para empresas classificadas, na amostra deste trabalho, como pertencentes a países em desenvolvimento, pois, não foi encontrada evidência estatística significativa do efeito composição para as variáveis “IntLiq”, “Amort” e “Deprec”.

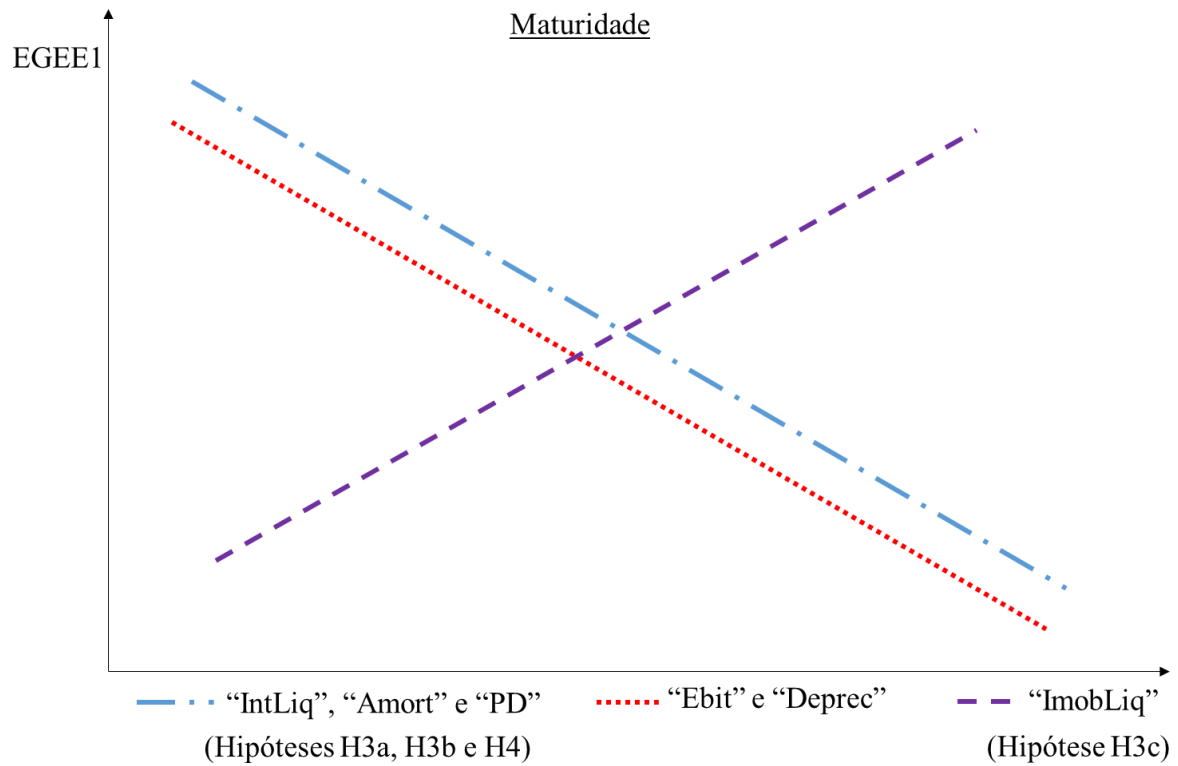
O fato de não ter sido constatado o efeito composição para empresas de países em desenvolvimento pode ser pelo motivo de que estas ainda concentram boa parte de sua produção em capital intensivo, ou seja, maior uso de imobilizado líquido (tendo a H3c sido aceita) e menor uso de intangível líquido (H3a tendo sido rejeitada já que os resultados não mostraram significância estatística), como constatado pelo gráfico 5 do tópico 4.3. Ainda assim, os resultados reforçam o que dizem Leal, Marques e Shahbaz (2021), Pincheira e Zuniga (2021), Sarkodie e Strezov (2019) e Sarkodie e Strezov (2018) de que os países em desenvolvimento são mais intensivos em carbono.

A relação esperada entre a “Deprec” e a “EGEE1” (hipótese H3d) era de que quanto maior o valor de depreciação, maior a emissão de gases de efeito estufa, entretanto, os resultados para este grupo mostram que há uma relação inversa entre a apropriação de depreciação e as emissões para as empresas de países em desenvolvimento, ou seja, quanto maior o valor de “Deprec” menor “EGEE1”. Este resultado da relação entre depreciação e emissões de gases para os países em desenvolvimento é o contrário ao encontrado para países desenvolvidos (no qual foi aceita a hipótese H3d).

Por fim, empresas agrupadas pelo ciclo de vida não apresentaram relação conforme HCAK em nenhum dos três grupos, porém, para empresas classificadas na fase de maturidade aceitam-se as hipóteses H3a, H3b, H3c e H4, confirmando os efeitos composição e técnica previsto pela HCAK.

Todavia, não é possível afirmar que empresas nesta fase apresentem o efeito escala ou a relação de “U” invertido das emissões de gases de efeito estufa. A relação encontrada nos resultados para empresas classificadas no grupo de ciclo de vida de maturidade é representada no gráfico 11.

Gráfico 11: Representação da relação entre emissões de gases de efeito estufa com variáveis contábeis conforme HCAK para empresas do grupo de maturidade.



Fonte: Elaborado pelo autor (2022).

Nota-se que há um resultado contrário do esperado pelas hipóteses H2 e H3d, evidenciando que empresas classificadas na fase de maturidade possuem uma relação inversa de seus resultados operacionais e depreciação com suas emissões. Essa evidência sugere que em empresas na fase de maturidade, à medida que aumentam seus resultados operacionais e o consumo de depreciação, suas emissões diminuem.

Neste caso, então, as empresas podem estar passando por uma fase de transição onde ainda não é possível atestar uma relação “U” invertido entre as emissões e o resultado operacional, mas, suas emissões tendem a uma diminuição já que o maior consumo de depreciação e o aumento do resultado operacional apresentaram resultado significante estatisticamente. Nesta fase, as empresas estariam utilizando a tecnologia adquirida nas fases de introdução e crescimento que, por conseguinte, causariam a diminuição das emissões.

Nas demais fases, introdução-crescimento e turbulência-declínio, não é possível atestar a HCAK nem mesmo alguns dos efeitos previstos pela hipótese da curva ambiental, pois, não houve resultado estatisticamente significante para nenhum destes grupos.

Tal resultado pode sinalizar que empresas nas fases de introdução-crescimento e turbulência-declínio não estão preocupadas, estratégica e operacionalmente, com questões

ambientais ou, pelo menos, ainda não observam os efeitos de decisões de menor impacto ambiental em seus resultados operacionais e emissões de gases de efeito estufa.

Observa-se contradição nos grupos de empresas do setor terciário, países em desenvolvimento e ciclo de vida de maturidade em relação aos resultados das variáveis “ImobLiq” e “IntLiq” comparativamente às variáveis “Deprec” e “Amort”. Tal comportamento pode ser explicado pela dinamicidade da movimentação dos ativos no que concerne as aquisições e baixas, fato que influencia na apropriação da depreciação e amortização ao longo da vida útil. Acrescente-se ainda que alguns ativos intangíveis não são passíveis de amortização.

## **5. Considerações finais**

Equilibrar a balança entre desenvolvimento econômico e mudança climática tem sido uma tarefa desafiadora, tema em que vários pesquisadores se debruçaram para entender melhor a relação das entidades e da economia com o meio ambiente.

Este trabalho teve por objetivo identificar se é possível haver uma relação das emissões de gases de efeito estufa com variáveis contábeis, conforme hipótese da curva ambiental de Kuznets. Houve êxito nas análises agrupadas por setor primário-secundário e países desenvolvidos, porém, os detalhamentos ainda requerem mais investigações.

Os resultados confirmaram estatisticamente os efeitos escala, composição e técnico, de forma a sugerir que existe uma relação conforme a curva ambiental de Kuznets, na amostra agrupada por setor primário-secundário e países desenvolvidos.

Na amostra principal confirmaram-se estatisticamente a curva em forma de “U” invertido entre resultado operacional e emissões de gases de efeito estufa. Pelo efeito escala, há um aumento das emissões de gases à medida que o resultado operacional das empresas vai aumentando, porém, pelo efeito composição, conforme utilizam maior quantidade de intangível líquido e menos imobilizado líquido (capturado pela variável “Deprec”), suas emissões diminuem. Porém, por fim, o efeito tecnológico não foi encontrado. Tal resultado não significante da variável “PD” pode ser por problemas em capturar a tecnologia desenvolvida ou utilizada pelas entidades por meio da contabilização vigente nas orientações contábeis.

A existência do padrão HCAK permite entender quais variáveis podem explicar a intensificação ou amenização das emissões de gases de efeito estufa das empresas, mesmo

progredindo com seu desenvolvimento econômico e, desta forma, caminhando para gerar mais valor com menos impacto ambiental.

A análise da depreciação demonstra que, nos casos de empresas de países em desenvolvimento e na fase do ciclo de vida de maturidade, há uma relação contrária ao esperado na hipótese H3d. Além disso, a variável “Amort” foi significante, apenas, para empresas no grupo de maturidade. Tal fato pode ser decorrente da ausência de uniformidade entre os diversos métodos utilizados, bem como, pela possível falta de relação delas com o efetivo consumo dos respectivos ativos.

A separação da amostra de dados da base principal em setores, países e ciclo de vida permitiu observar algumas características particulares de tais grupos e, ainda, corroborar com o resultado da relação conforme a HCAK das emissões de gases de efeito estufa e o resultado operacional das entidades. Entretanto, ainda, demonstra necessidade de investigações.

Empresas do setor primário-secundário apresentaram a relação prevista pelo efeito escala, porém, dado o resultado significante da variável “Ebit2”, suas emissões tendem a uma diminuição conforme seus resultados operacionais aumentam. Empresas do setor primário-secundário emitem maior quantidade de gases de efeito estufa à medida que aumentam seus resultados operacionais (efeito escala), porém, dado o resultado significante da variável “Ebit2” e ao utilizarem mais intangível líquido, menos imobilizado líquido (efeito composição) e mais tecnologia (efeito tecnológico) diminuem suas emissões continuando a ter resultado operacional crescente.

Fato que não pode ser, totalmente, observado para empresas do setor terciário, pois os resultados para este setor evidenciaram uma relação em “U” invertido das emissões de gases de efeito estufa com o resultado operacional, mas não foi possível confirmar uma relação completa das variáveis contábeis com as emissões de gases conforme previsto pela HCAK, já que não foram confirmados estatisticamente os efeitos composição e técnico.

Para empresas de países desenvolvidos, a relação, conforme prevista pela HCAK, pode ser verificada para todos os efeitos (escala, composição e tecnológico) e as emissões de gases, apresentando um formato de “U” invertido com o resultado operacional. Explicável pelo fato de empresas destes países possuírem maiores incentivos econômicos, legais, políticos e sociais, para se tornarem menos poluentes e, portanto, emitirem menos gases de efeito estufa.

Já para empresas de países em desenvolvimento, somente, os efeitos escala e técnico evidenciam a relação de “U” invertido a partir da relação da EGEE com o resultado operacional. Porém, o mesmo não ocorreu com o efeito composição. Esse resultado requer

mais pesquisas para verificar se ocorreu em função da falta de uniformidade das características das empresas nesses países.

Foi possível observar que empresas em fase de maturidade com resultados operacionais crescentes apresentaram tendência de diminuição de suas emissões. Comportamento, também, observado ao utilizarem maior quantidade de intangível líquido, amortização, depreciação e pesquisa e desenvolvimento. Havendo, para empresas deste grupo, também, uma relação de quanto maior o valor do imobilizado líquido, maiores são suas emissões de gases de efeito estufa.

Entretanto, a relação dos efeitos escala, composição, técnico e a relação de “U” invertido entre as emissões de gases e o resultado operacional, não foram confirmadas para nenhum grupo de empresas classificadas pelo ciclo de vida introdução-crescimento, maturidade ou turbulência-declínio.

Na fase de introdução-crescimento pode haver uma maior emissão de gases conforme há um aumento dos resultados operacionais, porém, ao chegar na fase de maturidade a empresa passa a se preocupar mais com questões socioambientais se adaptando ou mitigando suas emissões de gases. Dessa forma, na fase de maturidade haveria ainda um aumento dos resultados e uma diminuição das emissões de gases. Porém, ao entrar na fase de turbulência-declínio a empresa volta-se, novamente, a focar em apresentar resultados operacionais positivos deixando em segundo plano questões socioambientais, desenhando uma curva em formato de “N”.

Importante destacar que ao separar a amostra principal em grupos, alguns ficaram com quantidade de empresas diferentes do seu contraponto de comparação, o que pode enviesar alguns resultados. Por exemplo, há predomínio do setor de tecnologia tanto nas empresas de países desenvolvidos quanto em desenvolvimento. Sendo que o total de empresas de países desenvolvidos (478) é mais do que o dobro que em países em desenvolvimento (204). Porém, as emissões de GEE são maiores nos países em desenvolvimento. Talvez o predomínio de empresas do setor terciário, mesmo nos países em desenvolvimento, pode explicar não ter encontrado o mesmo resultado que Leal, Marques e Shahbaz (2021), uma curva em formato de “U” para esses países, além da diferença quantitativa, de região e de período da amostra.

Neste trabalho foi possível identificar nas variáveis contábeis as características das empresas que a levam a emitir mais (resultado operacional, imobilizado líquido e depreciação) ou menos (intangível líquido e pesquisa e desenvolvimento) gases de efeito estufa, e trazer para a contabilidade e suas demonstrações financeiras um novo olhar sobre a

interação das entidades com o meio ambiente. Ainda que aperfeiçoamentos sejam necessários para esclarecer o comportamento nos desdobramentos da amostra.

Esse entendimento da relação das variáveis contábeis com as emissões de gases de efeito estufa pode ajudar o ISSB, ou outras entidades com objetivos semelhantes, na elaboração de métricas e de padrões de divulgação das informações empresariais relacionadas ao clima, melhorando a qualidade, a comparabilidade e a confiabilidade destas. Tal fato pode influenciar na avaliação do valor das entidades ao considerarem os riscos e oportunidades relacionados a seus impactos ambientais.

Vale destacar que, a depender do contexto econômico, mercado e fase de desenvolvimento das entidades, o comportamento das variáveis contábeis comparado com as emissões de gases pode apresentar uma relação diferente da esperada pela HCAK. Dessa forma, iniciativas como a do ISSB precisam levar em consideração tais aspectos no momento de elaboração das orientações de divulgação dos padrões de sustentabilidade. Outra contribuição do ISSB é a padronização e obrigação de divulgação de dados socioambientais que facilitará as pesquisas na área da contabilidade ambiental e na compreensão da relação entre as entidades e o meio ambiente.

Entender essa relação poderá proporcionar melhores decisões dos gestores quanto às estratégias para diminuírem seus impactos ambientais e se adequarem às exigências de divulgações socioambientais, como as do ISSB. A partir das reflexões lançadas neste estudo, é possível considerar a elaboração de indicadores para a avaliação e inserção nos relatórios de sustentabilidade, inclusive, para analisar sua interação com outras medidas de impacto ambiental, por exemplo, desmatamento.

Para futuras pesquisas, sugere-se ampliar a amostra, tentar equalizar os grupos para ter resultados mais precisos no detalhamento entre países, setores e ciclo de vida, além de verificar se há outras relações possíveis entre as variáveis contábeis e as emissões de gases de efeito estufa das empresas. Utilizar outros métodos para classificação do ciclo de vida das empresas como sugerido por Anthony e Ramesh (1992), Yan e Zao (2010) e Faff *et al* (2016) considerando seu modelo MLDA para obter maior robustez da amostra já que seu uso permite classificar todas as empresas de uma amostra. Outra sugestão é ampliar o período para confirmar os resultados de Mostafa, Gamal e Wafiq (2021), Caraka *et al* (2020), Zowalaty, Young e Järhult (2020), quanto à redução das EGEE durante o período de pandemia, considerando a curva de Kuznets. Sugere-se, também, adotar os diferentes escopos de emissão de gases de efeito estufa, 2 e 3, no intuito de verificar se a relação conforme HCAK ainda

pode ser observada nos diferentes setores, países e ciclo de vida. Aconselha-se realizar a análise por setor de forma mais específica, não agrupando vários em um, ou dois, somente.

## REFERÊNCIAS

- AHMAD, M., JABEEN, G., WU, Y.**, (2021). Heterogeneity of pollution haven/halo hypothesis and environmental Kuznets curve hypothesis across development levels of Chinese provinces. *J. Cleaner Prod.* 285, 124898.
- ALMEIDA, A. N. de; SILVA, J. C. G. L. da; ANGELO, H.** (2012). Importância dos setores primário, secundário e terciário para o desenvolvimento sustentável. *Revista Brasileira de Gestão e Desenvolvimento Regional*.
- ALSHEHHI, A., NOBANEE, H., KHARE, N.**, (2018). The impact of sustainability practices on Corporate Financial Performance: Literature Trends and Future Research Potential. *Sustainability* 10 (2), 494–519
- ALVARADO, R.; ORTIZ, C.; JIMENEZ, N.; OCHOA-JIMENEZ, D.; TILLAGUANGO, B.** (2021). Ecological footprint, air quality and research and development: The role of agriculture and international trade. *Journal of Cleaner Production* 288.
- AMJAD, M. S.; RAFIQUE, M. Z.; KHAN, M. A.** (2021). Leveraging Optimized and Cleaner Production through Industry 4.0. *Sustainable Production and Consumption* 26 859–871
- ANDRIANSYAH, A.; NURWANDA, A.; RIFAI, B.** (2021). Structural Change and Regional Economic Growth in Indonesia. *Munich Personal RePEc Archive*.
- ANTHONY, J.; RAMESH, K.** (1992). Association between accounting performance measures and stock prices: A test of the life cycle hypothesis. *Journal of Accounting and Economics*, 15, 203–227.
- ARNAUT, J.; LIDMAN, J.** (2021) Environmental Sustainability and Economic Growth in Greenland: Testing the Environmental Kuznets Curve. *Sustainability*, 13, 1228.
- ASLAM, B.; HU, J.; HAFEEZ, M.; MA, D.; ALGARNI, T. S.; SAEED, M.; ABDULLAH, M. A.; HUSSAIN, S.** (2021). Applying environmental Kuznets curve framework to assess the nexus of industry, globalization, and CO<sub>2</sub> emission. *Environmental Technology & Innovation* 21.
- ÁVILA, E. S. de; DINIZ, E. M.** (2015) Evidências sobre curva ambiental de Kuznets e convergência das emissões. *Estud. Econ.*, São Paulo, vol.45, n.1, p. 97-126, jan.-mar.
- BHATIA, P.; CUMMIS, C.; BROWN, A.; RICH, D.; DRAUCKER, L.; LAHD, H.** (2011). Corporate Value Chain (Scope 3) Accounting and Reporting Standard; Supplement to the GHG Protocol Corporate Accounting and Reporting Standard. *GHG Protocol*, World Resources Institute.
- BHATTACHARYA, D.; CHANG, Chia-Wen; LI, Wei-Hsien** (2019). Stages of Firm Life Cycle, Transition, and Dividend Policy. *Finance Research Letter*.
- BLOMKVIST, M.; LOFLUND, A.; VYAS, H.** (2021) Credit ratings and firm life-cycle. *Finance Research Letters*.

**BOAVENTURA, J. M. G.; SILVA, R. S. da; BANDEIRA-DE-MELLO, R.** (2012) Corporate Financial Performance and Corporate Social Performance: Methodological Development and the Theoretical Contribution of Empirical Studies. *R. Cont. Fin.* – USP, São Paulo, v. 23, n. 60, p. 232-245, set./out./nov./dez. 2012

**CARAKA, R.E.; LEE, Y.; KURNIAWAN, R.; HERLIANSYAH, R.; KABAN, P.A.; NASUTION, B.I.; GIO, P.U.; CHEN, R.C.; TOHARUDIN, T.; B.** (2020) Impact of COVID-19 large scale restriction on environment and economy in Indonesia. *Global J. Environ. Sci. Manage.* 6(SI): 65-84, Autumn.

**CARREIRA, D.; RE'EM, A.; TARIN, M.** (2015) Natural Capital Risk Exposure of the Financial Sector in Brazil. *Trucost & CEBDS*.

**CHANG, M.C.,** (2015). Room for improvement in low carbon economies of G7 and BRICS countries based on the analysis of energy efficiency and environmental Kuznets curves. *J. Clean. Prod.* 99, 140–151.

**DEN BUTTER, F. & VERGRUGGEN, H.** (1994) Measuring the trade-off between economic growth and a clean-environment, *Environmental and Resource Economics*, Vol. 4, No. 2 pp. 187-208.

**DICKINSON, V.** (2011) Cash flow patterns as a proxy for firm life cycle. *The Accounting Review*, 86, n. 6.

**DICKINSON, V.; KASSA, H.; SCHABERL, P. D.** (2018) What information matters to investors at different stages of a firm's life cycle? *Advances in Accounting*.

**DINDA, S.** (2004). Environmental Kuznets Curve Hypothesis: A Survey. *Ecological Economics* 49 431 – 455

**DINIZ, E. H.; YAMAGUCHI, J. A.; SANTOS, T. R. dos; CARVALHO, A. P. de; ALEGO, A. S.; CARVALHO, M.** (2021) Greening inventories: Blockchain to improve the GHG Protocol Program in scope 2. *Journal of Cleaner Production* 291.

**DOWNIE, J., STUBBS, W.,** (2013). Evaluation of Australian companies' scope 3 greenhouse gas emissions assessments. *J. Clean. Prod.* 56, 156e163.

**DURANA, P., MICHALKOVA, L., PRIVARA, A., MAROUSEK, J., & TUMPACH, M.** (2021). Does the life cycle affect earnings management and bankruptcy? *Oeconomia Copernicana*, 12(2), 425–461. doi: 10.24136/oc.2021.015

**ECCLES, R. G.; IOANNOU, I.; SERAFEIM, G.** (2014) The impact of corporate sustainability on organizational processes and performance. *Management Science* 60, no. 11 2835–2857

**EPA;** Agência de Proteção Ambiental dos Estados Unidos. Compreendendo os potenciais de aquecimento global. Disponível em< <https://www.epa.gov/ghgemissions/understanding-global-warming-potentials>> Acesso em: 08/02/2021.

- FAAFF, R., KWOK, W., PODOLSKI, E., WONG, G.**, 2016. Do corporate policies follow a life-cycle? *J. Bank. Financ.* 69, 95–107.
- FARIA, J. A. de; ANDRADE, J. C. S.; GOMES, S. M. da S.** (2018) Fatores determinantes da evidenciação das mudanças climáticas nas empresas brasileiras participantes do Carbon Disclosure Project [CDP]. *Revista de Gestão Ambiental e Sustentabilidade*, vol. 7, núm. 1, pp. 162-184.
- GALINDO-RUEDA, F.; VERGER, F.** (2016) OECD taxonomy of economic activities based on r&d intensity. *OECD Science, Technology and Industry Working Papers*.
- GHG PROTOCOL.** (2015) A Corporate Accounting and reporting standard: revised edition. World Resources Institute, World Business Council for Sustainable Development.
- GROSSMAN, G.M.; KRUEGER, A.B.** (1991) Environmental Impacts of the North American Free Trade Agreement; Working Paper 3914; NBER: Cambridge, UK.
- INPE**, Instituto Nacional de Pesquisas Espaciais. Monitoramento do território: mudanças climáticas. Disponível em: <<http://www.inpe.br/faq/index.php?pai=9>> Acesso em: 03-08-2022.
- IFRS.** About the International Sustainability Standards Board. Disponível em: <<https://www.ifrs.org/groups/international-sustainability-standards-board/>> Acesso em: 03-08-2022.
- JALAVA, J.** (2006). Production, primary, secondary and tertiary: Finnish growth and structural change, 1860-2004, *Pellervo Economic Research Institute Working Papers* 80: 27. ISBN 952-5594-06-8 (PAP), ISBN 952-5594-07-6 (PDF), ISSN 1455-4623
- KOONDHAR, M. A.; SHAHBAZ, M.; MEMON, K. A.; OZTURK, I.; KONG, R.** (2021) A visualization review analysis of the last two decades for environmental Kuznets curve “EKC” based on co-citation analysis theory and pathfinder network scaling algorithms. *Journal Environmental Science and Pollution Research*.
- KUZNETS, S.** (1995) Economic growth and income inequality. *Am. Econ. Rev.* 45, 1-28.
- KURNIASIH, E. P.** (2017) Effect of economic growth on income inequality, labor absorption, and welfare. *Economic Journal of Emerging Markets*, 2017.
- KWEKU, D. W.; BISMARK, O.; MAXWELL, A.; DESMOND, K. A.; DANSO, K. B.; OTI-MENSAH, E. A.; QUACHIE, A. T.; ADORMAA, B. B.** (2017) Greenhouse Effect: Greenhouse Gases and Their Impact on Global Warming. *Journal of Scientific Research & Reports*.
- LAPINSKIENĖ, G.; PELECKIS, K.; NEDELKO, Z.** (2017) Testing environmental kuznets curve hypothesis: the role of enterprise's sustainability and other factors on ghg in european countries. *Journal of Business Economics and Management*, 2017, 18(1): 54–67

**LEAL, P. H.; MARQUES, A. C.; SHAHBAZ, M.** (2021) The role of globalisation, de jure and de facto, on environmental performance: evidence from developing and developed countries. *Journal Environment, Development and Sustainability*, 2021.

**LEÃO, E. B. de S.; NASCIMENTO, L. F. M. do; ANDRADE, J. C. S. de; OLIVEIRA, J. A. P. de.** (2020) Carbon accounting approaches and reporting gaps in urban emissions: An analysis of the Greenhouse Gas inventories and climate action plans in Brazilian cities, *Journal of Cleaner Production*, v. 245.

**LEE, K.-H., MIN, B.**, (2015) Green R&D for eco-innovation and its impact on carbon emissions and firm performance. *Journal of Cleaner Production* 108, 534–542.

**LI, L.; MCMURRAY, A.; LI, X.; GAO, Y.; XUE, J.** (2021) The diminishing marginal effect of R&D input and carbon emission mitigation. *Journal of Cleaner Production* 282.

**LIMA, R.; BENKE, D.** (2021) Como as empresas vêm contribuindo para a neutralidade climática. Ed.: 3. Conselho Empresarial Brasileiro para o Desenvolvimento Sustentável (CEBDS)

**LINNENLUECKE, M. K.; BIRT, J.; GRIFFITHS, A.** (2015) The role of accounting in supporting adaptation to climate change. *Journal Accounting and Finance*.

**LIU, D.; GUO, X.; XIAO, B.** (2019) What causes growth of global greenhouse gas emissions? Evidence from 40 countries. *Journal Science of the Total Environment*.

**LU, C.; VENEVSKY, S.; SHI, X.; WANG, L.; WRIGHT, J.S.; WU, C.** (2020) Econometrics of the environmental Kuznets curve: Testing advancement to carbon intensity-oriented sustainability for eight economic zones in China. *J. Clean. Prod.* 283, 124561.

**MA, X.; JIANG, Q.** (2019) How to balance the trade-off between economic development and climate change? *Revista: Sustainability*.

**MACHADO, Giovani V.; ALMEIDA, Elisângela M.; FERRAZ, C. A.; Botelho, G. M. L.; SALGADO, G. P.; ANDRADE, G. N.; DURÃO, J. V.; ALVES, L. D. F.; CONDE, M. R.; BARROSO, M. L.; CARVALHO, P. N.** PRECIFICAÇÃO DE CARBONO: RISCOS E OPORTUNIDADES PARA O BRASIL. Ministério de Minas e Energia. Nota técnica epe/dea/gab/014/2020.

**MANI, V.; JABBOUR, C. J. C.; MANI, K. T.N.** (2020) Supply chain social sustainability in small and medium manufacturing enterprises and firms' performance: Empirical evidence from an emerging Asian economy. *International Journal of Production Economics*.

**MANEEJUK, P.; YAMAKA, W.** (2022) Revisiting the Environmental Kuznets Curve hypothesis in OECD during 1970–2016: Panel smooth transition regression. *Energy Reports* 8 41-47.

**MATOS, V. N.; SANTOS, J. O.; MARINHO, M. M. de O.; ANDRADE, J. C. S.** (2017) Quantificação de emissões de gases de efeito estufa no transporte de resíduos: estudo de caso da UFBA. *Revista Eletrônica de Gestão e Tecnologias Ambientais (GESTA)*.

**MOSTAFA, M.K., GAMAL, G., WAFIQ, A.**, (2020) The impact of COVID 19 on air pollution levels and other environmental indicators-A case study of Egypt. *J. Environ. Manag.* 277, 111496

**OLIVEIRA, R. C. de; ALMEIDA, E.; FREGUGLIA, R. da S.; BARRETO, R. C. S.** (2011) Desmatamento e crescimento econômico no Brasil: uma análise da curva de Kuznets ambiental para a Amazônia legal *Rev. Econ. Sociol. Rural* vol.49 no.3 Brasília July/Sept.

**PANAYOTOU, T.** (1993) Empirical tests and policy analysis of environmental degradation at different stages of economic development, ILO, Technology and Employment Programme, Geneva. 1993.

**PINCHEIRA, R.; ZUNIGA, F.** (2021) Environmental Kuznets curve bibliographic map: a systematic literature review. *Accounting & Finance* 61 (2021) 1931–1956

**POCHMANN, M.** (2020) Tendências estruturais do mundo do trabalho no Brasil. *Revista Ciência e Saúde Coletiva*.

**RADONJIĆ, G.; TOMPA, S.** (2018) Carbon footprint calculation in telecommunications companies—The importance and relevance of scope 3 greenhouse gases emissions. *Renew. Sustain. Energy Rev.* 98, 361–375.

**GREWAL, J. RICHARDSON, G. D.; WANG, J.** (2022) The Effect of Mandatory Carbon Reporting on Greenwashing. Disponível em <<https://ssrn.com/abstract=4166184> or <http://dx.doi.org/10.2139/ssrn.4166184>> Acesso em 12/12/2022.

**RITCHIE, H.** (2020). Sector by sector: where do global greenhouse gas emissions come from? Disponível em <<https://ourworldindata.org/ghg-emissions-by-sector>> Acesso em 29/07/2021.

**RYAN, J.; TILLER, D.** (2022) A Recent Survey of GHG Emissions Reporting and Assurance Australian Accounting Review, No. 0 Vol. 0, 1–7

**SARKODIE, S. A.; STREZOV, V.** (2018) Empirical study of the Environmental Kuznets curve and Environmental Sustainability curve hypothesis for Australia, China, Ghana and USA. *Journal of Cleaner Production*.

**SARKODIE, S. A.; STREZOV, V.** (2019). A review on Environmental Kuznets Curve hypothesis using bibliometric and meta-analysis. *Science of the Total Environment*, 649, 128–145.

**SCHERER, L.; KONING, A. de; TUKKER, A.** (2019) BRIC and MINT countries' environmental impacts rising despite alleviative consumption patterns. *Journal Science of the Total Environment*.

**SELDEN**, T. M., and D. **SONG**, (1994), Environmental quality and development: is there a Kuznets curve for air pollution emissions? *Journal of Environmental Economics and Management* 27, 147–162.

**SELES**, B. M. R. P.; **JABBOUR**, A. B. L.; **JABBOUR**, C. J. C.; **FIORINI**, P. C.; **MOHDYUSOF**, Y.; **THOMÉ**, A. M. T. (2018) Business opportunities and challenges as the two sides of the climate change: Corporate responses and potential implications for big data management towards a low carbon society. *Journal of Cleaner Production*, v. 189, p. 763-774.

**SELES**, B. M. R. P., de Sousa **JABBOUR**, A. B. L., **JABBOUR**, C. J. C., **LATAN**, H., & **ROUBAUD**, D. (2019). Do Environmental Practices Improve Business Performance Even in an Economic Crisis? Extending the Win - Win Perspective. *Ecological Economics*, 163, 189 - 204.

**SHAFIK**, N., **BANDYOPADHYAY**, S. (1992) Economic Growth and Environmental Quality: Time Series and Cross-Country Evidence. Background Paper for the World Development Report. The World Bank, Washington, DC.

**SHAHBAZ**, M., **SINHA**, A., (2019). Environmental Kuznets curve for CO<sub>2</sub> emissions: a literature survey. *J. Econ. Stud.* 10.1108/JES-09-2017-0249.

**SHIN**, J.; **MENDOZA**, X.; **HAWKINS**, M.; **CHOI**, C. (2017) The relationship between multinationality and performance: Knowledge-intensive vs. Capital-intensive service micro-multinational enterprises.”. *International Business Review*, 2(5), 867–880.

**SILVA**, J. M. da. (2016) A influência do ciclo de vida organizacional sobre o nível de planejamento tributário. Tese de doutorado.

**SOUZA**, A. L. R. de; **GOMES**, S. M. S.; **ANDRADE**, J. C. S.; **EUGÉNIO**, T. C. P. (2018) Por que as empresas participam de iniciativas empresariais em clima no Brasil? *Revista AIDIS de Ingenería y Ciencias Ambientales: Investigación, desarrollo y práctica*.

**STERN**, D. I. (2017) The environmental Kuznets curve after 25 years. *Journal of Bioeconomics*, vol. 19, issue 1, No 2, 7-28.

**TANG**, C. F.; **TAN**, B. W. (2015) The impact of energy consumption, income and foreign direct investment on carbon dioxide emissions in vietnam. *Energy*, Elsevier, v. 79, p. 447–454, 2015.

**TASCÓN**, M. T.; **CASTRO**, P.; **FERRERAS**, A. (2021) How does a firm's life cycle influence the relationship between carbon performance and financial debt. *Business, Strategy and the Environment*.

**THAKUR**, M.; **VAIDYA**, D. Capital intensive. Disponível em <<https://www.wallstreetmojo.com/capital-intensive/>> Acesso em: 13/12/21, 2021.

**TIAN**, Y.; **ZHU**, Q.; **GENG**, Y. (2013) An analysis of energy-related greenhouse gas emissions in the Chinese iron and steel industry. *Energy Policy* 56 352–361

**UN**, United Nation. (2022) WORLD ECONOMIC SITUATION AND PROSPECTS. New York.

**VASANTH, V.; SELVAM, M.; LINGARAJA, K.; MIENCH, I. O.; RAJA, M.** (2015) Testing environmental kuznets curve hypothesis at firm level in India. *Journal of Sustainable Development*; Vol. 8, No. 8.

**WANG, K-H.; UMAR, M.; AKRAM, R.; CAGLAR, E.** (2021) Is technological innovation making world "Greener"? An evidence from changing growth story of China. *Technological Forecasting & Social Change* 165.

**YAN, Z.; ZHAO, Y.** (2010) A new methodology of measuring firm life-cycle stages. *International Journal of Economic Perspectives*, 2010.

**YONG, J.Y.; YUSLIZA, M.Y.; RAMAYAH, T.; CHIAPPETTA** Jabbour, C.J.; SEHNEM, S.; MANI, V. (2019) Pathways towards sustainability in manufacturing organizations: Empirical evidence on the role of green human resource management. *Bus. Strategy Environ.*

**ZAVALLONI, M.; GROENEVELD, R. A.; VAN ZWIETEN, P. A.M.** (2014) The role of spatial information in the preservation of the shrimp nursery function of mangroves: A spatially explicit bio-economic model for the assessment of land use trade-offs. *Journal of Environmental Management* 143

**ZOWALATY, M. E. El; YOUNG, S. G.; JÄRHULT, J. D.** (2020) Environmental impact of the COVID-19 pandemic – a lesson for the future, *Infection Ecology & Epidemiology*

## ANEXOS

### 1. Resultados Base Principal

Quadro 1.1: Estatística descritiva após winsorização

| Variable | Obs  | Mean     | Std. Dev. | Min       | Max      |
|----------|------|----------|-----------|-----------|----------|
| EGEE1    | 2698 | .0000864 | .0002463  | 2.71e-08  | .0018748 |
| Ebit     | 2698 | .0889042 | .0652438  | -.0608758 | .3071699 |
| Ebit2    | 2698 | .0125046 | .017501   | 8.55e-06  | .100859  |
| IntLiq   | 2698 | .0796087 | .0888296  | .000477   | .4751883 |
| Amort    | 2698 | .0087702 | .0105208  | 0         | .0609321 |
|          |      |          |           |           |          |
| ImobLiq  | 2698 | .2617461 | .188329   | .0107805  | .8313079 |
| Deprec   | 2698 | .03236   | .0230616  | .0008738  | .1236128 |
| PD       | 2698 | .0333881 | .0374234  | .0000302  | .1849789 |

Fonte: Elaborado pelo autor

Quadro 1.2: Teste de normalidade Shapiro-Wilk.

| Variable | Obs  | W       | V       | z      | Prob>z  |
|----------|------|---------|---------|--------|---------|
| EGEE1    | 2698 | 0.36567 | 987.203 | 17.727 | 0.00000 |
| Ebit     | 2698 | 0.95081 | 76.552  | 11.153 | 0.00000 |
| Ebit2    | 2698 | 0.65927 | 530.277 | 16.130 | 0.00000 |
| IntLiq   | 2698 | 0.79041 | 326.177 | 14.880 | 0.00000 |
| Amort    | 2698 | 0.76764 | 361.618 | 15.145 | 0.00000 |
| ImobLiq  | 2698 | 0.91468 | 132.786 | 12.569 | 0.00000 |
| Deprec   | 2698 | 0.86315 | 212.976 | 13.784 | 0.00000 |
| PD       | 2698 | 0.79887 | 313.022 | 14.774 | 0.00000 |

Fonte: Elaborado pelo autor

Quadro 1.3: Teste de normalidade dos resíduos

| Variable | Obs  | W       | V       | z      | Prob>z  |
|----------|------|---------|---------|--------|---------|
| erro     | 2698 | 0.57508 | 661.298 | 16.697 | 0.00000 |

Fonte: Elaborado pelo autor

Quadro 1.4: Teste de correlação de Spearman.

|         | EGEE1    | Ebit    | Ebit2   | IntLiq   | Amort    | ImobLiq  | Deprec   | PD     |
|---------|----------|---------|---------|----------|----------|----------|----------|--------|
| EGEE1   | 1.0000   |         |         |          |          |          |          |        |
| Ebit    | -0.0475* | 1.0000  |         |          |          |          |          |        |
| Ebit2   | -0.0631* | 0.9637* | 1.0000  |          |          |          |          |        |
| IntLiq  | -0.1098* | 0.1107* | 0.1129* | 1.0000   |          |          |          |        |
| Amort   | -0.2779* | 0.0766* | 0.0910* | 0.6260*  | 1.0000   |          |          |        |
| ImobLiq | 0.6206*  | -0.0110 | -0.0193 | -0.3163* | -0.4139* | 1.0000   |          |        |
| Deprec  | 0.4359*  | 0.0609* | 0.0580* | -0.2484* | -0.2663* | 0.7408*  | 1.0000   |        |
| PD      | -0.3594* | 0.2884* | 0.3130* | 0.2049*  | 0.4446*  | -0.3482* | -0.0873* | 1.0000 |

Fonte: Elaborado pelo autor

Quadro 1.5: Teste de multicolinearidade

| Variable | VIF  | 1/VIF    |
|----------|------|----------|
| Ebit2    | 3.75 | 0.266928 |
| Ebit     | 3.63 | 0.275121 |
| ImobLiq  | 2.05 | 0.487532 |
| Deprec   | 1.76 | 0.568101 |
| Amort    | 1.58 | 0.634671 |
| IntLiq   | 1.48 | 0.674484 |
| PD       | 1.36 | 0.732718 |
| Mean VIF | 2.23 |          |

Fonte: Elaborado pelo autor

Quadro 1.6: Teste de heterocedasticidade Breusch-Pagan

```
Breusch-Pagan / Cook-Weisberg test for heteroskedasticity
Ho: Constant variance
Variables: fitted values of EGEE1

chi2(1)      =  4109.52
Prob > chi2  =  0.0000
```

Fonte: Elaborado pelo autor

Quadro 1.7: Teste de omissão de variáveis de Ramsey

```
Ramsey RESET test using powers of the fitted values of EGEE1
Ho: model has no omitted variables
F(3, 2687) = 28.67
Prob > F = 0.0000
```

Fonte: Elaborado pelo autor

Quadro 1.8: Teste de Hausman

|         | Coefficients |           | (b-B)      | sqrt(diag(V_b-V_B)) |
|---------|--------------|-----------|------------|---------------------|
|         | (b)<br>fe    | (B)<br>re | Difference | S.E.                |
| Ebit    | .0001838     | .0001714  | .0000125   | .                   |
| Ebit2   | -.0005621    | -.0005244 | -.0000377  | .                   |
| IntLiq  | -.0000676    | -.0000777 | .0000101   | .                   |
| Amort   | .0001529     | .0000838  | .0000692   | .                   |
| ImobLiq | 7.24e-06     | .0000645  | -.0000573  | 3.43e-06            |
| Deprec  | .0003222     | .0003149  | 7.27e-06   | .                   |
| PD      | .0000131     | -.0001887 | .0002017   | .000025             |

b = consistent under Ho and Ha; obtained from xtreg  
 B = inconsistent under Ha, efficient under Ho; obtained from xtreg

Test: Ho: difference in coefficients not systematic

$$\begin{aligned} \text{chi2}(7) &= (b-B)'[(V_b-V_B)^{-1}](b-B) \\ &= 15.83 \\ \text{Prob}>\text{chi2} &= 0.0267 \\ (V_b-V_B &\text{ is not positive definite}) \end{aligned}$$

Fonte: Elaborado pelo autor

Quadro 1.9: Resultado regressão em painel para base principal.

| Fixed-effects (within) regression                             |           | Number of obs = 2698                           |                                 |
|---|-----------|--|---------------------------------|
| Group variable: Empresa                                       |           | Number of groups = 682                         |                                 |
| R-sq: within = 0.0299<br>between = 0.0291<br>overall = 0.0238 |           | Obs per group: min = 1<br>avg = 4.0<br>max = 8 |                                 |
| corr(u_i, Xb) = 0.1052  |           | F(7, 681) = 2.86<br>Prob > F = 0.0060          |                                 |
| (Std. Err. adjusted for 682 clusters in Empresa)              |           |  |                                 |
| EGEE1   | Robust    |  | [95% Conf. Interval]            |
|   | Coef.     | Std. Err.                                      |                                 |
| Ebit  | .0001838  | .0000603                                       | 3.05 0.002 .0000654 .0003022    |
| Ebit2   | -.0005621 | .0001941                                       | -2.90 0.004 -.0009432 -.0001811 |
| IntLiq  | -.0000676 | .0000325                                       | -2.08 0.038 -.0001314 -3.89e-06 |
| Amort   | .0001529  | .0001068                                       | 1.43 0.153 -.0000567 .0003625   |
| ImobLiq   | 7.24e-06  | .0000222                                       | 0.33 0.744 -.0000363 .0000507   |
| Deprec  | .0003222  | .0001172                                       | 2.75 0.006 .000092 .0005524     |
| PD  | .0000131  | .0000611                                       | 0.21 0.831 -.000107 .0001331    |
| _cons   | .0000683  | 6.99e-06                                       | 9.77 0.000 .0000546 .0000821    |
| sigma_u   | .00024573 |  |                                 |
| sigma_e   | .00002903 |  |                                 |
| rho   | .98623986 | (fraction of variance due to u_i)              |                                 |

Fonte: Elaborado pelo autor

## 2. Resultados Setor Primário-Secundário

Quadro 2.1: Estatística descritiva após winsorização Setor Primário-Secundário

| Variable | Obs  | Mean     | Std. Dev. | Min       | Max      |
|----------|------|----------|-----------|-----------|----------|
| EGEE1    | 1359 | .0001644 | .0003822  | 2.33e-07  | .0025356 |
| Ebit     | 1359 | .0800815 | .0582583  | -.0465879 | .2758976 |
| Ebit2    | 1359 | .0098976 | .013828   | 2.47e-06  | .0780234 |
| IntLiq   | 1359 | .0711983 | .0791716  | .0004706  | .4187508 |
| Amort    | 1359 | .005544  | .0062152  | 0         | .0349707 |
| ImobLiq  | 1359 | .3140054 | .1997289  | .0359394  | .8726583 |
| Deprec   | 1359 | .0315801 | .0185445  | .0036136  | .1029528 |
| PD       | 1359 | .0145757 | .0162017  | .0000228  | .0847442 |

Fonte: Elaborado pelo autor

Quadro 2.2: Teste de normalidade Shapiro-Wilk Setor Primário-Secundário.

| Variable | Obs  | W       | V       | z      | Prob>z   |
|----------|------|---------|---------|--------|----------|
| EGEE1    | 1359 | 0.44728 | 461.034 | 15.376 | 0.000000 |
| Ebit     | 1359 | 0.94777 | 43.564  | 9.462  | 0.000000 |
| Ebit2    | 1359 | 0.65031 | 291.682 | 14.228 | 0.000000 |
| IntLiq   | 1359 | 0.78918 | 175.846 | 12.960 | 0.000000 |
| Amort    | 1359 | 0.81676 | 152.846 | 12.608 | 0.000000 |
| ImobLiq  | 1359 | 0.93646 | 53.002  | 9.953  | 0.000000 |
| Deprec   | 1359 | 0.92343 | 63.865  | 10.421 | 0.000000 |
| PD       | 1359 | 0.78250 | 181.421 | 13.038 | 0.000000 |

Fonte: Elaborado pelo autor

Quadro 2.3: Teste de normalidade dos resíduos Setor Primário-Secundário.

| Shapiro-Wilk W test for normal data |      |         |         |        |         |
|-------------------------------------|------|---------|---------|--------|---------|
| Variable                            | Obs  | W       | V       | z      | Prob>z  |
| erro                                | 1359 | 0.62769 | 310.554 | 14.385 | 0.00000 |

Fonte: Elaborado pelo autor

Quadro 2.4: Teste de correlação de Spearman Setor Primário-Secundário.

|         | EGEE1    | Ebit    | Ebit2   | IntLiq   | Amort    | ImobLiq  | Deprec  | PD     |
|---------|----------|---------|---------|----------|----------|----------|---------|--------|
| EGEE1   | 1.0000   |         |         |          |          |          |         |        |
| Ebit    | 0.0177   | 1.0000  |         |          |          |          |         |        |
| Ebit2   | 0.0162   | 0.9823* | 1.0000  |          |          |          |         |        |
| IntLiq  | -0.2152* | 0.2032* | 0.2042* | 1.0000   |          |          |         |        |
| Amort   | -0.3339* | 0.1033* | 0.1047* | 0.5778*  | 1.0000   |          |         |        |
| ImobLiq | 0.6191*  | -0.0121 | -0.0103 | -0.3728* | -0.4594* | 1.0000   |         |        |
| Deprec  | 0.5480*  | 0.1004* | 0.1000* | -0.2375* | -0.2852* | 0.7615*  | 1.0000  |        |
| PD      | -0.2565* | 0.2527* | 0.2581* | 0.3290*  | 0.4689*  | -0.2972* | -0.0439 | 1.0000 |

Fonte: Elaborado pelo autor

Quadro 2.5: Teste de multicolinearidade Setor Primário-Secundário.

| Variable | VIF  | 1/VIF    |
|----------|------|----------|
| Ebit     | 5.16 | 0.193862 |
| Ebit2    | 5.05 | 0.197911 |
| ImobLiq  | 2.18 | 0.458413 |
| Deprec   | 1.89 | 0.528306 |
| Amort    | 1.45 | 0.689253 |
| IntLiq   | 1.33 | 0.750450 |
| PD       | 1.31 | 0.765045 |
| Mean VIF | 2.63 |          |

Fonte: Elaborado pelo autor

Quadro 2.6: Teste de heterocedasticidade Breusch-Pagan Setor Primário-Secundário.

| Breusch-Pagan / Cook-Weisberg test for heteroskedasticity |           |
|---|-----------|
| Ho: Constant variance                                     |           |
| Variables: fitted values of EGEE1                         |           |
| chi2(1)   | = 1480.59 |
| Prob > chi2   | = 0.0000  |

Fonte: Elaborado pelo autor

Quadro 2.7: Teste de omissão de variáveis de Ramsey Setor Primário-Secundário.

| Ramsey RESET test using powers of the fitted values of EGEE1 |        |
|--|--------|
| Ho: model has no omitted variables                           |        |
| F(3, 1348) =   | 7.62   |
| Prob > F =   | 0.0000 |

Fonte: Elaborado pelo autor

Quadro 2.8: Teste de Hausman Setor Primário-Secundário

| <b>Coefficients</b> |           |           |                     |                     |      |
|---------------------|-----------|-----------|---------------------|---------------------|------|
|                     | (b)<br>fe | (B)<br>re | (b-B)<br>Difference | sqrt(diag(V_b-V_B)) | S.E. |
| Ebit                | .000393   | .0003897  | 3.24e-06            | .                   | .    |
| Ebit2               | -.0013011 | -.001242  | -.0000591           | .                   | .    |
| IntLiq              | -.0001795 | -.0002063 | .0000268            | .                   | .    |
| Amort               | .0003986  | -.0000234 | .000422             | .                   | .    |
| ImobLiq             | -.0000124 | .0000654  | -.0000778           | 7.48e-06            | .    |
| Deprec              | .0007914  | .0008442  | -.0000528           | .0000182            | .    |
| PD                  | -.0003926 | -.0013488 | .0009562            | .0001841            | .    |

b = consistent under  $H_0$  and  $H_A$ ; obtained from xtreg  
 B = inconsistent under  $H_A$ , efficient under  $H_0$ ; obtained from xtreg

Test:  $H_0$ : difference in coefficients not systematic  
 $\chi^2(7) = (b-B)'[(V_b-V_B)^{-1}](b-B)$   
 $= -297.03$        $\chi^2 < 0 \Rightarrow$  model fitted on these  
 data fails to meet the asymptotic  
 assumptions of the Hausman test;  
 see [suest](#) for a generalized test

Fonte: Elaborado pelo autor

Tabela 2.9: Resultado regressão em painel para setor primário-secundário.

| Random-effects GLS regression                    |  | Number of obs = 1359   |           |       |                      |
|--|--|------------------------|-----------|-------|----------------------|
| Group variable: Empresa                          |  | Number of groups = 342 |           |       |                      |
| R-sq: within = 0.0354                            |  | Obs per group: min = 1 |           |       |                      |
| between = 0.1409                                 |  | avg = 4.0              |           |       |                      |
| overall = 0.1400                                 |  | max = 8                |           |       |                      |
|  |  | Wald chi2(7) = 38.48   |           |       |                      |
| corr(u_i, X) = 0 (assumed)                       |  | Prob > chi2 = 0.0000   |           |       |                      |
| (Std. Err. adjusted for 342 clusters in Empresa) |  |                        |           |       |                      |
| EGEE1  |  | Robust                 |           |       |                      |
|  |  | Coef.                  | Std. Err. | z     | P> z                 |
|  |  |                        |           |       | [95% Conf. Interval] |
| Ebit   |  | .0003897               | .000109   | 3.58  | 0.000                |
| Ebit2  |  | -.001242               | .0003131  | -3.97 | 0.000                |
| IntLiq   |  | -.0002063              | .0000989  | -2.09 | 0.037                |
| Amort  |  | -.0000234              | .0003959  | -0.06 | 0.953                |
| ImobLiq  |  | .00000654              | .0000335  | 1.95  | 0.051                |
| Deprec   |  | .0008442               | .0002694  | 3.13  | 0.002                |
| PD   |  | -.0013488              | .0005079  | -2.66 | 0.008                |
| _cons  |  | .0001418               | .0000244  | 5.81  | 0.000                |
| sigma_u  |  |                        |           |       |                      |
| sigma_e  |  |                        |           |       |                      |
| rho  |  |                        |           |       |                      |
| (fraction of variance due to u_i)                |  |                        |           |       |                      |

Fonte: Elaborado pelo autor

### 3. Resultados Setor Terciário

Quadro 3.1: Estatística descritiva após winsorização setor terciário.

| Variable | Obs  | Mean     | Std. Dev. | Min       | Max      |
|----------|------|----------|-----------|-----------|----------|
| EGER1    | 1339 | .0000157 | .0000389  | 8.75e-09  | .0002761 |
| Ebit     | 1339 | .0977094 | .0719546  | -.0930421 | .3393802 |
| Ebit2    | 1339 | .0154084 | .0216896  | .0000139  | .1346207 |
| IntLiq   | 1339 | .0879595 | .0963873  | .0004831  | .5025407 |
| Amort    | 1339 | .0119337 | .0125357  | 0         | .0665904 |
| ImobLiq  | 1339 | .2085647 | .1591461  | .0053028  | .6703828 |
| Deprec   | 1339 | .0331311 | .0267836  | .0004301  | .1296866 |
| PD       | 1339 | .0526096 | .0434985  | .0000381  | .2029802 |

Fonte: Elaborado pelo autor

Quadro 3.2: Teste de normalidade Shapiro-Wilk setor terciário.

| Shapiro-Wilk W test for normal data |      |         |         |        |         |
|-------------------------------------|------|---------|---------|--------|---------|
| Variable                            | Obs  | W       | V       | z      | Prob>z  |
| EGER1                               | 1339 | 0.39439 | 498.374 | 15.562 | 0.00000 |
| Ebit                                | 1339 | 0.95650 | 35.797  | 8.964  | 0.00000 |
| Ebit2                               | 1339 | 0.65121 | 287.027 | 14.180 | 0.00000 |
| IntLiq                              | 1339 | 0.80294 | 162.162 | 12.749 | 0.00000 |
| Amort                               | 1339 | 0.82224 | 146.283 | 12.491 | 0.00000 |
| ImobLiq                             | 1339 | 0.89146 | 89.316  | 11.255 | 0.00000 |
| Deprec                              | 1339 | 0.83484 | 135.915 | 12.307 | 0.00000 |
| PD                                  | 1339 | 0.89760 | 84.268  | 11.109 | 0.00000 |

Fonte: Elaborado pelo autor

Quadro 3.3: Teste de normalidade dos resíduos setor terciário.

| Shapiro-Wilk W test for normal data |      |         |         |        |         |
|-------------------------------------|------|---------|---------|--------|---------|
| Variable                            | Obs  | W       | V       | z      | Prob>z  |
| erro                                | 1339 | 0.46533 | 439.998 | 15.250 | 0.00000 |

Fonte: Elaborado pelo autor

Quadro 3.4: Teste de correlação de Spearman setor terciário.

|         | EGER1    | Ebit    | Ebit2   | IntLiq   | Amort    | ImobLiq  | Deprec   | PD     |
|---------|----------|---------|---------|----------|----------|----------|----------|--------|
| EGER1   | 1.0000   |         |         |          |          |          |          |        |
| Ebit    | -0.0090  | 1.0000  |         |          |          |          |          |        |
| Ebit2   | -0.0286  | 0.9472* | 1.0000  |          |          |          |          |        |
| IntLiq  | 0.0381   | 0.0036  | 0.0041  | 1.0000   |          |          |          |        |
| Amort   | -0.0321  | -0.0260 | -0.0046 | 0.6992*  | 1.0000   |          |          |        |
| ImobLiq | 0.5617*  | 0.0596* | 0.0509  | -0.2404* | -0.2950* | 1.0000   |          |        |
| Deprec  | 0.3929*  | 0.0441  | 0.0426  | -0.2590* | -0.2646* | 0.7499*  | 1.0000   |        |
| PD      | -0.1144* | 0.2886* | 0.3320* | 0.0918*  | 0.2490*  | -0.2196* | -0.1177* | 1.0000 |

Fonte: Elaborado pelo autor

Quadro 3.5: Teste de multicolinearidade setor terciário.

| Variable | VIF  | 1/VIF    |
|----------|------|----------|
| Ebit2    | 2.80 | 0.356566 |
| Ebit     | 2.69 | 0.371778 |
| ImobLiq  | 2.44 | 0.409637 |
| Deprec   | 2.30 | 0.433852 |
| Amort    | 1.68 | 0.594118 |
| IntLiq   | 1.63 | 0.614410 |
| PD       | 1.22 | 0.822349 |
| Mean VIF | 2.11 |          |

Fonte: Elaborado pelo autor

Quadro 3.6: Teste de heterocedasticidade Breusch-Pagan setor terciário.

```
Breusch-Pagan / Cook-Weisberg test for heteroskedasticity
Ho: Constant variance
Variables: fitted values of EGEE1

chi2(1)      =   355.54
Prob > chi2  =   0.0000
```

Fonte: Elaborado pelo autor

Quadro 3.7: Teste de omissão de variáveis de Ramsey setor terciário.

```
Ramsey RESET test using powers of the fitted values of EGEE1
Ho: model has no omitted variables
F(3, 1328) =      7.08
Prob > F =   0.0001
```

Fonte: Elaborado pelo autor

Quadro 3.8: Teste de Hausman setor terciário.

|         | Coefficients |           |                     |                             |  |
|---------|--------------|-----------|---------------------|-----------------------------|--|
|         | (b)<br>fe    | (B)<br>re | (b-B)<br>Difference | sqrt(diag(V_b-V_B))<br>S.E. |  |
| Ebit    | .0000545     | .0000473  | 7.21e-06            | 3.89e-06                    |  |
| Ebit2   | -.0001245    | -.0001113 | -.0000132           | 9.23e-06                    |  |
| IntLiq  | -.0000104    | -.0000112 | 8.48e-07            | 1.20e-06                    |  |
| Amort   | -5.39e-06    | -5.65e-06 | 2.57e-07            | 6.28e-06                    |  |
| ImobLiq | -.0000184    | 4.17e-06  | -.0000226           | 4.35e-06                    |  |
| Deprec  | .0000767     | .0001019  | -.0000252           | .0000147                    |  |
| PD      | .0000573     | 9.62e-06  | .0000477            | .0000129                    |  |

b = consistent under Ho and Ha; obtained from xtreg  
 B = inconsistent under Ha, efficient under Ho; obtained from xtreg

Test: Ho: difference in coefficients not systematic

$$\begin{aligned} \text{chi2}(7) &= (b-B)'[(V_b-V_B)^{-1}](b-B) \\ &= 47.27 \\ \text{Prob}>\text{chi2} &= 0.0000 \end{aligned}$$

Fonte: Elaborado pelo autor

Quadro 3.9: Resultado regressão em painel para setor terciário.

| Fixed-effects (within) regression                |            | Number of obs = 1339              |       |       |                      |  |  |  |  |
|--|------------|-----------------------------------|-------|-------|----------------------|--|--|--|--|
| Group variable: Empresa                          |            | Number of groups = 340            |       |       |                      |  |  |  |  |
| R-sq: within = 0.0330                            |            | Obs per group: min = 1            |       |       |                      |  |  |  |  |
| between = 0.0419                                 |            | avg = 3.9                         |       |       |                      |  |  |  |  |
| overall = 0.0220                                 |            | max = 8                           |       |       |                      |  |  |  |  |
|  |            | F(7, 1339) = 2.41                 |       |       |                      |  |  |  |  |
| corr(u_i, Xb) = -0.2561                          |            | Prob > F = 0.0202                 |       |       |                      |  |  |  |  |
| (Std. Err. adjusted for 340 clusters in Empresa) |            |                                   |       |       |                      |  |  |  |  |
| EGEE1  | Robust     |                                   |       |       |                      |  |  |  |  |
|  | Coef.      | Std. Err.                         | t     | P> t  | [95% Conf. Interval] |  |  |  |  |
| Ebit   | .0000545   | .0000243                          | 2.24  | 0.026 | .6.68e-06 .0001023   |  |  |  |  |
| Ebit2  | -.0001245  | .000067                           | -1.86 | 0.064 | -.0002562 7.24e-06   |  |  |  |  |
| IntLiq   | -.0000104  | 5.13e-06                          | -2.02 | 0.044 | -.0000205 -2.68e-07  |  |  |  |  |
| Amort  | -.5.39e-06 | .0000698                          | -0.08 | 0.938 | -.0001426 .0001318   |  |  |  |  |
| ImobLiq  | -.0000184  | .0000216                          | -0.85 | 0.396 | -.000061 .0000242    |  |  |  |  |
| Deprec   | .0000767   | .0001003                          | 0.77  | 0.445 | -.0001205 .000274    |  |  |  |  |
| PD   | .0000573   | .0000396                          | 1.45  | 0.149 | -.0000206 .0001353   |  |  |  |  |
| _cons  | .0000115   | 3.45e-06                          | 3.34  | 0.001 | 4.74e-06 .0000183    |  |  |  |  |
| sigma_u  | .00004121  |                                   |       |       |                      |  |  |  |  |
| sigma_e  | 8.623e-06  |                                   |       |       |                      |  |  |  |  |
| rho  | .95804869  | (fraction of variance due to u_i) |       |       |                      |  |  |  |  |

Fonte: Elaborado pelo autor

#### 4. Resultados Países Desenvolvidos

Quadro 4.1: Estatística descritiva após winsorização países desenvolvidos.

| Variable | Obs  | Mean     | Std. Dev. | Min       | Max      |
|----------|------|----------|-----------|-----------|----------|
| EGEE1    | 1930 | .0000584 | .000135   | 6.34e-08  | .0008273 |
| Ebit     | 1930 | .0941451 | .065291   | -.0786872 | .3175831 |
| Ebit2    | 1930 | .0135389 | .0181414  | .0000272  | .1046772 |
| IntLiq   | 1930 | .0960143 | .0980244  | .0010834  | .5226354 |
| Amort    | 1930 | .0107888 | .0117958  | 0         | .0669855 |
| ImobLiq  | 1930 | .2215398 | .1658892  | .0096615  | .792197  |
| Deprec   | 1930 | .028996  | .0173464  | .0004816  | .0874326 |
| PD       | 1930 | .0389473 | .0402372  | .0000725  | .193674  |

Fonte: Elaborado pelo autor

Quadro 4.2: Teste de normalidade Shapiro-Wilk países desenvolvidos.

| Shapiro-Wilk W test for normal data |      |         |         |        |         |
|-------------------------------------|------|---------|---------|--------|---------|
| Variable                            | Obs  | W       | V       | z      | Prob>z  |
| EGEE1                               | 1930 | 0.46991 | 608.631 | 16.287 | 0.00000 |
| Ebit                                | 1930 | 0.95057 | 56.749  | 10.260 | 0.00000 |
| Ebit2                               | 1930 | 0.66035 | 389.980 | 15.157 | 0.00000 |
| IntLiq                              | 1930 | 0.80786 | 220.607 | 13.709 | 0.00000 |
| Amort                               | 1930 | 0.79055 | 240.482 | 13.928 | 0.00000 |
| ImobLiq                             | 1930 | 0.88263 | 134.760 | 12.457 | 0.00000 |
| Deprec                              | 1930 | 0.93515 | 74.460  | 10.950 | 0.00000 |
| PD                                  | 1930 | 0.82462 | 201.365 | 13.477 | 0.00000 |

Fonte: Elaborado pelo autor

Quadro 4.3: Teste de normalidade dos resíduos países desenvolvidos.

| Shapiro-Wilk W test for normal data |      |         |         |        |         |
|-------------------------------------|------|---------|---------|--------|---------|
| Variable                            | Obs  | W       | V       | z      | Prob>z  |
| erro                                | 1930 | 0.65137 | 400.291 | 15.223 | 0.00000 |

Fonte: Elaborado pelo autor

Quadro 4.4: Teste de correlação de Spearman países desenvolvidos.

|         | EGEE1    | Ebit    | Ebit2   | IntLiq   | Amort    | ImobLiq  | Deprec   | PD     |
|---------|----------|---------|---------|----------|----------|----------|----------|--------|
| EGEE1   | 1.0000   |         |         |          |          |          |          |        |
| Ebit    | -0.0746* | 1.0000  |         |          |          |          |          |        |
| Ebit2   | -0.0956* | 0.9569* | 1.0000  |          |          |          |          |        |
| IntLiq  | -0.1216* | 0.0492* | 0.0488* | 1.0000   |          |          |          |        |
| Amort   | -0.2984* | 0.0142  | 0.0287  | 0.5736*  | 1.0000   |          |          |        |
| ImobLiq | 0.6983*  | 0.0264  | 0.0214  | -0.2820* | -0.3702* | 1.0000   |          |        |
| Deprec  | 0.4802*  | 0.0335  | 0.0357  | -0.3102* | -0.3035* | 0.7484*  | 1.0000   |        |
| PD      | -0.3834* | 0.2780* | 0.3086* | 0.1510*  | 0.4071*  | -0.3083* | -0.1348* | 1.0000 |

Fonte: Elaborado pelo autor

Quadro 4.5: Teste de multicolinearidade países desenvolvidos.

| Variable | VIF  | 1/VIF    |
|----------|------|----------|
| Ebit2    | 3.17 | 0.315343 |
| Ebit     | 3.01 | 0.332004 |
| ImobLiq  | 2.11 | 0.474965 |
| Deprec   | 1.91 | 0.523284 |
| Amort    | 1.43 | 0.698377 |
| IntLiq   | 1.39 | 0.721261 |
| PD       | 1.34 | 0.746104 |
| Mean VIF | 2.05 |          |

Fonte: Elaborado pelo autor

Quadro 4.6: Teste de heterocedasticidade Breusch-Pagan países desenvolvidos.

| Breusch-Pagan / Cook-Weisberg test for heteroskedasticity |   |         |
|---|---|---------|
| Ho: Constant variance                                     |   |         |
| Variables: fitted values of EGEE1                         |   |         |
| chi2(1)   | = | 1472.29 |
| Prob > chi2   | = | 0.0000  |

Fonte: Elaborado pelo autor

Quadro 4.7: Teste de omissão de variáveis de Ramsey países desenvolvidos.

| Ramsey RESET test using powers of the fitted values of EGEE1 |   |        |
|--|---|--------|
| Ho: model has no omitted variables                           |   |        |
| F(3, 1919)   | = | 77.78  |
| Prob > F   | = | 0.0000 |

Fonte: Elaborado pelo autor

Quadro 4.8: Teste de Hausman países desenvolvidos.

|         | Coefficients |           |                     |                             |
|---------|--------------|-----------|---------------------|-----------------------------|
|         | (b)<br>fe    | (B)<br>re | (b-B)<br>Difference | sqrt(diag(V_b-V_B))<br>S.E. |
| Ebit    | .0002065     | .0001826  | .0000239            | 9.80e-07                    |
| Ebit2   | -.000595     | -.0005423 | -.0000527           | .                           |
| IntLiq  | -.000037     | -.0000444 | 7.41e-06            | .                           |
| Amort   | .0001009     | .0000423  | .0000586            | .                           |
| ImobLiq | 6.78e-06     | .0000667  | -.0000599           | 5.61e-06                    |
| Deprec  | .0003086     | .0003274  | -.0000188           | 6.09e-06                    |
| PD      | .0000592     | -.0001169 | .0001761            | .0000265                    |

b = consistent under  $H_0$  and  $H_a$ ; obtained from xtreg  
 B = inconsistent under  $H_a$ , efficient under  $H_0$ ; obtained from xtreg

Test:  $H_0$ : difference in coefficients not systematic

$\text{chi2}(7) = (\text{b-B})'[(\text{V}_b-\text{V}_B)^{-1}](\text{b-B})$   
 $= -252.70$      $\text{chi2}<0 \Rightarrow$  model fitted on these  
 data fails to meet the asymptotic  
 assumptions of the Hausman test;  
 see [suest](#) for a generalized test

Fonte: Elaborado pelo autor

Tabela 4.9: Resultado regressão em painel para países desenvolvidos.

| Random-effects GLS regression                    |                  | Number of obs                     | =            | 1930     |
|--|------------------|-----------------------------------|--------------|----------|
| Group variable: Empresa                          |                  | Number of groups                  | =            | 478      |
| R-sq:  | within = 0.0427  | Obs per group:                    | min =        | 1        |
|  | between = 0.1605 |                                   | avg =        | 4.0      |
|  | overall = 0.1602 |                                   | max =        | 8        |
|  |                  |                                   | Wald chi2(7) | = 31.07  |
| corr(u_i, X)                                     | = 0 (assumed)    |                                   | Prob > chi2  | = 0.0001 |
| (Std. Err. adjusted for 478 clusters in Empresa) |                  |                                   |              |          |
| EGEEL  | Robust           |                                   |              |          |
|  | Coef.            | Std. Err.                         | z            | P> z     |
| Ebit   | .0001826         | .0000625                          | 2.92         | 0.003    |
| Ebit2  | -.0005423        | .0001931                          | -2.81        | 0.005    |
| IntLiq   | -.0000444        | .0000168                          | -2.64        | 0.008    |
| Amort  | .0000423         | .0000894                          | 0.47         | 0.636    |
| ImobLiq  | .0000667         | .0000281                          | 2.37         | 0.018    |
| Deprec   | .0003274         | .0001121                          | 2.92         | 0.003    |
| PD   | -.0001169        | .0000484                          | -2.42        | 0.016    |
| _cons  | .0000335         | 9.26e-06                          | 3.61         | 0.000    |
| sigma_u  | .00011865        |                                   |              |          |
| sigma_e  | .00002142        |                                   |              |          |
| rho  | .96842775        | (fraction of variance due to u_i) |              |          |

Fonte: Elaborado pelo autor

## 5. Resultados Países Em Desenvolvimento

Quadro 5.1: Estatística descritiva após winsorização países em desenvolvimento.

| Variable | Obs | Mean     | Std. Dev. | Min       | Max      |
|----------|-----|----------|-----------|-----------|----------|
| EGEE1    | 768 | .0002111 | .0007759  | 7.84e-09  | .0060374 |
| Ebit     | 768 | .0754682 | .0646931  | -.0453703 | .2842183 |
| Ebit2    | 768 | .0098947 | .0155236  | 2.09e-06  | .08078   |
| IntLiq   | 768 | .0396033 | .0491511  | .0003182  | .2328299 |
| Amort    | 768 | .0038127 | .0046509  | 0         | .0220594 |
| ImobLiq  | 768 | .362877  | .2031015  | .0234246  | .8899952 |
| Deprec   | 768 | .0405157 | .0314967  | .0012491  | .1368335 |
| PD       | 768 | .0193568 | .0241532  | 9.62e-06  | .1281788 |

Fonte: Elaborado pelo autor

Quadro 5.2: Teste de normalidade Shapiro-Wilk países em desenvolvimento.

| Shapiro-Wilk W test for normal data |     |         |         |        |         |
|-------------------------------------|-----|---------|---------|--------|---------|
| Variable                            | Obs | W       | V       | z      | Prob>z  |
| EGEE1                               | 768 | 0.27049 | 361.876 | 14.430 | 0.00000 |
| Ebit                                | 768 | 0.91825 | 40.554  | 9.069  | 0.00000 |
| Ebit2                               | 768 | 0.63594 | 180.590 | 12.727 | 0.00000 |
| IntLiq                              | 768 | 0.76995 | 114.114 | 11.603 | 0.00000 |
| Amort                               | 768 | 0.77902 | 109.619 | 11.505 | 0.00000 |
| ImobLiq                             | 768 | 0.97762 | 11.104  | 5.896  | 0.00000 |
| Deprec                              | 768 | 0.87629 | 61.368  | 10.084 | 0.00000 |
| PD                                  | 768 | 0.76222 | 117.953 | 11.684 | 0.00000 |

Fonte: Elaborado pelo autor

Quadro 5.3: Teste de normalidade dos resíduos países em desenvolvimento.

| Shapiro-Wilk W test for normal data |     |         |         |        |         |
|-------------------------------------|-----|---------|---------|--------|---------|
| Variable                            | Obs | W       | V       | z      | Prob>z  |
| erro                                | 768 | 0.48853 | 253.717 | 13.560 | 0.00000 |

Fonte: Elaborado pelo autor

Quadro 5.4: Teste de correlação de Spearman países em desenvolvimento.

|         | EGEE1    | Ebit    | Ebit2   | IntLiq  | Amort    | ImobLiq  | Deprec  | PD     |
|---------|----------|---------|---------|---------|----------|----------|---------|--------|
| EGEE1   | 1.0000   |         |         |         |          |          |         |        |
| Ebit    | 0.0463   | 1.0000  |         |         |          |          |         |        |
| Ebit2   | 0.0448   | 0.9771* | 1.0000  |         |          |          |         |        |
| IntLiq  | -0.0027  | 0.0697  | 0.0627  | 1.0000  |          |          |         |        |
| Amort   | -0.2181* | -0.0133 | -0.0079 | 0.5253* | 1.0000   |          |         |        |
| ImobLiq | 0.4948*  | 0.0826* | 0.0779* | -0.0286 | -0.2091* | 1.0000   |         |        |
| Deprec  | 0.3082*  | 0.1934* | 0.1861* | -0.0256 | -0.0525  | 0.7186*  | 1.0000  |        |
| PD      | -0.3296* | 0.1714* | 0.1744* | 0.0005  | 0.3454*  | -0.2055* | 0.1543* | 1.0000 |

Fonte: Elaborado pelo autor

Quadro 5.5: Teste de multicolinearidade países em desenvolvimento.

| Variable | VIF  | 1/VIF    |
|----------|------|----------|
| Ebit     | 7.31 | 0.136858 |
| Ebit2    | 7.14 | 0.140151 |
| ImobLiq  | 1.74 | 0.576047 |
| Deprec   | 1.64 | 0.609144 |
| Amort    | 1.62 | 0.617995 |
| IntLiq   | 1.51 | 0.663571 |
| PD       | 1.32 | 0.758162 |
| Mean VIF | 3.18 |          |

Fonte: Elaborado pelo autor

Quadro 5.6: Teste de heterocedasticidade Breusch-Pagan países em desenvolvimento.

```
Breusch-Pagan / Cook-Weisberg test for heteroskedasticity
Ho: Constant variance
Variables: fitted values of EGEE1

chi2(1)      =   1174.73
Prob > chi2  =   0.0000
```

Fonte: Elaborado pelo autor

Quadro 5.7: Teste de omissão de variáveis de Ramsey países em desenvolvimento.

```
Ramsey RESET test using powers of the fitted values of EGEE1
Ho: model has no omitted variables
F(3, 757) =    21.14
Prob > F =   0.0000
```

Fonte: Elaborado pelo autor

Quadro 5.8: Teste de Hausman países em desenvolvimento.

|         | Coefficients |           |                     |                             |
|---------|--------------|-----------|---------------------|-----------------------------|
|         | (b)<br>fe    | (B)<br>re | (b-B)<br>Difference | sqrt(diag(V_b-V_B))<br>S.E. |
| Ebit    | .0000846     | .0000973  | -.0000127           | .                           |
| Ebit2   | -.0000715    | -.0000782 | 6.74e-06            | .                           |
| IntLiq  | -.0005663    | -.0005858 | .0000194            | .                           |
| Amort   | .0015163     | .0013854  | .0001309            | .                           |
| ImobLiq | .0000194     | .0000054  | -.0000346           | .                           |
| Deprec  | .0009192     | .0009082  | .000011             | .                           |
| PD      | -.0004548    | -.0007833 | .0003285            | .0000788                    |

b = consistent under Ho and Ha; obtained from xtreg  
 B = inconsistent under Ha, efficient under Ho; obtained from xtreg

Test: Ho: difference in coefficients not systematic

$$\begin{aligned} \text{chi2}(7) &= (\text{b}-\text{B})'[(\text{V}_b-\text{V}_B)^{-1}](\text{b}-\text{B}) \\ &= 8.22 \\ \text{Prob}>\text{chi2} &= 0.3134 \\ (\text{V}_b-\text{V}_B &\text{ is not positive definite}) \end{aligned}$$

Fonte: Elaborado pelo autor

Quadro 5.9: Resultado regressão em painel para países em desenvolvimento.

|  |                  | Number of obs = 768               |           |       |
|--|------------------|-----------------------------------|-----------|-------|
| Group variable: Empresa                          |                  | Number of groups = 204            |           |       |
| R-sq:  | within = 0.0484  | Obs per group: min = 1            |           |       |
|  | between = 0.0373 | avg = 3.8                         |           |       |
|  | overall = 0.0277 | max = 7                           |           |       |
|  |                  | Wald chi2(7) = 7.62               |           |       |
| corr(u_i, X)                                     | = 0 (assumed)    | Prob > chi2 = 0.3671              |           |       |
| (Std. Err. adjusted for 204 clusters in Empresa) |                  |                                   |           |       |
|  |                  | Robust                            |           |       |
| EGEE1  |                  | Coef.                             | Std. Err. | z     |
| Ebit   | .0000973         | .0001291                          | 0.75      | 0.451 |
| Ebit2  | -.0000782        | .0003432                          | -0.23     | 0.820 |
| IntLiq   | -.0005858        | .000489                           | -1.20     | 0.231 |
| Amort  | .0013854         | .0012201                          | 1.14      | 0.256 |
| ImobLiq  | .000054          | .0000669                          | 0.81      | 0.419 |
| Deprec   | .0009082         | .0004006                          | 2.27      | 0.023 |
| PD   | -.0007833        | .0004101                          | -1.91     | 0.056 |
| _cons  | .0002012         | .0000527                          | 3.82      | 0.000 |
| sigma_u  | .0007332         |                                   |           |       |
| sigma_e  | .00005349        |                                   |           |       |
| rho  | .99470588        | (fraction of variance due to u_i) |           |       |

Fonte: Elaborado pelo autor

Quadro 5.10: Resultado regressão dados empilhados MQO para países em desenvolvimento

| Source  | SS         | df        | MS         | Number of obs = 768 |                      |           |
|---------|------------|-----------|------------|---------------------|----------------------|-----------|
| Model   | .000072214 | 13        | 5.5550e-06 | F( 13, 754 ) =      | 10.75                |           |
|         | .000389498 | 754       | 5.1658e-07 | Prob > F =          | 0.0000               |           |
|         |            |           |            | R-squared =         | 0.1564               |           |
| Total   | .000461713 | 767       | 6.0197e-07 | Adj R-squared =     | 0.1419               |           |
|         |            |           |            | Root MSE =          | .00072               |           |
| EGEE1   | Coef.      | Std. Err. | t          | P> t                | [95% Conf. Interval] |           |
| Ebit    | .0026925   | .0010912  | 2.47       | 0.014               | .0005503             | .0048346  |
| Ebit2   | -.0074337  | .0044834  | -1.66      | 0.098               | -.0162352            | .0013678  |
| IntLiq  | -.0004912  | .0006487  | -0.76      | 0.449               | -.0017647            | .0007822  |
| Amort   | .0014299   | .0071092  | 0.20       | 0.841               | -.0125263            | .0153862  |
| ImobLiq | .0015898   | .0001685  | 9.44       | 0.000               | .0012591             | .0019206  |
| Deprec  | -.0056483  | .0010602  | -5.33      | 0.000               | -.0077295            | -.003567  |
| PD      | -.0032189  | .0012409  | -2.59      | 0.010               | -.005655             | -.0007828 |
| Ano     |            |           |            |                     |                      |           |
| 2014    | .0001758   | .0001142  | 1.54       | 0.124               | -.0000484            | .0004     |
| 2015    | .0001612   | .0001099  | 1.47       | 0.143               | -.0000545            | .0003769  |
| 2016    | .0000679   | .0001114  | 0.61       | 0.542               | -.0001508            | .0002866  |
| 2017    | .0000795   | .0001075  | 0.74       | 0.460               | -.0001316            | .0002905  |
| 2018    | .0001227   | .0001043  | 1.18       | 0.240               | -.0000821            | .0003274  |
| 2019    | .000095    | .0001034  | 0.92       | 0.358               | -.0001079            | .000298   |
| _cons   | -.0002936  | .0001093  | -2.68      | 0.007               | -.0005082            | -.0000789 |

Fonte: Elaborado pelo autor

Quadro 5.11: Teste de normalidade dos resíduos dados empilhados MQO países em desenvolvimento

| Shapiro-Wilk W test for normal data |     |         |         |        |         |
|-------------------------------------|-----|---------|---------|--------|---------|
| Variable                            | Obs | W       | V       | z      | Prob>z  |
| errol                               | 768 | 0.49324 | 251.379 | 13.538 | 0.00000 |

Fonte: Elaborado pelo autor

Quadro 5.12: Teste de multicolinearidade dados empilhados MQO países em desenvolvimento.

| Variable | VIF  | 1/VIF    |
|----------|------|----------|
| Ebit     | 7.40 | 0.135147 |
| Ebit2    | 7.19 | 0.139038 |
| IntLiq   | 1.51 | 0.662531 |
| Amort    | 1.62 | 0.616055 |
| ImobLiq  | 1.74 | 0.575354 |
| Deprec   | 1.66 | 0.604004 |
| PD       | 1.33 | 0.749716 |
| Ano      |      |          |
| 2014     | 1.95 | 0.513341 |
| 2015     | 2.10 | 0.475683 |
| 2016     | 2.05 | 0.486841 |
| 2017     | 2.25 | 0.444327 |
| 2018     | 2.41 | 0.414754 |
| 2019     | 2.46 | 0.406626 |
| Mean VIF |      | 2.74     |

Fonte: Elaborado pelo autor

Quadro 5.13: Teste de heterocedasticidade Breusch-Pagan dados empilhados MQO países em desenvolvimento.

```
Breusch-Pagan / Cook-Weisberg test for heteroskedasticity
      Ho: Constant variance
      Variables: fitted values of EGEE1

      chi2(1)      =   1211.24
      Prob > chi2   =   0.0000
```

Fonte: Elaborado pelo autor

Quadro 5.14: Teste de omissão de variáveis de Ramsey dados empilhados MQO países em desenvolvimento.

Ramsey RESET test using powers of the fitted values of EGEE1  
Ho: model has no omitted variables  
F(3, 751) = 24.01  
Prob > F = 0.0000

Fonte: Elaborado pelo autor

Quadro 5.15: Resultado regressão dados empilhados MQO robusto países em desenvolvimento.

| Linear regression |           |           |       |       |                      | Number of obs = 768 |
|-------------------|-----------|-----------|-------|-------|----------------------|---------------------|
|                   |           |           |       |       |                      | F( 13, 754) = 3.90  |
|                   |           |           |       |       |                      | Prob > F = 0.0000   |
|                   |           |           |       |       |                      | R-squared = 0.1564  |
|                   |           |           |       |       |                      | Root MSE = .00072   |
| <br>              |           |           |       |       |                      |                     |
| EGEE1             | Robust    |           |       |       |                      |                     |
|                   | Coef.     | Std. Err. | t     | P> t  | [95% Conf. Interval] |                     |
| Ebit              | .0026925  | .0009537  | 2.82  | 0.005 | .0008202             | .0045647            |
| Ebit2             | -.0074337 | .0031181  | -2.38 | 0.017 | -.0135548            | -.0013126           |
| IntLiq            | -.0004912 | .0003893  | -1.26 | 0.207 | -.0012555            | .0002731            |
| Amort             | .0014299  | .0031272  | 0.46  | 0.648 | -.004709             | .0075689            |
| ImmobLiq          | .0015898  | .0002814  | 5.65  | 0.000 | .0010374             | .0021423            |
| Deprec            | -.0056483 | .001132   | -4.99 | 0.000 | -.0078706            | -.0034259           |
| PD                | -.0032189 | .0008273  | -3.89 | 0.000 | -.0048429            | -.0015949           |
| <br>              |           |           |       |       |                      |                     |
| Ano               |           |           |       |       |                      |                     |
| 2014              | .0001758  | .000098   | 1.79  | 0.073 | -.0000166            | .0003681            |
| 2015              | .0001612  | .0000886  | 1.82  | 0.069 | -.0000126            | .000335             |
| 2016              | .0000679  | .0000709  | 0.96  | 0.339 | -.0000714            | .0002072            |
| 2017              | .0000795  | .0000817  | 0.97  | 0.331 | -.0000808            | .0002397            |
| 2018              | .0001227  | .0000734  | 1.67  | 0.095 | -.0000214            | .0002667            |
| 2019              | .000095   | .0000672  | 1.41  | 0.158 | -.0000369            | .0002269            |
| _cons             | -.0002936 | .0000839  | -3.50 | 0.000 | -.0004583            | -.0001288           |

Fonte: Elaborado pelo autor

## 6. Resultados Ciclo de Vida Introdução-Crescimento

Quadro 6.1: Estatística descritiva após winsorização ciclo de vida introdução-crescimento.

| Variable | Obs | Mean     | Std. Dev. | Min       | Max      |
|----------|-----|----------|-----------|-----------|----------|
| EGEE1    | 162 | .0000511 | .0002089  | 1.68e-08  | .0017973 |
| Ebit     | 162 | .0827511 | .0653383  | -.0584445 | .313863  |
| Ebit2    | 162 | .0111113 | .0161574  | 9.94e-06  | .09851   |
| IntLiq   | 162 | .0790468 | .0851599  | .00037    | .3889412 |
| Amort    | 162 | .008857  | .0094993  | 0         | .0509836 |
|          |     |          |           |           |          |
| ImobLiq  | 162 | .1744395 | .1307124  | .0014654  | .5999725 |
| Deprec   | 162 | .0220606 | .0136828  | .0022077  | .0705067 |
| PD       | 162 | .0438534 | .0476839  | .0000649  | .1936983 |

Fonte: Elaborado pelo autor

Quadro 6.2: Teste de normalidade Shapiro-Wilk ciclo de vida introdução-crescimento.

| Shapiro-Wilk W test for normal data |     |         |        |        |         |
|-------------------------------------|-----|---------|--------|--------|---------|
| Variable                            | Obs | W       | V      | z      | Prob>z  |
| EGEE1                               | 162 | 0.22521 | 96.311 | 10.397 | 0.00000 |
| Ebit                                | 162 | 0.93575 | 7.986  | 4.729  | 0.00000 |
| Ebit2                               | 162 | 0.66500 | 41.643 | 8.488  | 0.00000 |
| IntLiq                              | 162 | 0.82025 | 22.345 | 7.071  | 0.00000 |
| Amort                               | 162 | 0.79613 | 25.343 | 7.358  | 0.00000 |
| ImobLiq                             | 162 | 0.88571 | 14.207 | 6.040  | 0.00000 |
| Deprec                              | 162 | 0.89662 | 12.851 | 5.812  | 0.00000 |
| PD                                  | 162 | 0.82636 | 21.584 | 6.992  | 0.00000 |

Fonte: Elaborado pelo autor

Quadro 6.3: Teste de normalidade dos resíduos ciclo de vida introdução-crescimento.

| Shapiro-Wilk W test for normal data |     |         |        |       |         |
|-------------------------------------|-----|---------|--------|-------|---------|
| Variable                            | Obs | W       | V      | z     | Prob>z  |
| erro                                | 162 | 0.49221 | 63.122 | 9.435 | 0.00000 |

Fonte: Elaborado pelo autor

Quadro 6.4: Teste de correlação de Spearman ciclo de vida introdução-crescimento.

|         | EGEE1    | Ebit    | Ebit2   | IntLiq  | Amort    | ImobLiq  | Deprec  | PD     |
|---------|----------|---------|---------|---------|----------|----------|---------|--------|
| EGEE1   | 1.0000   |         |         |         |          |          |         |        |
| Ebit    | -0.0677  | 1.0000  |         |         |          |          |         |        |
| Ebit2   | -0.0574  | 0.9792* | 1.0000  |         |          |          |         |        |
| IntLiq  | 0.1181   | 0.1615* | 0.1704* | 1.0000  |          |          |         |        |
| Amort   | -0.0994  | 0.0444  | 0.0640  | 0.6304* | 1.0000   |          |         |        |
| ImobLiq | 0.6165*  | 0.0280  | 0.0368  | 0.0140  | -0.1910* | 1.0000   |         |        |
| Deprec  | 0.4142*  | 0.1493  | 0.1591* | -0.0328 | -0.1102  | 0.6989*  | 1.0000  |        |
| PD      | -0.3587* | 0.3616* | 0.3926* | 0.1610* | 0.4020*  | -0.2551* | -0.0490 | 1.0000 |

Fonte: Elaborado pelo autor

Quadro 6.5: Teste de multicolinearidade ciclo de vida introdução-crescimento.

| Variable | VIF  | 1/VIF    |
|----------|------|----------|
| Ebit2    | 7.21 | 0.138730 |
| Ebit     | 7.07 | 0.141428 |
| ImobLiq  | 2.53 | 0.394533 |
| Deprec   | 2.37 | 0.421589 |
| Amort    | 1.99 | 0.502150 |
| PD       | 1.79 | 0.558222 |
| IntLiq   | 1.69 | 0.592378 |
| Mean VIF | 3.52 |          |

Fonte: Elaborado pelo autor

Quadro 6.6: Teste de heterocedasticidade Breusch-Pagan ciclo de vida introdução-crescimento.

```
Breusch-Pagan / Cook-Weisberg test for heteroskedasticity
Ho: Constant variance
Variables: fitted values of EGEE1

chi2(1)      =   564.19
Prob > chi2  =  0.0000
```

Fonte: Elaborado pelo autor

Quadro 6.7: Teste de omissão de variáveis de Ramsey ciclo de vida introdução-crescimento.

```
Ramsey RESET test using powers of the fitted values of EGEE1
Ho: model has no omitted variables
F(3, 151) = 18.44
Prob > F = 0.0000
```

Fonte: Elaborado pelo autor

Quadro 6.8: Teste de Hausman ciclo de vida introdução-crescimento.

|         | Coefficients |           |                     |                             |
|---------|--------------|-----------|---------------------|-----------------------------|
|         | (b)<br>fe    | (B)<br>re | (b-B)<br>Difference | sqrt(diag(V_b-V_B))<br>S.E. |
| Ebit    | -.0001499    | -.0001689 | .000019             | .                           |
| Ebit2   | .0002659     | .00023    | .0000359            | .                           |
| IntLiq  | -.0000486    | -.0001115 | .0000629            | .0000228                    |
| Amort   | -.0000798    | .0000817  | -.0001615           | .                           |
| ImobLiq | .0001202     | .0003218  | -.0002017           | .0000504                    |
| Deprec  | .0000231     | -3.49e-06 | .0000265            | .                           |
| PD      | .0000411     | -.0000966 | .0001376            | .0000371                    |

b = consistent under Ho and Ha; obtained from xtreg  
 B = inconsistent under Ha, efficient under Ho; obtained from xtreg

Test: Ho: difference in coefficients not systematic

```
chi2(7) = (b-B)'[(V_b-V_B)^(-1)](b-B)
          = -1.70  chi2<0 ==> model fitted on these
            data fails to meet the asymptotic
            assumptions of the Hausman test;
            see suest for a generalized test
```

Fonte: Elaborado pelo autor

Quadro 6.9: Resultado regressão em painel para ciclo de vida introdução-crescimento.

| Random-effects GLS regression                    |                  | Number of obs = 162               |           |       |                    |
|--|------------------|-----------------------------------|-----------|-------|--------------------|
| Group variable: Empresa                          |                  | Number of groups = 135            |           |       |                    |
| R-sq:  | within = 0.1473  | Obs per group:                    | min = 1   |       |                    |
|  | between = 0.1759 |                                   | avg = 1.2 |       |                    |
|  | overall = 0.1709 |                                   | max = 4   |       |                    |
| corr(u_i, X)                                     | = 0 (assumed)    | Wald chi2(7)                      | = 7.61    |       |                    |
|  |                  | Prob > chi2                       | = 0.3685  |       |                    |
| (Std. Err. adjusted for 135 clusters in Empresa) |                  |                                   |           |       |                    |
| EGEE1  |                  | Robust                            |           |       |                    |
|  |                  | Coef.                             | Std. Err. | z     |                    |
| Ebit   | - .0001689       | .000098                           | -1.72     | 0.085 | -.000361 .0000231  |
| Ebit2  | .00023           | .0003846                          | 0.60      | 0.550 | -.0005238 .0009838 |
| IntLiq   | -.0001115        | .0000582                          | -1.91     | 0.056 | -.0002257 2.63e-06 |
| Amort  | .0000817         | .000244                           | 0.33      | 0.738 | -.0003966 .00056   |
| ImobLiq  | .0003218         | .0001461                          | 2.20      | 0.028 | .0000354 .0006082  |
| Deprec   | -3.49e-06        | .0002008                          | -0.02     | 0.986 | -.0003971 .0003901 |
| PD   | -.0000966        | .0000973                          | -0.99     | 0.321 | -.0002872 .0000941 |
| _cons  | .0000239         | .0000145                          | 1.64      | 0.100 | -4.58e-06 .0000523 |
| sigma_u  | .00020604        |                                   |           |       |                    |
| sigma_e  | 8.169e-06        |                                   |           |       |                    |
| rho  | .99843035        | (fraction of variance due to u_i) |           |       |                    |

Fonte: Elaborado pelo autor

Quadro 6.10: Resultado regressão dados empilhados MQO para ciclo de vida introdução-crescimento.

| Linear regression |           | Number of obs = 162 |           |       |                     |
|-------------------|-----------|---------------------|-----------|-------|---------------------|
|                   |           | F( 12, 149) = 1.36  |           |       |                     |
|                   |           | Prob > F = 0.1893   |           |       |                     |
|                   |           | R-squared = 0.2687  |           |       |                     |
|                   |           | Root MSE = .00019   |           |       |                     |
| EGEE1             |           | Robust              |           |       |                     |
|                   |           | Coef.               | Std. Err. | t     | P> t                |
| Ebit              | .0010081  | .0006835            | 1.47      | 0.142 | -.0003425 .0023588  |
| Ebit2             | -.0038632 | .0025412            | -1.52     | 0.131 | -.0088847 .0011582  |
| IntLiq            | -.0001191 | .0001093            | -1.09     | 0.278 | -.0003352 .000097   |
| Amort             | .0000708  | .0011259            | 0.06      | 0.950 | -.0021539 .0022956  |
| ImobLiq           | .00093    | .0004251            | 2.19      | 0.030 | .00009 .0017701     |
| Deprec            | -.0031174 | .0021652            | -1.44     | 0.152 | -.0073959 .0011611  |
| PD                | -.0001402 | .0002514            | -0.56     | 0.578 | -.0006371 .0003567  |
| Anc               |           |                     |           |       |                     |
| 2015              | 7.07e-06  | .0000238            | 0.30      | 0.767 | -.0000399 .0000541  |
| 2016              | .0000315  | .0000307            | 1.02      | 0.308 | -.0000293 .0000922  |
| 2017              | -.000025  | .0000305            | -0.82     | 0.414 | -.0000854 .0000353  |
| 2018              | .0000904  | .0000682            | 1.32      | 0.187 | -.0000445 .0002252  |
| 2019              | -.0000443 | .0000219            | -2.03     | 0.044 | -.0000875 -1.12e-06 |
| _cons             | -.0000764 | .0000553            | -1.38     | 0.169 | -.0001856 .0000328  |

Fonte: Elaborado pelo autor

## 7. Resultados Ciclo de Vida Maturidade

Quadro 7.1: Estatística descritiva após winsorização ciclo de vida maturidade.

| Variable | Obs  | Mean     | Std. Dev. | Min      | Max      |
|----------|------|----------|-----------|----------|----------|
| EGEE1    | 1602 | .0000802 | .0001943  | 5.93e-08 | .0012025 |
| Ebit     | 1602 | .101392  | .0651187  | -.023662 | .3199896 |
| Ebit2    | 1602 | .0145499 | .0187508  | .0000405 | .1023933 |
| IntLiq   | 1602 | .0802336 | .0885595  | .0006181 | .4829487 |
| Amort    | 1602 | .0087261 | .0101035  | 0        | .0563286 |
| ImobLiq  | 1602 | .2619714 | .1814341  | .0249269 | .7946765 |
| Deprec   | 1602 | .0336201 | .0230296  | .0032532 | .1221739 |
| PD       | 1602 | .0350486 | .0377361  | .0000314 | .1848597 |

Fonte: Elaborado pelo autor

Quadro 7.2: Teste de normalidade Shapiro-Wilk ciclo de vida maturidade.

| Shapiro-Wilk W test for normal data |      |         |         |        |         |
|-------------------------------------|------|---------|---------|--------|---------|
| Variable                            | Obs  | W       | V       | z      | Prob>z  |
| EGEE1                               | 1602 | 0.44904 | 533.905 | 15.844 | 0.00000 |
| Ebit                                | 1602 | 0.93451 | 63.464  | 10.471 | 0.00000 |
| Ebit2                               | 1602 | 0.69026 | 300.157 | 14.391 | 0.00000 |
| IntLiq                              | 1602 | 0.78687 | 206.534 | 13.448 | 0.00000 |
| Amort                               | 1602 | 0.78865 | 204.813 | 13.427 | 0.00000 |
| ImobLiq                             | 1602 | 0.91733 | 80.108  | 11.058 | 0.00000 |
| Deprec                              | 1602 | 0.86387 | 131.921 | 12.317 | 0.00000 |
| PD                                  | 1602 | 0.81583 | 178.473 | 13.079 | 0.00000 |

Fonte: Elaborado pelo autor

Quadro 7.3: Teste de normalidade dos resíduos ciclo de vida maturidade.

| Shapiro-Wilk W test for normal data |      |         |         |        |         |
|-------------------------------------|------|---------|---------|--------|---------|
| Variable                            | Obs  | W       | V       | z      | Prob>z  |
| erro                                | 1602 | 0.67689 | 313.110 | 14.497 | 0.00000 |

Fonte: Elaborado pelo autor

Quadro 7.4: Teste de correlação de Spearman ciclo de vida maturidade.

|         | EGEE1    | Ebit    | Ebit2   | IntLiq   | Amort    | ImobLiq  | Deprec   | PD     |
|---------|----------|---------|---------|----------|----------|----------|----------|--------|
| EGEE1   | 1.0000   |         |         |          |          |          |          |        |
| Ebit    | -0.0896* | 1.0000  |         |          |          |          |          |        |
| Ebit2   | -0.0933* | 0.9942* | 1.0000  |          |          |          |          |        |
| IntLiq  | -0.1535* | 0.0591* | 0.0643* | 1.0000   |          |          |          |        |
| Amort   | -0.3081* | 0.0623* | 0.0716* | 0.6287*  | 1.0000   |          |          |        |
| ImobLiq | 0.6220*  | 0.0004  | -0.0025 | -0.3293* | -0.4306* | 1.0000   |          |        |
| Deprec  | 0.4092*  | 0.0310  | 0.0291  | -0.2683* | -0.3061* | 0.7385*  | 1.0000   |        |
| PD      | -0.3761* | 0.2877* | 0.2958* | 0.1898*  | 0.4395*  | -0.3758* | -0.1145* | 1.0000 |

Fonte: Elaborado pelo autor

Quadro 7.5: Teste de multicolinearidade ciclo de vida maturidade.

| Variable | VIF  | 1/VIF    |
|----------|------|----------|
| Ebit     | 8.99 | 0.111198 |
| Ebit2    | 8.94 | 0.111819 |
| ImobLiq  | 2.06 | 0.484403 |
| Deprec   | 1.75 | 0.571557 |
| Amort    | 1.64 | 0.607951 |
| IntLiq   | 1.52 | 0.658154 |
| PD       | 1.37 | 0.732535 |
| Mean VIF | 3.75 |          |

Fonte: Elaborado pelo autor

Quadro 7.6: Teste de heterocedasticidade Breusch-Pagan ciclo de vida maturidade.

```
Breusch-Pagan / Cook-Weisberg test for heteroskedasticity
Ho: Constant variance
Variables: fitted values of EGEE1

chi2(1)      =   1700.52
Prob > chi2  =   0.0000
```

Fonte: Elaborado pelo autor

Quadro 7.7: Teste de omissão de variáveis de Ramsey ciclo de vida maturidade.

```
Ramsey RESET test using powers of the fitted values of EGEE1
Ho: model has no omitted variables
F(3, 1591) =   33.79
Prob > F =   0.0000
```

Fonte: Elaborado pelo autor

Quadro 7.8: Teste de Hausman ciclo de vida maturidade.

|         | <b>Coefficients</b> |           |                     |                             |
|---------|---------------------|-----------|---------------------|-----------------------------|
|         | (b)<br>fe           | (B)<br>re | (b-B)<br>Difference | sqrt(diag(V_b-V_B))<br>S.E. |
| Ebit    | .0002393            | .0001915  | .0000477            | .                           |
| Ebit2   | -.0007017           | -.0005444 | -.0001573           | .                           |
| IntLiq  | -.0000385           | -.0000525 | .0000139            | .                           |
| Amort   | .0001229            | .0000139  | .0001089            | .                           |
| ImobLiq | -6.86e-06           | .0000819  | -.0000888           | 4.68e-06                    |
| Deprec  | .0003084            | .0002492  | .0000592            | .                           |
| PD      | .0000423            | -.000217  | .0002593            | .0000264                    |

b = consistent under Ho and Ha; obtained from xtreg  
 B = inconsistent under Ha, efficient under Ho; obtained from xtreg

Test: Ho: difference in coefficients not systematic

$$\begin{aligned} \text{chi2}(7) &= (\text{b}-\text{B})'[(\text{V}_b-\text{V}_B)^{-1}](\text{b}-\text{B}) \\ &= 45.08 \\ \text{Prob}>\text{chi2} &= 0.0000 \\ (\text{V}_b-\text{V}_B &\text{ is not positive definite}) \end{aligned}$$

Fonte: Elaborado pelo autor

Quadro 7.9: Resultado regressão em painel para ciclo de vida maturidade.

| Fixed-effects (within) regression                |                         | Number of obs = 1602              |           |       |                    |
|--|-------------------------|-----------------------------------|-----------|-------|--------------------|
| Group variable: Empresa                          |                         | Number of groups = 571            |           |       |                    |
| R-sq:  | within = 0.0356         | Obs per group:                    | min = 1   |       |                    |
|  | between = 0.0002        |                                   | avg = 2.8 |       |                    |
|  | overall = 0.0000        |                                   | max = 7   |       |                    |
|  |                         | F(7,570)                          | = 1.62    |       |                    |
|  | corr(u_i, Xb) = -0.0533 | Prob > F                          | = 0.1272  |       |                    |
| (Std. Err. adjusted for 571 clusters in Empresa) |                         |                                   |           |       |                    |
|  |                         | Robust                            |           |       |                    |
| EGEE1  |                         | Coef.                             | Std. Err. | t     | P> t               |
| Ebit   | .0002393                | .0000949                          | 2.52      | 0.012 | .0000528 .0004258  |
| Ebit2  | -.0007017               | .0002885                          | -2.43     | 0.015 | -.0012685 -.000135 |
| IntLiq   | -.0000385               | .0000225                          | -1.71     | 0.087 | -.0000828 5.67e-06 |
| Amort  | .0001229                | .0001149                          | 1.07      | 0.285 | -.0001029 .0003486 |
| ImobLiq  | -6.86e-06               | .0000351                          | -0.20     | 0.845 | -.0000758 .0000621 |
| Deprec   | .0003084                | .000145                           | 2.13      | 0.034 | .0000236 .0005932  |
| PD   | .0000423                | .0000547                          | 0.77      | 0.440 | -.0000652 .0001498 |
| _cons  | .0000581                | .0000121                          | 4.81      | 0.000 | .0000344 .0000818  |
| sigma_u  | .00020301               |                                   |           |       |                    |
| sigma_e  | .00002171               |                                   |           |       |                    |
| rho  | .98868868               | (fraction of variance due to u_i) |           |       |                    |

Fonte: Elaborado pelo autor

Quadro 7.10: Resultado regressão dados empilhados MQO para ciclo de vida maturidade.

| Source   | SS         | df        | MS         |                 |                      |           |
|----------|------------|-----------|------------|-----------------|----------------------|-----------|
|          |            |           |            | Number of obs = | 1602                 |           |
| Model    | .00001446  | 13        | 1.1123e-06 | F( 13, 1588) =  | 38.43                |           |
| Residual | .000045963 | 1588      | 2.8944e-08 | Prob > F =      | 0.0000               |           |
| Total    | .000060424 | 1601      | 3.7741e-08 | R-squared =     | 0.2393               |           |
|          |            |           |            | Adj R-squared = | 0.2331               |           |
|          |            |           |            | Root MSE =      | .00017               |           |
| <hr/>    |            |           |            |                 |                      |           |
| EGEE1    | Coef.      | Std. Err. | t          | P> t            | [95% Conf. Interval] |           |
| Ebit     | -.000485   | .0001961  | -2.47      | 0.014           | -.0008697            | -.0001003 |
| Ebit2    | .0008515   | .0006787  | 1.25       | 0.210           | -.0004797            | .0021827  |
| IntLiq   | -.0000652  | .0000592  | -1.10      | 0.271           | -.0001813            | .000051   |
| Amort    | -.0005838  | .0005406  | -1.08      | 0.280           | -.0016441            | .0004766  |
| ImobLiq  | .0005441   | .0000338  | 16.10      | 0.000           | .0004778             | .0006103  |
| Deprec   | -.001527   | .0002449  | -6.24      | 0.000           | -.0020073            | -.0010467 |
| PD       | -.0004318  | .0001318  | -3.28      | 0.001           | -.0006902            | -.0001733 |
| Ano      |            |           |            |                 |                      |           |
| 2014     | -.0000151  | .0000431  | -0.35      | 0.726           | -.0000996            | .0000694  |
| 2015     | -3.55e-06  | .0000429  | -0.08      | 0.934           | -.0000877            | .0000806  |
| 2016     | -.0000212  | .0000428  | -0.49      | 0.622           | -.0001052            | .0000629  |
| 2017     | -.000031   | .0000427  | -0.73      | 0.468           | -.0001147            | .0000527  |
| 2018     | -.000025   | .0000426  | -0.59      | 0.557           | -.0001086            | .0000585  |
| 2019     | -.0000361  | .0000425  | -0.85      | 0.395           | -.0001195            | .0000473  |
| _cons    | .0000744   | .000044   | 1.69       | 0.091           | -.000012             | .0001607  |

Fonte: Elaborado pelo autor

Quadro 7.11: Teste de normalidade dos resíduos dados empilhados MQO ciclo de vida maturidade.

| Shapiro-Wilk W test for normal data |      |         |         |        |          |
|-------------------------------------|------|---------|---------|--------|----------|
| Variable                            | Obs  | W       | V       | z      | Prob>z   |
| errol                               | 1602 | 0.67789 | 312.144 | 14.490 | 0.000000 |

Fonte: Elaborado pelo autor

Quadro 7.12: Teste de multicolinearidade dados empilhados MQO ciclo de vida maturidade.

| Variable | VIF   | 1/VIF    |
|----------|-------|----------|
| Ebit     | 9.02  | 0.110836 |
| Ebit2    | 8.96  | 0.111636 |
| IntLiq   | 1.52  | 0.657293 |
| Amort    | 1.65  | 0.606012 |
| ImobLiq  | 2.08  | 0.480942 |
| Deprec   | 1.76  | 0.568485 |
| PD       | 1.37  | 0.731240 |
| Ano      |       |          |
| 2014     | 11.55 | 0.086600 |
| 2015     | 12.48 | 0.080106 |
| 2016     | 13.16 | 0.075960 |
| 2017     | 14.49 | 0.069003 |
| 2018     | 15.16 | 0.065948 |
| 2019     | 16.29 | 0.061374 |
| Mean VIF | 8.42  |          |

Fonte: Elaborado pelo autor

Quadro 7.13: Teste de heterocedasticidade Breusch-Pagan dados empilhados MQO ciclo de vida maturidade.

|   |
|---|
| Breusch-Pagan / Cook-Weisberg test for heteroskedasticity |
| Ho: Constant variance                                     |
| Variables: fitted values of EGEE1                         |
| chi2(1) = 1720.46   |
| Prob > chi2 = 0.0000                                      |

Fonte: Elaborado pelo autor

Quadro 7.14: Teste de omissão de variáveis de Ramsey dados empilhados MQO ciclo de vida maturidade.

|  |
|--|
| Ramsey RESET test using powers of the fitted values of EGEE1 |
| Ho: model has no omitted variables                           |
| F(3, 1585) = 36.58   |
| Prob > F = 0.0000  |

Fonte: Elaborado pelo autor

Quadro 7.15: Resultado regressão dados empilhados MQO robusto para ciclo de vida maturidade.

| Linear regression |           | Number of obs = 1602<br>F( 13, 1588) = 18.58<br>Prob > F = 0.0000<br>R-squared = 0.2393<br>Root MSE = .00017 |           |       |           |                      |
|-------------------|-----------|--|-----------|-------|-----------|----------------------|
| EGEE1             |           | Robust   |           |       |           |                      |
|                   |           | Coef.  | Std. Err. | t     | P> t      | [95% Conf. Interval] |
| Ebit              | -0.000485 | .0001979   | -2.45     | 0.014 | -.0008731 | -.0000968            |
| Ebit2             | .0008515  | .0005903   | 1.44      | 0.149 | -.0003063 | .0020094             |
| IntLiq            | -.0000652 | .000033  | -1.97     | 0.049 | -.0001299 | -3.92e-07            |
| Amort             | -.0005838 | .0002406   | -2.43     | 0.015 | -.0010557 | -.0001118            |
| ImobLiq           | .0005441  | .0000562   | 9.68      | 0.000 | .0004338  | .0006543             |
| Deprec            | -.001527  | .0002877   | -5.31     | 0.000 | -.0020914 | -.0009627            |
| PD                | -.0004318 | .0000727   | -5.94     | 0.000 | -.0005744 | -.0002891            |
| <br>Ano           |           |  |           |       |           |                      |
| 2014              | -.0000151 | .0000223   | -0.68     | 0.498 | -.0000588 | .0000286             |
| 2015              | -3.55e-06 | .0000224   | -0.16     | 0.874 | -.0000474 | .0000403             |
| 2016              | -.0000212 | .0000215   | -0.98     | 0.325 | -.0000633 | .000021              |
| 2017              | -.000031  | .0000209   | -1.48     | 0.138 | -.0000719 | 9.98e-06             |
| 2018              | -.000025  | .000021  | -1.19     | 0.234 | -.0000663 | .0000162             |
| 2019              | -.0000361 | .000021  | -1.73     | 0.085 | -.0000772 | 4.95e-06             |
| _cons             | .0000744  | .0000243   | 3.06      | 0.002 | .0000267  | .000122              |

Fonte: Elaborado pelo autor

## 8. Resultados Ciclo de Vida Turbulência-Declínio

Quadro 8.1: Estatística descritiva após winsorização ciclo de vida turbulência-declínio.

| Variable | Obs | Mean     | Std. Dev. | Min       | Max      |
|----------|-----|----------|-----------|-----------|----------|
| EGEE1    | 611 | .0001085 | .0003405  | 2.12e-08  | .002316  |
| Ebit     | 611 | .0582905 | .0594773  | -.1711628 | .2250703 |
| Ebit2    | 611 | .0073676 | .0116835  | 1.97e-06  | .0713585 |
| IntLiq   | 611 | .0829332 | .0977513  | .0004126  | .4900037 |
| Amort    | 611 | .0086159 | .0107585  | 0         | .0591083 |
|          |     |          |           |           |          |
| ImobLiq  | 611 | .2802948 | .2040352  | .0094531  | .8578591 |
| Deprec   | 611 | .0321063 | .0242033  | .0003755  | .1245319 |
| PD       | 611 | .0279874 | .0340803  | .0000316  | .1881678 |

Fonte: Elaborado pelo autor

Quadro 8.2: Teste de normalidade Shapiro-Wilk ciclo de vida turbulência-declínio.

| Shapiro-Wilk W test for normal data |     |         |         |        |         |
|-------------------------------------|-----|---------|---------|--------|---------|
| Variable                            | Obs | W       | V       | z      | Prob>z  |
| EGEE1                               | 611 | 0.32882 | 270.588 | 13.583 | 0.00000 |
| Ebit                                | 611 | 0.94385 | 22.636  | 7.566  | 0.00000 |
| Ebit2                               | 611 | 0.59774 | 162.172 | 12.342 | 0.00000 |
| IntLiq                              | 611 | 0.78044 | 88.515  | 10.873 | 0.00000 |
| Amort                               | 611 | 0.75340 | 99.419  | 11.155 | 0.00000 |
| ImobLiq                             | 611 | 0.92414 | 30.582  | 8.296  | 0.00000 |
| Deprec                              | 611 | 0.87243 | 51.431  | 9.556  | 0.00000 |
| PD                                  | 611 | 0.74167 | 104.146 | 11.268 | 0.00000 |

Fonte: Elaborado pelo autor

Quadro 8.3: Teste de normalidade dos resíduos ciclo de vida turbulência-declínio.

| Shapiro-Wilk W test for normal data |     |         |         |        |         |
|-------------------------------------|-----|---------|---------|--------|---------|
| Variable                            | Obs | W       | V       | z      | Prob>z  |
| erro                                | 611 | 0.59407 | 163.652 | 12.364 | 0.00000 |

Fonte: Elaborado pelo autor

Quadro 8.4: Teste de correlação de Spearman ciclo de vida turbulência-declínio.

|         | EGEE1    | Ebit    | Ebit2   | IntLiq   | Amort    | ImobLiq  | Deprec  | PD     |
|---------|----------|---------|---------|----------|----------|----------|---------|--------|
| EGEE1   | 1.0000   |         |         |          |          |          |         |        |
| Ebit    | 0.0269   | 1.0000  |         |          |          |          |         |        |
| Ebit2   | -0.0014  | 0.8665* | 1.0000  |          |          |          |         |        |
| IntLiq  | -0.0572  | 0.1791* | 0.1688* | 1.0000   |          |          |         |        |
| Amort   | -0.2180* | 0.0969* | 0.1048* | 0.6243*  | 1.0000   |          |         |        |
| ImobLiq | 0.6004*  | -0.0125 | -0.0214 | -0.3335* | -0.4012* | 1.0000   |         |        |
| Deprec  | 0.4831*  | 0.0733  | 0.0622  | -0.2390* | -0.2135* | 0.7518*  | 1.0000  |        |
| PD      | -0.3061* | 0.1776* | 0.2518* | 0.1980*  | 0.4103*  | -0.2513* | -0.0042 | 1.0000 |

Fonte: Elaborado pelo autor

Quadro 8.5: Teste de multicolinearidade ciclo de vida turbulência-declínio.

| Variable | VIF  | 1/VIF    |
|----------|------|----------|
| ImobLiq  | 2.10 | 0.475799 |
| Deprec   | 1.86 | 0.537766 |
| Amort    | 1.54 | 0.650141 |
| IntLiq   | 1.50 | 0.666142 |
| Ebit2    | 1.49 | 0.669289 |
| Ebit     | 1.37 | 0.732028 |
| PD       | 1.32 | 0.756307 |
| Mean VIF | 1.60 |          |

Fonte: Elaborado pelo autor

Quadro 8.6: Teste de heterocedasticidade Breusch-Pagan ciclo de vida turbulência-declínio.

|   |
|---|
| Breusch-Pagan / Cook-Weisberg test for heteroskedasticity |
| Ho: Constant variance                                     |
| Variables: fitted values of EGEE1                         |
| chi2(1) = 1096.09   |
| Prob > chi2 = 0.0000                                      |

Fonte: Elaborado pelo autor

Quadro 8.7: Teste de omissão de variáveis de Ramsey ciclo de vida turbulência-declínio.

|  |
|--|
| Ramsey RESET test using powers of the fitted values of EGEE1 |
| Ho: model has no omitted variables                           |
| F(3, 600) = 9.94   |
| Prob > F = 0.0000  |

Fonte: Elaborado pelo autor

Quadro 8.8: Teste de Hausman ciclo de vida turbulência-declínio.

|         | Coefficients |           |                     |                             |
|---------|--------------|-----------|---------------------|-----------------------------|
|         | (b)<br>fe    | (B)<br>re | (b-B)<br>Difference | sqrt(diag(V_b-V_B))<br>S.E. |
| Ebit    | .0001948     | .000109   | .0000858            | .000033                     |
| Ebit2   | .0000101     | -.0001531 | .0001632            | .0001092                    |
| IntLiq  | -.0000962    | -.0001463 | .00005              | .0000406                    |
| Amort   | .000178      | -.0002077 | .0003857            | .0003064                    |
| ImobLiq | -.0000268    | .0002549  | -.0002817           | .0000466                    |
| Deprec  | .0005033     | .0003197  | .0001836            | .0002138                    |
| PD      | -.0001041    | -.0007397 | .0006355            | .0003419                    |

b = consistent under Ho and Ha; obtained from xtreg  
 B = inconsistent under Ha, efficient under Ho; obtained from xtreg

Test: Ho: difference in coefficients not systematic

chi2(7) = (b-B)'[(V\_b-V\_B)^(-1)](b-B)  
 = 63.54  
 Prob>chi2 = 0.0000

Fonte: Elaborado pelo autor

Quadro 8.9: Resultado regressão em painel para ciclo de vida turbulência-declínio.

| Fixed-effects (within) regression                | Number of obs        | =         | 611    |       |                                   |
|--|----------------------|-----------|--------|-------|-----------------------------------|
| Group variable: Empresa                          | Number of groups     | =         | 360    |       |                                   |
| R-sq: within = 0.0263                            | Obs per group: min = | 1         |        |       |                                   |
| between = 0.0010                                 | avg =                | 1.7       |        |       |                                   |
| overall = 0.0027                                 | max =                | 6         |        |       |                                   |
|  | F(7, 359)            | =         | 2.22   |       |                                   |
| corr(u_i, Xb) = -0.0016                          | Prob > F             | =         | 0.0325 |       |                                   |
| (Std. Err. adjusted for 360 clusters in Empresa) |                      |           |        |       |                                   |
| EGEE1  | Robust<br>Coef.      | Std. Err. | t      | P> t  | [95% Conf. Interval]              |
| Ebit   | .0001948             | .0001305  | 1.49   | 0.137 | -.0000619 .0004515                |
| Ebit2  | .0000101             | .0004144  | 0.02   | 0.981 | -.0008048 .000825                 |
| IntLiq   | -.0000962            | .0000581  | -1.66  | 0.098 | -.0002105 .000018                 |
| Amort  | .000178              | .0004125  | 0.43   | 0.666 | -.0006331 .0009892                |
| ImobLiq  | -.0000268            | .0000727  | -0.37  | 0.713 | -.0001698 .0001162                |
| Deprec   | .0005033             | .0003475  | 1.45   | 0.148 | -.0001802 .0011867                |
| PD   | -.0001041            | .0001867  | -0.56  | 0.577 | -.0004713 .000263                 |
| _cons  | .0000977             | .0000125  | 7.82   | 0.000 | .0000732 .0001223                 |
| sigma_u  | .00028723            |           |        |       |                                   |
| sigma_e  | .00005188            |           |        |       |                                   |
| rho  | .96840146            |           |        |       | (fraction of variance due to u_i) |

Fonte: Elaborado pelo autor

## APÊNDICE

Quadro 1: Amostra base principal

| Empresa | Ano  | Ebit2       | Ebit     | IntLiq   | Amort    | ImobLiq  | Deprec   | PD       | AtTot          |
|---------|------|-------------|----------|----------|----------|----------|----------|----------|----------------|
| 5       | 2019 | 0,009816472 | 0,099078 | 0,381403 | 0,037591 | 0,086735 | 0,011149 | 0,025091 | 0,000000007472 |
| 8       | 2018 | 0,185090853 | 0,430222 | 0,072827 | 0        | 0,168266 | 0,011457 | 0,156894 | 0,000000014033 |
| 9       | 2019 | 0,023911886 | 0,154635 | 0,003386 | 0,001758 | 0,836773 | 0,130717 | 0,002841 | 0,000000000365 |
| 9       | 2018 | 0,026135555 | 0,161665 | 0,009073 | 0,002327 | 0,792197 | 0,165492 | 0,003906 | 0,000000000901 |
| 10      | 2015 | 0,001654011 | 0,04067  | 0,00024  | 0,000347 | 0,605216 | 0,059371 | 0,00355  | 0,000000001436 |
| 10      | 2014 | 0,001783311 | 0,042229 | 0,000358 | 0,001057 | 0,679862 | 0,103453 | 0,004104 | 0,000000001377 |
| 25      | 2017 | 0,056439894 | 0,237571 | 0,081371 | 0,001253 | 0,168851 | 0,01837  | 0,004506 | 0,000000002932 |
| 25      | 2016 | 0,040711149 | 0,20177  | 0,07545  | 0,001232 | 0,173378 | 0,019087 | 0,002736 | 0,000000003053 |
| 28      | 2019 | 0,206524638 | 0,45445  | 0,007357 | 9,95E-05 | 0,053896 | 0,00877  | 0,028917 | 0,000000002245 |
| 28      | 2017 | 0,291901536 | 0,540279 | 0,004272 | 0,001043 | 0,068079 | 0,012438 | 0,04899  | 0,000000003246 |
| 31      | 2018 | 0,0174983   | 0,132281 | 0,029855 | 0,001956 | 0,22949  | 0,011647 | 0,004872 | 0,000000000494 |
| 32      | 2019 | 0,004875564 | 0,069825 | 0,010742 | 0,018473 | 0,302049 | 0,037901 | 0,005371 | 0,000000002741 |
| 32      | 2018 | 0,012360063 | 0,111176 | 0,037758 | 0,020452 | 0,283184 | 0,026246 | 0,005943 | 0,000000002374 |
| 46      | 2019 | 0,050656626 | 0,22507  | 0,001278 | 0,000581 | 0,700508 | 0,057543 | 0,035907 | 0,000000002594 |
| 46      | 2018 | 0,012112087 | 0,110055 | 0,001784 | 0,000492 | 0,831308 | 0,042344 | 0,032584 | 0,000000002589 |
| 46      | 2017 | 0,002234361 | 0,047269 | 0,000109 | 0        | 0,662003 | 0,016767 | 0,01879  | 0,000000002870 |
| 46      | 2015 | 0,029797116 | 0,172618 | 0,000471 | 0        | 0,728344 | 0,039086 | 0,031563 | 0,000000003038 |
| 46      | 2014 | 0,004910452 | 0,070075 | 0,000826 | 0        | 0,740877 | 0,041616 | 0,031038 | 0,000000002719 |
| 46      | 2013 | 0,017057611 | 0,130605 | 0,000912 | 0        | 0,788902 | 0,040591 | 0,036073 | 0,000000002488 |
| 48      | 2019 | 0,072138579 | 0,268586 | 0,002402 | 0        | 0,754722 | 0,105991 | 0,001013 | 0,000000001201 |
| 48      | 2018 | 0,072211533 | 0,268722 | 0,002892 | 0        | 0,720351 | 0,080394 | 0,000995 | 0,000000001550 |
| 48      | 2017 | 0,102393333 | 0,31999  | 0,003315 | 0        | 0,671022 | 0,082326 | 0,001118 | 0,000000001657 |
| 70      | 2018 | 0,028203078 | 0,167938 | 0,057483 | 0,002507 | 0,155492 | 0,017322 | 0,007545 | 0,000000000627 |
| 70      | 2017 | 0,039835301 | 0,199588 | 0,026051 | 0,002495 | 0,175441 | 0,022771 | 0,008917 | 0,000000000764 |
| 70      | 2016 | 0,038294792 | 0,195691 | 0,02024  | 0,002115 | 0,177484 | 0,020726 | 0,008137 | 0,000000000890 |
| 70      | 2015 | 0,059861102 | 0,244665 | 0,031485 | 0,00212  | 0,204842 | 0,024067 | 0,009458 | 0,000000000966 |
| 70      | 2014 | 0,045433668 | 0,213152 | 0,487121 | 0,001479 | 0,206636 | 0,018695 | 0,008978 | 0,000000001152 |
| 74      | 2017 | 0,076119475 | 0,275898 | 0,015832 | 0        | 0,146963 | 0,022774 | 0,001464 | 0,000000001634 |
| 74      | 2016 | 0,099825931 | 0,315952 | 0,008033 | 0        | 0,159728 | 0,026114 | 0,002091 | 0,000000001782 |
| 74      | 2015 | 0,094353351 | 0,30717  | 0,008596 | 0        | 0,167873 | 0,030396 | 0,001541 | 0,000000001934 |
| 77      | 2019 | 0,013386854 | 0,115702 | 0,01002  | 0,001128 | 0,30792  | 0,028925 | 0,004014 | 0,000000000679 |
| 81      | 2017 | 0,008487245 | 0,092126 | 0,017651 | 0,002489 | 0,703883 | 0,062217 | 0,017651 | 0,000000001725 |
| 81      | 2015 | 0,008620636 | 0,092847 | 0,017008 | 0,002902 | 0,753095 | 0,043533 | 0,014778 | 0,000000001863 |
| 81      | 2014 | 0,008626985 | 0,092882 | 0,012262 | 0,003326 | 0,705961 | 0,068931 | 0,018392 | 0,000000001921 |
| 82      | 2019 | 0,015952256 | 0,126302 | 0,233085 | 0,007915 | 0,043822 | 0,008338 | 0,010566 | 0,000000000447 |
| 82      | 2018 | 0,01671817  | 0,129299 | 0,23445  | 0,006766 | 0,031376 | 0,004973 | 0,009876 | 0,000000000452 |
| 82      | 2017 | 0,01572042  | 0,125381 | 0,25442  | 0,012234 | 0,035939 | 0,005263 | 0,007039 | 0,000000000447 |
| 94      | 2019 | 0,005680133 | 0,075367 | 0,082788 | 0        | 0,217195 | 0,046839 | 0,000495 | 0,000000001547 |
| 95      | 2019 | 0,000460132 | 0,021451 | 0,021676 | 0,005331 | 0,276609 | 0,038888 | 0,00195  | 0,000000000526 |
| 95      | 2018 | 0,004007937 | 0,063308 | 0,021123 | 0,00057  | 0,201243 | 0,020847 | 0,001453 | 0,000000000668 |
| 95      | 2017 | 0,002531998 | 0,050319 | 0,20981  | 0,003275 | 0,159343 | 0,022779 | 0,00148  | 0,000000000390 |
| 95      | 2016 | 0,003805924 | 0,061692 | 0,175326 | 0,011947 | 0,303586 | 0,028063 | 0,003    | 0,000000000368 |
| 95      | 2015 | 1,96981E-06 | 0,001404 | 0,001142 | 0,000134 | 0,005557 | 0,000476 | 6,5E-05  | 0,000000000638 |
| 95      | 2014 | 2,15598E-06 | 0,001468 | 0,000977 | 0,000153 | 0,005392 | 0,000482 | 7,25E-05 | 0,000000000006 |
| 95      | 2013 | 0,005650105 | 0,075167 | 0,050678 | 0,00174  | 0,246892 | 0,023968 | 0,005298 | 0,000000000621 |
| 95      | 2012 | 0,004416672 | 0,066458 | 0,052898 | 0,008942 | 0,225707 | 0,023405 | 0,00512  | 0,000000000610 |

Continua...

...continuação

|     |      |             |          |          |          |          |          |          |                |
|-----|------|-------------|----------|----------|----------|----------|----------|----------|----------------|
| 98  | 2019 | 0,021872786 | 0,147895 | 0,034189 | 0,004544 | 0,465946 | 0,05208  | 0,010948 | 0,000000000610 |
| 98  | 2018 | 0,017984026 | 0,134105 | 0,03528  | 0,003725 | 0,391939 | 0,030071 | 0,010055 | 0,000000001492 |
| 98  | 2017 | 0,016151405 | 0,127088 | 0,030651 | 0,002749 | 0,393982 | 0,032047 | 0,009031 | 0,000000001724 |
| 98  | 2015 | 0,013836389 | 0,117628 | 0,016732 | 0,004006 | 0,457935 | 0,03956  | 0,009731 | 0,000000002108 |
| 138 | 2019 | 0,013034995 | 0,114171 | 0,093867 | 0,007625 | 0,325681 | 0,042068 | 0,010299 | 0,000000000275 |
| 138 | 2018 | 0,013716197 | 0,117116 | 0,095475 | 0,008008 | 0,312576 | 0,034942 | 0,009308 | 0,000000000251 |
| 138 | 2017 | 0,002136637 | 0,046224 | 0,110381 | 0,003895 | 0,33786  | 0,018228 | 0,007102 | 0,000000000247 |
| 163 | 2019 | 0,000790696 | -0,02812 | 0,000563 | 0,00036  | 0,426872 | 0,029474 | 0,004491 | 0,000000000819 |
| 163 | 2018 | 0,007988345 | 0,089378 | 0,000618 | 0,000501 | 0,433488 | 0,028626 | 0,004675 | 0,000000000846 |
| 163 | 2017 | 0,009754016 | 0,098762 | 0,000695 | 0,000525 | 0,471917 | 0,029285 | 0,004078 | 0,000000000811 |
| 163 | 2015 | 0,000197897 | 0,014068 | 0,000737 | 0,000645 | 0,467279 | 0,015954 | 0,003538 | 0,000000000844 |
| 163 | 2014 | 0,000162157 | 0,012734 | 0,000659 | 0,000844 | 0,520077 | 0,017344 | 0,004371 | 0,000000000884 |
| 168 | 2019 | 0,016424008 | 0,128156 | 0,220595 | 0,00783  | 0,62751  | 0,062756 | 0,026562 | 0,000000000082 |
| 168 | 2018 | 0,030564459 | 0,174827 | 0,21349  | 0        | 0,504154 | 0,066016 | 0,025962 | 0,000000000093 |
| 168 | 2017 | 0,009922856 | 0,099614 | 0,186376 | 0        | 0,524824 | 0,068316 | 0,021219 | 0,000000000083 |
| 169 | 2017 | 0,02942149  | 0,171527 | 0,01601  | 0,003945 | 0,522785 | 0,059826 | 0,002821 | 0,000000000854 |
| 169 | 2016 | 0,027881769 | 0,166978 | 0,014365 | 0,003675 | 0,480775 | 0,051973 | 0,00243  | 0,000000001016 |
| 169 | 2015 | 0,034337219 | 0,185303 | 0,017059 | 0,004547 | 0,439921 | 0,056603 | 0,001909 | 0,000000001106 |
| 171 | 2019 | 0,072391568 | 0,269057 | 0,038261 | 0,001884 | 0,421144 | 0,035415 | 0,003344 | 0,000000000247 |
| 173 | 2019 | 0,035289485 | 0,187855 | 0,211945 | 0,010142 | 0,223429 | 0,01941  | 0,012388 | 0,000000000296 |
| 173 | 2018 | 0,018508737 | 0,136047 | 0,232608 | 0,010981 | 0,179511 | 0,018378 | 0,013019 | 0,000000000330 |
| 173 | 2016 | 0,023864984 | 0,154483 | 0,269553 | 0,008998 | 0,16834  | 0,019832 | 0,014361 | 0,000000000364 |
| 173 | 2015 | 0,021405124 | 0,146305 | 0,258582 | 0,002099 | 0,166729 | 0,005097 | 0,013491 | 0,000000000356 |
| 173 | 2014 | 0,020528506 | 0,143278 | 0,285727 | 0,007676 | 0,193698 | 0,022418 | 0,01592  | 0,000000000396 |
| 173 | 2013 | 0,027121238 | 0,164685 | 0,15152  | 0,006908 | 0,218746 | 0,025328 | 0,023026 | 0,000000000486 |
| 173 | 2012 | 0,029300844 | 0,171175 | 0,14681  | 0,005782 | 0,217995 | 0,02834  | 0,023952 | 0,000000000516 |
| 206 | 2019 | 0,040047788 | 0,200119 | 0,150491 | 0,00451  | 0,392819 | 0,037191 | 0,004431 | 0,000000000182 |
| 206 | 2018 | 0,041800606 | 0,204452 | 0,141654 | 0,004225 | 0,356729 | 0,026353 | 0,004165 | 0,000000000214 |
| 206 | 2017 | 0,044123257 | 0,210055 | 0,15399  | 0,00433  | 0,365125 | 0,028538 | 0,004489 | 0,000000000225 |
| 206 | 2016 | 0,039267022 | 0,198159 | 0,155219 | 0,004168 | 0,329264 | 0,026857 | 0,005368 | 0,000000000260 |
| 206 | 2015 | 0,027089375 | 0,164589 | 0,155712 | 0,003838 | 0,310381 | 0,026165 | 0,004332 | 0,000000000284 |
| 206 | 2014 | 0,019281374 | 0,138857 | 0,175568 | 0,004317 | 0,29953  | 0,029014 | 0,003062 | 0,000000000281 |
| 206 | 2013 | 0,02211909  | 0,148725 | 0,184702 | 0,003945 | 0,306234 | 0,028146 | 0,003348 | 0,000000000314 |
| 210 | 2019 | 0,001895049 | 0,043532 | 0,069819 | 0,012032 | 0,254193 | 0,035329 | 0,019907 | 0,000000000362 |
| 210 | 2018 | 0,0128528   | 0,11337  | 0,069506 | 0,010802 | 0,215356 | 0,034808 | 0,020368 | 0,000000000367 |
| 210 | 2016 | 0,030754812 | 0,175371 | 0,075561 | 0,010707 | 0,218897 | 0,030392 | 0,021346 | 0,000000000415 |
| 211 | 2018 | 0,00640314  | 0,08002  | 0,088595 | 0,01184  | 0,547959 | 0,060991 | 0,001472 | 0,000000000144 |
| 213 | 2019 | 0,000643457 | 0,025366 | 0,072925 | 0,002024 | 0,451462 | 0,036406 | 4,44E-06 | 0,000000000246 |
| 214 | 2019 | 0,005640071 | 0,0751   | 0,065487 | 0,002936 | 0,354082 | 0,026485 | 0,006549 | 0,000000000321 |
| 214 | 2018 | 0,007374861 | 0,085877 | 0,070689 | 0        | 0,364144 | 0,026645 | 0,007495 | 0,000000000324 |
| 215 | 2017 | 0,015481401 | 0,124424 | 0,263902 | 0,012234 | 0,18735  | 0,019819 | 0,006586 | 0,000000000218 |
| 215 | 2016 | 0,01780508  | 0,133436 | 0,084354 | 0,00975  | 0,208786 | 0,023585 | 0,022205 | 0,000000000364 |
| 215 | 2015 | 0,015907739 | 0,126126 | 0,07424  | 0,00645  | 0,181829 | 0,018218 | 0,021666 | 0,000000000424 |
| 215 | 2014 | 0,080780041 | 0,284218 | 0,109271 | 0,010052 | 0,345999 | 0,026324 | 0,045135 | 0,000000000398 |
| 227 | 2019 | 0,005565022 | 0,074599 | 0,172946 | 0,015686 | 0,106443 | 0,029115 | 0,000102 | 0,000000000108 |
| 227 | 2018 | 0,005695585 | 0,075469 | 0,267944 | 0,011859 | 0,136193 | 0,010325 | 0,000791 | 0,000000000111 |
| 230 | 2019 | 0,017661549 | 0,132897 | 0,010041 | 0,003455 | 0,346057 | 0,040879 | 0,013163 | 0,000000000499 |
| 230 | 2018 | 0,018073909 | 0,134439 | 0,010086 | 0,003835 | 0,362974 | 0,040596 | 0,013038 | 0,000000000541 |

Continua...

...continuação

|     |      |             |          |          |          |          |          |          |                |
|-----|------|-------------|----------|----------|----------|----------|----------|----------|----------------|
| 238 | 2014 | 0,002806093 | 0,052973 | 0,017187 | 0        | 0,857859 | 0,065906 | 0,040659 | 0,000000000244 |
| 239 | 2013 | 0,008199541 | 0,090551 | 0,193069 | 0        | 0,159723 | 0,017385 | 0,000219 | 0,000000000529 |
| 242 | 2019 | 0,0465658   | 0,215791 | 0,188723 | 0,005894 | 0,29966  | 0,029287 | 0,004689 | 0,000000000123 |
| 242 | 2018 | 0,071839206 | 0,268028 | 0,211918 | 0,005817 | 0,32139  | 0,038711 | 0,005812 | 0,000000000130 |
| 242 | 2017 | 0,082122087 | 0,28657  | 0,085581 | 0,009074 | 0,380337 | 0,0382   | 0,008278 | 0,000000000180 |
| 242 | 2016 | 0,062607787 | 0,250215 | 0,108208 | 0,004911 | 0,400645 | 0,050632 | 0,008698 | 0,000000000181 |
| 242 | 2015 | 0,068736647 | 0,262177 | 0,081522 | 0,008725 | 0,408326 | 0,035913 | 0,008982 | 0,000000000187 |
| 242 | 2014 | 0,068706537 | 0,262119 | 0,065185 | 0,002062 | 0,391718 | 0,036444 | 0,008656 | 0,000000000178 |
| 242 | 2013 | 0,065436559 | 0,255806 | 0,036443 | 0,002016 | 0,336976 | 0,035508 | 0,008885 | 0,000000000187 |
| 245 | 2019 | 0,007392498 | 0,08598  | 0,016993 | 0,001572 | 0,742411 | 0,142318 | 0,028574 | 0,000000000739 |
| 248 | 2019 | 0,019698595 | 0,140352 | 0,136656 | 0,014018 | 0,278155 | 0,026907 | 0,024978 | 0,000000000298 |
| 248 | 2018 | 0,024544239 | 0,156666 | 0,112153 | 0,013497 | 0,28737  | 0,018676 | 0,029045 | 0,000000000442 |
| 248 | 2017 | 0,030074881 | 0,173421 | 0,118719 | 0,014704 | 0,24995  | 0,019785 | 0,033796 | 0,000000000464 |
| 248 | 2016 | 0,033790758 | 0,183823 | 0,135708 | 0,016716 | 0,244859 | 0,019315 | 0,035192 | 0,000000000470 |
| 248 | 2015 | 0,029004184 | 0,170306 | 0,138509 | 0,01573  | 0,224679 | 0,019212 | 0,031479 | 0,000000000535 |
| 248 | 2014 | 0,02383672  | 0,154391 | 0,112158 | 0,013698 | 0,21575  | 0,022494 | 0,028089 | 0,000000000611 |
| 248 | 2013 | 0,022058786 | 0,148522 | 0,126403 | 0,014598 | 0,217489 | 0,021653 | 0,031329 | 0,000000000575 |
| 248 | 2012 | 0,018272554 | 0,135176 | 0,128365 | 0,020559 | 0,19669  | 0,020778 | 0,030125 | 0,000000000531 |
| 250 | 2019 | 0,012067354 | 0,109852 | 0,033211 | 0,002555 | 0,41684  | 0,034808 | 0,007132 | 0,000000000106 |
| 252 | 2019 | 0,011832178 | 0,108776 | 0,013824 | 0,001484 | 0,389351 | 0,049935 | 0,006524 | 0,000000000662 |
| 255 | 2018 | 0,073917628 | 0,271878 | 0,044025 | 0,00027  | 0,654968 | 0,041269 | 0,018734 | 0,000000000087 |
| 258 | 2019 | 0,003756997 | 0,061294 | 0,058451 | 0,004175 | 0,746891 | 0,039769 | 0,001459 | 0,000000000308 |
| 258 | 2013 | 0,002015987 | 0,0449   | 0,014788 | 0,001519 | 0,806306 | 0,042507 | 0,001896 | 0,000000000463 |
| 260 | 2019 | 0,008621229 | 0,092851 | 0,024104 | 0,000453 | 0,196599 | 0,013293 | 0,001434 | 0,000000000477 |
| 260 | 2017 | 0,007377706 | 0,085894 | 0,0263   | 0,000115 | 0,301824 | 0,015008 | 0,001611 | 0,000000000456 |
| 260 | 2016 | 0,009724008 | 0,09861  | 0,043369 | 0,00016  | 0,225137 | 0,015552 | 0,001634 | 0,000000000678 |
| 260 | 2015 | 0,008531919 | 0,092368 | 0,054719 | 0,000156 | 0,239929 | 0,014696 | 0,001861 | 0,000000000745 |
| 272 | 2019 | 0,003601925 | 0,060016 | 0,217433 | 0,014722 | 0,128052 | 0,009929 | 0,026389 | 0,000000000075 |
| 272 | 2018 | 0,004518551 | 0,06722  | 0,347583 | 0,008678 | 0,141941 | 0,011198 | 0,035633 | 0,000000000078 |
| 272 | 2017 | 0,017639575 | 0,132814 | 0,096516 | 0,008053 | 0,204408 | 0,01933  | 0,068587 | 0,000000000217 |
| 272 | 2016 | 0,019546407 | 0,139808 | 0,094629 | 0,006148 | 0,200681 | 0,020362 | 0,066969 | 0,000000000249 |
| 272 | 2015 | 0,027338742 | 0,165344 | 0,084901 | 0,004162 | 0,203314 | 0,020697 | 0,068281 | 0,000000000269 |
| 272 | 2014 | 0,030248108 | 0,17392  | 0,02243  | 0,002139 | 0,211026 | 0,02404  | 0,074312 | 0,000000000286 |
| 272 | 2013 | 0,024218147 | 0,155622 | 0,009189 | 0,001831 | 0,206264 | 0,023149 | 0,077989 | 0,000000000300 |
| 273 | 2019 | 0,007516286 | 0,086697 | 0,010596 | 0,00262  | 0,420869 | 0,044916 | 0,006472 | 0,000000000256 |
| 273 | 2018 | 0,00595909  | 0,077195 | 0,012935 | 0,002863 | 0,393928 | 0,041912 | 0,006388 | 0,000000000283 |
| 273 | 2017 | 0,011041329 | 0,105078 | 0,013081 | 0,003124 | 0,378093 | 0,042246 | 0,006845 | 0,000000000274 |
| 273 | 2016 | 0,008963616 | 0,094676 | 0,014091 | 0,003093 | 0,369502 | 0,037868 | 0,006064 | 0,000000000328 |
| 273 | 2015 | 0,007125554 | 0,084413 | 0,011798 | 0,002816 | 0,339162 | 0,040458 | 0,006197 | 0,000000000351 |
| 273 | 2014 | 0,005647745 | 0,075151 | 0,008355 | 0        | 0,2975   | 0,037602 | 0,005774 | 0,000000000382 |
| 273 | 2013 | 0,005364326 | 0,073242 | 0,011758 | 0        | 0,308644 | 0,045049 | 0,006658 | 0,000000000344 |
| 277 | 2018 | 0,019268612 | 0,138811 | 0,034773 | 0,002437 | 0,68328  | 0,041827 | 0,00045  | 0,000000000504 |
| 284 | 2018 | 0,002302527 | 0,047985 | 0,001568 | 0,002172 | 0,644255 | 0,028987 | 0,001611 | 0,000000000429 |

Continua...

...continuação

|     |      |             |          |          |          |          |          |          |                |
|-----|------|-------------|----------|----------|----------|----------|----------|----------|----------------|
| 288 | 2019 | 0,010733999 | 0,103605 | 0,262539 | 0,00337  | 0,205486 | 0,022335 | 0,00721  | 0,000000000081 |
| 288 | 2018 | 0,008435543 | 0,091845 | 0,246775 | 0,003469 | 0,177404 | 0,022763 | 0,006359 | 0,000000000076 |
| 288 | 2017 | 0,01298504  | 0,113952 | 0,329274 | 0,003055 | 0,221613 | 0,032352 | 0,008178 | 0,000000000069 |
| 288 | 2016 | 0,029344969 | 0,171304 | 0,143674 | 0,002442 | 0,315363 | 0,038424 | 0,011951 | 0,000000000129 |
| 288 | 2015 | 0,020567371 | 0,143413 | 0,144669 | 0,002512 | 0,302273 | 0,038679 | 0,015572 | 0,000000000128 |
| 288 | 2014 | 0,021578272 | 0,146895 | 0,148747 | 0,002099 | 0,289717 | 0,035304 | 0,014443 | 0,000000000124 |
| 288 | 2013 | 0,02591716  | 0,160988 | 0,142979 | 0,00219  | 0,282064 | 0,034923 | 0,014845 | 0,000000000123 |
| 289 | 2019 | 0,007175617 | 0,084709 | 0,435526 | 0,018935 | 0,227045 | 0,022669 | 0,038915 | 0,000000000149 |
| 289 | 2018 | 0,007688539 | 0,087684 | 0,142715 | 0,020772 | 0,209343 | 0,018443 | 0,040499 | 0,000000000179 |
| 289 | 2017 | 0,008977471 | 0,09475  | 0,173677 | 0,024828 | 0,199939 | 0,020562 | 0,04356  | 0,000000000173 |
| 289 | 2016 | 0,007701958 | 0,087761 | 0,194159 | 0,024414 | 0,18691  | 0,019431 | 0,040581 | 0,000000000198 |
| 289 | 2015 | 0,009346458 | 0,096677 | 0,2154   | 0,025082 | 0,168716 | 0,018775 | 0,041472 | 0,000000000217 |
| 289 | 2014 | 0,011050562 | 0,105122 | 0,310559 | 0,020543 | 0,210685 | 0,016797 | 0,045744 | 0,000000000234 |
| 289 | 2013 | 0,01556236  | 0,124749 | 0,144137 | 0,02062  | 0,197008 | 0,020113 | 0,05691  | 0,000000000326 |
| 291 | 2019 | 0,000142557 | 0,01194  | 0,019143 | 0,00479  | 0,252261 | 0,021062 | 9,77E-05 | 0,000000000101 |
| 291 | 2018 | 0,000380041 | 0,019495 | 0,022321 | 0,004516 | 0,194933 | 0,01503  | 0,000404 | 0,000000000118 |
| 301 | 2018 | 0,005957005 | 0,077182 | 0,138297 | 0        | 0,382181 | 0,066987 | 0,005991 | 0,000000000178 |
| 301 | 2017 | 0,004343144 | 0,065903 | 0,174128 | 0        | 0,39043  | 0,069346 | 0,002804 | 0,000000000163 |
| 301 | 2016 | 0,028280053 | 0,168167 | 0,177968 | 0        | 0,479707 | 0,05988  | 0,010294 | 0,000000000165 |
| 301 | 2014 | 0,008427893 | 0,091804 | 0,138756 | 0        | 0,408352 | 0,208512 | 0,012015 | 0,000000000164 |
| 303 | 2016 | 0,002645992 | 0,051439 | 0,115506 | 0,004541 | 0,086336 | 0,017457 | 0,02158  | 0,000000000163 |
| 303 | 2015 | 0,003481833 | 0,059007 | 0,143489 | 0,003892 | 0,174244 | 0,015943 | 0,024635 | 0,000000000158 |
| 303 | 2014 | 0,010846057 | 0,104144 | 0,046692 | 0,00208  | 0,175875 | 0,022731 | 0,023885 | 0,000000000187 |
| 304 | 2019 | 0,000480972 | 0,021931 | 0,029112 | 0,008132 | 0,427688 | 0,050662 | 0,023807 | 0,000000000594 |
| 304 | 2018 | 0,001382528 | 0,037182 | 0,03513  | 0,008658 | 0,412612 | 0,037072 | 0,020519 | 0,000000000561 |
| 304 | 2017 | 0,00012299  | 0,01109  | 0,015393 | 0,002436 | 0,309916 | 0,029172 | 0,018605 | 0,000000000525 |
| 304 | 2016 | 5,52606E-06 | 0,002351 | 0,008841 | 0,002259 | 0,245296 | 0,023589 | 0,015484 | 0,000000000487 |
| 304 | 2015 | 2,47297E-06 | 0,001573 | 0,010222 | 0,000653 | 0,381347 | 0,042424 | 0,014595 | 0,000000000485 |
| 304 | 2014 | 0,000266158 | -0,01631 | 0,011378 | 0,001013 | 0,413547 | 0,034288 | 0,017866 | 0,000000000424 |
| 326 | 2019 | 0,003971107 | 0,063017 | 0,192557 | 0,006181 | 0,200338 | 0,021247 | 0,014519 | 0,000000000074 |
| 326 | 2018 | 0,006744699 | 0,082126 | 0,10119  | 0,007341 | 0,14893  | 0,0193   | 0,01801  | 0,000000000116 |
| 326 | 2017 | 0,008821017 | 0,09392  | 0,115742 | 0,013698 | 0,155299 | 0,021027 | 0,01661  | 0,000000000116 |
| 330 | 2013 | 0,010118049 | 0,100589 | 0,035348 | 0        | 0,551324 | 0,019982 | 4,65E-08 | 0,000000000229 |
| 336 | 2019 | 0,010522456 | 0,102579 | 0,048105 | 0,002004 | 0,935889 | 0,034485 | 0,000453 | 0,000000000195 |
| 336 | 2018 | 0,009111156 | 0,095452 | 0,014621 | 0,001144 | 0,630136 | 0,03198  | 0,000139 | 0,000000000278 |
| 336 | 2017 | 0,003573976 | 0,059783 | 0,022906 | 0,001804 | 0,698658 | 0,041277 | 0,000222 | 0,000000000281 |
| 336 | 2016 | 0,015963867 | 0,126348 | 0,027751 | 0,001926 | 0,744489 | 0,039861 | 6,77E-05 | 0,000000000302 |
| 336 | 2015 | 0,024805152 | 0,157497 | 0,025605 | 0,001955 | 0,665406 | 0,038714 | 3,45E-05 | 0,000000000352 |
| 336 | 2014 | 0,046431135 | 0,215479 | 0,028928 | 0,002024 | 0,617159 | 0,03681  | 4,43E-05 | 0,000000000378 |
| 337 | 2019 | 0,024572876 | 0,156757 | 0,02993  | 0,000114 | 0,209219 | 0,042858 | 0,069607 | 0,000000000429 |
| 345 | 2019 | 0,000463407 | -0,02153 | 0,254235 | 0,013555 | 0,084491 | 0,028109 | 0,005431 | 0,000000000060 |
| 345 | 2018 | 0,000146785 | 0,012115 | 0,224903 | 0,017545 | 0,066146 | 0,018985 | 0,004889 | 0,000000000057 |
| 345 | 2017 | 8,82448E-05 | 0,009394 | 0,366742 | 0,015618 | 0,074407 | 0,017008 | 0,004785 | 0,000000000044 |
| 348 | 2018 | 0,006093849 | 0,078063 | 0,016705 | 0,000535 | 0,411215 | 0,046769 | 0,00624  | 0,000000000290 |
| 348 | 2014 | 0,002358629 | 0,048566 | 0,010059 | 0,000252 | 0,427242 | 0,043683 | 0,004827 | 0,000000000351 |

Continua...

...continuação

|     |      |             |          |          |          |          |          |          |                |
|-----|------|-------------|----------|----------|----------|----------|----------|----------|----------------|
| 350 | 2019 | 0,033537734 | 0,183133 | 0,048032 | 0,011084 | 0,510414 | 0,047143 | 0,08202  | 0,000000000331 |
| 350 | 2018 | 0,04491675  | 0,211936 | 0,053354 | 0,01416  | 0,495624 | 0,037692 | 0,082842 | 0,000000000335 |
| 350 | 2017 | 0,054914737 | 0,234339 | 0,074943 | 0,023786 | 0,505244 | 0,042768 | 0,095377 | 0,000000000330 |
| 350 | 2016 | 0,045900298 | 0,214244 | 0,084816 | 0,014926 | 0,464445 | 0,037938 | 0,090245 | 0,000000000375 |
| 350 | 2015 | 0,046734916 | 0,216183 | 0,081828 | 0,014715 | 0,434816 | 0,036278 | 0,092109 | 0,000000000385 |
| 350 | 2014 | 0,031892826 | 0,178586 | 0,102041 | 0,013569 | 0,415591 | 0,032332 | 0,088628 | 0,000000000349 |
| 350 | 2013 | 0,031760909 | 0,178216 | 0,113159 | 0,006785 | 0,438321 | 0,028899 | 0,084716 | 0,000000000333 |
| 353 | 2019 | 0,006387265 | 0,07992  | 0,040662 | 0,003107 | 0,57828  | 0,021089 | 0,006683 | 0,000000000101 |
| 353 | 2018 | 0,009324804 | 0,096565 | 0,050369 | 0,006222 | 0,394077 | 0,02211  | 0,009138 | 0,000000000132 |
| 353 | 2014 | 0,005526887 | 0,074343 | 0,010019 | 0,001294 | 0,279719 | 0,02223  | 0,020052 | 0,000000000191 |
| 358 | 2015 | 0,029093022 | 0,170567 | 0,000255 | 0,000274 | 0,465933 | 0,036011 | 0,000229 | 0,000000000475 |
| 358 | 2014 | 0,044990568 | 0,21211  | 0,000232 | 4,21E-06 | 0,431094 | 0,029313 | 0,000266 | 0,000000000456 |
| 359 | 2019 | 0,009008812 | 0,094915 | 0,283571 | 0,001969 | 0,092402 | 0,013435 | 0,006528 | 0,000000000097 |
| 359 | 2018 | 0,008117467 | 0,090097 | 0,278391 | 0,001996 | 0,095445 | 0,012605 | 0,006724 | 0,000000000098 |
| 359 | 2016 | 0,021682246 | 0,147249 | 0,092938 | 0,002472 | 0,146418 | 0,021304 | 0,013343 | 0,000000000216 |
| 359 | 2014 | 0,019456221 | 0,139486 | 0,074639 | 0,001264 | 0,135988 | 0,021909 | 0,013989 | 0,000000000227 |
| 359 | 2013 | 0,017886215 | 0,133739 | 0,074926 | 0,001169 | 0,129582 | 0,020473 | 0,013776 | 0,000000000225 |
| 367 | 2019 | 0,01465641  | 0,121064 | 0,088595 | 0,00802  | 0,41472  | 0,052129 | 0,038886 | 0,000000000801 |
| 367 | 2018 | 0,009455358 | 0,097239 | 0,084165 | 0,006603 | 0,39857  | 0,038127 | 0,042461 | 0,000000000916 |
| 367 | 2017 | 0,021860022 | 0,147851 | 0,08921  | 0,007488 | 0,349353 | 0,050864 | 0,040799 | 0,000000000970 |
| 367 | 2016 | 0,020429092 | 0,14293  | 0,085544 | 0,008488 | 0,353108 | 0,050687 | 0,037188 | 0,000000001121 |
| 367 | 2015 | 0,016720724 | 0,129309 | 0,092063 | 0,008543 | 0,380378 | 0,048285 | 0,040463 | 0,000000001139 |
| 367 | 2014 | 0,006775654 | 0,082314 | 0,081309 | 0,004652 | 0,362812 | 0,04664  | 0,040215 | 0,000000001140 |
| 374 | 2019 | 0,003076568 | 0,055467 | 0,031194 | 0,007269 | 0,098869 | 0,010722 | 0,00954  | 0,000000000052 |
| 374 | 2018 | 0,002419243 | 0,049186 | 0,036884 | 0,004369 | 0,091319 | 0,007073 | 0,008654 | 0,000000000053 |
| 375 | 2019 | 3,07408E-05 | -0,00554 | 0,122889 | 0,002888 | 0,638171 | 0,030642 | 0,000244 | 0,000000000183 |
| 377 | 2019 | 0,017514141 | 0,132341 | 0,048832 | 0,012189 | 0,421085 | 0,047712 | 0,012031 | 0,000000000287 |
| 377 | 2018 | 0,017402007 | 0,131917 | 0,053813 | 0,014516 | 0,366975 | 0,040644 | 0,013453 | 0,000000000283 |
| 377 | 2017 | 0,013296436 | 0,11531  | 0,062244 | 0,015236 | 0,385032 | 0,043421 | 0,013965 | 0,000000000291 |
| 377 | 2016 | 0,009716498 | 0,098572 | 0,064688 | 0,014121 | 0,363143 | 0,038478 | 0,012664 | 0,000000000279 |
| 377 | 2015 | 0,008122507 | 0,090125 | 0,071638 | 0,013768 | 0,356648 | 0,031469 | 0,011169 | 0,000000000267 |
| 377 | 2014 | 0,01401541  | 0,118387 | 0,06797  | 0,009264 | 0,280095 | 0,032811 | 0,011951 | 0,000000000270 |
| 377 | 2013 | 0,010681641 | 0,103352 | 0,068638 | 0,00831  | 0,288755 | 0,038385 | 0,013018 | 0,000000000237 |
| 383 | 2019 | 0,004004524 | 0,063281 | 0,028095 | 0,005189 | 0,479011 | 0,035299 | 0,012525 | 0,000000000143 |
| 383 | 2018 | 0,005339937 | 0,073075 | 0,033311 | 0        | 0,441748 | 0,041428 | 0,012968 | 0,000000000150 |
| 383 | 2017 | 0,011031166 | 0,105029 | 0,033692 | 0,004456 | 0,466212 | 0,033838 | 0,013416 | 0,000000000146 |
| 383 | 2016 | 0,025380397 | 0,159312 | 0,03257  | 0,004101 | 0,408115 | 0,030151 | 0,014732 | 0,000000000161 |
| 383 | 2015 | 0,023689273 | 0,153913 | 0,034255 | 0        | 0,372576 | 0,030863 | 0,013261 | 0,000000000197 |
| 386 | 2019 | 0,00098197  | 0,031336 | 0,09574  | 0,011777 | 0,37597  | 0,045966 | 0,003052 | 0,000000000009 |
| 386 | 2018 | 0,001602106 | 0,040026 | 0,118026 | 0,011423 | 0,3394   | 0,038897 | 0,003251 | 0,000000000009 |
| 386 | 2017 | 0,003110197 | 0,055769 | 0,111381 | 0,001546 | 0,40087  | 0,041812 | 0,003914 | 0,000000000010 |
| 386 | 2016 | 0,002598745 | 0,050978 | 0,108091 | 0,011886 | 0,396106 | 0,041481 | 0,002288 | 0,000000000011 |
| 386 | 2015 | 0,000770483 | 0,027758 | 0,192315 | 0,009507 | 0,780256 | 0,033444 | 0,00219  | 0,000000000012 |
| 386 | 2014 | 0,002718082 | 0,052135 | 0,015219 | 0,002782 | 0,110241 | 0,008269 | 0,003228 | 0,000000000205 |
| 386 | 2013 | 0,002136183 | 0,046219 | 0,018498 | 0,002736 | 0,096046 | 0,007994 | 0,001979 | 0,000000000215 |

Continua...

...continuação

|     |      |             |          |          |          |          |          |          |                |
|-----|------|-------------|----------|----------|----------|----------|----------|----------|----------------|
| 388 | 2019 | 0,007524152 | 0,086742 | 0,125676 | 0,009999 | 0,360466 | 0,028122 | 0,014624 | 0,000000000062 |
| 388 | 2018 | 0,010587235 | 0,102894 | 0,136588 | 0,010252 | 0,350066 | 0,027318 | 0,01469  | 0,000000000063 |
| 388 | 2017 | 0,009290763 | 0,096389 | 0,150877 | 0,010427 | 0,356498 | 0,026704 | 0,014433 | 0,000000000063 |
| 388 | 2016 | 0,009853764 | 0,099266 | 0,158942 | 0,010686 | 0,339642 | 0,026522 | 0,014356 | 0,000000000065 |
| 388 | 2015 | 0,011747569 | 0,108386 | 0,167282 | 0,010289 | 0,323833 | 0,025376 | 0,015276 | 0,000000000064 |
| 388 | 2013 | 0,0180414   | 0,134318 | 0,150359 | 0,006754 | 0,362178 | 0,029126 | 0,016294 | 0,000000000084 |
| 394 | 2019 | 0,005616134 | 0,074941 | 0,036653 | 0,006182 | 0,541997 | 0,042257 | 0,016884 | 0,000000000198 |
| 394 | 2018 | 0,007709832 | 0,087806 | 0,042229 | 0,005651 | 0,494269 | 0,035082 | 0,017409 | 0,000000000207 |
| 394 | 2017 | 0,013686291 | 0,116988 | 0,042137 | 0,005324 | 0,512594 | 0,038239 | 0,018017 | 0,000000000199 |
| 394 | 2016 | 0,029404049 | 0,171476 | 0,040706 | 0,004846 | 0,476888 | 0,025872 | 0,019975 | 0,000000000221 |
| 394 | 2015 | 0,033415778 | 0,1828   | 0,043773 | 0        | 0,442407 | 0,033687 | 0,018909 | 0,000000000273 |
| 403 | 2019 | 0,000132437 | 0,011508 | 0,22941  | 0,028867 | 0,089212 | 0,012945 | 0,004597 | 0,000000000312 |
| 403 | 2018 | 0,000609166 | 0,024681 | 0,246965 | 0,02408  | 0,071866 | 0,006838 | 0,006382 | 0,000000000261 |
| 403 | 2017 | 0,004088424 | 0,063941 | 0,302819 | 0,018227 | 0,076727 | 0,008453 | 0,008844 | 0,000000000273 |
| 403 | 2016 | 0,007620947 | 0,087298 | 0,195154 | 0,014086 | 0,101436 | 0,011086 | 0,011668 | 0,000000000346 |
| 403 | 2013 | 0,003822861 | 0,061829 | 0,19729  | 0,010402 | 0,115714 | 0,013484 | 0,012172 | 0,000000000357 |
| 403 | 2012 | 0,002823526 | 0,053137 | 0,178759 | 0,009969 | 0,114513 | 0,012327 | 0,012142 | 0,000000000317 |
| 408 | 2019 | 0,00095728  | 0,03094  | 0,281575 | 0,179025 | 0,48326  | 0,049419 | 0,00414  | 0,000000000434 |
| 408 | 2018 | 0,000648954 | 0,025475 | 0,312803 | 0,158312 | 0,436437 | 0,048278 | 0,004438 | 0,000000000419 |
| 408 | 2017 | 0,007533498 | -0,0868  | 0,23982  | 0,13842  | 0,489679 | 0,058266 | 0,006642 | 0,000000000403 |
| 408 | 2016 | 0,002170434 | -0,04659 | 0,281377 | 0,102528 | 0,485596 | 0,054789 | 0,006805 | 0,000000000355 |
| 408 | 2015 | 2,72315E-05 | -0,00522 | 0,264501 | 0,101156 | 0,43152  | 0,043538 | 0,006268 | 0,000000000343 |
| 408 | 2014 | 0,002508942 | 0,050089 | 0,247351 | 0,096858 | 0,46811  | 0,05099  | 0,010581 | 0,000000000281 |
| 408 | 2013 | 0,012552748 | 0,112039 | 0,209294 | 0,085151 | 0,459752 | 0,036876 | 0,010919 | 0,000000000282 |
| 409 | 2018 | 0,003426408 | 0,058536 | 0,012675 | 6,96E-05 | 0,92718  | 0,031381 | 0        | 0,000000000077 |
| 409 | 2017 | 0,003848899 | 0,062039 | 0,010203 | 0,002242 | 0,977846 | 0,033941 | 0,000242 | 0,000000000080 |
| 409 | 2016 | 0,0028429   | 0,053319 | 0,008435 | 0,002079 | 0,84622  | 0,033258 | 0,000229 | 0,000000000085 |
| 409 | 2015 | 0,003341346 | 0,057804 | 0,008297 | 0,002576 | 0,887016 | 0,03445  | 0,000402 | 0,000000000081 |
| 409 | 2014 | 0,003830505 | 0,061891 | 0,007953 | 0,002903 | 0,864352 | 0,033783 | 0,000528 | 0,000000000079 |
| 409 | 2013 | 0,004383717 | 0,06621  | 0,010134 | 0,003714 | 0,887449 | 0,034224 | 0,000518 | 0,000000000076 |
| 410 | 2019 | 0,006494064 | 0,080586 | 0,181403 | 0,016763 | 0,195439 | 0,025182 | 0,010405 | 0,000000000147 |
| 410 | 2018 | 0,008016121 | 0,089533 | 0,199587 | 0,017086 | 0,192213 | 0,027154 | 0,010823 | 0,000000000150 |
| 410 | 2017 | 0,00720632  | 0,08489  | 0,225144 | 0,015953 | 0,218901 | 0,038827 | 0,010294 | 0,000000000146 |
| 410 | 2016 | 0,010419372 | 0,102075 | 0,193065 | 0,014245 | 0,224733 | 0,030199 | 0,009856 | 0,000000000171 |
| 410 | 2015 | 0,005999946 | 0,077459 | 0,196845 | 0,013331 | 0,228446 | 0,027934 | 0,008524 | 0,000000000171 |
| 410 | 2014 | 0,003492045 | 0,059094 | 0,207907 | 0,013402 | 0,242148 | 0,035968 | 0,007916 | 0,000000000160 |
| 412 | 2019 | 0,001181986 | -0,03438 | 0,007391 | 0,000527 | 0,388688 | 0,056738 | 0,004485 | 0,000000000246 |
| 412 | 2018 | 0,000714565 | 0,026731 | 0,006924 | 0,000216 | 0,548722 | 0,049901 | 0,003242 | 0,000000000199 |
| 412 | 2017 | 0,002309021 | 0,048052 | 0,006591 | 0,000427 | 0,555919 | 0,050516 | 0,003438 | 0,000000000178 |
| 412 | 2016 | 0,000367374 | 0,019167 | 0,004411 | 0,000352 | 0,500924 | 0,046363 | 0,003823 | 0,000000000183 |
| 412 | 2015 | 0,000372963 | -0,01931 | 0,005283 | 0,000374 | 0,568676 | 0,046511 | 0,003593 | 0,000000000167 |
| 412 | 2014 | 0,000105047 | -0,01025 | 0,011758 | 0,000484 | 0,656415 | 0,070105 | 0,00441  | 0,000000000148 |
| 412 | 2013 | 0,000220182 | -0,01484 | 0,012328 | 0,001034 | 0,667772 | 0,071318 | 0,004747 | 0,000000000147 |
| 414 | 2019 | 0,003365183 | 0,05801  | 0,024212 | 0,003073 | 0,341547 | 0,030111 | 0,016838 | 0,000000000120 |
| 414 | 2018 | 0,00836194  | 0,091444 | 0,02341  | 0,001209 | 0,258614 | 0,037699 | 0,015937 | 0,000000000126 |
| 414 | 2016 | 0,007443362 | 0,086275 | 0,004524 | 0,001578 | 0,319217 | 0,042085 | 0,014414 | 0,000000000109 |
| 414 | 2015 | 0,006068157 | 0,077898 | 0,00826  | 0,000768 | 0,427048 | 0,036212 | 0,013735 | 0,000000000102 |
| 414 | 2014 | 0,005272242 | 0,07261  | 0,009411 | 0,001882 | 0,438138 | 0,040911 | 0,015651 | 0,000000000091 |

Continua...

...continuação

|     |      |             |          |          |          |          |          |          |                |
|-----|------|-------------|----------|----------|----------|----------|----------|----------|----------------|
| 415 | 2019 | 0,006229813 | 0,078929 | 0,034061 | 0,010417 | 0,407058 | 0,05483  | 0,010736 | 0,000000000317 |
| 415 | 2018 | 0,003605506 | 0,060046 | 0,046046 | 0        | 0,335963 | 0,058919 | 0,010706 | 0,000000000319 |
| 415 | 2017 | 0,004485741 | 0,066976 | 0,039664 | 0        | 0,364242 | 0,056804 | 0,011761 | 0,000000000305 |
| 415 | 2016 | 0,003839264 | 0,061962 | 0,042443 | 0        | 0,335297 | 0,051123 | 0,011755 | 0,000000000357 |
| 415 | 2015 | 0,003779031 | 0,061474 | 0,052843 | 0,012391 | 0,319844 | 0,041264 | 0,012514 | 0,000000000340 |
| 415 | 2014 | 0,001323567 | 0,036381 | 0,032889 | 0        | 0,30441  | 0,040454 | 0,012069 | 0,000000000385 |
| 415 | 2013 | 0,002340732 | 0,048381 | 0,034336 | 0        | 0,293889 | 0,044912 | 0,014637 | 0,000000000332 |
| 418 | 2015 | 0,003843814 | 0,061998 | 0,078855 | 0,009929 | 0,341858 | 0,037291 | 0,007389 | 0,000000000106 |
| 424 | 2019 | 0,00279752  | 0,052892 | 0,039379 | 0,009158 | 0,240393 | 0,032815 | 0,022521 | 0,000000000123 |
| 424 | 2018 | 0,002316118 | 0,048126 | 0,051164 | 0,009456 | 0,252905 | 0,028961 | 0,021146 | 0,000000000126 |
| 424 | 2017 | 0,004583081 | 0,067698 | 0,058894 | 0,008736 | 0,2677   | 0,028827 | 0,024153 | 0,000000000113 |
| 424 | 2016 | 0,004346433 | 0,065927 | 0,060495 | 0,006935 | 0,272229 | 0,026481 | 0,024568 | 0,000000000119 |
| 424 | 2015 | 0,004234115 | 0,06507  | 0,041499 | 0,006838 | 0,261158 | 0,025705 | 0,025577 | 0,000000000133 |
| 424 | 2014 | 0,003398245 | 0,058294 | 0,042635 | 0,007357 | 0,240493 | 0,026655 | 0,024347 | 0,000000000119 |
| 424 | 2013 | 0,003870607 | 0,062214 | 0,051987 | 0,00783  | 0,248492 | 0,026915 | 0,024228 | 0,000000000109 |
| 437 | 2018 | 0,004959372 | 0,070423 | 0,008442 | 0,001066 | 0,44992  | 0,046807 | 0,024661 | 0,000000000226 |
| 438 | 2019 | 0,00295652  | 0,054374 | 0,044484 | 0,002028 | 0,231626 | 0,026016 | 0,01178  | 0,000000000197 |
| 439 | 2019 | 0,000499417 | 0,022348 | 0,043398 | 0,002373 | 0,321026 | 0,015059 | 0,009245 | 0,000000000069 |
| 439 | 2018 | 0,001481306 | 0,038488 | 0,046372 | 0,002051 | 0,313798 | 0,015296 | 0,012238 | 0,000000000082 |
| 440 | 2019 | 0,001190685 | 0,034506 | 0,010429 | 0,001463 | 0,366794 | 0,055555 | 0,001153 | 0,000000000450 |
| 440 | 2018 | 0,000246917 | 0,015714 | 0,025521 | 0,002563 | 0,31263  | 0,049737 | 0,001183 | 0,000000000453 |
| 440 | 2017 | 0,000161089 | -0,01269 | 0,02524  | 0,003244 | 0,333082 | 0,067487 | 0,001088 | 0,000000000427 |
| 449 | 2016 | 0,003007966 | 0,054845 | 0,00184  | 0,000263 | 0,12914  | 0,018924 | 0,002541 | 0,000000000087 |
| 449 | 2015 | 2,31263E-05 | -0,00481 | 0,001781 | 8,91E-05 | 0,150147 | 0,019948 | 0,003829 | 0,000000000088 |
| 449 | 2014 | 0,009230156 | 0,096074 | 0,000987 | 0,000329 | 0,210902 | 0,024457 | 0,004387 | 0,000000000090 |
| 449 | 2013 | 0,002335613 | 0,048328 | 0,000702 | 0,000281 | 0,289126 | 0,026412 | 0,003231 | 0,000000000140 |
| 450 | 2018 | 0,000762993 | 0,027622 | 0,006909 | 0,001118 | 0,61219  | 0,036912 | 0,004496 | 0,000000000060 |
| 450 | 2017 | 0,003370606 | 0,058057 | 0,008862 | 0,00113  | 0,662181 | 0,039104 | 0,009927 | 0,000000000059 |
| 450 | 2016 | 0,003856108 | 0,062098 | 0,00147  | 0,000441 | 0,616978 | 0,040731 | 0,002908 | 0,000000000079 |
| 455 | 2018 | 0,003259194 | 0,057089 | 0,114227 | 0,001053 | 0,223137 | 0,02184  | 0,000571 | 0,000000000229 |
| 455 | 2015 | 0,005322661 | 0,072957 | 0,137994 | 0,001288 | 0,203711 | 0,019222 | 0,000523 | 0,000000000267 |
| 455 | 2014 | 0,006023049 | 0,077608 | 0,142169 | 0,00162  | 0,200743 | 0,016843 | 0,000507 | 0,000000000279 |
| 455 | 2013 | 0,006944495 | 0,083336 | 0,135293 | 0,002115 | 0,184598 | 0,01936  | 0,000558 | 0,000000000264 |
| 459 | 2018 | 0,009807557 | 0,099033 | 0,196953 | 0,001348 | 0,218635 | 0,02889  | 0,009024 | 0,000000000056 |
| 459 | 2017 | 0,008935871 | 0,09453  | 0,167763 | 0,000763 | 0,236229 | 0,029815 | 0,009408 | 0,000000000061 |
| 459 | 2016 | 0,009585632 | 0,097906 | 0,155978 | 0,000461 | 0,234988 | 0,033579 | 0,011983 | 0,000000000066 |
| 459 | 2015 | 0,017167716 | 0,131026 | 0,149255 | 0,000526 | 0,238294 | 0,034616 | 0,012701 | 0,000000000066 |
| 461 | 2019 | 0,005604167 | 0,074861 | 0,009351 | 0,001551 | 0,422816 | 0,03741  | 0,002113 | 0,000000000154 |
| 461 | 2016 | 0,002469409 | 0,049693 | 0,005882 | 0,001642 | 0,46399  | 0,039712 | 0,003976 | 0,000000000194 |
| 463 | 2019 | 0,000570172 | -0,02388 | 0,110365 | 0,025236 | 0,138873 | 0,027582 | 0,014352 | 0,000000000052 |
| 463 | 2018 | 0,000816461 | 0,028574 | 0,113041 | 0,018494 | 0,084138 | 0,019589 | 0,01227  | 0,000000000054 |
| 463 | 2017 | 0,000571419 | 0,023904 | 0,124938 | 0,019649 | 0,089162 | 0,0192   | 0,010232 | 0,000000000054 |
| 474 | 2019 | 0,004108545 | 0,064098 | 0,005246 | 0,001861 | 0,508091 | 0,027343 | 5,31E-05 | 0,000000000104 |
| 474 | 2018 | 0,004453925 | 0,066738 | 0,076619 | 0,003727 | 0,530735 | 0,027258 | 2,97E-05 | 0,000000000092 |
| 474 | 2016 | 0,004864983 | 0,069749 | 0,005777 | 0,002403 | 0,571134 | 0,028769 | 8,9E-05  | 0,000000000102 |
| 474 | 2015 | 0,005821601 | 0,076299 | 0,006807 | 0,004092 | 0,647747 | 0,034175 | 5,9E-05  | 0,000000000116 |
| 474 | 2014 | 0,00655936  | 0,08099  | 0,00781  | 0,002891 | 0,691809 | 0,042552 | 0,000212 | 0,000000000114 |
| 474 | 2013 | 0,008538296 | 0,092403 | 0,00829  | 0,003094 | 0,775034 | 0,044356 | 0,000298 | 0,000000000101 |

Continua...

...continuação

|     |      |             |          |          |          |          |          |          |                |
|-----|------|-------------|----------|----------|----------|----------|----------|----------|----------------|
| 477 | 2019 | 0,006549021 | 0,080926 | 0,102872 | 0,009995 | 0,311359 | 0,059854 | 0,01303  | 0,000000000102 |
| 477 | 2018 | 0,00468963  | 0,068481 | 0,092728 | 0,008498 | 0,261445 | 0,034592 | 0,011058 | 0,000000000102 |
| 477 | 2017 | 0,003865708 | 0,062175 | 0,093621 | 0,006934 | 0,415762 | 0,054841 | 0,01055  | 0,000000000078 |
| 477 | 2016 | 0,004091953 | 0,063968 | 0,027511 | 0,003779 | 0,39354  | 0,051297 | 0,01465  | 0,000000000094 |
| 477 | 2015 | 0,006475776 | 0,080472 | 0,022407 | 0,004414 | 0,470947 | 0,063072 | 0,017761 | 0,000000000122 |
| 477 | 2014 | 0,003800009 | 0,061644 | 0,023894 | 0,003862 | 0,471239 | 0,053195 | 0,022622 | 0,000000000129 |
| 477 | 2013 | 0,001669917 | 0,040865 | 0,025778 | 0,006166 | 0,425197 | 0,105271 | 0,027243 | 0,000000000107 |
| 479 | 2018 | 0,013647541 | 0,116823 | 0,024167 | 0,004146 | 0,391836 | 0,039285 | 0,000739 | 0,000000000094 |
| 479 | 2017 | 0,009459496 | 0,09726  | 0,016717 | 0,00478  | 0,391845 | 0,043017 | 0,000818 | 0,000000000091 |
| 479 | 2016 | 0,008477562 | 0,092074 | 0,019824 | 0,004483 | 0,371709 | 0,040007 | 0,000771 | 0,000000000105 |
| 479 | 2015 | 0,007766773 | 0,088129 | 0,020338 | 0,004346 | 0,361669 | 0,039698 | 0,00113  | 0,000000000104 |
| 481 | 2019 | 0,001545435 | 0,039312 | 0,120749 | 0,006161 | 0,547697 | 0,029217 | 0,00096  | 0,000000000045 |
| 481 | 2018 | 0,002098329 | 0,045808 | 0,086954 | 0,005007 | 0,537148 | 0,028359 | 0,001959 | 0,000000000058 |
| 481 | 2017 | 0,002506476 | 0,050065 | 0,097872 | 0,006182 | 0,529936 | 0,0293   | 0,002304 | 0,000000000065 |
| 481 | 2016 | 0,003066539 | 0,055376 | 0,096789 | 0,006521 | 0,480752 | 0,029952 | 0,002474 | 0,000000000073 |
| 481 | 2015 | 0,002887079 | 0,053732 | 0,095561 | 0,006289 | 0,48413  | 0,027538 | 0,002792 | 0,000000000087 |
| 481 | 2014 | 0,00190594  | 0,043657 | 0,101779 | 0,006513 | 0,48693  | 0,026888 | 0,001932 | 0,000000000082 |
| 481 | 2013 | 0,000745716 | 0,027308 | 0,109404 | 0,003834 | 0,501064 | 0,025161 | 0,00252  | 0,000000000083 |
| 485 | 2019 | 0,004678518 | 0,0684   | 0,035846 | 0,002032 | 0,485651 | 0,070369 | 0,002108 | 0,000000000063 |
| 485 | 2018 | 0,004141024 | 0,064351 | 0,021899 | 0,001347 | 0,328969 | 0,04397  | 0,00226  | 0,000000000076 |
| 485 | 2017 | 0,003178297 | 0,056376 | 0,023988 | 0,000916 | 0,365288 | 0,046902 | 0,002454 | 0,000000000070 |
| 485 | 2016 | 0,002744575 | 0,052389 | 0,006384 | 0,001046 | 0,371212 | 0,051206 | 0,002456 | 0,000000000080 |
| 485 | 2015 | 0,002747292 | 0,052415 | 0,00671  | 0,000891 | 0,391924 | 0,047241 | 0,002387 | 0,000000000081 |
| 485 | 2014 | 0,001846788 | 0,042974 | 0,007258 | 0,00079  | 0,416518 | 0,04751  | 0,002607 | 0,000000000078 |
| 485 | 2013 | 0,002494828 | 0,049948 | 0,007806 | 0,000789 | 0,409977 | 0,042472 | 0,002639 | 0,000000000082 |
| 489 | 2019 | 0,102259846 | 0,319781 | 0,000325 | 0        | 0,792398 | 0,06572  | 0,002924 | 0,000000000043 |
| 489 | 2018 | 0,063010454 | 0,251019 | 0,00032  | 0        | 0,856138 | 0,068348 | 0,001545 | 0,000000000051 |
| 489 | 2014 | 0,001971365 | 0,0444   | 0,001998 | 0,006583 | 0,804876 | 0,057203 | 0,002361 | 0,000000000047 |
| 489 | 2012 | 0,018172699 | 0,134806 | 0,001917 | 0,000958 | 0,822303 | 0,026022 | 0,002157 | 0,000000000048 |
| 492 | 2019 | 0,002305046 | 0,048011 | 0,490004 | 0,00256  | 0,051302 | 0,007274 | 0,001646 | 0,000000000020 |
| 492 | 2017 | 0,01963082  | 0,14011  | 0,381669 | 0,003129 | 0,120931 | 0,019987 | 0,002019 | 0,000000000100 |
| 492 | 2013 | 0,016267834 | 0,127545 | 0,328497 | 0,004634 | 0,143031 | 0,0239   | 0,001829 | 0,000000000122 |
| 507 | 2019 | 0,00085668  | 0,029269 | 0,008248 | 0,00057  | 0,589921 | 0,033436 | 0,00182  | 0,000000000218 |
| 507 | 2018 | 0,000576213 | 0,024004 | 0,011595 | 0,000112 | 0,562428 | 0,035196 | 0,0015   | 0,000000000194 |
| 507 | 2017 | 0,001625609 | 0,040319 | 0,012209 | 0,000604 | 0,6106   | 0,038993 | 0,001856 | 0,000000000176 |
| 508 | 2016 | 0,003140932 | 0,056044 | 0,050712 | 0        | 0,500993 | 0,04606  | 0,008282 | 0,000000000117 |
| 508 | 2015 | 0,009811978 | 0,099055 | 0,095956 | 0        | 0,483455 | 0,040517 | 0,008494 | 0,000000000110 |
| 509 | 2019 | 0,018641954 | 0,136536 | 0,151146 | 0,004719 | 0,280376 | 0,03394  | 0,01474  | 0,000000000056 |
| 509 | 2018 | 0,04165579  | 0,204098 | 0,093535 | 0,003965 | 0,16079  | 0,038487 | 0,015706 | 0,000000000076 |
| 509 | 2017 | 0,035979653 | 0,189683 | 0,105739 | 0,004226 | 0,151067 | 0,038865 | 0,014999 | 0,000000000080 |
| 509 | 2016 | 0,03411137  | 0,184693 | 0,12765  | 0,003367 | 0,16074  | 0,041171 | 0,017219 | 0,000000000086 |
| 509 | 2015 | 0,03963206  | 0,199078 | 0,039456 | 0,00181  | 0,181337 | 0,04595  | 0,02191  | 0,000000000108 |
| 511 | 2019 | 0,013966685 | 0,118181 | 0,119472 | 0,001582 | 0,216608 | 0,018395 | 0,003541 | 0,000000000101 |
| 511 | 2018 | 0,020276769 | 0,142397 | 0,127234 | 0,001428 | 0,20049  | 0,018852 | 0,004    | 0,000000000123 |
| 511 | 2017 | 0,022675082 | 0,150582 | 0,159704 | 0,00168  | 0,200103 | 0,019738 | 0,004471 | 0,000000000123 |

Continua...

...continuação

|     |      |             |          |          |          |          |          |          |                 |
|-----|------|-------------|----------|----------|----------|----------|----------|----------|-----------------|
| 513 | 2018 | 0,002731234 | 0,052261 | 0,015499 | 0,002666 | 0,152624 | 0,026529 | 9,18E-05 | 0,000000000060  |
| 513 | 2017 | 0,003054095 | 0,055264 | 0,016554 | 0,00227  | 0,136577 | 0,027849 | 0,0001   | 0,000000000057  |
| 513 | 2016 | 0,002246021 | 0,047392 | 0,014042 | 0,002214 | 0,100679 | 0,025941 | 0,000172 | 0,000000000062  |
| 513 | 2015 | 0,002391491 | 0,048903 | 0,013263 | 0,002602 | 0,114417 | 0,027734 | 0,000188 | 0,000000000057  |
| 513 | 2014 | 0,003145279 | 0,056083 | 0,01212  | 0,002564 | 0,107139 | 0,028609 | 0,000176 | 0,000000000056  |
| 513 | 2013 | 0,003675046 | 0,060622 | 0,010359 | 0,00236  | 0,875962 | 0,02992  | 0,000226 | 0,000000000056  |
| 520 | 2013 | 0,001678922 | 0,040975 | 0,018312 | 0,009767 | 0,379757 | 0,063453 | 0,001029 | 0,0000000000271 |
| 523 | 2019 | 0,014203839 | 0,11918  | 0,006746 | 0        | 0,573057 | 0,079748 | 0,01181  | 0,000000000146  |
| 523 | 2018 | 0,022245296 | 0,149149 | 0,006881 | 0        | 0,52486  | 0,079612 | 0,011801 | 0,000000000158  |
| 523 | 2017 | 0,027758653 | 0,166609 | 0,007353 | 0        | 0,530097 | 0,08855  | 0,012186 | 0,000000000142  |
| 523 | 2016 | 0,010862712 | 0,104224 | 0,008271 | 0        | 0,529216 | 0,084236 | 0,010314 | 0,000000000166  |
| 523 | 2015 | 0,006879388 | 0,082942 | 0,009351 | 0        | 0,512779 | 0,081408 | 0,011276 | 0,000000000195  |
| 523 | 2014 | 0,003662043 | 0,060515 | 0,009617 | 0        | 0,493231 | 0,066426 | 0,008607 | 0,000000000193  |
| 523 | 2013 | 0,001858885 | 0,043115 | 0,002921 | 0        | 0,531837 | 0,067685 | 0,009648 | 0,000000000154  |
| 525 | 2017 | 0,002283078 | -0,04778 | 0,21682  | 0,000525 | 0,426114 | 0,000385 | 0,021248 | 0,0000000000307 |
| 525 | 2016 | 0,002629407 | -0,05128 | 0,197768 | 0,000839 | 0,309261 | 0,000294 | 0,029499 | 0,000000000407  |
| 525 | 2015 | 0,003705859 | -0,06088 | 0,159006 | 0,000901 | 0,21913  | 0,000376 | 0,036578 | 0,000000000433  |
| 528 | 2018 | 0,007779622 | 0,088202 | 0,001244 | 0,000376 | 0,341791 | 0,025226 | 0,001491 | 0,000000000602  |
| 529 | 2019 | 0,00188638  | 0,043432 | 0,09195  | 0,001902 | 0,27375  | 0,016813 | 0,008813 | 0,000000000041  |
| 529 | 2018 | 0,001657015 | 0,040706 | 0,084813 | 0,007612 | 0,268809 | 0,013725 | 0,007763 | 0,000000000039  |
| 529 | 2017 | 0,00181815  | 0,04264  | 0,085724 | 0,008022 | 0,299409 | 0,014381 | 0,006856 | 0,000000000038  |
| 529 | 2016 | 0,000881062 | 0,029683 | 0,076424 | 0,007523 | 0,259602 | 0,014226 | 0,006319 | 0,000000000040  |
| 529 | 2015 | 4,70677E-06 | 0,00217  | 0,071841 | 0,006989 | 0,270254 | 0,013891 | 0,007371 | 0,000000000038  |
| 529 | 2014 | 0,000998726 | 0,031603 | 0,074942 | 0,006465 | 0,271823 | 0,014769 | 0,009104 | 0,000000000035  |
| 529 | 2013 | 0,001401787 | 0,03744  | 0,076592 | 0,005402 | 0,285623 | 0,014913 | 0,009033 | 0,000000000035  |
| 531 | 2019 | 0,003801725 | 0,061658 | 0,004392 | 0,000442 | 0,530824 | 0,045142 | 1,49E-05 | 0,000000000041  |
| 531 | 2018 | 0,006478623 | 0,08049  | 0,018368 | 4,56E-05 | 0,599973 | 0,041471 | 0,000255 | 0,000000000034  |
| 531 | 2014 | 0,00535049  | 0,073147 | 0,171981 | 0,00044  | 0,517126 | 0,034488 | 0,005389 | 0,000000000033  |
| 537 | 2019 | 0,007693054 | 0,08771  | 0,140317 | 0,01008  | 0,287864 | 0,043399 | 0,023687 | 0,000000000083  |
| 537 | 2018 | 0,009671011 | 0,098341 | 0,123936 | 0,006636 | 0,258601 | 0,037081 | 0,02333  | 0,000000000087  |
| 537 | 2017 | 0,010317084 | 0,101573 | 0,13255  | 0,009343 | 0,276548 | 0,047063 | 0,026375 | 0,000000000085  |
| 537 | 2016 | 0,005855591 | 0,076522 | 0,118081 | 0,010396 | 0,291575 | 0,048218 | 0,024408 | 0,000000000104  |
| 537 | 2015 | 0,005242803 | 0,072407 | 0,138706 | 0,008087 | 0,34702  | 0,056994 | 0,026596 | 0,000000000105  |
| 539 | 2019 | 0,012959422 | 0,113839 | 0,021345 | 9,13E-05 | 0,445911 | 0,035144 | 0,019405 | 0,000000000102  |
| 539 | 2015 | 0,001099911 | 0,033165 | 0,012142 | 0,001782 | 0,49715  | 0,044274 | 0,020062 | 0,000000000120  |
| 540 | 2017 | 0,009117342 | 0,095485 | 0,005683 | 0,000426 | 0,505806 | 0,032513 | 0,000111 | 0,000000000076  |
| 540 | 2016 | 0,009438447 | 0,097152 | 0,005966 | 0,000125 | 0,461766 | 0,033711 | 0,000189 | 0,000000000080  |
| 540 | 2015 | 0,004344529 | 0,065913 | 0,005421 | 0,000418 | 0,403998 | 0,040441 | 0,000242 | 0,000000000076  |
| 550 | 2019 | 4,45124E-07 | 0,000667 | 0,023518 | 0        | 0,461519 | 0,038124 | 0,002669 | 0,000000000151  |
| 550 | 2018 | 0,001677715 | 0,04096  | 0,01918  | 0        | 0,432192 | 0,03166  | 0,002276 | 0,000000000147  |
| 550 | 2016 | 0,000435769 | 0,020875 | 0,005941 | 0        | 0,4615   | 0,037136 | 0,003212 | 0,000000000155  |
| 550 | 2015 | 0,00080187  | -0,02832 | 0,004823 | 0,001622 | 0,467547 | 0,047361 | 0,003423 | 0,000000000150  |
| 550 | 2014 | 0,000235817 | 0,015356 | 0,012485 | 0        | 0,391774 | 0,037656 | 0,002747 | 0,000000000137  |
| 550 | 2013 | 0,002320751 | -0,04817 | 0,011958 | 0        | 0,370588 | 0,039102 | 0,002847 | 0,000000000083  |
| 555 | 2019 | 0,005284035 | 0,072691 | 0,001931 | 0,00019  | 0,167737 | 0,017414 | 0,002675 | 0,000000000398  |
| 555 | 2018 | 0,000557845 | 0,023619 | 0,003443 | 0,000168 | 0,213294 | 0,019209 | 0,003262 | 0,000000000408  |
| 555 | 2016 | 0,000194069 | 0,013931 | 0,00398  | 0,000343 | 0,238846 | 0,025094 | 0,000857 | 0,000000000397  |
| 555 | 2015 | 7,68139E-05 | 0,008764 | 0,003706 | 0        | 0,296635 | 0,02716  | 0,000622 | 0,000000000402  |
| 555 | 2013 | 0,001696415 | 0,041188 | 0,004383 | 0        | 0,31028  | 0,024835 | 0,002139 | 0,000000000294  |

Continua...

...continuação

|     |      |             |          |          |          |          |          |          |                  |
|-----|------|-------------|----------|----------|----------|----------|----------|----------|------------------|
| 558 | 2018 | 0,001016666 | 0,031885 | 0,028204 | 0,00061  | 0,773761 | 0,060276 | 4,65E-06 | 0,0000000000078  |
| 558 | 2016 | 9,94751E-05 | 0,009974 | 0,05102  | 0,000512 | 0,872658 | 0,049039 | 9,35E-06 | 0,0000000000072  |
| 558 | 2015 | 7,86229E-05 | -0,00887 | 0,057953 | 0,000625 | 0,946871 | 0,036917 | 3,82E-06 | 0,0000000000090  |
| 558 | 2014 | 0,001700818 | 0,041241 | 0,067028 | 0,000169 | 0,945978 | 0,035544 | 0,000216 | 0,0000000000084  |
| 559 | 2016 | 0,006952716 | 0,083383 | 0,00594  | 0,001973 | 0,422989 | 0,025073 | 0,000279 | 0,0000000000132  |
| 559 | 2015 | 0,000995257 | 0,031548 | 0,006859 | 0,002393 | 0,422361 | 0,022588 | 6,69E-05 | 0,0000000000114  |
| 559 | 2014 | 0,001459104 | -0,0382  | 0,009117 | 0,002739 | 0,443247 | 0,022    | 0,000556 | 0,0000000000116  |
| 559 | 2013 | 0,000734382 | -0,0271  | 0,011344 | 0,002442 | 0,480507 | 0,028777 | 0,000415 | 0,0000000000101  |
| 562 | 2019 | 0,056359342 | 0,237401 | 0,013301 | 0        | 0,467984 | 0,054772 | 0,006036 | 0,0000000000093  |
| 562 | 2018 | 0,032051507 | 0,179029 | 0,012138 | 0,003006 | 0,453581 | 0,047007 | 0,005826 | 0,0000000000107  |
| 562 | 2017 | 0,027458007 | 0,165705 | 0,013706 | 0,002101 | 0,5285   | 0,049875 | 0,006031 | 0,0000000000105  |
| 562 | 2016 | 0,012516489 | 0,111877 | 0,010269 | 0,001373 | 0,506284 | 0,048866 | 0,00554  | 0,0000000000126  |
| 563 | 2019 | 0,000805244 | 0,028377 | 0,004325 | 0,00188  | 0,406573 | 0,078279 | 0,025494 | 0,0000000000140  |
| 563 | 2018 | 0,001415022 | 0,037617 | 0,005338 | 0,00185  | 0,49136  | 0,072759 | 0,022941 | 0,0000000000124  |
| 563 | 2017 | 0,003295343 | 0,057405 | 0,00607  | 0,001956 | 0,511951 | 0,09056  | 0,022392 | 0,0000000000119  |
| 563 | 2016 | 0,001613111 | 0,040164 | 0,006519 | 0,001934 | 0,594356 | 0,095463 | 0,019403 | 0,0000000000124  |
| 563 | 2015 | 0,002965886 | 0,05446  | 0,004335 | 0,001857 | 0,64805  | 0,07914  | 0,023672 | 0,0000000000122  |
| 563 | 2014 | 0,001258829 | 0,03548  | 0,004834 | 0,001732 | 0,633395 | 0,079304 | 0,0269   | 0,0000000000127  |
| 565 | 2019 | 0,007484553 | 0,086513 | 0,023549 | 0,001221 | 0,302967 | 0,019537 | 0,000117 | 0,0000000000082  |
| 565 | 2018 | 0,008032751 | 0,089626 | 0,027335 | 0,001221 | 0,298058 | 0,019325 | 7,53E-05 | 0,0000000000090  |
| 565 | 2017 | 0,002668761 | 0,05166  | 0,033208 | 0,001453 | 0,361234 | 0,023051 | 0,00012  | 0,0000000000106  |
| 565 | 2016 | 0,00201324  | 0,044869 | 0,030925 | 0,001485 | 0,359873 | 0,024272 | 7,1E-05  | 0,0000000000114  |
| 565 | 2015 | 0,001018896 | 0,03192  | 0,031257 | 0,001337 | 0,373888 | 0,02361  | 2,28E-05 | 0,0000000000110  |
| 568 | 2018 | 0,005404523 | 0,073515 | 0,211502 | 0,009597 | 0,393005 | 0,03305  | 0,002232 | 0,0000000000059  |
| 568 | 2017 | 0,008731864 | 0,093444 | 0,112255 | 0,01026  | 0,404608 | 0,040309 | 0,003393 | 0,0000000000071  |
| 568 | 2016 | 0,002465087 | 0,04965  | 0,11413  | 0,008742 | 0,435101 | 0,037349 | 0,002172 | 0,0000000000077  |
| 568 | 2015 | 0,000600006 | 0,024495 | 0,126638 | 0,007852 | 0,469859 | 0,032783 | 0,003115 | 0,0000000000077  |
| 572 | 2015 | 0,004062947 | 0,063741 | 0,099724 | 0,002854 | 0,498937 | 0,109944 | 0,015619 | 0,00000000000549 |
| 576 | 2019 | 0,000605338 | 0,024604 | 0,076862 | 0,007724 | 0,32868  | 0,038313 | 0,001898 | 0,0000000000053  |
| 576 | 2018 | 0,000716315 | 0,026764 | 0,083519 | 0,008281 | 0,300452 | 0,029268 | 0,001515 | 0,0000000000054  |
| 576 | 2017 | 0,000898867 | 0,029981 | 0,094107 | 0,008848 | 0,299855 | 0,031412 | 0,00158  | 0,0000000000056  |
| 582 | 2018 | 3,29042E-05 | 0,005736 | 0,010605 | 0,001416 | 0,295277 | 0,015601 | 0,01208  | 0,0000000000140  |
| 582 | 2017 | 0,000980882 | 0,031319 | 0,011685 | 0,001209 | 0,228907 | 0,013312 | 0,012901 | 0,0000000000146  |
| 582 | 2016 | 0,001249093 | 0,035343 | 0,012405 | 0,001424 | 0,151971 | 0,029781 | 0,017593 | 0,0000000000146  |
| 582 | 2015 | 0,010817154 | 0,104006 | 0,015669 | 0,00131  | 0,196268 | 0,035411 | 0,018602 | 0,0000000000137  |
| 582 | 2014 | 0,003846786 | 0,062022 | 0,017524 | 0,000176 | 0,215518 | 0,036008 | 0,02116  | 0,0000000000149  |
| 588 | 2017 | 0,000746425 | 0,027321 | 0,031094 | 0,00332  | 0,717329 | 0,032541 | 0,001779 | 0,0000000000083  |
| 588 | 2016 | 0,000965634 | 0,031075 | 0,035456 | 0,0034   | 0,691547 | 0,032025 | 0,001468 | 0,0000000000096  |
| 589 | 2015 | 0,000640907 | 0,025316 | 0,013724 | 0,001209 | 0,45368  | 0,030978 | 0,004763 | 0,0000000000089  |
| 589 | 2014 | 0,000122453 | 0,011066 | 0,016839 | 0,001458 | 0,470759 | 0,031076 | 0,004701 | 0,0000000000087  |
| 589 | 2013 | 6,02859E-05 | 0,007764 | 0,018227 | 0,001592 | 0,475259 | 0,028609 | 0,005188 | 0,0000000000083  |
| 591 | 2016 | 0,008515766 | 0,092281 | 0,072491 | 0        | 0,36983  | 0,059032 | 0,025219 | 0,0000000000154  |
| 593 | 2019 | 0,01252424  | 0,111912 | 0,126383 | 0,008066 | 0,22329  | 0,02224  | 0,024197 | 0,0000000000056  |
| 593 | 2018 | 0,012682442 | 0,112616 | 0,121156 | 0,008786 | 0,172334 | 0,021749 | 0,025681 | 0,0000000000062  |
| 593 | 2017 | 0,016612239 | 0,128888 | 0,126598 | 0,007986 | 0,174823 | 0,020491 | 0,028043 | 0,0000000000060  |
| 593 | 2016 | 0,018637715 | 0,13652  | 0,120749 | 0,007368 | 0,158807 | 0,020764 | 0,027949 | 0,0000000000063  |
| 593 | 2015 | 0,014048463 | 0,118526 | 0,125682 | 0,007617 | 0,162844 | 0,020947 | 0,026891 | 0,0000000000059  |
| 593 | 2014 | 0,007497367 | 0,086587 | 0,144173 | 0,007535 | 0,184895 | 0,020929 | 0,028882 | 0,0000000000057  |

Continua...

...continuação

|     |      |             |          |          |          |          |          |          |                |
|-----|------|-------------|----------|----------|----------|----------|----------|----------|----------------|
| 598 | 2019 | 0,00592092  | 0,076948 | 0,062999 | 0,015939 | 0,128067 | 0,025112 | 0,006361 | 0,000000000063 |
| 598 | 2018 | 0,006852139 | 0,082778 | 0,061314 | 0,01522  | 0,112708 | 0,0208   | 0,005729 | 0,000000000074 |
| 598 | 2017 | 0,015751053 | 0,125503 | 0,059797 | 0,015869 | 0,124902 | 0,024879 | 0,006911 | 0,000000000075 |
| 598 | 2016 | 0,022483135 | 0,149944 | 0,053707 | 0,017057 | 0,137526 | 0,022638 | 0,006519 | 0,000000000094 |
| 598 | 2015 | 0,011311903 | 0,106357 | 0,05361  | 0,021911 | 0,157626 | 0,022808 | 0,003574 | 0,000000000103 |
| 598 | 2014 | 0,007667372 | 0,087564 | 0,0689   | 0,026223 | 0,17606  | 0,027097 | 0,003266 | 0,000000000126 |
| 598 | 2013 | 0,001432059 | 0,037843 | 0,094787 | 0,038298 | 0,264898 | 0,031738 | 0,005046 | 0,000000000131 |
| 599 | 2019 | 0,009596382 | 0,097961 | 0,117553 | 0,016547 | 0,23985  | 0,019836 | 0,047331 | 0,000000000093 |
| 599 | 2018 | 0,011066264 | 0,105196 | 0,123481 | 0,01467  | 0,208849 | 0,014904 | 0,050936 | 0,000000000107 |
| 599 | 2017 | 0,015526512 | 0,124605 | 0,081172 | 0,015458 | 0,224859 | 0,016944 | 0,056108 | 0,000000000128 |
| 599 | 2016 | 0,018673811 | 0,136652 | 0,080112 | 0,020924 | 0,222156 | 0,017912 | 0,057157 | 0,000000000152 |
| 599 | 2015 | 0,014950546 | 0,122272 | 0,074242 | 0,023405 | 0,209696 | 0,016696 | 0,050454 | 0,000000000162 |
| 599 | 2014 | 0,011077144 | 0,105248 | 0,083358 | 0,028083 | 0,207307 | 0,017162 | 0,04929  | 0,000000000143 |
| 599 | 2013 | 0,013020116 | 0,114106 | 0,106933 | 0,025798 | 0,220876 | 0,017897 | 0,066181 | 0,000000000146 |
| 601 | 2019 | 0,055925328 | 0,236485 | 0,007094 | 0,000555 | 0,319131 | 0,02084  | 0,000642 | 0,000000000100 |
| 601 | 2018 | 0,067262139 | 0,259349 | 0,00842  | 0,000599 | 0,344434 | 0,01887  | 0,000865 | 0,000000000101 |
| 601 | 2016 | 0,078348245 | 0,279908 | 0,009288 | 0        | 0,370946 | 0,020432 | 0,000995 | 0,000000000119 |
| 601 | 2015 | 0,080947845 | 0,284513 | 0,010032 | 0,001179 | 0,358408 | 0,021452 | 0,000992 | 0,000000000136 |
| 601 | 2014 | 0,095375304 | 0,308829 | 0,010635 | 0        | 0,387136 | 0,022173 | 0,000917 | 0,000000000144 |
| 606 | 2019 | 0,010680428 | 0,103346 | 0,167697 | 0,002401 | 0,285765 | 0,049964 | 0,028777 | 0,000000000090 |
| 606 | 2018 | 0,012164996 | 0,110295 | 0,155539 | 0,001881 | 0,239407 | 0,042686 | 0,029653 | 0,000000000109 |
| 606 | 2017 | 0,006983009 | 0,083564 | 0,162502 | 0,004559 | 0,164851 | 0,042642 | 0,025172 | 0,000000000115 |
| 606 | 2016 | 0,001674761 | 0,040924 | 0,207554 | 0,005646 | 0,173792 | 0,039602 | 0,020322 | 0,000000000120 |
| 608 | 2016 | 0,005403302 | 0,073507 | 0,228387 | 0,012415 | 0,136604 | 0,04272  | 0,003219 | 0,000000000206 |
| 608 | 2015 | 0,00405198  | 0,063655 | 0,20466  | 0,018005 | 0,140798 | 0,062605 | 0,010927 | 0,000000000181 |
| 608 | 2014 | 0,000857774 | 0,029288 | 0,179303 | 0        | 0,161605 | 0,052232 | 0,013208 | 0,000000000142 |
| 615 | 2019 | 0,015280584 | 0,123615 | 0,010319 | 0,003138 | 0,171207 | 0,021859 | 0,024849 | 0,000000000089 |
| 615 | 2018 | 0,016051845 | 0,126696 | 0,012066 | 0,003724 | 0,141039 | 0,014895 | 0,024019 | 0,000000000099 |
| 615 | 2017 | 0,021231718 | 0,145711 | 0,010104 | 0,002311 | 0,136405 | 0,018081 | 0,026058 | 0,000000000099 |
| 615 | 2016 | 0,019916677 | 0,141126 | 0,007534 | 0,001618 | 0,140723 | 0,018342 | 0,025292 | 0,000000000125 |
| 615 | 2015 | 0,019666334 | 0,140237 | 0,007897 | 0,001648 | 0,154129 | 0,01768  | 0,02676  | 0,000000000131 |
| 615 | 2014 | 0,01920045  | 0,138566 | 0,009248 | 0,012304 | 0,153714 | 0,014554 | 0,026788 | 0,000000000139 |
| 621 | 2019 | 0,004362017 | 0,066046 | 0,118683 | 0,00976  | 0,246382 | 0,023971 | 0,00579  | 0,000000000061 |
| 621 | 2018 | 0,003194736 | 0,056522 | 0,13439  | 0,002563 | 0,231576 | 0,017809 | 0,003729 | 0,000000000058 |
| 625 | 2015 | 0,002693014 | 0,051894 | 0,004264 | 0,004873 | 0,494335 | 0,08978  | 0,01608  | 0,000000000137 |
| 625 | 2014 | 0,006704343 | 0,08188  | 0,008826 | 0,003828 | 0,51712  | 0,079753 | 0,0151   | 0,000000000109 |
| 626 | 2019 | 0,003661878 | 0,060513 | 0,005145 | 0        | 0,501105 | 0,022089 | 0,000576 | 0,000000000249 |
| 628 | 2019 | 0,002939072 | 0,054213 | 0,051509 | 0,004515 | 0,380971 | 0,03007  | 0,004137 | 0,000000000059 |
| 628 | 2018 | 0,009219815 | 0,09602  | 0,045819 | 0,004023 | 0,396251 | 0,029544 | 0,004555 | 0,000000000054 |
| 628 | 2017 | 0,030034923 | 0,173306 | 0,058365 | 0,004901 | 0,39724  | 0,034853 | 0,005427 | 0,000000000056 |
| 628 | 2016 | 0,032666394 | 0,180738 | 0,07589  | 0,00509  | 0,393913 | 0,042059 | 0,004517 | 0,000000000072 |
| 628 | 2015 | 0,021131776 | 0,145368 | 0,003106 | 0,000248 | 0,357547 | 0,042403 | 0,004753 | 0,000000000106 |
| 628 | 2014 | 0,001099421 | 0,033158 | 0,001924 | 0,000146 | 0,375634 | 0,04613  | 0,003768 | 0,000000000106 |
| 628 | 2013 | 0,002174679 | 0,046633 | 0,00197  | 0,00019  | 0,400535 | 0,047059 | 0,003026 | 0,000000000100 |

Continua...

...continuação

|     |      |             |          |          |          |          |          |          |                |
|-----|------|-------------|----------|----------|----------|----------|----------|----------|----------------|
| 630 | 2019 | 0,017546434 | 0,132463 | 0,008597 | 0,000447 | 0,172414 | 0,015423 | 0,004761 | 0,000000000111 |
| 630 | 2018 | 0,015071076 | 0,122764 | 0,007038 | 0,000367 | 0,177899 | 0,014175 | 0,00422  | 0,000000000111 |
| 630 | 2017 | 0,022865583 | 0,151214 | 0,00838  | 0,00056  | 0,188243 | 0,016472 | 0,004618 | 0,000000000107 |
| 630 | 2016 | 0,024511721 | 0,156562 | 0,009574 | 0,000645 | 0,171149 | 0,016668 | 0,003992 | 0,000000000120 |
| 630 | 2015 | 0,027237624 | 0,165038 | 0,010919 | 0,001269 | 0,216254 | 0,017822 | 0,004354 | 0,000000000139 |
| 630 | 2014 | 0,025044777 | 0,158255 | 0,01658  | 0,001729 | 0,236791 | 0,020456 | 0,004827 | 0,000000000145 |
| 630 | 2013 | 0,020959111 | 0,144773 | 0,021324 | 0,001838 | 0,231769 | 0,023227 | 0,004578 | 0,000000000150 |
| 633 | 2019 | 0,00111615  | 0,033409 | 0,144253 | 0,012033 | 0,24094  | 0,022933 | 0,00906  | 0,000000000145 |
| 633 | 2014 | 0,002840385 | 0,053295 | 0,108684 | 0,007423 | 0,207661 | 0,032453 | 0,009422 | 0,000000000099 |
| 634 | 2019 | 0,000397368 | 0,019934 | 0,008355 | 0,002333 | 0,346293 | 0,033669 | 0,005715 | 0,000000000057 |
| 634 | 2016 | 0,001050123 | 0,032406 | 0,008209 | 0,002148 | 0,361263 | 0,030107 | 0,006151 | 0,000000000060 |
| 634 | 2015 | 0,001501648 | 0,038751 | 0,009373 | 0,002527 | 0,368822 | 0,032044 | 0,006177 | 0,000000000061 |
| 634 | 2014 | 0,001294836 | 0,035984 | 0,005851 | 0,001423 | 0,327957 | 0,027053 | 0,005272 | 0,000000000063 |
| 639 | 2019 | 0,000492716 | 0,022197 | 0,039774 | 0,002051 | 0,304176 | 0,021175 | 0,00149  | 0,000000000042 |
| 642 | 2016 | 0,000254857 | 0,015964 | 0,000323 | 0        | 0,807458 | 0,066649 | 0,006477 | 0,000000000341 |
| 642 | 2015 | 0,001967457 | 0,044356 | 0,000587 | 0        | 0,731581 | 0,05826  | 0,00467  | 0,000000000361 |
| 642 | 2014 | 0,00023223  | -0,01524 | 0,00096  | 0        | 0,727438 | 0,057405 | 0,006475 | 0,000000000357 |
| 642 | 2013 | 5,76662E-05 | 0,007594 | 0,00097  | 0        | 0,802301 | 0,052435 | 0,011112 | 0,000000000258 |
| 644 | 2019 | 0,001751299 | 0,041849 | 0,043012 | 0,004759 | 0,383425 | 0,04271  | 0,001877 | 0,000000000120 |
| 644 | 2018 | 0,012807551 | 0,11317  | 0,047007 | 0,004308 | 0,367301 | 0,030932 | 0,002311 | 0,000000000126 |
| 651 | 2019 | 0,010124976 | 0,100623 | 0,027243 | 0        | 0,69567  | 0,026489 | 0,000174 | 0,000000000110 |
| 651 | 2018 | 0,018212504 | 0,134954 | 0,022987 | 0        | 0,667626 | 0,025116 | 0,000534 | 0,000000000108 |
| 651 | 2017 | 0,012526141 | 0,11192  | 0,021461 | 0        | 0,627917 | 0,024044 | 0,000785 | 0,000000000118 |
| 651 | 2016 | 0,008817736 | 0,093903 | 0,018126 | 0,00021  | 0,617385 | 0,026091 | 0,002338 | 0,000000000115 |
| 651 | 2014 | 0,00637757  | 0,07986  | 0,021295 | 0        | 0,621349 | 0,018204 | 0,002497 | 0,000000000121 |
| 651 | 2013 | 0,015533375 | 0,124633 | 0,014985 | 0        | 0,893859 | 0,023612 | 0,001372 | 0,000000000118 |
| 654 | 2019 | 0,006984088 | 0,083571 | 0,007467 | 0,000447 | 0,827095 | 0,042212 | 3,68E-05 | 0,000000000030 |
| 654 | 2018 | 0,007520891 | 0,086723 | 0,008343 | 5,24E-05 | 0,903768 | 0,044552 | 5,49E-05 | 0,000000000028 |
| 654 | 2017 | 0,007309286 | 0,085494 | 0,007144 | 9,13E-05 | 0,960307 | 0,043548 | 6,64E-06 | 0,000000000032 |
| 654 | 2015 | 0,005058938 | 0,071126 | 0,006573 | 0        | 0,934361 | 0,035839 | 3,16E-05 | 0,000000000038 |
| 656 | 2018 | 0,003799999 | 0,061644 | 0,003051 | 0,000606 | 0,440512 | 0,018879 | 0,000215 | 0,000000000059 |
| 656 | 2017 | 0,003521876 | 0,059345 | 0,003551 | 0,000619 | 0,450198 | 0,018522 | 0,000378 | 0,000000000060 |
| 656 | 2015 | 0,003588512 | 0,059904 | 0,004095 | 0,000882 | 0,413076 | 0,018051 | 0,00045  | 0,000000000067 |
| 656 | 2014 | 0,004255791 | 0,065236 | 0,004626 | 0,000667 | 0,450586 | 0,01754  | 0,000371 | 0,000000000068 |
| 666 | 2018 | 0,000960747 | 0,030996 | 0,022554 | 0,001505 | 0,219926 | 0,015265 | 0,001879 | 0,000000000065 |
| 666 | 2017 | 0,002002595 | 0,04475  | 0,020987 | 0,00091  | 0,257517 | 0,019446 | 0,001634 | 0,000000000065 |
| 669 | 2019 | 0,000208612 | 0,014443 | 0,000959 | 0,000195 | 0,257217 | 0,024612 | 0,009073 | 0,000000000126 |
| 669 | 2018 | 0,000468532 | 0,021646 | 0,001424 | 0,000126 | 0,294187 | 0,026461 | 0,008468 | 0,000000000126 |
| 669 | 2017 | 0,001365259 | 0,036949 | 0,001436 | 0,000121 | 0,310273 | 0,024114 | 0,008524 | 0,000000000115 |
| 669 | 2016 | 5,52111E-09 | 7,43E-05 | 4,13E-06 | 3,97E-07 | 0,000585 | 4,84E-05 | 1,71E-05 | 0,000000000125 |
| 669 | 2015 | 5,20811E-09 | 7,22E-05 | 4,53E-06 | 3,22E-07 | 0,000587 | 3,74E-05 | 1,65E-05 | 0,000000000000 |
| 669 | 2014 | 0,001183751 | 0,034406 | 0,001228 | 9,36E-05 | 0,323268 | 0,019541 | 0,008744 | 0,000000000125 |
| 669 | 2013 | 0,001134886 | 0,033688 | 0,001624 | 0,000105 | 0,382995 | 0,022214 | 0,011936 | 0,000000000153 |
| 673 | 2019 | 0,005885685 | 0,076718 | 0,38175  | 0,014031 | 0,125754 | 0,012482 | 0,003426 | 0,000000000059 |
| 673 | 2018 | 0,005344004 | 0,073103 | 0,419761 | 0,015013 | 0,119478 | 0,01287  | 0,003499 | 0,000000000060 |
| 673 | 2017 | 0,006741217 | 0,082105 | 0,382439 | 0,013367 | 0,111768 | 0,013335 | 0,00362  | 0,000000000065 |
| 673 | 2016 | 0,006333872 | 0,079586 | 0,388941 | 0,01311  | 0,102296 | 0,013389 | 0,003674 | 0,000000000064 |

Continua...

...continuação

|     |      |             |          |          |          |          |          |          |                 |
|-----|------|-------------|----------|----------|----------|----------|----------|----------|-----------------|
| 678 | 2019 | 0,014117851 | 0,118819 | 0,145818 | 0        | 0,516121 | 0,096551 | 0,006342 | 0,000000000046  |
| 678 | 2018 | 0,009867138 | 0,099333 | 0,156854 | 0        | 0,407956 | 0,094829 | 0,00227  | 0,000000000049  |
| 678 | 2017 | 0,006052143 | 0,077796 | 0,173458 | 0,000773 | 0,410983 | 0,08914  | 0,002731 | 0,000000000050  |
| 678 | 2016 | 0,002474819 | 0,049748 | 0,186469 | 0        | 0,436815 | 0,108109 | 0,003707 | 0,000000000052  |
| 678 | 2015 | 0,002614914 | 0,051136 | 0,170872 | 0        | 0,44683  | 0,120099 | 0,008098 | 0,000000000050  |
| 685 | 2018 | 0,001568611 | 0,039606 | 0,285059 | 0,003778 | 0,522166 | 0,028378 | 0,001986 | 0,000000000011  |
| 685 | 2017 | 0,015744671 | 0,125478 | 0,039479 | 0,002414 | 0,594699 | 0,057131 | 0,004677 | 0,000000000049  |
| 685 | 2016 | 0,015239798 | 0,12345  | 0,030969 | 0,002709 | 0,609652 | 0,056891 | 0,004887 | 0,000000000052  |
| 686 | 2019 | 0,009984001 | 0,09992  | 0,019759 | 0,001564 | 0,559562 | 0,052164 | 0,003804 | 0,000000000040  |
| 686 | 2018 | 0,012949358 | 0,113795 | 0,022009 | 0,001737 | 0,542356 | 0,056808 | 0,003825 | 0,000000000053  |
| 686 | 2017 | 0,01091384  | 0,104469 | 0,023296 | 0,001594 | 0,527218 | 0,051571 | 0,003427 | 0,000000000052  |
| 686 | 2016 | 0,009083164 | 0,095306 | 0,020168 | 0,001238 | 0,462192 | 0,047412 | 0,003154 | 0,000000000054  |
| 686 | 2015 | 0,008285619 | 0,091025 | 0,021858 | 0,001854 | 0,465422 | 0,052173 | 0,004035 | 0,000000000055  |
| 686 | 2014 | 0,006360191 | 0,079751 | 0,028867 | 0,002044 | 0,496638 | 0,053179 | 0,004339 | 0,000000000057  |
| 686 | 2013 | 0,008611893 | 0,0928   | 0,034567 | 0,002363 | 0,535072 | 0,053714 | 0,007847 | 0,000000000056  |
| 686 | 2012 | 0,008651508 | 0,093013 | 0,040185 | 0,00237  | 0,502742 | 0,048442 | 0,00749  | 0,000000000056  |
| 693 | 2019 | 0,019629998 | 0,140107 | 0,030975 | 0,005113 | 0,390123 | 0,053614 | 0,038349 | 0,000000000066  |
| 693 | 2017 | 0,022074402 | 0,148575 | 0,011991 | 0        | 0,282015 | 0,040003 | 0,040402 | 0,000000000077  |
| 693 | 2016 | 0,020721743 | 0,14395  | 0,011055 | 0        | 0,279087 | 0,039858 | 0,041067 | 0,000000000084  |
| 693 | 2015 | 0,019081589 | 0,138136 | 0,012378 | 0,003229 | 0,266403 | 0,05922  | 0,041536 | 0,000000000092  |
| 695 | 2018 | 0,000381789 | -0,01954 | 0,010396 | 0,003124 | 0,401137 | 0,038813 | 0,006505 | 0,0000000000138 |
| 695 | 2017 | 0,001994584 | -0,04466 | 0,012473 | 0,006401 | 0,428699 | 0,042766 | 0,006596 | 0,0000000000118 |
| 695 | 2016 | 0,004668515 | -0,06833 | 0,016058 | 0,006335 | 0,47616  | 0,036589 | 0,007767 | 0,0000000000116 |
| 695 | 2015 | 0,00217421  | -0,04663 | 0,017731 | 0        | 0,395058 | 0,036909 | 0,009763 | 0,0000000000129 |
| 695 | 2014 | 0,003267478 | 0,057162 | 0,017303 | 0,011926 | 0,389764 | 0,035321 | 0,009985 | 0,0000000000096 |
| 696 | 2014 | 0,015520161 | 0,12458  | 0,009411 | 0        | 0,651775 | 0,048086 | 0,013291 | 0,0000000000078 |
| 696 | 2013 | 0,032573759 | 0,180482 | 0,010735 | 0,000944 | 0,599277 | 0,040841 | 0,022188 | 0,0000000000081 |
| 697 | 2019 | 1,31838E-06 | -0,00115 | 0,049083 | 0,002878 | 0,439686 | 0,028243 | 0,005781 | 0,0000000000028 |
| 697 | 2018 | 0,003749353 | 0,061232 | 0,005988 | 0,000378 | 0,338747 | 0,021282 | 0,005308 | 0,0000000000038 |
| 697 | 2016 | 0,002885474 | 0,053717 | 0,00576  | 0,000434 | 0,405985 | 0,027299 | 0,005215 | 0,0000000000043 |
| 699 | 2017 | 0,005175388 | 0,07194  | 0,082435 | 0,003925 | 0,239459 | 0,03655  | 0,057442 | 0,0000000000036 |
| 699 | 2016 | 0,00133307  | 0,036511 | 0,083825 | 0,002888 | 0,231953 | 0,036221 | 0,055839 | 0,0000000000040 |
| 699 | 2015 | 0,003616186 | 0,060135 | 0,038256 | 0,00323  | 0,234828 | 0,041041 | 0,055908 | 0,0000000000041 |
| 699 | 2014 | 0,001705498 | 0,041298 | 0,035298 | 0,013304 | 0,225202 | 0,036241 | 0,047033 | 0,0000000000042 |
| 699 | 2013 | 0,001280562 | 0,035785 | 0,038519 | 0,010402 | 0,256508 | 0,038928 | 0,049172 | 0,0000000000037 |
| 703 | 2019 | 0,003098479 | 0,055664 | 0,018792 | 0,003361 | 0,443896 | 0,030392 | 0,003766 | 0,0000000000045 |
| 703 | 2015 | 0,000803418 | 0,028345 | 0,028434 | 0        | 0,472286 | 0,028796 | 0,002571 | 0,0000000000048 |
| 703 | 2013 | 0,000927667 | 0,030458 | 0,036068 | 0        | 0,470559 | 0,025746 | 0,002123 | 0,0000000000043 |
| 707 | 2018 | 0,000531455 | 0,023053 | 0,028264 | 0,000231 | 0,302988 | 0,041395 | 0,012146 | 0,0000000000103 |
| 707 | 2016 | 0,000991303 | 0,031485 | 0,034614 | 0,002504 | 0,292243 | 0,039676 | 0,011571 | 0,0000000000099 |
| 714 | 2019 | 0,000806014 | 0,02839  | 0,037901 | 0,004208 | 0,589384 | 0,052872 | 0,007691 | 0,0000000000035 |
| 714 | 2018 | 0,006663694 | 0,081631 | 0,036336 | 0,003083 | 0,502974 | 0,050277 | 0,00677  | 0,0000000000038 |
| 714 | 2017 | 0,018077614 | 0,134453 | 0,041209 | 0,004416 | 0,514748 | 0,059603 | 0,006733 | 0,0000000000043 |
| 714 | 2016 | 0,010007675 | 0,100038 | 0,029123 | 0,00281  | 0,486156 | 0,066343 | 0,006327 | 0,0000000000057 |
| 714 | 2015 | 0,009230918 | 0,096078 | 0,018877 | 0,002115 | 0,467183 | 0,062834 | 0,004473 | 0,0000000000064 |

Continua...

...continuação

|     |      |             |          |          |          |          |          |          |                |
|-----|------|-------------|----------|----------|----------|----------|----------|----------|----------------|
| 715 | 2019 | 0,001125925 | 0,033555 | 0,044483 | 0,002153 | 0,620839 | 0,04037  | 0,001698 | 0,000000000031 |
| 715 | 2018 | 0,001068673 | 0,032691 | 0,045769 | 0        | 0,639677 | 0,046098 | 0,00156  | 0,000000000028 |
| 715 | 2017 | 0,000789224 | 0,028093 | 0,049228 | 0,000177 | 0,670961 | 0,000383 | 0,001503 | 0,000000000029 |
| 715 | 2016 | 0,000559049 | 0,023644 | 0,05722  | 0,000181 | 0,616853 | 0,000438 | 0,001105 | 0,000000000029 |
| 715 | 2015 | 0,00049141  | 0,022168 | 0,055449 | 0        | 0,581913 | 0,028861 | 0,001119 | 0,000000000028 |
| 715 | 2014 | 0,000555673 | 0,023573 | 0,049134 | 0        | 0,55049  | 0,024903 | 0,001178 | 0,000000000024 |
| 715 | 2013 | 0,001197783 | 0,034609 | 0,048263 | 0        | 0,522264 | 0,025702 | 0,00112  | 0,000000000024 |
| 723 | 2019 | 0,002374646 | 0,04873  | 0,029532 | 0,004061 | 0,377511 | 0,039851 | 0,02449  | 0,000000000041 |
| 723 | 2018 | 0,002697488 | 0,051937 | 0,031403 | 0,004307 | 0,365982 | 0,037767 | 0,023946 | 0,000000000039 |
| 723 | 2017 | 0,00434427  | 0,065911 | 0,012006 | 0,003628 | 0,390515 | 0,039211 | 0,027426 | 0,000000000042 |
| 723 | 2016 | 0,003952696 | 0,06287  | 0,013489 | 0,003538 | 0,377255 | 0,037159 | 0,02471  | 0,000000000048 |
| 725 | 2019 | 0,003050758 | 0,055234 | 0,060904 | 0,006335 | 0,334284 | 0,031958 | 0,020222 | 0,000000000041 |
| 725 | 2018 | 0,00619985  | 0,078739 | 0,066707 | 0,00631  | 0,326556 | 0,033401 | 0,021032 | 0,000000000044 |
| 725 | 2017 | 0,006788626 | 0,082393 | 0,077369 | 0,002296 | 0,343481 | 0,048168 | 0,025173 | 0,000000000040 |
| 725 | 2016 | 0,006254565 | 0,079086 | 0,025702 | 0,002247 | 0,323467 | 0,035584 | 0,023453 | 0,000000000048 |
| 725 | 2015 | 0,009100701 | 0,095398 | 0,02427  | 0,002363 | 0,34891  | 0,040056 | 0,026072 | 0,000000000054 |
| 725 | 2014 | 0,003985862 | 0,063134 | 0,024752 | 0,003218 | 0,336448 | 0,030993 | 0,025241 | 0,000000000057 |
| 725 | 2013 | 0,007674406 | 0,087604 | 0,025546 | 0,005221 | 0,300445 | 0,031891 | 0,024549 | 0,000000000045 |
| 726 | 2019 | 0,002656231 | 0,051539 | 0,0522   | 0,007641 | 0,070312 | 0,007608 | 0,001588 | 0,000000000016 |
| 726 | 2018 | 0,002834833 | 0,053243 | 0,061456 | 0,00808  | 0,042448 | 0,005281 | 0,001183 | 0,000000000017 |
| 726 | 2017 | 0,002654351 | 0,05152  | 0,067606 | 0,00829  | 0,04061  | 0,004994 | 0,00206  | 0,000000000017 |
| 726 | 2016 | 0,003821893 | 0,061821 | 0,062366 | 0,009972 | 0,039002 | 0,005513 | 0,005803 | 0,000000000016 |
| 726 | 2015 | 0,004607458 | 0,067878 | 0,054712 | 0,010939 | 0,041256 | 0,005089 | 0,007099 | 0,000000000018 |
| 726 | 2014 | 0,004004115 | 0,063278 | 0,065153 | 0,013462 | 0,03872  | 0,005794 | 0,007422 | 0,000000000019 |
| 726 | 2013 | 0,002771796 | 0,052648 | 0,094109 | 0,010008 | 0,042427 | 0,003594 | 0,008829 | 0,000000000019 |
| 728 | 2019 | 0,004448149 | 0,066694 | 0,051011 | 0,005789 | 0,334711 | 0,039806 | 0,018261 | 0,000000000080 |
| 728 | 2018 | 0,004118173 | 0,064173 | 0,046406 | 0,005082 | 0,297083 | 0,037131 | 0,017686 | 0,000000000079 |
| 728 | 2017 | 0,004845368 | 0,069609 | 0,050226 | 0,005672 | 0,312575 | 0,038199 | 0,019371 | 0,000000000077 |
| 728 | 2016 | 0,00405336  | 0,063666 | 0,046537 | 0,004992 | 0,303027 | 0,035369 | 0,019203 | 0,000000000085 |
| 728 | 2015 | 0,007356166 | 0,085768 | 0,030188 | 0,005891 | 0,305868 | 0,042294 | 0,019805 | 0,000000000086 |
| 728 | 2014 | 0,003419849 | 0,058479 | 0,038657 | 0,001732 | 0,300774 | 0,034133 | 0,025291 | 0,000000000095 |
| 728 | 2013 | 0,003185661 | 0,056442 | 0,029774 | 0,002027 | 0,324286 | 0,041905 | 0,028842 | 0,000000000093 |
| 729 | 2016 | 0,003939529 | 0,062766 | 0,250121 | 0,01131  | 0,26087  | 0,025072 | 0,024243 | 0,000000000073 |
| 729 | 2015 | 0,000938041 | 0,030627 | 0,110356 | 0,009879 | 0,25693  | 0,043169 | 0,0269   | 0,000000000077 |
| 729 | 2014 | 0,002213259 | 0,047045 | 0,086477 | 0,010435 | 0,294374 | 0,041214 | 0,024364 | 0,000000000073 |
| 733 | 2018 | 0,0043542   | 0,065986 | 0,222274 | 0,010807 | 0,21199  | 0,022884 | 0,003799 | 0,000000000036 |
| 733 | 2017 | 0,004499053 | 0,067075 | 0,28531  | 0,011049 | 0,255801 | 0,027471 | 0,004156 | 0,000000000032 |
| 733 | 2016 | 0,00486967  | 0,069783 | 0,12401  | 0,007814 | 0,280692 | 0,027999 | 0,004696 | 0,000000000055 |
| 733 | 2015 | 0,004180583 | 0,064657 | 0,049943 | 0,0056   | 0,262997 | 0,032165 | 0,005274 | 0,000000000061 |
| 740 | 2019 | 0,009374108 | 0,09682  | 0,524118 | 0,002318 | 0,063015 | 0,012533 | 0,007568 | 0,000000000024 |
| 740 | 2018 | 0,006962416 | 0,083441 | 0,768846 | 0,002006 | 0,054899 | 0,009002 | 0,005663 | 0,000000000021 |
| 740 | 2017 | 0,012554461 | 0,112047 | 0,653884 | 0,002637 | 0,063767 | 0,008402 | 0,006798 | 0,000000000019 |
| 740 | 2016 | 0,021320104 | 0,146014 | 0,52811  | 0,001851 | 0,048634 | 0,010263 | 0,008253 | 0,000000000044 |
| 740 | 2015 | 0,02369973  | 0,153947 | 0,517505 | 0,001454 | 0,04714  | 0,010814 | 0,009041 | 0,000000000045 |
| 740 | 2014 | 0,019489125 | 0,139603 | 0,510751 | 0,00175  | 0,048366 | 0,010064 | 0,009328 | 0,000000000042 |
| 744 | 2014 | 0,002527429 | 0,050274 | 0,033286 | 0,000672 | 0,398404 | 0,018691 | 0,002053 | 0,000000000069 |
| 744 | 2013 | 0,006413859 | 0,080087 | 0,022814 | 0,00103  | 0,340458 | 0,022631 | 0,00244  | 0,000000000062 |
| 746 | 2019 | 0,004429017 | 0,066551 | 0,088758 | 0,008399 | 0,245416 | 0,036182 | 0,023368 | 0,000000000038 |
| 746 | 2018 | 0,00719032  | 0,084796 | 0,084995 | 0,00795  | 0,251395 | 0,03449  | 0,025458 | 0,000000000043 |
| 746 | 2017 | 0,008310055 | 0,09116  | 0,074359 | 0,008053 | 0,258148 | 0,042574 | 0,028476 | 0,000000000047 |

Continua...

...continuação

|     |      |             |          |          |          |          |          |          |                |
|-----|------|-------------|----------|----------|----------|----------|----------|----------|----------------|
| 751 | 2019 | 0,0020258   | 0,045009 | 0,033248 | 0,000239 | 0,675958 | 0,051209 | 0,000155 | 0,000000000017 |
| 751 | 2018 | 0,001132037 | 0,033646 | 0,03345  | 0,000774 | 0,659841 | 0,048508 | 0,000112 | 0,000000000017 |
| 751 | 2017 | 0,001336023 | 0,036552 | 0,040798 | 0,000967 | 0,810643 | 0,060904 | 0,000132 | 0,000000000017 |
| 759 | 2019 | 0,003378492 | 0,058125 | 0,014746 | 0,001902 | 0,697569 | 0,041485 | 0,007158 | 0,000000000060 |
| 759 | 2018 | 0,009760105 | 0,098793 | 0,022059 | 0        | 0,448351 | 0,037688 | 0,008193 | 0,000000000068 |
| 759 | 2017 | 0,007644838 | 0,087435 | 0,020884 | 0        | 0,498959 | 0,044802 | 0,007366 | 0,000000000069 |
| 759 | 2016 | 0,003967039 | 0,062984 | 0,015029 | 0        | 0,472577 | 0,039882 | 0,006198 | 0,000000000075 |
| 759 | 2015 | 0,004258161 | 0,065255 | 0,013448 | 0        | 0,478865 | 0,040763 | 0,005043 | 0,000000000072 |
| 759 | 2014 | 0,002838667 | 0,053279 | 0,013985 | 0        | 0,460739 | 0,038987 | 0,004864 | 0,000000000069 |
| 759 | 2013 | 0,004911746 | 0,070084 | 0,005973 | 0        | 0,491224 | 0,036538 | 0,005017 | 0,000000000058 |
| 762 | 2019 | 0,00311664  | 0,055827 | 0,122912 | 0,008353 | 0,275366 | 0,03201  | 0,011165 | 0,000000000043 |
| 762 | 2018 | 0,003035475 | 0,055095 | 0,128256 | 0,014665 | 0,244499 | 0,026308 | 0,013314 | 0,000000000040 |
| 762 | 2016 | 0,001476167 | 0,038421 | 0,141717 | 0,009134 | 0,254775 | 0,031436 | 0,009212 | 0,000000000039 |
| 762 | 2015 | 0,001721671 | 0,041493 | 0,177523 | 0,005011 | 0,31464  | 0,039948 | 0,012276 | 0,000000000036 |
| 762 | 2014 | 0,002937651 | 0,0542   | 0,082476 | 0,005442 | 0,287891 | 0,023498 | 0,013203 | 0,000000000050 |
| 769 | 2018 | 0,002590571 | 0,050898 | 0,000865 | 0,001025 | 0,153887 | 0,01381  | 0,002286 | 0,000000000061 |
| 769 | 2017 | 0,002348121 | 0,048457 | 0,000953 | 0,001226 | 0,152617 | 0,017749 | 0,002139 | 0,000000000061 |
| 769 | 2016 | 0,000888445 | 0,029807 | 0,000835 | 0,00139  | 0,167997 | 0,019371 | 0,001805 | 0,000000000070 |
| 769 | 2015 | 0,000594806 | 0,024389 | 0,001363 | 0,001442 | 0,189192 | 0,017756 | 0,001982 | 0,000000000079 |
| 769 | 2014 | 0,000165394 | 0,012861 | 0,001403 | 0,001259 | 0,195957 | 0,017489 | 0,002142 | 0,000000000074 |
| 769 | 2013 | 0,000127855 | 0,011307 | 0,001575 | 0,001506 | 0,201088 | 0,020177 | 0,002203 | 0,000000000074 |
| 774 | 2019 | 0,0003668   | 0,019152 | 0,002554 | 0,000306 | 0,61584  | 0,052832 | 0,003297 | 0,000000000045 |
| 774 | 2018 | 0,002414848 | 0,049141 | 0,002708 | 0,000407 | 0,583526 | 0,04956  | 0,00319  | 0,000000000046 |
| 774 | 2017 | 0,001392414 | 0,037315 | 0,002902 | 0,000527 | 0,619613 | 0,052449 | 0,003099 | 0,000000000044 |
| 774 | 2016 | 0,001326174 | 0,036417 | 0,003564 | 0,000421 | 0,616953 | 0,054426 | 0,003116 | 0,000000000045 |
| 774 | 2015 | 0,000133717 | 0,011564 | 0,003426 | 0,000489 | 0,639324 | 0,050508 | 0,002793 | 0,000000000048 |
| 774 | 2014 | 0,001816112 | 0,042616 | 0,003571 | 0,000402 | 0,657683 | 0,051378 | 0,002886 | 0,000000000046 |
| 774 | 2013 | 0,001368644 | 0,036995 | 0,004039 | 0,00043  | 0,697238 | 0,045961 | 0,002792 | 0,000000000045 |
| 776 | 2014 | 0,001537175 | 0,039207 | 0,042951 | 0,005045 | 0,354522 | 0,036087 | 0,031288 | 0,000000000028 |
| 776 | 2013 | 0,000986899 | 0,031415 | 0,033113 | 0,004227 | 0,317975 | 0,037815 | 0,038184 | 0,000000000029 |
| 784 | 2019 | 0,00036284  | 0,019048 | 0,030898 | 0        | 0,463523 | 0,049928 | 0,003902 | 0,000000000057 |
| 784 | 2018 | 0,002439889 | 0,049395 | 0,028257 | 0,003326 | 0,432479 | 0,040115 | 0,003454 | 0,000000000053 |
| 784 | 2017 | 0,002172061 | 0,046605 | 0,036141 | 0        | 0,484267 | 0,043169 | 0,00332  | 0,000000000048 |
| 784 | 2015 | 0,004200847 | 0,064814 | 0,017497 | 0,001312 | 0,375117 | 0,037383 | 0,002419 | 0,000000000070 |
| 784 | 2014 | 0,001643506 | 0,04054  | 0,020963 | 0        | 0,421665 | 0,035293 | 0,002096 | 0,000000000061 |
| 784 | 2013 | 0,00050078  | 0,022378 | 0,022885 | 0        | 0,46221  | 0,038105 | 0,001889 | 0,000000000053 |
| 789 | 2019 | 0,001127365 | 0,033576 | 0,026608 | 0,0032   | 0,4388   | 0,022529 | 0,006018 | 0,000000000030 |
| 789 | 2018 | 0,003433546 | 0,058596 | 0,052732 | 0,002599 | 0,38128  | 0,023605 | 0,006508 | 0,000000000031 |
| 789 | 2017 | 0,009918323 | 0,099591 | 0,043016 | 0,003362 | 0,420282 | 0,02439  | 0,006049 | 0,000000000031 |
| 789 | 2016 | 0,00954755  | 0,097712 | 0,038478 | 0,003701 | 0,411735 | 0,025646 | 0,004398 | 0,000000000035 |
| 789 | 2013 | 0,001692958 | 0,041146 | 0,039867 | 0,001652 | 0,419375 | 0,017314 | 0,004427 | 0,000000000031 |
| 796 | 2019 | 0,011166761 | 0,105673 | 0,139269 | 0,005222 | 0,122894 | 0,01818  | 0,015854 | 0,000000000028 |
| 796 | 2018 | 0,013644443 | 0,116809 | 0,141699 | 0,005727 | 0,104683 | 0,013407 | 0,015778 | 0,000000000030 |
| 796 | 2017 | 0,016936101 | 0,130139 | 0,14373  | 0,008572 | 0,111968 | 0,015346 | 0,017464 | 0,000000000029 |
| 796 | 2016 | 0,015777274 | 0,125608 | 0,152135 | 0,005394 | 0,11213  | 0,014226 | 0,017866 | 0,000000000034 |
| 796 | 2015 | 0,017493277 | 0,132262 | 0,128629 | 0,00507  | 0,120862 | 0,016133 | 0,021075 | 0,000000000041 |
| 796 | 2014 | 0,016567534 | 0,128715 | 0,122345 | 0,004408 | 0,11967  | 0,014115 | 0,019937 | 0,000000000043 |
| 796 | 2013 | 0,017309337 | 0,131565 | 0,0951   | 0,005221 | 0,118875 | 0,015043 | 0,021444 | 0,000000000038 |

Continua...

...continuação

|     |      |             |          |          |          |          |          |          |                |
|-----|------|-------------|----------|----------|----------|----------|----------|----------|----------------|
| 810 | 2019 | 0,005195137 | 0,072077 | 0,072603 | 0,006783 | 0,24125  | 0,027566 | 0,028444 | 0,000000000045 |
| 810 | 2017 | 0,006330508 | 0,079564 | 0,075381 | 0,007471 | 0,22718  | 0,030047 | 0,024214 | 0,000000000045 |
| 810 | 2016 | 0,006908511 | 0,083117 | 0,083135 | 0,009349 | 0,260178 | 0,032434 | 0,02522  | 0,000000000048 |
| 810 | 2015 | 0,002012454 | 0,04486  | 0,068083 | 0,010317 | 0,25595  | 0,035721 | 0,022025 | 0,000000000047 |
| 810 | 2014 | 0,001291938 | 0,035944 | 0,064917 | 0,015639 | 0,250524 | 0,031184 | 0,017898 | 0,000000000040 |
| 813 | 2019 | 0,004556046 | 0,067498 | 0,160929 | 0,003698 | 0,131819 | 0,017874 | 0,004068 | 0,000000000071 |
| 813 | 2018 | 0,001980914 | 0,044507 | 0,137822 | 0,003181 | 0,097615 | 0,009928 | 0,003239 | 0,000000000047 |
| 813 | 2017 | 0,003125289 | 0,055904 | 0,159431 | 0,004913 | 0,118538 | 0,013412 | 0,012811 | 0,000000000050 |
| 813 | 2016 | 0,003556785 | 0,059639 | 0,170909 | 0,00747  | 0,250387 | 0,029036 | 0,011414 | 0,000000000058 |
| 813 | 2015 | 0,008306706 | 0,091141 | 0,168041 | 0,008574 | 0,237525 | 0,030038 | 0,005518 | 0,000000000055 |
| 813 | 2014 | 0,006292998 | 0,079328 | 0,173385 | 0,007957 | 0,229603 | 0,026917 | 0,006526 | 0,000000000054 |
| 813 | 2013 | 0,006048555 | 0,077772 | 0,171729 | 0,007097 | 0,226012 | 0,031252 | 0,00699  | 0,000000000046 |
| 814 | 2017 | 0,015053903 | 0,122694 | 0,073125 | 0,00104  | 0,447335 | 0,05803  | 0,003899 | 0,000000000026 |
| 814 | 2016 | 0,001142883 | 0,033807 | 0,036304 | 0,004739 | 0,43449  | 0,057377 | 0,005292 | 0,000000000029 |
| 814 | 2015 | 0,000893543 | 0,029892 | 0,07563  | 0,004658 | 0,477114 | 0,059045 | 0,008097 | 0,000000000028 |
| 814 | 2014 | 0,004391045 | 0,066265 | 0,079977 | 0        | 0,544008 | 0,084486 | 0,00665  | 0,000000000026 |
| 814 | 2013 | 0,007685697 | 0,087668 | 0,079071 | 0        | 0,536936 | 0,070666 | 0,00866  | 0,000000000023 |
| 815 | 2019 | 0,147349495 | -0,38386 | 0,016641 | 0,004343 | 0,177027 | 0,032757 | 0,00692  | 0,000000000023 |
| 815 | 2018 | 3,22564E-06 | 0,001796 | 0,029482 | 0,004429 | 0,225026 | 0,027978 | 0,007488 | 0,000000000025 |
| 815 | 2017 | 0,001670805 | 0,040875 | 0,030236 | 0,003269 | 0,22409  | 0,023794 | 0,010088 | 0,000000000026 |
| 815 | 2016 | 0,003146886 | 0,056097 | 0,031162 | 0,004104 | 0,22875  | 0,029693 | 0,008572 | 0,000000000024 |
| 815 | 2015 | 0,001839031 | 0,042884 | 0,024083 | 0,003503 | 0,264764 | 0,029114 | 0,011131 | 0,000000000027 |
| 815 | 2014 | 0,000677015 | 0,02602  | 0,021121 | 0,00347  | 0,23364  | 0,027016 | 0,008834 | 0,000000000026 |
| 815 | 2013 | 0,000726182 | 0,026948 | 0,019912 | 0,003398 | 0,236852 | 0,026506 | 0,008177 | 0,000000000022 |
| 815 | 2012 | 4,42032E-05 | -0,00665 | 0,119363 | 0,003512 | 0,220703 | 0,027731 | 0,007469 | 0,000000000021 |
| 819 | 2015 | 0,005884724 | 0,076712 | 0,022205 | 0,004904 | 0,176535 | 0,038962 | 0,046334 | 0,000000000027 |
| 819 | 2014 | 0,005916975 | 0,076922 | 0,011615 | 0,003879 | 0,169458 | 0,038528 | 0,043086 | 0,000000000029 |
| 822 | 2019 | 0,001104061 | 0,033227 | 0,017919 | 0,000931 | 0,505236 | 0,028544 | 0,004408 | 0,000000000023 |
| 823 | 2016 | 0,00039322  | 0,01983  | 0,018153 | 0,004058 | 0,166658 | 0,008867 | 0        | 0,000000000050 |
| 823 | 2015 | 0,000594546 | 0,024383 | 0,017202 | 0,004016 | 0,252418 | 0,015835 | 0,001692 | 0,000000000045 |
| 823 | 2014 | 0,000846715 | 0,029098 | 0,158066 | 0,002609 | 0,24911  | 0,014417 | 0,000836 | 0,000000000041 |
| 823 | 2013 | 0,000907474 | 0,030124 | 0,029921 | 0,003144 | 0,436328 | 0,021338 | 0,001832 | 0,000000000035 |
| 826 | 2013 | 0,001028015 | 0,032063 | 0,003957 | 0,054999 | 0,576522 | 0,054999 | 0,018939 | 0,000000000040 |
| 831 | 2014 | 0,010593099 | 0,102923 | 0,028611 | 0,00377  | 0,319339 | 0,063917 | 0,021599 | 0,000000000035 |
| 831 | 2013 | 0,004868077 | 0,069772 | 0,03161  | 0,00426  | 0,324909 | 0,056526 | 0,019904 | 0,000000000036 |
| 832 | 2019 | 0,006016175 | 0,077564 | 0,525593 | 0,003299 | 0,038944 | 0,003573 | 0,000889 | 0,000000000006 |
| 832 | 2017 | 0,006312817 | 0,079453 | 0,806559 | 0,004332 | 0,053473 | 0,004389 | 0,000876 | 0,000000000005 |
| 832 | 2016 | 0,01906168  | 0,138064 | 0,028737 | 0,003982 | 0,096167 | 0,009007 | 0,001392 | 0,000000000020 |
| 832 | 2015 | 0,029767031 | 0,172531 | 0,038876 | 0,002153 | 0,105616 | 0,008976 | 0,002098 | 0,000000000023 |
| 832 | 2014 | 0,038755614 | 0,196864 | 0,035182 | 0,004594 | 0,109861 | 0,014326 | 0,002706 | 0,000000000025 |
| 832 | 2013 | 0,045516109 | 0,213345 | 0,035287 | 0,002753 | 0,116491 | 0,01183  | 0,003359 | 0,000000000022 |
| 840 | 2019 | 0,000495228 | 0,022254 | 0,015753 | 0,005298 | 0,177498 | 0,023527 | 0,014706 | 0,000000000022 |
| 840 | 2018 | 0,001832889 | 0,042812 | 0,021012 | 0,005418 | 0,16113  | 0,037282 | 0,011109 | 0,000000000021 |

Continua...

...continuação

|     |      |             |          |          |          |          |          |          |                |
|-----|------|-------------|----------|----------|----------|----------|----------|----------|----------------|
| 843 | 2019 | 0,029518982 | 0,171811 | 0,157198 | 0,008403 | 0,251137 | 0,030927 | 0,046181 | 0,000000000022 |
| 843 | 2018 | 0,033287252 | 0,182448 | 0,071341 | 0,006686 | 0,234618 | 0,033268 | 0,04876  | 0,000000000027 |
| 843 | 2017 | 0,041236041 | 0,203067 | 0,082829 | 0,006714 | 0,250123 | 0,036844 | 0,05253  | 0,000000000026 |
| 843 | 2016 | 0,044465303 | 0,210868 | 0,070706 | 0,007985 | 0,259539 | 0,036938 | 0,053761 | 0,000000000030 |
| 843 | 2015 | 0,048722764 | 0,220732 | 0,081298 | 0,007158 | 0,266148 | 0,037695 | 0,05473  | 0,000000000031 |
| 843 | 2014 | 0,048602634 | 0,22046  | 0,044277 | 0,007035 | 0,261929 | 0,036409 | 0,054614 | 0,000000000032 |
| 843 | 2013 | 0,039702493 | 0,199255 | 0,050313 | 0,007034 | 0,257884 | 0,03383  | 0,051118 | 0,000000000030 |
| 844 | 2019 | 0,008217921 | 0,090653 | 0,150554 | 0,00221  | 0,154297 | 0,016847 | 0,007913 | 0,000000000020 |
| 844 | 2018 | 0,006699415 | 0,08185  | 0,147098 | 0,002117 | 0,134887 | 0,016523 | 0,007318 | 0,000000000020 |
| 844 | 2017 | 0,008249428 | 0,090826 | 0,161062 | 0,0022   | 0,141961 | 0,018016 | 0,008085 | 0,000000000018 |
| 844 | 2016 | 0,0060531   | 0,077802 | 0,106459 | 0,001796 | 0,128168 | 0,017549 | 0,008475 | 0,000000000021 |
| 844 | 2015 | 0,007943254 | 0,089125 | 0,124191 | 0,002107 | 0,143033 | 0,021466 | 0,009241 | 0,000000000028 |
| 844 | 2014 | 0,004356956 | 0,066007 | 0,143288 | 0,001014 | 0,141132 | 0,018541 | 0,008378 | 0,000000000028 |
| 846 | 2019 | 0,000706552 | 0,026581 | 0,00542  | 0,000869 | 0,476318 | 0,042352 | 0,001094 | 0,000000000037 |
| 846 | 2018 | 0,004371251 | 0,066115 | 0,007628 | 0,000951 | 0,821047 | 0,038531 | 0,001584 | 0,000000000031 |
| 846 | 2017 | 0,005161298 | 0,071842 | 0,006471 | 0,00086  | 0,801528 | 0,036519 | 0,001599 | 0,000000000033 |
| 846 | 2016 | 0,007557983 | 0,086937 | 0,006267 | 0,001035 | 0,768465 | 0,041548 | 0,001303 | 0,000000000033 |
| 846 | 2015 | 0,008867959 | 0,09417  | 0,005947 | 0,001125 | 0,696813 | 0,044322 | 0,00075  | 0,000000000036 |
| 846 | 2014 | 0,02490851  | 0,157824 | 0,0057   | 0,001123 | 0,662061 | 0,03844  | 0,001854 | 0,000000000043 |
| 847 | 2015 | 0,00491143  | 0,070082 | 0,078373 | 0,00144  | 0,546945 | 0,068217 | 0,003032 | 0,000000000016 |
| 847 | 2014 | 0,006073878 | 0,077935 | 0,097599 | 0,000992 | 0,62804  | 0,059153 | 0,005977 | 0,000000000018 |
| 847 | 2013 | 0,007053235 | 0,083984 | 0,068982 | 0,004108 | 0,428041 | 0,041489 | 0,002956 | 0,000000000018 |
| 853 | 2018 | 0,018259432 | 0,135127 | 0,002925 | 0        | 0,330688 | 0,045742 | 0,0052   | 0,000000000037 |
| 853 | 2014 | 0,005364523 | 0,073243 | 0,002493 | 0        | 0,310002 | 0,038715 | 0,007168 | 0,000000000048 |
| 853 | 2013 | 0,006140516 | 0,078361 | 0,003046 | 0        | 0,324971 | 0,041586 | 0,008175 | 0,000000000047 |
| 858 | 2015 | 0,015254965 | 0,123511 | 0,069895 | 0,006905 | 0,143345 | 0,023219 | 0,01215  | 0,000000000026 |
| 859 | 2016 | 0,011919707 | 0,109177 | 0,01649  | 0        | 0,744739 | 0,051268 | 0,000516 | 0,000000000024 |
| 859 | 2015 | 0,007494932 | 0,086573 | 0,015144 | 0        | 0,619966 | 0,045857 | 0,00036  | 0,000000000029 |
| 859 | 2014 | 0,007979504 | 0,089328 | 0,015564 | 0,002156 | 0,532718 | 0,050943 | 0,000385 | 0,000000000028 |
| 859 | 2013 | 0,020178735 | 0,142052 | 0,017532 | 0        | 0,572732 | 0,050706 | 0,001839 | 0,000000000021 |
| 862 | 2019 | 0,026538348 | 0,162906 | 0,212284 | 0,005671 | 0,197823 | 0,02597  | 0,013757 | 0,000000000015 |
| 862 | 2018 | 0,022897536 | 0,151319 | 0,194318 | 0,008871 | 0,193583 | 0,019003 | 0,014392 | 0,000000000015 |
| 862 | 2017 | 0,02763244  | 0,16623  | 0,20372  | 0,00673  | 0,184409 | 0,021629 | 0,015916 | 0,000000000013 |
| 862 | 2016 | 0,020501792 | 0,143184 | 0,174558 | 0,005604 | 0,208637 | 0,026467 | 0,017404 | 0,000000000017 |
| 862 | 2015 | 0,02352904  | 0,153392 | 0,172524 | 0,005346 | 0,216601 | 0,02148  | 0,019601 | 0,000000000017 |
| 862 | 2014 | 0,022269457 | 0,14923  | 0,160114 | 0,003653 | 0,223504 | 0,019221 | 0,020301 | 0,000000000019 |
| 868 | 2018 | 0,016885463 | 0,129944 | 0,081507 | 0,005085 | 0,095692 | 0,023509 | 0,024141 | 0,000000000023 |
| 868 | 2017 | 0,019076076 | 0,138116 | 0,076173 | 0,007543 | 0,105471 | 0,027739 | 0,025905 | 0,000000000023 |
| 868 | 2016 | 0,015490285 | 0,12446  | 0,087816 | 0,028758 | 0,103767 | 0,023703 | 0,023234 | 0,000000000026 |
| 868 | 2015 | 0,015859489 | 0,125934 | 0,085542 | 0,005357 | 0,098931 | 0,023823 | 0,022888 | 0,000000000026 |
| 868 | 2014 | 0,014104077 | 0,118761 | 0,082861 | 0,004572 | 0,09588  | 0,020536 | 0,023217 | 0,000000000027 |
| 868 | 2013 | 0,014649607 | 0,121036 | 0,067766 | 0,004534 | 0,093059 | 0,022308 | 0,024085 | 0,000000000023 |
| 872 | 2019 | 0,01862418  | 0,13647  | 0,205423 | 0,001037 | 0,267012 | 0,030103 | 0,009104 | 0,000000000013 |
| 872 | 2018 | 0,017673603 | 0,132942 | 0,201014 | 0,000876 | 0,22342  | 0,029596 | 0,008638 | 0,000000000013 |
| 872 | 2017 | 0,018575799 | 0,136293 | 0,179793 | 0,000884 | 0,223994 | 0,029896 | 0,009576 | 0,000000000013 |
| 872 | 2016 | 0,019531052 | 0,139754 | 0,186834 | 0,000974 | 0,230757 | 0,031962 | 0,010571 | 0,000000000013 |
| 872 | 2015 | 0,020064863 | 0,14165  | 0,186637 | 0,00107  | 0,232807 | 0,033401 | 0,010758 | 0,000000000014 |
| 872 | 2014 | 0,018261061 | 0,135133 | 0,190395 | 0,001243 | 0,233047 | 0,034233 | 0,009704 | 0,000000000014 |
| 872 | 2013 | 0,016592212 | 0,128811 | 0,207014 | 0,00142  | 0,239745 | 0,031906 | 0,008583 | 0,000000000013 |

Continua...

...continuação

|     |      |             |          |          |          |          |          |          |                 |
|-----|------|-------------|----------|----------|----------|----------|----------|----------|-----------------|
| 880 | 2019 | 0,003143615 | 0,056068 | 0,074543 | 1,29E-06 | 0,529837 | 0,051211 | 0,018468 | 0,0000000000015 |
| 880 | 2018 | 0,012138703 | 0,110176 | 0,082707 | 0,000245 | 0,509715 | 0,049424 | 0,020354 | 0,0000000000014 |
| 880 | 2017 | 0,007025432 | 0,083818 | 0,099638 | 0,000188 | 0,562218 | 0,055218 | 0,019676 | 0,0000000000015 |
| 880 | 2016 | 0,00789671  | 0,088863 | 0,106619 | 0        | 0,607011 | 0,048868 | 0,016201 | 0,0000000000017 |
| 880 | 2015 | 0,004855904 | 0,069684 | 0,101964 | 0        | 0,491054 | 0,050783 | 0,018813 | 0,0000000000019 |
| 880 | 2014 | 0,005447633 | 0,073808 | 0,091498 | 0        | 0,504417 | 0,052305 | 0,034142 | 0,0000000000019 |
| 880 | 2013 | 0,010207798 | 0,101034 | 0,055235 | 0        | 0,578046 | 0,051056 | 0,027463 | 0,0000000000018 |
| 883 | 2019 | 0,003118181 | 0,055841 | 0,074039 | 0,007395 | 0,251318 | 0,040446 | 0,024887 | 0,0000000000010 |
| 883 | 2018 | 0,005342329 | 0,073091 | 0,086427 | 0,006952 | 0,244579 | 0,036862 | 0,023469 | 0,0000000000010 |
| 883 | 2017 | 0,010246649 | 0,101226 | 0,057447 | 0,008508 | 0,342133 | 0,045908 | 0,024964 | 0,0000000000010 |
| 883 | 2016 | 0,007770796 | 0,088152 | 0,067632 | 0,007476 | 0,351027 | 0,049272 | 0,024759 | 0,0000000000012 |
| 883 | 2015 | 0,010547778 | 0,102702 | 0,057634 | 0,011132 | 0,348785 | 0,050033 | 0,026967 | 0,0000000000013 |
| 883 | 2014 | 0,008534983 | 0,092385 | 0,06935  | 0,007871 | 0,337638 | 0,038067 | 0,027073 | 0,0000000000013 |
| 883 | 2013 | 0,012590024 | 0,112205 | 0,083688 | 0,009863 | 0,29867  | 0,038846 | 0,028719 | 0,0000000000011 |
| 884 | 2018 | 0,016122869 | 0,126976 | 0,059824 | 0,004762 | 0,460305 | 0,03485  | 0,000745 | 0,0000000000011 |
| 884 | 2017 | 0,017678873 | 0,132962 | 0,068086 | 0,004695 | 0,619855 | 0,040488 | 0,000607 | 0,0000000000011 |
| 886 | 2019 | 0,002254825 | 0,047485 | 0,111797 | 0,01391  | 0,166694 | 0,031541 | 0,011307 | 0,0000000000018 |
| 886 | 2018 | 0,001957218 | 0,04424  | 0,122489 | 0,009446 | 0,189187 | 0,029475 | 0,009853 | 0,0000000000014 |
| 886 | 2017 | 0,00130854  | 0,036174 | 0,124767 | 0,008843 | 0,154405 | 0,030678 | 0,010497 | 0,0000000000014 |
| 886 | 2016 | 0,001202737 | 0,03468  | 0,135036 | 0,019101 | 0,175677 | 0,036996 | 0,013867 | 0,0000000000013 |
| 886 | 2015 | 0,007190684 | 0,084798 | 0,067735 | 0,005248 | 0,198875 | 0,047439 | 0,016218 | 0,0000000000015 |
| 886 | 2014 | 0,019661563 | 0,14022  | 0,069461 | 0,005134 | 0,229784 | 0,04776  | 0,018164 | 0,0000000000015 |
| 886 | 2013 | 0,019520796 | 0,139717 | 0,070179 | 0,004918 | 0,224978 | 0,0462   | 0,017496 | 0,0000000000015 |
| 887 | 2017 | 0,009122515 | 0,095512 | 0,013915 | 0,002872 | 0,523018 | 0,043527 | 0,003532 | 0,0000000000012 |
| 887 | 2016 | 0,007557523 | 0,086934 | 0,013166 | 0,003112 | 0,52777  | 0,050591 | 0,006244 | 0,0000000000012 |
| 888 | 2019 | 0,00067835  | 0,026045 | 0,039187 | 0,002918 | 0,394513 | 0,036989 | 0,013807 | 0,0000000000016 |
| 888 | 2018 | 0,002600696 | 0,050997 | 0,033659 | 0,003761 | 0,410543 | 0,030488 | 0,008475 | 0,0000000000014 |
| 888 | 2016 | 0,000299585 | 0,017309 | 0,030355 | 0        | 0,415541 | 0,03874  | 0,00513  | 0,0000000000015 |
| 888 | 2015 | 1,71103E-05 | -0,00414 | 0,028649 | 0        | 0,480068 | 0,048853 | 0,02681  | 0,0000000000014 |
| 888 | 2014 | 4,60144E-05 | 0,006783 | 0,024554 | 0,002087 | 0,30924  | 0,027893 | 0,00718  | 0,0000000000017 |
| 890 | 2019 | 0,002407328 | 0,049065 | 0,048327 | 0,005282 | 0,379519 | 0,03686  | 0,001399 | 0,0000000000015 |
| 890 | 2018 | 0,004730851 | 0,068781 | 0,050205 | 0,001399 | 0,372513 | 0,036231 | 0,001345 | 0,0000000000014 |
| 890 | 2017 | 0,003677938 | 0,060646 | 0,060391 | 0,001924 | 0,418364 | 0,037976 | 0,001651 | 0,0000000000013 |
| 890 | 2016 | 0,001215036 | 0,034857 | 0,057765 | 0,00481  | 0,413857 | 0,036086 | 0,001478 | 0,0000000000015 |
| 890 | 2015 | 0,000809263 | 0,028448 | 0,058355 | 0,004385 | 0,407499 | 0,032601 | 0,0016   | 0,0000000000015 |
| 890 | 2014 | 0,00142404  | 0,037736 | 0,05977  | 0,004017 | 0,413837 | 0,033804 | 0,002057 | 0,0000000000013 |
| 890 | 2013 | 0,001330633 | 0,036478 | 0,052522 | 0,002131 | 0,435378 | 0,029667 | 0,002347 | 0,0000000000013 |
| 891 | 2018 | 0,013911169 | 0,117946 | 0,002159 | 0,00056  | 0,602604 | 0,075794 | 0,019147 | 0,0000000000010 |
| 891 | 2017 | 0,00551275  | 0,074248 | 0,001898 | 0,000759 | 0,6378   | 0,101368 | 0,011086 | 0,0000000000010 |
| 891 | 2016 | 0,000154468 | 0,012429 | 0,002806 | 0,001522 | 0,640021 | 0,101325 | 0,010891 | 0,0000000000011 |
| 892 | 2017 | 0,009864847 | 0,099322 | 0,02294  | 0,000917 | 0,585293 | 0,044733 | 0,003514 | 0,0000000000018 |
| 892 | 2015 | 3,31959E-07 | 0,000576 | 0,020742 | 0        | 0,501953 | 0,040348 | 0,00261  | 0,0000000000019 |
| 892 | 2013 | 0,003222774 | 0,056769 | 0,019883 | 0        | 0,583222 | 0,04075  | 0,002909 | 0,0000000000014 |
| 896 | 2019 | 0,004610222 | 0,067899 | 0,28217  | 0,002734 | 0,146153 | 0,013718 | 0,005515 | 0,0000000000015 |
| 896 | 2018 | 0,004151489 | 0,064432 | 0,286114 | 0,002797 | 0,134808 | 0,010092 | 0,005753 | 0,0000000000016 |
| 896 | 2017 | 0,004578292 | 0,067663 | 0,299069 | 0,002856 | 0,139225 | 0,010237 | 0,005873 | 0,0000000000016 |
| 896 | 2016 | 0,003733525 | 0,061103 | 0,291057 | 0,00283  | 0,132319 | 0,010404 | 0,006046 | 0,0000000000016 |
| 896 | 2015 | 0,002901678 | 0,053867 | 0,289596 | 0,002793 | 0,129028 | 0,011002 | 0,006311 | 0,0000000000016 |
| 896 | 2014 | 0,002435503 | 0,049351 | 0,291899 | 0,002957 | 0,141062 | 0,012244 | 0,006531 | 0,0000000000015 |
| 896 | 2013 | 0,003106445 | 0,055735 | 0,303127 | 0,002991 | 0,141227 | 0,011853 | 0,006491 | 0,0000000000014 |

Continua...

...continuação

|     |      |             |          |          |          |          |          |          |                |
|-----|------|-------------|----------|----------|----------|----------|----------|----------|----------------|
| 897 | 2018 | 0,030516469 | 0,17469  | 0,081455 | 0,002701 | 0,583718 | 0,077207 | 0,012567 | 0,000000000009 |
| 897 | 2017 | 0,01408828  | 0,118694 | 0,076817 | 0        | 0,590243 | 0,080174 | 0,009822 | 0,000000000009 |
| 897 | 2016 | 0,000380371 | 0,019503 | 0,079465 | 0        | 0,530862 | 0,102953 | 0,017471 | 0,000000000010 |
| 897 | 2015 | 0,003059421 | 0,055312 | 0,066075 | 0,003769 | 0,448793 | 0,116291 | 0,013904 | 0,000000000008 |
| 897 | 2014 | 0,019021154 | 0,137917 | 0,068542 | 0        | 0,492313 | 0,104725 | 0,019128 | 0,000000000006 |
| 900 | 2019 | 0,001772689 | 0,042103 | 0,036271 | 0,007214 | 0,076845 | 0,015935 | 0,034494 | 0,000000000007 |
| 900 | 2018 | 0,001954705 | 0,044212 | 0,065958 | 0,009915 | 0,081997 | 0,013927 | 0,031424 | 0,000000000006 |
| 900 | 2017 | 0,002563675 | 0,050633 | 0,075005 | 0,010355 | 0,08426  | 0,014421 | 0,041149 | 0,000000000006 |
| 900 | 2016 | 0,00385279  | 0,062071 | 0,088202 | 0,010191 | 0,088614 | 0,015353 | 0,041687 | 0,000000000006 |
| 900 | 2015 | 0,004356513 | 0,066004 | 0,065154 | 0,0076   | 0,085478 | 0,014931 | 0,039823 | 0,000000000007 |
| 900 | 2014 | 0,003240274 | 0,056923 | 0,069452 | 0,006475 | 0,087793 | 0,014722 | 0,038548 | 0,000000000008 |
| 900 | 2013 | 0,00346739  | 0,058885 | 0,043218 | 0,006879 | 0,091345 | 0,015198 | 0,0381   | 0,000000000008 |
| 902 | 2019 | 4,54465E-05 | -0,00674 | 0,005622 | 0,000793 | 0,865368 | 0,055432 | 0,001179 | 0,000000000006 |
| 902 | 2018 | 1,34011E-06 | -0,00116 | 0,006615 | 0,000637 | 0,824152 | 0,053035 | 0,001163 | 0,000000000006 |
| 902 | 2017 | 0,000820193 | 0,028639 | 0,006857 | 0,000646 | 0,871477 | 0,054885 | 0,001543 | 0,000000000006 |
| 902 | 2016 | 0,004277624 | 0,065404 | 0,005348 | 0,000463 | 0,794677 | 0,05153  | 0,001025 | 0,000000000006 |
| 902 | 2015 | 0,004229463 | 0,065034 | 0,004908 | 0,000409 | 0,810698 | 0,0468   | 0,001024 | 0,000000000007 |
| 902 | 2014 | 0,001289063 | 0,035904 | 0,005099 | 0,000474 | 0,843492 | 0,048366 | 0,000958 | 0,000000000007 |
| 902 | 2013 | 9,87035E-05 | 0,009935 | 0,005326 | 0,000568 | 0,851644 | 0,046963 | 0,001091 | 0,000000000007 |
| 904 | 2019 | 0,024878403 | 0,157729 | 0,003667 | 0        | 0,70376  | 0,058626 | 0,005028 | 0,000000000010 |
| 904 | 2018 | 0,024548674 | 0,15668  | 0,004022 | 0        | 0,639321 | 0,05477  | 0,004848 | 0,000000000010 |
| 904 | 2017 | 0,01980121  | 0,140717 | 0,004638 | 0        | 0,586745 | 0,054917 | 0,005598 | 0,000000000009 |
| 905 | 2019 | 0,024878403 | 0,157729 | 0,003667 | 0,001148 | 0,70376  | 0,059443 | 0,005028 | 0,000000000010 |
| 905 | 2018 | 0,024548674 | 0,15668  | 0,004022 | 0        | 0,639321 | 0,05477  | 0,004848 | 0,000000000010 |
| 905 | 2017 | 0,01980121  | 0,140717 | 0,004638 | 0        | 0,586745 | 0,054917 | 0,005598 | 0,000000000009 |
| 905 | 2016 | 0,01239879  | 0,11135  | 0,005925 | 0        | 0,682297 | 0,065427 | 0,00517  | 0,000000000009 |
| 905 | 2015 | 0,001544862 | 0,039305 | 0,006948 | 0        | 0,68964  | 0,071128 | 0,003441 | 0,000000000008 |
| 905 | 2014 | 0,008169692 | 0,090386 | 0,007377 | 0,001761 | 0,681698 | 0,070364 | 0,004949 | 0,000000000008 |
| 905 | 2013 | 0,02175167  | 0,147484 | 0,009706 | 0,001782 | 0,751494 | 0,058324 | 0,005008 | 0,000000000007 |
| 906 | 2017 | 0,003047267 | 0,055202 | 0,006281 | 0,001225 | 0,700907 | 0,052137 | 0,001327 | 0,000000000005 |
| 906 | 2016 | 0,004793125 | 0,069232 | 0,00617  | 0,00067  | 0,747856 | 0,046695 | 0,001464 | 0,000000000006 |
| 906 | 2015 | 0,004717193 | 0,068682 | 0,004656 | 0,000579 | 0,571961 | 0,052206 | 0,001261 | 0,000000000008 |
| 906 | 2014 | 0,002895733 | 0,053812 | 0,004447 | 0,000683 | 0,514163 | 0,063479 | 0,001724 | 0,000000000007 |
| 907 | 2018 | 0,021390287 | 0,146254 | 0,029774 | 0,00015  | 0,603841 | 0,041591 | 0,00571  | 0,000000000011 |
| 907 | 2017 | 0,021538203 | 0,146759 | 0,033721 | 0,000141 | 0,671316 | 0,045386 | 0,005438 | 0,000000000010 |
| 907 | 2015 | 0,00536895  | 0,073273 | 0,033462 | 0,002076 | 0,612435 | 0,046592 | 0,006821 | 0,000000000011 |
| 907 | 2014 | 0,018297837 | 0,135269 | 0,053735 | 0,002166 | 0,627758 | 0,042248 | 0,00785  | 0,000000000009 |
| 907 | 2013 | 0,024589856 | 0,156812 | 0,048827 | 0,002297 | 0,637937 | 0,040856 | 0,010619 | 0,000000000009 |
| 908 | 2018 | 0,021240125 | 0,14574  | 0,029774 | 0,001425 | 0,603841 | 0,041591 | 0,00571  | 0,000000000011 |
| 908 | 2017 | 0,021524243 | 0,146711 | 0,033721 | 0,001914 | 0,671316 | 0,045386 | 0,005438 | 0,000000000010 |
| 908 | 2016 | 0,009788004 | 0,098934 | 0,036267 | 0        | 0,650954 | 0,053023 | 0,006161 | 0,000000000011 |
| 908 | 2015 | 0,00536895  | 0,073273 | 0,033462 | 0,002076 | 0,612435 | 0,044516 | 0,006821 | 0,000000000011 |
| 908 | 2014 | 0,018297837 | 0,135269 | 0,053735 | 0,002166 | 0,627758 | 0,042248 | 0,00785  | 0,000000000009 |
| 909 | 2017 | 0,010022916 | 0,100115 | 0,003744 | 0,001444 | 0,706643 | 0,061899 | 0,002441 | 0,000000000011 |
| 909 | 2016 | 0,007928027 | 0,089039 | 0,004581 | 0,001449 | 0,720435 | 0,060198 | 0,001762 | 0,000000000012 |

Continua...

...continuação

|     |      |             |          |          |          |          |          |          |                |
|-----|------|-------------|----------|----------|----------|----------|----------|----------|----------------|
| 910 | 2019 | 0,00021061  | 0,014512 | 0,003662 | 0        | 0,404461 | 0,034238 | 0,00336  | 0,000000000011 |
| 910 | 2018 | 0,005762666 | 0,075912 | 0,008406 | 0        | 0,403725 | 0,031708 | 0,003285 | 0,000000000011 |
| 910 | 2017 | 0,00359227  | 0,059936 | 0,005522 | 0        | 0,460873 | 0,037073 | 0,003465 | 0,000000000012 |
| 910 | 2016 | 0,002162591 | 0,046504 | 0,005303 | 0        | 0,458339 | 0,035805 | 0,003145 | 0,000000000013 |
| 910 | 2015 | 4,69403E-05 | 0,006851 | 0,005102 | 0        | 0,406533 | 0,036268 | 0,002579 | 0,000000000013 |
| 910 | 2014 | 0,000972734 | 0,031189 | 0,007395 | 0,001381 | 0,440623 | 0,039747 | 0,002449 | 0,000000000010 |
| 910 | 2013 | 0,00038129  | 0,019527 | 0,008895 | 0        | 0,457349 | 0,041805 | 0,002404 | 0,000000000009 |
| 911 | 2018 | 0,002993994 | 0,054717 | 0,061793 | 0,003284 | 0,449057 | 0,060594 | 0,011126 | 0,000000000004 |
| 911 | 2017 | 0,003515095 | 0,059288 | 0,063389 | 0,006164 | 0,502163 | 0,071422 | 0,007237 | 0,000000000004 |
| 912 | 2019 | 0,015397379 | 0,124086 | 0,137939 | 0,001721 | 0,222587 | 0,026679 | 0,01294  | 0,000000000008 |
| 912 | 2018 | 0,012767799 | 0,112995 | 0,136697 | 0,002293 | 0,219754 | 0,025825 | 0,012376 | 0,000000000007 |
| 912 | 2017 | 0,012387998 | 0,111301 | 0,154562 | 0,002963 | 0,230753 | 0,022606 | 0,013038 | 0,000000000007 |
| 912 | 2016 | 0,011855246 | 0,108882 | 0,155763 | 0,002629 | 0,210417 | 0,0218   | 0,013257 | 0,000000000008 |
| 912 | 2015 | 0,010841482 | 0,104122 | 0,144635 | 0,002406 | 0,199824 | 0,021718 | 0,012617 | 0,000000000008 |
| 912 | 2014 | 0,010629005 | 0,103097 | 0,144641 | 0,002111 | 0,207619 | 0,02128  | 0,011893 | 0,000000000007 |
| 912 | 2013 | 0,015840653 | 0,12586  | 0,105268 | 0,002499 | 0,223403 | 0,023779 | 0,012485 | 0,000000000007 |
| 918 | 2019 | 0,004307897 | 0,065635 | 0,093696 | 0,004181 | 0,439229 | 0,05444  | 0,006614 | 0,000000000004 |
| 918 | 2018 | 0,004788641 | 0,0692   | 0,083093 | 0,003144 | 0,453847 | 0,048158 | 0,007141 | 0,000000000004 |
| 918 | 2017 | 0,00109052  | 0,033023 | 0,055573 | 0,006389 | 0,461972 | 0,062423 | 0,003649 | 0,000000000004 |
| 918 | 2016 | 0,001201268 | 0,034659 | 0,062376 | 0,003113 | 0,491681 | 0,05002  | 0,00555  | 0,000000000004 |
| 918 | 2015 | 0,002647825 | 0,051457 | 0,061297 | 0,010232 | 0,482159 | 0,078013 | 0,008765 | 0,000000000004 |
| 918 | 2014 | 0,014974436 | 0,12237  | 0,061122 | 0,017037 | 0,464515 | 0,050752 | 0,008536 | 0,000000000004 |
| 920 | 2018 | 0,003964596 | 0,062965 | 0,061873 | 0        | 0,484207 | 0,055333 | 0,005173 | 0,000000000004 |
| 920 | 2017 | 0,001315826 | 0,036274 | 0,068003 | 0        | 0,479672 | 0,057737 | 0,007706 | 0,000000000004 |
| 920 | 2016 | 8,34751E-05 | 0,009136 | 0,069249 | 0        | 0,494173 | 0,055242 | 0,006554 | 0,000000000004 |
| 920 | 2015 | 0,000273868 | 0,016549 | 0,068335 | 0,001084 | 0,475185 | 0,055733 | 0,008617 | 0,000000000004 |
| 920 | 2014 | 0,001415059 | 0,037617 | 0,070872 | 0,011298 | 0,443027 | 0,0514   | 0,012312 | 0,000000000004 |
| 925 | 2019 | 0,006522362 | 0,080761 | 0,023101 | 0,003042 | 0,593255 | 0,057471 | 0,008254 | 0,000000000002 |
| 925 | 2017 | 0,001862054 | 0,043152 | 0,025705 | 0        | 0,553245 | 0,064086 | 0,007007 | 0,000000000002 |
| 925 | 2016 | 6,20255E-05 | 0,007876 | 0,029224 | 0        | 0,628395 | 0,066521 | 0,008309 | 0,000000000002 |
| 925 | 2014 | 0,003132356 | 0,055967 | 0,013168 | 0        | 0,54156  | 0,068933 | 0,015323 | 0,000000000003 |
| 926 | 2016 | 0,00268619  | 0,051828 | 0,011938 | 0,000683 | 0,68648  | 0,060725 | 0,009462 | 0,000000000004 |
| 926 | 2015 | 0,001756514 | 0,041911 | 0,010745 | 0,000552 | 0,617785 | 0,041838 | 0,008329 | 0,000000000004 |
| 936 | 2019 | 0,008085403 | 0,089919 | 0,048801 | 0        | 0,529649 | 0,04651  | 0,001142 | 0,000000000919 |
| 947 | 2017 | 0,000827161 | 0,02876  | 0,591294 | 0        | 0,260411 | 0,05411  | 0,000876 | 0,000000000475 |
| 947 | 2016 | 0,006191668 | -0,07869 | 0,319736 | 0        | 0,216948 | 0,044959 | 0,012591 | 0,000000000448 |
| 947 | 2015 | 0,000381298 | 0,019527 | 0,418751 | 0,000376 | 0,23267  | 0,04346  | 0,007235 | 0,000000000286 |
| 948 | 2019 | 0,000286991 | 0,016941 | 0,007662 | 0,001336 | 0,680444 | 0,050612 | 0,001968 | 0,000000000073 |
| 948 | 2018 | 0,004400479 | 0,066336 | 0,006299 | 0,001206 | 0,642991 | 0,049518 | 0,003082 | 0,000000000068 |
| 948 | 2017 | 0,007267126 | 0,085247 | 0,005491 | 0,002411 | 0,548852 | 0,047278 | 0,002545 | 0,000000000066 |
| 960 | 2019 | 0,003777756 | 0,061463 | 0,326216 | 0,003494 | 0,045937 | 0,012293 | 0,00705  | 0,000000003317 |
| 960 | 2018 | 0,002459043 | 0,049589 | 0,348008 | 0,002709 | 0,011711 | 0,005399 | 0,005483 | 0,000000003996 |
| 979 | 2019 | 0,006254014 | 0,079082 | 0,01021  | 0,00164  | 0,473419 | 0,06094  | 0,023823 | 0,000000000080 |
| 979 | 2018 | 0,048086995 | 0,219287 | 0,006645 | 0,001795 | 0,380495 | 0,050595 | 0,023819 | 0,000000000079 |
| 979 | 2017 | 0,070507968 | 0,265533 | 0,007821 | 0,002482 | 0,414811 | 0,060966 | 0,026457 | 0,000000000071 |
| 979 | 2016 | 0,015997022 | 0,126479 | 0,009081 | 0,003968 | 0,435797 | 0,060557 | 0,024247 | 0,000000000092 |
| 979 | 2015 | 0,006270996 | 0,07919  | 0,012356 | 0,004083 | 0,461846 | 0,066091 | 0,024056 | 0,000000000086 |

Continua...

...continuação

|      |      |             |          |          |          |          |          |          |                |
|------|------|-------------|----------|----------|----------|----------|----------|----------|----------------|
| 994  | 2019 | 0,000461472 | 0,021482 | 0,105607 | 0,008158 | 0,083123 | 0,016665 | 0,00742  | 0,000000000014 |
| 1007 | 2019 | 0,001286702 | 0,035871 | 0,045035 | 0,003832 | 0,483128 | 0,031792 | 0,004631 | 0,000000000046 |
| 1009 | 2019 | 0,013500155 | 0,11619  | 0,124079 | 0,016999 | 0,761442 | 0,071166 | 0,025252 | 0,000000000017 |
| 1012 | 2019 | 0,002764736 | 0,052581 | 0,03199  | 0,002837 | 0,868714 | 0,067224 | 0        | 0,000000001489 |
| 1014 | 2019 | 0,012331064 | -0,11105 | 0,000838 | 0,000181 | 0,546508 | 0,04735  | 0,198953 | 0,000000006592 |
| 1014 | 2018 | 0,007113471 | 0,084341 | 0,001244 | 0,000276 | 0,338035 | 0,047803 | 0,315685 | 0,000000006720 |
| 1015 | 2019 | 1,44788E-05 | -0,00381 | 0,037575 | 0,005287 | 0,223549 | 0,045418 | 0,022117 | 0,000000001775 |
| 1016 | 2019 | 0,012070927 | 0,109868 | 0,186541 | 0,013496 | 0,225741 | 0,037126 | 0,019128 | 0,000000000955 |
| 1016 | 2018 | 0,009036846 | 0,095062 | 0,178305 | 0,011091 | 0,160579 | 0,01755  | 0,016819 | 0,000000000904 |
| 1019 | 2017 | 0,001054124 | 0,032467 | 0,535216 | 0,035957 | 0,119089 | 0,00496  | 0,006369 | 0,000000000746 |
| 1019 | 2016 | 0,005475079 | 0,073994 | 0,67099  | 0,039506 | 0,107881 | 0,003832 | 0,004717 | 0,000000000658 |
| 1026 | 2019 | 0,001925227 | 0,043877 | 0,149755 | 0,031049 | 0,109618 | 0,006056 | 0,049467 | 0,000000002026 |
| 1032 | 2018 | 0,008110725 | -0,09006 | 0,093599 | 0,020818 | 0,14967  | 0,018723 | 0,38835  | 0,000000005576 |
| 1033 | 2019 | 0,066226748 | 0,257346 | 0,185747 | 0,021684 | 0,091372 | 0,029284 | 0,04932  | 0,000000004499 |
| 1035 | 2019 | 0,009132753 | 0,095565 | 0,196892 | 0,030701 | 0,328995 | 0,040352 | 0,037436 | 0,000000000307 |
| 1035 | 2018 | 0,018957397 | 0,137686 | 0,184516 | 0,028478 | 0,306439 | 0,035719 | 0,03829  | 0,000000000321 |
| 1035 | 2017 | 0,024603748 | 0,156856 | 0,174353 | 0        | 0,311707 | 0,06471  | 0,041851 | 0,000000000336 |
| 1036 | 2019 | 0,024480897 | 0,156464 | 0,125228 | 0,025263 | 0,353167 | 0,033529 | 0,031591 | 0,000000007204 |
| 1044 | 2014 | 0,102115358 | -0,31955 | 0,067329 | 0,010996 | 0,140189 | 0,034016 | 0,184671 | 0,000000002961 |
| 1048 | 2019 | 0,006790646 | 0,082405 | 0,199278 | 0,036614 | 0,197522 | 0,044068 | 0,018035 | 0,000000003077 |
| 1048 | 2018 | 0,002591344 | 0,050905 | 0,205863 | 0,052586 | 0,142653 | 0,024076 | 0,036326 | 0,000000003229 |
| 1052 | 2019 | 0,008917147 | 0,094431 | 0,312164 | 0,018103 | 0,144142 | 0,019194 | 0,014327 | 0,000000001283 |
| 1052 | 2018 | 0,011601452 | 0,10771  | 0,276396 | 0,013022 | 0,115944 | 0,010552 | 0,010014 | 0,000000001490 |
| 1052 | 2017 | 0,028936072 | 0,170106 | 0,342323 | 0,019359 | 0,137231 | 0,014373 | 0,013572 | 0,000000001561 |
| 1054 | 2018 | 0,005207653 | 0,072164 | 0,227234 | 0,007006 | 0,147705 | 0,01158  | 0,011908 | 0,000000000222 |
| 1054 | 2017 | 0,00592369  | 0,076966 | 0,293892 | 0,008537 | 0,104642 | 0,010641 | 0,008863 | 0,000000000253 |
| 1058 | 2019 | 0,020183061 | 0,142067 | 0,196387 | 0,048175 | 0,113801 | 0,03097  | 0,082586 | 0,000000002309 |
| 1058 | 2015 | 0,01956657  | 0,139881 | 0,084672 | 0,025747 | 0,029728 | 0,023623 | 0,097678 | 0,000000002589 |
| 1062 | 2019 | 0,059633294 | 0,244199 | 0,000831 | 0,000941 | 0,48005  | 0,036523 | 0,00648  | 0,000000001282 |
| 1062 | 2018 | 0,060926591 | 0,246833 | 0,000956 | 0,000623 | 0,480085 | 0,037815 | 0,006691 | 0,000000001392 |
| 1062 | 2017 | 0,044381507 | 0,210669 | 0,001253 | 0,000757 | 0,503781 | 0,039381 | 0,008201 | 0,000000001453 |
| 1065 | 2019 | 0,003394927 | 0,058266 | 0,00983  | 0,004146 | 0,194181 | 0,039778 | 0,062602 | 0,000000000565 |
| 1070 | 2019 | 0,004412207 | -0,06642 | 1,109141 | 0,002001 | 0,18333  | 0,0091   | 0,082263 | 0,000000000982 |
| 1070 | 2018 | 0,008656828 | -0,09304 | 0,010097 | 0,002667 | 0,161182 | 0,010171 | 0,119218 | 0,000000002143 |
| 1072 | 2019 | 0,009675557 | 0,098364 | 0,130599 | 0,021137 | 0,071107 | 0,016764 | 0,056648 | 0,000000001786 |
| 1072 | 2018 | 0,011996172 | 0,109527 | 0,198192 | 0,025727 | 0,090586 | 0,019296 | 0,058195 | 0,000000002050 |
| 1072 | 2017 | 0,011226868 | 0,105957 | 0,222113 | 0,029459 | 0,064594 | 0,012703 | 0,066294 | 0,000000002167 |
| 1072 | 2016 | 0,006681569 | 0,081741 | 0,205953 | 0,036224 | 0,069362 | 0,01193  | 0,050368 | 0,000000001894 |
| 1072 | 2014 | 0,005978759 | 0,077322 | 0,241223 | 0,043447 | 0,063825 | 0,011212 | 0,058811 | 0,000000001370 |
| 1072 | 2013 | 0,010070867 | 0,100354 | 0,292182 | 0,030523 | 0,071032 | 0,010382 | 0,051829 | 0,000000001239 |
| 1076 | 2019 | 0,006539297 | 0,080866 | 0,020454 | 0,006199 | 0,090924 | 0,01014  | 0,045827 | 0,000000001157 |
| 1076 | 2018 | 0,006349997 | 0,079687 | 0,021471 | 0,003249 | 0,070715 | 0,006783 | 0,037012 | 0,000000001016 |
| 1078 | 2019 | 0,00122787  | 0,035041 | 0,239593 | 0,080837 | 0,128208 | 0,025427 | 0,149201 | 0,000000001729 |
| 1078 | 2018 | 0,000776725 | 0,02787  | 0,243868 | 0,076397 | 0,059312 | 0,023204 | 0,156362 | 0,000000001813 |
| 1079 | 2019 | 0,002528986 | 0,050289 | 0,375583 | 0,003912 | 0,065453 | 0,009006 | 0,024331 | 0,000000000614 |
| 1079 | 2018 | 0,00248966  | 0,049896 | 0,428853 | 0,003843 | 0,057588 | 0,005343 | 0,024751 | 0,000000000790 |
| 1079 | 2017 | 0,003115269 | 0,055815 | 0,594654 | 0,003136 | 0,056062 | 0,005789 | 0,022648 | 0,000000000764 |
| 1079 | 2016 | 0,004649185 | 0,068185 | 0,444641 | 0,003197 | 0,074951 | 0,008088 | 0,024838 | 0,000000001212 |
| 1079 | 2015 | 0,005356101 | 0,073185 | 0,540521 | 0,0481   | 0,084218 | 0,008398 | 0,023121 | 0,000000001341 |
| 1079 | 2014 | 0,007964026 | 0,089241 | 0,396187 | 0,004119 | 0,056789 | 0,007917 | 0,029272 | 0,000000002242 |

Continua...

...continuação

|      |      |             |          |          |          |          |          |          |                |
|------|------|-------------|----------|----------|----------|----------|----------|----------|----------------|
| 1083 | 2019 | 0,007063743 | 0,084046 | 0,149721 | 0,009416 | 0,160756 | 0,013489 | 0,036412 | 0,000000000479 |
| 1083 | 2018 | 0,007915827 | 0,088971 | 0,156885 | 0,011111 | 0,122298 | 0,011588 | 0,024754 | 0,000000000484 |
| 1091 | 2019 | 0,007203384 | 0,084873 | 0,062774 | 0,01187  | 0,123574 | 0,019881 | 0,07372  | 0,000000001162 |
| 1091 | 2018 | 0,009900102 | 0,099499 | 0,051705 | 0,010567 | 0,090611 | 0,012163 | 0,071936 | 0,000000001061 |
| 1096 | 2019 | 0,006073024 | 0,07793  | 0,090785 | 0,012431 | 0,337903 | 0,039233 | 0,020275 | 0,000000001790 |
| 1096 | 2018 | 0,009929084 | 0,099645 | 0,096997 | 0,013818 | 0,304789 | 0,032263 | 0,019964 | 0,000000001869 |
| 1098 | 2019 | 0,069718083 | 0,264042 | 0,071787 | 0,004365 | 0,100278 | 0,019208 | 0,115084 | 0,000000002005 |
| 1098 | 2018 | 0,078857678 | 0,280816 | 0,095471 | 0,000935 | 0,028032 | 0,006281 | 0,118076 | 0,000000002205 |
| 1101 | 2018 | 0,000209195 | 0,014464 | 0,023387 | 0,009248 | 0,092673 | 0,008809 | 0,075001 | 0,000000002242 |
| 1102 | 2017 | 0,019389278 | 0,139245 | 0,156709 | 0,027911 | 0,055777 | 0,020488 | 0,011967 | 0,000000000634 |
| 1102 | 2016 | 0,020887564 | 0,144525 | 0,092422 | 0,026452 | 0,051257 | 0,020026 | 0,009984 | 0,000000000699 |
| 1102 | 2015 | 0,063518317 | 0,252028 | 0,120851 | 0,027134 | 0,059677 | 0,020935 | 0,187587 | 0,000000000776 |
| 1108 | 2018 | 0,041636342 | 0,20405  | 0,194932 | 0,0437   | 0,048027 | 0,016808 | 0,03403  | 0,000000001030 |
| 1108 | 2017 | 0,060936663 | 0,246854 | 0,278695 | 0,062771 | 0,042284 | 0,012767 | 0,043311 | 0,000000000984 |
| 1108 | 2016 | 0,047375332 | 0,217659 | 0,202759 | 0,040808 | 0,027423 | 0,011129 | 0,04297  | 0,000000001778 |
| 1108 | 2015 | 0,038200912 | 0,195451 | 0,248361 | 0,031618 | 0,021974 | 0,008261 | 0,03643  | 0,000000001724 |
| 1109 | 2019 | 0,000772073 | -0,02779 | 0,298021 | 0,074932 | 0,100067 | 0,017495 | 0,091168 | 0,000000001564 |
| 1109 | 2018 | 0,005816823 | -0,07627 | 0,305489 | 0,182655 | 0,080297 | 0,008342 | 0,077102 | 0,000000001218 |
| 1109 | 2017 | 0,011726303 | -0,10829 | 0,437588 | 0,149764 | 0,069278 | 0,007782 | 0,078672 | 0,000000000984 |
| 1112 | 2019 | 0,031076173 | 0,176284 | 0,015447 | 0,002039 | 0,268463 | 0,044694 | 0,081418 | 0,000000000228 |
| 1112 | 2018 | 0,02439973  | 0,156204 | 0,017227 | 0,002451 | 0,243179 | 0,039033 | 0,06728  | 0,000000000294 |
| 1112 | 2017 | 0,055997235 | 0,236637 | 0,028939 | 0,003305 | 0,234573 | 0,037239 | 0,086144 | 0,000000000402 |
| 1113 | 2014 | 0,002279807 | 0,047747 | 0,00201  | 0,001122 | 0,456629 | 0,039281 | 0,035495 | 0,000000002767 |
| 1113 | 2013 | 0,015238337 | 0,123444 | 0,002536 | 0,000866 | 0,4075   | 0,038102 | 0,036912 | 0,000000002634 |
| 1120 | 2019 | 0,06971297  | 0,264032 | 0,051442 | 0,009531 | 0,511845 | 0,036247 | 0,082488 | 0,000000001086 |
| 1120 | 2018 | 0,082017014 | 0,286386 | 0,055737 | 0,006451 | 0,54504  | 0,029902 | 0,090991 | 0,000000001267 |
| 1120 | 2017 | 0,097009812 | 0,311464 | 0,055003 | 0,010052 | 0,519907 | 0,036649 | 0,103348 | 0,000000001405 |
| 1123 | 2019 | 0,010117859 | 0,100588 | 0,090763 | 0,019244 | 0,082375 | 0,021988 | 0,055325 | 0,000000001022 |
| 1123 | 2018 | 0,011287248 | 0,106241 | 0,090735 | 0,016396 | 0,030057 | 0,008972 | 0,048709 | 0,000000001178 |
| 1125 | 2019 | 0,018591377 | 0,13635  | 0,024127 | 0,004239 | 0,368345 | 0,034011 | 0,094234 | 0,000000000142 |
| 1125 | 2018 | 0,011608926 | 0,107745 | 0,018458 | 0,005303 | 0,341865 | 0,030424 | 0,070798 | 0,000000000184 |
| 1125 | 2017 | 0,00747471  | 0,086456 | 0,023442 | 0,002963 | 0,327152 | 0,028292 | 0,065185 | 0,000000000235 |
| 1133 | 2018 | 0,00389228  | -0,06239 | 0,000211 | 0,007209 | 0,001055 | 0,000874 | 0        | 0,000000000551 |
| 1133 | 2016 | 0,000311454 | -0,01765 | 0,006    | 0,006515 | 0,000235 | 0,000116 | 0,001177 | 0,000000001030 |
| 1133 | 2015 | 0,013159038 | 0,114713 | 0,016038 | 0,008672 | 0,000305 | 0,000145 | 0,003055 | 0,000000000888 |
| 1138 | 2019 | 0,051117819 | 0,226093 | 0,001564 | 0,000969 | 0,516847 | 0,055133 | 0,068735 | 0,000000000731 |
| 1138 | 2018 | 0,049316133 | 0,222072 | 0,00171  | 0,001281 | 0,436797 | 0,054373 | 0,067454 | 0,000000000901 |
| 1138 | 2017 | 0,037125438 | 0,19268  | 0,002478 | 0,001526 | 0,469786 | 0,055712 | 0,069109 | 0,000000000953 |
| 1138 | 2016 | 0,046402192 | 0,215412 | 0,003234 | 0,001584 | 0,469668 | 0,05712  | 0,063734 | 0,000000001022 |
| 1138 | 2015 | 0,041235616 | 0,203066 | 0,003143 | 0,001234 | 0,48806  | 0,050887 | 0,058736 | 0,000000001164 |
| 1141 | 2019 | 0,029512172 | 0,171791 | 0,059176 | 0,018222 | 0,129147 | 0,023931 | 0,321304 | 0,000000000298 |
| 1141 | 2018 | 0,027780142 | 0,166674 | 0,092261 | 0,005764 | 0,103381 | 0,042819 | 0,362083 | 0,000000000405 |
| 1154 | 2019 | 0,021153533 | 0,145443 | 0,003518 | 0,001749 | 0,535259 | 0,087393 | 0,028989 | 0,000000000712 |
| 1154 | 2017 | 0,020988104 | 0,144873 | 0,004265 | 0,001533 | 0,511931 | 0,081331 | 0,021966 | 0,000000000785 |
| 1155 | 2019 | 0,02006583  | 0,141654 | 0,007287 | 0,004302 | 0,090152 | 0,007886 | 0,128179 | 0,000000000783 |
| 1156 | 2019 | 0,003328436 | 0,057693 | 0,036791 | 0,003765 | 0,555118 | 0,026046 | 0,107905 | 0,000000000623 |
| 1156 | 2018 | 0,002397267 | 0,048962 | 0,035555 | 0,003476 | 0,527454 | 0,024081 | 0,097196 | 0,000000000660 |
| 1156 | 2017 | 0,002728229 | 0,052232 | 0,029054 | 0,002929 | 0,502245 | 0,020172 | 0,096176 | 0,000000000644 |

Continua...

...continuação

|      |      |             |          |          |          |          |          |          |                 |
|------|------|-------------|----------|----------|----------|----------|----------|----------|-----------------|
| 1164 | 2019 | 0,002406294 | 0,049054 | 0,206822 | 0,03731  | 0,043028 | 0,010048 | 0,048492 | 0,000000000317  |
| 1164 | 2018 | 0,001211965 | 0,034813 | 0,252977 | 0,036304 | 0,007216 | 0,002208 | 0,049034 | 0,000000000330  |
| 1164 | 2017 | 0,003456168 | 0,058789 | 0,534934 | 0,007382 | 0,011663 | 0,002355 | 0,071241 | 0,000000000318  |
| 1164 | 2015 | 0,020846344 | 0,144383 | 0,080322 | 0,005825 | 0,022961 | 0,00714  | 0,090349 | 0,000000002309  |
| 1164 | 2014 | 0,032587495 | 0,18052  | 0,088396 | 0,017946 | 0,024408 | 0,009802 | 0,105075 | 0,000000002198  |
| 1164 | 2013 | 0,065666413 | 0,256255 | 0,076835 | 0,017557 | 0,029946 | 0,010551 | 0,1229   | 0,000000002141  |
| 1169 | 2019 | 0,013164285 | 0,114736 | 0,016391 | 0        | 0,357595 | 0,062852 | 0,027401 | 0,000000001104  |
| 1169 | 2018 | 0,010062762 | 0,100313 | 0,020389 | 0,006523 | 0,30094  | 0,038794 | 0,026214 | 0,000000001129  |
| 1169 | 2017 | 0,014269176 | 0,119454 | 0,028345 | 0,008178 | 0,319134 | 0,04353  | 0,029357 | 0,000000000924  |
| 1169 | 2016 | 0,009312502 | 0,096501 | 0,033038 | 0,010399 | 0,314576 | 0,044358 | 0,027945 | 0,000000001230  |
| 1169 | 2015 | 0,009950896 | 0,099754 | 0,015729 | 0,00801  | 0,305471 | 0,051633 | 0,025525 | 0,000000001255  |
| 1169 | 2014 | 0,008105132 | 0,090029 | 0,022004 | 0        | 0,298849 | 0,048799 | 0,023442 | 0,000000001286  |
| 1174 | 2019 | 3,61387E-05 | 0,006012 | 0,042857 | 0,011219 | 0,337228 | 0,031565 | 0,08901  | 0,000000001236  |
| 1174 | 2018 | 0,000125357 | -0,0112  | 0,051071 | 0,0103   | 0,311139 | 0,027208 | 0,069338 | 0,000000001353  |
| 1176 | 2019 | 0,018310459 | 0,135316 | 0,160668 | 0,027911 | 0,310056 | 0,026698 | 0,035585 | 0,000000000319  |
| 1182 | 2019 | 0,002396237 | 0,048951 | 0,034346 | 0,001143 | 0,123621 | 0,016385 | 0,045942 | 0,000000000194  |
| 1182 | 2018 | 0,00432363  | 0,065754 | 0,030561 | 0,000722 | 0,117277 | 0,016364 | 0,046071 | 0,000000000182  |
| 1196 | 2019 | 0,024921824 | 0,157866 | 0,005728 | 0,003759 | 0,099338 | 0,039735 | 0,172722 | 0,000000001654  |
| 1196 | 2018 | 0,018782007 | 0,137047 | 0,004465 | 0,007182 | 0,070077 | 0,03203  | 0,188101 | 0,000000001950  |
| 1196 | 2017 | 0,009648439 | 0,098226 | 0,013253 | 0,012278 | 0,08244  | 0,035081 | 0,200741 | 0,000000001932  |
| 1196 | 2016 | 0,003552619 | 0,059604 | 0,025622 | 0,023442 | 0,085953 | 0,034708 | 0,20298  | 0,000000001966  |
| 1196 | 2015 | 0,001421382 | 0,037701 | 0,057886 | 0,001835 | 0,085245 | 0,041705 | 0,197348 | 0,000000001689  |
| 1196 | 2014 | 0,002079695 | 0,045604 | 0,082185 | 0,024606 | 0,08563  | 0,032316 | 0,189304 | 0,000000001648  |
| 1197 | 2017 | 0,016295658 | -0,12765 | 0,079601 | 0,022997 | 0,117381 | 0,033989 | 0,193674 | 0,000000000895  |
| 1199 | 2019 | 0,007972541 | -0,08929 | 0,08299  | 0,022233 | 0,206339 | 0,022091 | 0,282521 | 0,000000000554  |
| 1199 | 2018 | 0,002995709 | -0,05473 | 0,10546  | 0,035982 | 0,171158 | 0,021253 | 0,234886 | 0,000000000548  |
| 1199 | 2017 | 0,007047106 | -0,08395 | 0,145399 | 0,035224 | 0,161614 | 0,020697 | 0,234353 | 0,000000000556  |
| 1199 | 2016 | 0,013572741 | -0,1165  | 0,177673 | 0,034035 | 0,147835 | 0,018592 | 0,216153 | 0,000000000579  |
| 1203 | 2019 | 0,050376461 | 0,224447 | 0,207431 | 0,024175 | 0,129529 | 0,035625 | 0,042124 | 0,000000000835  |
| 1203 | 2018 | 0,047971298 | 0,219024 | 0,219667 | 0,022478 | 0,099133 | 0,029796 | 0,041363 | 0,000000000977  |
| 1209 | 2019 | 0,004209408 | 0,06488  | 0,088126 | 0,016232 | 0,494984 | 0,029073 | 0,07552  | 0,000000000886  |
| 1209 | 2018 | 0,00333116  | 0,057716 | 0,09985  | 0,011503 | 0,465095 | 0,015256 | 0,068437 | 0,000000000984  |
| 1209 | 2017 | 0,002982662 | 0,054614 | 0,100658 | 0,011896 | 0,463258 | 0,013023 | 0,058195 | 0,000000000980  |
| 1209 | 2016 | 0,002912526 | 0,053968 | 0,113461 | 0,011242 | 0,484168 | 0,011372 | 0,053325 | 0,000000000957  |
| 1209 | 2015 | 0,002763046 | 0,052565 | 0,105129 | 0,008214 | 0,439926 | 0,010638 | 0,046365 | 0,0000000001018 |
| 1209 | 2014 | 0,004156963 | 0,064475 | 0,112227 | 0,01056  | 0,471098 | 0,009929 | 0,045984 | 0,0000000001008 |
| 1209 | 2013 | 0,006123835 | 0,078255 | 0,114537 | 0,008901 | 0,443741 | 0,00873  | 0,049265 | 0,0000000001040 |
| 1213 | 2019 | 0,010529552 | 0,102614 | 0,037855 | 0,006411 | 0,201795 | 0,016153 | 0,052846 | 0,000000000310  |
| 1213 | 2018 | 0,020427439 | 0,142925 | 0,037179 | 0,006403 | 0,103476 | 0,018648 | 0,052958 | 0,000000000367  |
| 1213 | 2017 | 0,025834501 | 0,160731 | 0,036383 | 0,005677 | 0,113032 | 0,019532 | 0,052831 | 0,000000000372  |
| 1213 | 2016 | 0,015263615 | 0,123546 | 0,032315 | 0,003898 | 0,114416 | 0,019554 | 0,052413 | 0,000000000452  |
| 1213 | 2015 | 0,019758553 | 0,140565 | 0,024403 | 0,002158 | 0,1361   | 0,02089  | 0,055733 | 0,000000000477  |
| 1213 | 2014 | 0,023492891 | 0,153274 | 0,005888 | 0,001841 | 0,150737 | 0,022928 | 0,058429 | 0,000000000594  |
| 1214 | 2019 | 0,011641699 | 0,107897 | 0,001975 | 0,001661 | 0,396931 | 0,055642 | 0,044758 | 0,000000000216  |
| 1216 | 2015 | 0,001894435 | 0,043525 | 0,066928 | 0,005485 | 0,304534 | 0,028847 | 0,010134 | 0,0000000001077 |
| 1216 | 2014 | 0,003310312 | 0,057535 | 0,066218 | 0,00556  | 0,296456 | 0,027108 | 0,010686 | 0,000000000954  |
| 1216 | 2013 | 0,004017102 | 0,063381 | 0,07013  | 0,005653 | 0,312539 | 0,027293 | 0,01186  | 0,000000000909  |
| 1218 | 2018 | 0,019118495 | 0,13827  | 0,137727 | 0,02895  | 0,195411 | 0,03033  | 0,055175 | 0,000000000431  |
| 1218 | 2017 | 0,017312213 | 0,131576 | 0,099263 | 0,023954 | 0,195621 | 0,031672 | 0,058193 | 0,000000000506  |
| 1218 | 2016 | 0,008584145 | 0,092651 | 0,12959  | 0,026367 | 0,19155  | 0,033134 | 0,063733 | 0,000000000588  |

Continua...

...continuação

|      |      |             |          |          |          |          |          |          |                |
|------|------|-------------|----------|----------|----------|----------|----------|----------|----------------|
| 1219 | 2019 | 0,022384355 | 0,149614 | 0,429503 | 0,105824 | 0,218024 | 0,043212 | 0,026418 | 0,000000000309 |
| 1219 | 2018 | 0,040017105 | 0,200043 | 0,070282 | 0,016473 | 0,212818 | 0,049347 | 0,033621 | 0,000000000481 |
| 1219 | 2017 | 0,04572905  | 0,213844 | 0,075887 | 0,021384 | 0,218265 | 0,057145 | 0,036242 | 0,000000000472 |
| 1219 | 2016 | 0,03752307  | 0,193709 | 0,072615 | 0,014124 | 0,227619 | 0,062229 | 0,033785 | 0,000000000526 |
| 1219 | 2015 | 0,075570666 | 0,274901 | 0,075982 | 0,012628 | 0,257429 | 0,070044 | 0,036665 | 0,000000000515 |
| 1223 | 2019 | 0,042325704 | 0,205732 | 0,021837 | 0,004685 | 0,241634 | 0,017999 | 0,094102 | 0,000000000633 |
| 1223 | 2017 | 0,029841353 | 0,172747 | 0,028655 | 0,006694 | 0,255757 | 0,015174 | 0,096352 | 0,000000000719 |
| 1223 | 2016 | 0,032054961 | 0,179039 | 0,035569 | 0,006787 | 0,273693 | 0,016593 | 0,097734 | 0,000000000797 |
| 1223 | 2015 | 0,031771484 | 0,178246 | 0,006846 | 0,002927 | 0,289914 | 0,01698  | 0,105757 | 0,000000000972 |
| 1223 | 2014 | 0,033359278 | 0,182645 | 0,009494 | 0,003093 | 0,29584  | 0,016726 | 0,106011 | 0,000000001002 |
| 1223 | 2013 | 0,029633567 | 0,172144 | 0,012044 | 0,00404  | 0,293793 | 0,013533 | 0,101813 | 0,000000001099 |
| 1228 | 2019 | 0,008222696 | 0,090679 | 0,001137 | 0,001072 | 0,206805 | 0,03256  | 0,047988 | 0,000000000419 |
| 1228 | 2018 | 0,004486806 | 0,066984 | 0,001394 | 0,001121 | 0,185379 | 0,029177 | 0,035528 | 0,000000000447 |
| 1228 | 2017 | 0,004932763 | 0,070234 | 0,001734 | 0,001107 | 0,218455 | 0,030717 | 0,04463  | 0,000000000433 |
| 1228 | 2016 | 0,006329171 | 0,079556 | 0,00178  | 0,001274 | 0,217792 | 0,033245 | 0,035961 | 0,000000000481 |
| 1228 | 2015 | 0,005941517 | 0,077081 | 0,001898 | 0,001479 | 0,263149 | 0,034229 | 0,036669 | 0,000000000550 |
| 1228 | 2014 | 0,007140732 | 0,084503 | 0,00228  | 0,001631 | 0,261723 | 0,034691 | 0,038865 | 0,000000000548 |
| 1228 | 2013 | 0,007209669 | 0,08491  | 0,002189 | 0,001407 | 0,241114 | 0,033005 | 0,040722 | 0,000000000595 |
| 1246 | 2015 | 0,002822386 | 0,053126 | 0,005902 | 0,002176 | 0,295627 | 0,061547 | 0,020862 | 0,000000000874 |
| 1246 | 2014 | 0,005338237 | 0,073063 | 0,005171 | 0,002008 | 0,288311 | 0,05768  | 0,02015  | 0,000000000898 |
| 1251 | 2018 | 0,006667919 | 0,081657 | 0,043632 | 0,017323 | 0,100138 | 0,01407  | 0,110724 | 0,000000000842 |
| 1251 | 2017 | 0,00476942  | 0,069061 | 0,059869 | 0        | 0,099525 | 0,032674 | 0,115565 | 0,000000000767 |
| 1251 | 2016 | 0,00088368  | 0,029727 | 0,063065 | 0,019317 | 0,086513 | 0,024125 | 0,119332 | 0,000000000810 |
| 1251 | 2015 | 2,03411E-07 | -0,00045 | 0,066484 | 0,040932 | 0,08154  | 0,021034 | 0,132328 | 0,000000000775 |
| 1251 | 2014 | 0,000333953 | 0,018274 | 0,118289 | 0,049814 | 0,061257 | 0,0188   | 0,092649 | 0,000000000851 |
| 1252 | 2019 | 0,018870499 | 0,13737  | 1,17E-05 | 0,000934 | 0,437324 | 0,077911 | 0,012537 | 0,000000000742 |
| 1254 | 2019 | 0,014117489 | 0,118817 | 0,068727 | 0,011636 | 0,216336 | 0,028444 | 0,091257 | 0,000000000536 |
| 1254 | 2018 | 0,081028787 | 0,284656 | 0,123206 | 0,01193  | 0,131836 | 0,017512 | 0,14601  | 0,000000001069 |
| 1254 | 2017 | 0,088273982 | 0,297109 | 0,069752 | 0,011447 | 0,109623 | 0,017129 | 0,143176 | 0,000000001193 |
| 1255 | 2014 | 0,01520833  | 0,123322 | 0,005574 | 0,004379 | 0,207086 | 0,018839 | 0,035632 | 0,000000001210 |
| 1255 | 2013 | 0,010246651 | 0,101226 | 0,005034 | 0,005172 | 0,224416 | 0,022164 | 0,037927 | 0,000000001234 |
| 1256 | 2019 | 0,001211572 | 0,034808 | 0,034    | 0,003963 | 0,721661 | 0,050752 | 0,011257 | 0,000000000325 |
| 1256 | 2018 | 0,003204079 | 0,056605 | 0,033802 | 0        | 0,612975 | 0,039564 | 0,013355 | 0,000000000350 |
| 1257 | 2019 | 0,018634239 | 0,136507 | 0,045125 | 0,008479 | 0,238187 | 0,031839 | 0,055261 | 0,000000000503 |
| 1257 | 2018 | 0,03751747  | 0,193694 | 0,032902 | 0,006873 | 0,240388 | 0,030292 | 0,055474 | 0,000000000519 |
| 1257 | 2017 | 0,033370709 | 0,182677 | 0,025824 | 0,005926 | 0,229963 | 0,028147 | 0,054507 | 0,000000000490 |
| 1257 | 2016 | 0,034757508 | 0,186434 | 0,022157 | 0,006162 | 0,238192 | 0,028621 | 0,056317 | 0,000000000503 |
| 1257 | 2015 | 0,048604486 | 0,220464 | 0,032429 | 0,013769 | 0,28386  | 0,036803 | 0,069761 | 0,000000000614 |
| 1257 | 2014 | 0,030684768 | 0,175171 | 0,031453 | 0,003483 | 0,18751  | 0,025771 | 0,064358 | 0,000000001327 |
| 1257 | 2013 | 0,020319658 | 0,142547 | 0,020661 | 0,010282 | 0,171406 | 0,022641 | 0,056079 | 0,000000000986 |
| 1258 | 2019 | 0,035134688 | 0,187442 | 0,015511 | 0,000789 | 0,202252 | 0,049336 | 0,071594 | 0,000000000837 |
| 1261 | 2017 | 0,008337482 | 0,09131  | 0,002598 | 0,000237 | 0,246589 | 0,016344 | 0,016957 | 0,000000000374 |
| 1266 | 2019 | 0,017065646 | 0,130636 | 0,208187 | 0,004783 | 0,147254 | 0,013146 | 0,007053 | 0,000000000136 |
| 1266 | 2018 | 0,017805709 | 0,133438 | 0,21983  | 0,00515  | 0,085888 | 0,013478 | 0,008383 | 0,000000000138 |
| 1274 | 2018 | 0,004446865 | 0,066685 | 0,024554 | 0,017551 | 0,058751 | 0,009599 | 0,229754 | 0,000000000527 |
| 1280 | 2019 | 0,011250119 | 0,106067 | 0,02696  | 0,00736  | 0,250129 | 0,035113 | 0,055442 | 0,000000001253 |
| 1280 | 2018 | 0,011502178 | 0,107248 | 0,027794 | 0,006848 | 0,240194 | 0,036466 | 0,047567 | 0,000000001298 |
| 1282 | 2019 | 0,036226504 | 0,190333 | 0,02124  | 0,002543 | 0,440952 | 0,022429 | 0,029415 | 0,000000000813 |
| 1282 | 2018 | 0,032029379 | 0,178968 | 0,007856 | 0,002528 | 0,350458 | 0,024112 | 0,026737 | 0,000000000784 |
| 1282 | 2017 | 0,039268992 | 0,198164 | 0,007922 | 0        | 0,335138 | 0,024933 | 0,038084 | 0,000000000828 |

Continua...

...continuação

|      |      |             |          |          |          |          |          |          |                 |
|------|------|-------------|----------|----------|----------|----------|----------|----------|-----------------|
| 1290 | 2019 | 0,022260249 | 0,149199 | 0,019289 | 0,006304 | 0,448008 | 0,048959 | 0,023822 | 0,000000000839  |
| 1291 | 2019 | 0,054355575 | 0,233143 | 0,034526 | 0,017836 | 0,294665 | 0,032699 | 0,106517 | 0,000000000878  |
| 1291 | 2018 | 0,049978036 | 0,223558 | 0,044341 | 0,008749 | 0,279911 | 0,027209 | 0,088858 | 0,000000000768  |
| 1291 | 2017 | 0,079209785 | 0,281442 | 0,038782 | 0,010289 | 0,318843 | 0,032379 | 0,093946 | 0,000000000773  |
| 1291 | 2016 | 0,072939393 | 0,270073 | 0,037251 | 0,028615 | 0,266569 | 0,028615 | 0,104654 | 0,000000000880  |
| 1291 | 2014 | 0,071537255 | 0,267464 | 0,049578 | 0,010885 | 0,26471  | 0,025644 | 0,100336 | 0,000000000880  |
| 1291 | 2013 | 0,076495017 | 0,276577 | 0,059511 | 0,012564 | 0,256844 | 0,026762 | 0,101367 | 0,000000000756  |
| 1292 | 2018 | 0,017007033 | 0,130411 | 0,010568 | 0,001406 | 0,427936 | 0,052945 | 0,02098  | 0,000000000505  |
| 1292 | 2017 | 0,01798199  | 0,134097 | 0,012125 | 0,001341 | 0,47772  | 0,052689 | 0,021847 | 0,000000000537  |
| 1293 | 2016 | 3,89536E-07 | 0,000624 | 0,027459 | 0,000176 | 0,614302 | 0,043467 | 0,014484 | 0,000000000366  |
| 1294 | 2019 | 0,007311727 | 0,085509 | 0,013463 | 0,001241 | 0,572083 | 0,061328 | 0,044526 | 0,000000000208  |
| 1294 | 2018 | 0,019730113 | 0,140464 | 0,011417 | 0,001155 | 0,514643 | 0,054628 | 0,047091 | 0,000000000225  |
| 1294 | 2017 | 0,052080075 | 0,228211 | 0,00934  | 0,000414 | 0,527182 | 0,049002 | 0,060736 | 0,000000000204  |
| 1294 | 2016 | 0,049262329 | 0,221951 | 0,007962 | 0,000457 | 0,495656 | 0,038527 | 0,055489 | 0,000000000284  |
| 1294 | 2015 | 0,052457732 | 0,229037 | 0,01031  | 0,000863 | 0,48481  | 0,039585 | 0,056762 | 0,000000000396  |
| 1294 | 2014 | 0,048175646 | 0,21949  | 0,011666 | 0,00119  | 0,48268  | 0,036575 | 0,054811 | 0,000000000468  |
| 1294 | 2013 | 0,059371923 | 0,243664 | 0,017205 | 0,001409 | 0,399874 | 0,035407 | 0,053019 | 0,000000000581  |
| 1295 | 2019 | 0,002198539 | 0,046889 | 0,254087 | 0,022527 | 0,260364 | 0,033198 | 0,001332 | 0,000000000350  |
| 1295 | 2017 | 0,005802108 | 0,076172 | 0,191329 | 0,016032 | 0,259403 | 0,039643 | 0,00151  | 0,000000000332  |
| 1296 | 2019 | 0,005233896 | 0,072346 | 0,117196 | 0,033193 | 0,0786   | 0,015733 | 0,032232 | 0,000000000331  |
| 1296 | 2018 | 0,0050388   | 0,070985 | 0,140929 | 0,032294 | 0,03982  | 0,006657 | 0,037115 | 0,000000000397  |
| 1296 | 2013 | 0,010644272 | 0,103171 | 0,131091 | 0,016488 | 0,035627 | 0,006595 | 0,038197 | 0,000000000371  |
| 1300 | 2019 | 0,024315859 | 0,155935 | 1,000108 | 0,044135 | 0,016856 | 0,005923 | 0,047737 | 0,000000000212  |
| 1300 | 2018 | 0,049175775 | 0,221756 | 0,609925 | 0,030229 | 0,009661 | 0,002424 | 0,076667 | 0,000000000542  |
| 1300 | 2017 | 0,026639036 | 0,163215 | 0,482949 | 0,045212 | 0,01325  | 0,003294 | 0,089037 | 0,000000000744  |
| 1300 | 2016 | 0,014065267 | 0,118597 | 0,549755 | 0,044122 | 0,012666 | 0,003336 | 0,081437 | 0,000000000888  |
| 1301 | 2019 | 0,038015957 | 0,194977 | 0,23283  | 0,003812 | 0,486337 | 0,101231 | 0,002767 | 0,000000000414  |
| 1301 | 2018 | 0,061815423 | 0,248627 | 0,022072 | 0,003475 | 0,341494 | 0,106755 | 0,003655 | 0,000000000473  |
| 1301 | 2017 | 0,067388419 | 0,259593 | 0,027618 | 0,003783 | 0,358252 | 0,112712 | 0,004491 | 0,000000000501  |
| 1301 | 2016 | 0,040368561 | 0,200919 | 0,028094 | 0,004538 | 0,348301 | 0,124471 | 0,003529 | 0,000000000576  |
| 1301 | 2015 | 0,086152638 | 0,293518 | 0,023127 | 0,004224 | 0,40662  | 0,122933 | 0,004685 | 0,000000000689  |
| 1301 | 2014 | 0,059495696 | 0,243917 | 0,025012 | 0,004738 | 0,405707 | 0,122984 | 0,004534 | 0,000000000677  |
| 1305 | 2019 | 1,20901E-05 | -0,00348 | 0,183126 | 0,055506 | 0,137924 | 0,046859 | 0,018544 | 0,000000000289  |
| 1305 | 2015 | 0,008520666 | 0,092307 | 0,211176 | 0,020434 | 0,079947 | 0,024198 | 0,033925 | 0,000000000209  |
| 1306 | 2019 | 0,00815     | 0,090277 | 0,130797 | 0,039869 | 0,214139 | 0,035838 | 0,078329 | 0,000000000152  |
| 1306 | 2018 | 0,001628043 | 0,040349 | 0,066977 | 0,074572 | 0,224211 | 0,034234 | 0,073913 | 0,000000000172  |
| 1306 | 2017 | 0,000566044 | 0,023792 | 0,133346 | 0,083597 | 0,212977 | 0,027035 | 0,068988 | 0,000000000157  |
| 1307 | 2019 | 0,000917215 | 0,030286 | 0,020138 | 0,004687 | 0,502362 | 0,05073  | 0,030838 | 0,000000000431  |
| 1307 | 2018 | 0,002069716 | 0,045494 | 0,015382 | 0,005631 | 0,472221 | 0,040725 | 0,036021 | 0,000000000428  |
| 1307 | 2017 | 0,005434884 | 0,073722 | 0,018174 | 0,010246 | 0,494212 | 0,045307 | 0,037953 | 0,000000000399  |
| 1307 | 2016 | 0,004982825 | 0,070589 | 0,023934 | 0,010128 | 0,481415 | 0,040839 | 0,035363 | 0,000000000499  |
| 1307 | 2015 | 0,006153109 | 0,078442 | 0,028129 | 0,01036  | 0,479797 | 0,042342 | 0,035633 | 0,000000000500  |
| 1307 | 2014 | 0,010413962 | 0,102049 | 0,028645 | 0,008903 | 0,467743 | 0,039333 | 0,037825 | 0,000000000574  |
| 1311 | 2017 | 6,59049E-05 | -0,00812 | 0,019538 | 0,035918 | 0,165446 | 0,02311  | 0,013695 | 0,0000000002019 |
| 1311 | 2015 | 0,034316799 | -0,18525 | 0,072348 | 0,066985 | 0,174839 | 0,041876 | 0,0115   | 0,0000000001699 |
| 1311 | 2014 | 0,038849273 | -0,1971  | 0,112862 | 0,056851 | 0,169541 | 0,025246 | 0,010525 | 0,0000000001274 |
| 1311 | 2013 | 0,062456495 | -0,24991 | 0,167494 | 0,06659  | 0,178242 | 0,034879 | 0,010939 | 0,0000000001123 |

Continua...

...continuação

|      |      |             |          |          |          |          |          |          |                |
|------|------|-------------|----------|----------|----------|----------|----------|----------|----------------|
| 1315 | 2019 | 0,030804327 | 0,175512 | 0,008782 | 0,000326 | 0,387807 | 0,053209 | 0,044341 | 0,000000000710 |
| 1315 | 2018 | 0,038101946 | 0,195197 | 0,000709 | 0,000313 | 0,175809 | 0,049114 | 0,040769 | 0,000000000817 |
| 1315 | 2017 | 0,023228056 | 0,152408 | 0,000562 | 0,000492 | 0,18216  | 0,059725 | 0,045094 | 0,000000000851 |
| 1315 | 2016 | 0,03077013  | 0,175414 | 0,000871 | 0,000639 | 0,180681 | 0,061699 | 0,044724 | 0,000000000878 |
| 1315 | 2015 | 0,018018724 | 0,134234 | 0,001211 | 0,000455 | 0,203139 | 0,068334 | 0,036098 | 0,000000000994 |
| 1315 | 2014 | 0,036932277 | 0,192178 | 0,001151 | 0,000279 | 0,247211 | 0,065429 | 0,036886 | 0,000000000919 |
| 1315 | 2013 | 0,028900529 | 0,170002 | 0,000598 | 0,000139 | 0,233341 | 0,078793 | 0,034573 | 0,000000001048 |
| 1321 | 2013 | 0,001070681 | 0,032721 | 0,004736 | 0,001116 | 0,541581 | 0,040297 | 0,009054 | 0,000000000256 |
| 1324 | 2019 | 0,007774701 | 0,088174 | 0,203689 | 0,026569 | 0,078915 | 0,012638 | 0,028467 | 0,000000000214 |
| 1324 | 2018 | 0,007650357 | 0,087466 | 0,222761 | 0,026382 | 0,063972 | 0,013385 | 0,030068 | 0,000000000203 |
| 1324 | 2017 | 0,007426446 | 0,086177 | 0,231237 | 0,026528 | 0,073869 | 0,017685 | 0,030511 | 0,000000000229 |
| 1326 | 2019 | 0,018128971 | 0,134644 | 0,148647 | 0,011849 | 0,259055 | 0,019658 | 0,03393  | 0,000000000254 |
| 1326 | 2018 | 0,017777778 | 0,133333 | 0,141467 | 0,014234 | 0,252723 | 0,020915 | 0,034277 | 0,000000000286 |
| 1326 | 2017 | 0,00992017  | 0,0996   | 0,12979  | 0,015224 | 0,21365  | 0,066572 | 0,029674 | 0,000000000295 |
| 1326 | 2016 | 0,014496714 | 0,120402 | 0,297989 | 0,01954  | 0,278448 | 0,022414 | 0,036207 | 0,000000000229 |
| 1326 | 2015 | 0,028469601 | 0,168729 | 0,12995  | 0,009076 | 0,209158 | 0,02104  | 0,014851 | 0,000000000385 |
| 1326 | 2014 | 0,041741032 | 0,204306 | 0,137799 | 0,011005 | 0,245933 | 0,023445 | 0,026316 | 0,000000000444 |
| 1326 | 2013 | 0,042569808 | 0,206325 | 0,08761  | 0,005702 | 0,229653 | 0,024365 | 0,020218 | 0,000000000518 |
| 1327 | 2016 | 0,006701292 | 0,081861 | 0,073657 | 0,010326 | 0,176549 | 0,039425 | 0,15848  | 0,000000000668 |
| 1327 | 2015 | 0,008833117 | 0,093985 | 0,074378 | 0,006841 | 0,177258 | 0,050932 | 0,153735 | 0,000000000688 |
| 1327 | 2014 | 0,011084846 | 0,105285 | 0,055935 | 0,001275 | 0,188697 | 0,039679 | 0,161072 | 0,000000000687 |
| 1330 | 2019 | 0,006507595 | 0,08067  | 0,001472 | 0,001863 | 0,763114 | 0,137709 | 0,020514 | 0,000000000547 |
| 1332 | 2019 | 0,044604717 | 0,211198 | 0,013182 | 0,006124 | 0,088141 | 0,012876 | 0,184979 | 0,000000000640 |
| 1332 | 2018 | 0,028484846 | 0,168775 | 0,013213 | 0,00613  | 0,059203 | 0,006959 | 0,166003 | 0,000000000641 |
| 1332 | 2017 | 0,02018365  | 0,142069 | 0,015802 | 0,006646 | 0,04872  | 0,006962 | 0,15351  | 0,000000000718 |
| 1333 | 2019 | 0,036257174 | 0,190413 | 0,475188 | 0,020974 | 0,05454  | 0,009946 | 0,031528 | 0,000000000329 |
| 1333 | 2018 | 0,042540331 | 0,206253 | 0,310988 | 0,019541 | 0,047928 | 0,006323 | 0,031044 | 0,000000000410 |
| 1340 | 2019 | 0,011916985 | 0,109165 | 0,089714 | 0,023482 | 0,18546  | 0,02812  | 0,054381 | 0,000000000393 |
| 1340 | 2018 | 0,009845975 | 0,099227 | 0,127883 | 0,024418 | 0,161007 | 0,015068 | 0,051872 | 0,000000000366 |
| 1340 | 2017 | 0,012923469 | 0,113681 | 0,121249 | 0,028435 | 0,159316 | 0,015325 | 0,067469 | 0,000000000397 |
| 1340 | 2016 | 0,008914592 | 0,094417 | 0,142468 | 0,024897 | 0,13875  | 0,013506 | 0,063274 | 0,000000000463 |
| 1340 | 2015 | 0,01054169  | 0,102673 | 0,139643 | 0,026473 | 0,111327 | 0,013169 | 0,068264 | 0,000000000479 |
| 1340 | 2014 | 0,015454049 | 0,124314 | 0,149134 | 0,020839 | 0,116232 | 0,0129   | 0,066663 | 0,000000000461 |
| 1340 | 2013 | 0,013736393 | 0,117202 | 0,134563 | 0,024756 | 0,120538 | 0,013829 | 0,07346  | 0,000000000458 |
| 1341 | 2019 | 0,211224821 | 0,459592 | 0,030462 | 0,012474 | 0,308227 | 0,054292 | 0,051737 | 0,000000000471 |
| 1341 | 2018 | 0,196610271 | 0,443408 | 0,03738  | 0,012381 | 0,257302 | 0,040198 | 0,050367 | 0,000000000530 |
| 1341 | 2017 | 0,1882309   | 0,433856 | 0,045065 | 0,013023 | 0,267436 | 0,038737 | 0,05131  | 0,000000000556 |
| 1341 | 2016 | 0,205952889 | 0,45382  | 0,051374 | 0,014381 | 0,276395 | 0,039858 | 0,048405 | 0,000000000530 |
| 1341 | 2015 | 0,205048987 | 0,452823 | 0,051674 | 0,012646 | 0,27332  | 0,036091 | 0,044666 | 0,000000000609 |
| 1341 | 2014 | 0,164668798 | 0,405794 | 0,059862 | 0,012116 | 0,242045 | 0,030466 | 0,037403 | 0,000000000629 |
| 1341 | 2013 | 0,165034352 | 0,406244 | 0,069454 | 0,012616 | 0,24118  | 0,029047 | 0,036637 | 0,000000000569 |
| 1341 | 2012 | 0,162948275 | 0,403669 | 0,083052 | 0,0173   | 0,243094 | 0,034814 | 0,040409 | 0,000000000586 |
| 1342 | 2019 | 0,00792574  | 0,089027 | 0,068892 | 0,014076 | 0,067821 | 0,017237 | 0,109707 | 0,000000000410 |
| 1342 | 2018 | 0,02030077  | 0,142481 | 0,076235 | 0,01131  | 0,061666 | 0,014611 | 0,09154  | 0,000000000447 |
| 1343 | 2018 | 0,007589812 | 0,08712  | 0,004166 | 0,001516 | 0,123714 | 0,014849 | 0,102296 | 0,000000001630 |

Continua...

...continuação

|      |      |             |          |          |          |          |          |          |                |
|------|------|-------------|----------|----------|----------|----------|----------|----------|----------------|
| 1351 | 2019 | 0,003356963 | 0,057939 | 0,043588 | 0,01429  | 0,078546 | 0,023184 | 0,017797 | 0,000000000291 |
| 1351 | 2018 | 0,003903154 | 0,062475 | 0,04751  | 0,015068 | 0,051157 | 0,015509 | 0,019575 | 0,000000000313 |
| 1351 | 2017 | 0,00519467  | 0,072074 | 0,072074 | 0,017313 | 0,051471 | 0,018107 | 0,021471 | 0,000000000289 |
| 1351 | 2016 | 0,005095771 | 0,071385 | 0,076125 | 0,014962 | 0,044952 | 0,016465 | 0,017735 | 0,000000000320 |
| 1351 | 2015 | 0,006145143 | 0,078391 | 0,071529 | 0,014021 | 0,04502  | 0,030762 | 0,014627 | 0,000000000312 |
| 1351 | 2014 | 0,005929578 | 0,077004 | 0,067783 | 0,011186 | 0,045343 | 0,015019 | 0,012129 | 0,000000000306 |
| 1351 | 2013 | 0,009854515 | 0,09927  | 0,067239 | 0,011709 | 0,050675 | 0,018144 | 0,01161  | 0,000000000280 |
| 1353 | 2019 | 0,008580119 | 0,092629 | 0,002496 | 0,001211 | 0,432308 | 0,033644 | 0,028933 | 0,000000000300 |
| 1353 | 2018 | 0,010554354 | 0,102734 | 0,003049 | 0,002121 | 0,390078 | 0,030716 | 0,028454 | 0,000000000315 |
| 1353 | 2017 | 0,019853444 | 0,140902 | 0,003044 | 0,001137 | 0,396081 | 0,030607 | 0,028246 | 0,000000000350 |
| 1356 | 2018 | 0,000754834 | 0,027474 | 0,011011 | 0,004294 | 0,174627 | 0,030134 | 0,100624 | 0,000000000365 |
| 1359 | 2019 | 0,03443522  | 0,185567 | 0,014954 | 0,001977 | 0,093049 | 0,007971 | 0,075023 | 0,000000000093 |
| 1359 | 2018 | 0,038926733 | 0,197299 | 0,01447  | 0,00105  | 0,096369 | 0,007052 | 0,072038 | 0,000000000107 |
| 1360 | 2019 | 0,018287436 | 0,135231 | 0,212495 | 0,020015 | 0,086878 | 0,003609 | 0,056296 | 0,000000000057 |
| 1360 | 2018 | 0,011543095 | 0,107439 | 0,264676 | 0,023267 | 0,106959 | 0,005662 | 0,053091 | 0,000000000072 |
| 1363 | 2018 | 0,001544377 | 0,039299 | 0,020054 | 0,003354 | 0,180453 | 0,017181 | 0,031867 | 0,000000000257 |
| 1363 | 2017 | 0,00094289  | 0,030707 | 0,022807 | 0,001757 | 0,180449 | 0,016667 | 0,032185 | 0,000000000268 |
| 1367 | 2019 | 0,029717089 | 0,172386 | 0,06707  | 0,00704  | 0,34755  | 0,036958 | 0,017853 | 0,000000000461 |
| 1367 | 2018 | 0,075140467 | 0,274118 | 0,050898 | 0,004513 | 0,306143 | 0,035336 | 0,011492 | 0,000000000381 |
| 1367 | 2017 | 0,075340956 | 0,274483 | 0,040749 | 0,004355 | 0,357039 | 0,035643 | 0,009052 | 0,000000000410 |
| 1367 | 2015 | 0,038685233 | 0,196686 | 0,034473 | 0        | 0,353382 | 0,032449 | 0,005658 | 0,000000000503 |
| 1369 | 2016 | 0,052701933 | 0,229569 | 0,148733 | 0,010004 | 0,208969 | 0,029742 | 0,042275 | 0,000000000433 |
| 1370 | 2019 | 0,016031743 | 0,126617 | 0,113454 | 0,016641 | 0,220757 | 0,0491   | 0,062218 | 0,000000000325 |
| 1370 | 2018 | 0,008324417 | 0,091238 | 0,189731 | 0,017237 | 0,239093 | 0,036957 | 0,063885 | 0,000000000313 |
| 1370 | 2017 | 0,003400342 | 0,058312 | 0,190605 | 0,015236 | 0,262777 | 0,036304 | 0,079605 | 0,000000000302 |
| 1370 | 2016 | 0,005260905 | 0,072532 | 0,196274 | 0,018138 | 0,26719  | 0,037946 | 0,088428 | 0,000000000294 |
| 1370 | 2015 | 0,022964631 | 0,151541 | 0,078304 | 0,016908 | 0,259063 | 0,033504 | 0,083122 | 0,000000000321 |
| 1370 | 2014 | 0,022372429 | 0,149574 | 0,042459 | 0,012584 | 0,255513 | 0,030243 | 0,068258 | 0,000000000329 |
| 1370 | 2013 | 0,02295841  | 0,15152  | 0,017251 | 0,010539 | 0,255419 | 0,028222 | 0,045154 | 0,000000000349 |
| 1375 | 2019 | 0,000665638 | 0,0258   | 0,067899 | 0,002225 | 0,037584 | 0,003318 | 0,05462  | 0,000000000035 |
| 1376 | 2019 | 0,006471825 | 0,080448 | 0,102749 | 0,005758 | 0,205235 | 0,011405 | 0,018173 | 0,000000000059 |
| 1376 | 2018 | 0,006875046 | 0,082916 | 0,115562 | 0,005022 | 0,162807 | 0,012999 | 0,018418 | 0,000000000070 |
| 1376 | 2016 | 0,008721568 | 0,093389 | 0,118829 | 0,006097 | 0,179923 | 0,014089 | 0,018348 | 0,000000000093 |
| 1376 | 2015 | 0,011219214 | 0,105921 | 0,126791 | 0,006943 | 0,179495 | 0,01379  | 0,022981 | 0,000000000096 |
| 1376 | 2014 | 0,014113336 | 0,1188   | 0,14798  | 0,011694 | 0,158981 | 0,012595 | 0,023228 | 0,000000000106 |
| 1376 | 2013 | 0,015968139 | 0,126365 | 0,162469 | 0,007941 | 0,144238 | 0,014053 | 0,019098 | 0,000000000125 |
| 1379 | 2019 | 0,002437941 | 0,049376 | 0,065219 | 0,013132 | 0,172521 | 0,050948 | 0,013538 | 0,000000000379 |
| 1383 | 2019 | 0,004180775 | 0,064659 | 0,121323 | 0,013316 | 0,318535 | 0,024385 | 0,012267 | 0,000000000165 |
| 1383 | 2018 | 0,004366439 | 0,066079 | 0,147831 | 0,011436 | 0,330903 | 0,02101  | 0,015611 | 0,000000000188 |
| 1383 | 2017 | 0,004977333 | 0,07055  | 0,079663 | 0,012573 | 0,334118 | 0,022238 | 0,021282 | 0,000000000227 |
| 1383 | 2016 | 0,004353535 | 0,065981 | 0,074128 | 0,01696  | 0,305506 | 0,023375 | 0,021428 | 0,000000000252 |
| 1383 | 2014 | 0,003323363 | 0,057649 | 0,073748 | 0,01706  | 0,301597 | 0,022768 | 0,01323  | 0,000000000267 |
| 1383 | 2013 | 0,0033288   | 0,057696 | 0,085625 | 0,015956 | 0,311897 | 0,023485 | 0,015744 | 0,000000000257 |
| 1387 | 2018 | 0,002763415 | 0,052568 | 0,365643 | 0,029859 | 0,062393 | 0,007233 | 0,047714 | 0,000000000223 |
| 1387 | 2017 | 0,000805283 | 0,028378 | 0,327007 | 0,024733 | 0,051029 | 0,006859 | 0,039112 | 0,000000000231 |
| 1387 | 2016 | 0,002625089 | 0,051236 | 0,735743 | 0,014224 | 0,103858 | 0,01335  | 0,026398 | 0,000000000186 |
| 1387 | 2015 | 0,017099988 | 0,130767 | 0,148426 | 0,008102 | 0,130292 | 0,016954 | 0,025699 | 0,000000000271 |

Continua...

...continuação

|      |      |             |          |          |          |          |          |          |                |
|------|------|-------------|----------|----------|----------|----------|----------|----------|----------------|
| 1388 | 2019 | 0,001142025 | 0,033794 | 0,174265 | 0,073605 | 0,128725 | 0,024936 | 0,077986 | 0,000000000050 |
| 1388 | 2018 | 0,001580472 | 0,039755 | 0,196011 | 0,066215 | 0,106891 | 0,020975 | 0,073543 | 0,000000000046 |
| 1388 | 2017 | 0,000791895 | 0,028141 | 0,241211 | 0,064263 | 0,094419 | 0,025137 | 0,064345 | 0,000000000042 |
| 1388 | 2016 | 6,51845E-06 | 0,002553 | 0,288425 | 0,062689 | 0,092384 | 0,023921 | 0,059665 | 0,000000000041 |
| 1388 | 2015 | 0,004050666 | 0,063645 | 0,52877  | 0,01534  | 0,175775 | 0,015761 | 0,048064 | 0,000000000038 |
| 1388 | 2014 | 0,025630709 | 0,160096 | 0,085894 | 0,027882 | 0,168341 | 0,032829 | 0,113027 | 0,000000000145 |
| 1388 | 2013 | 0,010378772 | 0,101876 | 0,117072 | 0,041557 | 0,162506 | 0,038145 | 0,09924  | 0,000000000155 |
| 1391 | 2019 | 0,006074019 | 0,077936 | 0,119225 | 0,010057 | 0,376149 | 0,04911  | 0,030912 | 0,000000000167 |
| 1391 | 2018 | 0,008286576 | 0,091031 | 0,073681 | 0,000626 | 0,36349  | 0,040321 | 0,035706 | 0,000000000210 |
| 1391 | 2017 | 0,014930904 | 0,122192 | 0,059795 | 0,000537 | 0,329194 | 0,046319 | 0,04101  | 0,000000000263 |
| 1391 | 2016 | 0,012636424 | 0,112412 | 0,037663 | 0,002925 | 0,313425 | 0,049583 | 0,041252 | 0,000000000295 |
| 1391 | 2015 | 0,011206329 | 0,10586  | 0,017518 | 0,001168 | 0,321721 | 0,048221 | 0,055792 | 0,000000000352 |
| 1392 | 2018 | 0,012582972 | 0,112174 | 0,081498 | 0,007693 | 0,180624 | 0,012642 | 0,03126  | 0,000000000435 |
| 1397 | 2019 | 0,009921246 | 0,099605 | 0,052479 | 0,006597 | 0,201123 | 0,027148 | 0,012346 | 0,000000000303 |
| 1401 | 2019 | 0,004419974 | 0,066483 | 0,177509 | 0,046814 | 0,049802 | 0,009847 | 0,040774 | 0,000000000098 |
| 1401 | 2018 | 0,005896034 | 0,076786 | 0,146061 | 0,047546 | 0,031779 | 0,012449 | 0,041001 | 0,000000000126 |
| 1403 | 2019 | 0,001213089 | 0,034829 | 0,0171   | 0        | 0,168845 | 0,024659 | 0,012042 | 0,000000000308 |
| 1408 | 2019 | 0,00524106  | 0,072395 | 0,082475 | 0,037757 | 0,118617 | 0,022275 | 0,107813 | 0,000000000563 |
| 1408 | 2018 | 0,002338912 | 0,048362 | 0,110274 | 0,037783 | 0,093754 | 0,020689 | 0,097454 | 0,000000000551 |
| 1408 | 2017 | 0,000445124 | 0,021098 | 0,113764 | 0,023082 | 0,082505 | 0,017856 | 0,064504 | 0,000000000494 |
| 1408 | 2016 | 0,000433662 | 0,020825 | 0,016396 | 0,01492  | 0,072174 | 0,0155   | 0,071858 | 0,000000000474 |
| 1408 | 2014 | 0,000182543 | -0,01351 | 0,039614 | 0,025885 | 0,065237 | 0,035329 | 0,075774 | 0,000000000451 |
| 1408 | 2013 | 0,000211664 | -0,01455 | 0,075416 | 0,025025 | 0,122497 | 0,030752 | 0,068629 | 0,000000000424 |
| 1409 | 2019 | 0,001212461 | 0,03482  | 0,122896 | 1,62E-05 | 0,1123   | 0,04186  | 0,01483  | 0,000000000347 |
| 1409 | 2016 | 0,005193926 | 0,072069 | 0,042915 | 0,003349 | 0,107351 | 0,024289 | 0,010401 | 0,000000000332 |
| 1409 | 2015 | 0,005724112 | 0,075658 | 0,040955 | 0,001907 | 0,108021 | 0,022904 | 0,008804 | 0,000000000330 |
| 1414 | 2019 | 0,006862721 | 0,082842 | 0,16949  | 0,030329 | 0,257428 | 0,041656 | 0,027906 | 0,000000000054 |
| 1414 | 2018 | 0,009697879 | 0,098478 | 0,152862 | 0,000838 | 0,217239 | 0,033875 | 0,023311 | 0,000000000066 |
| 1414 | 2017 | 0,011870185 | 0,10895  | 0,153867 | 0,02804  | 0,243729 | 0,042055 | 0,026515 | 0,000000000070 |
| 1414 | 2016 | 0,008734162 | 0,093457 | 0,104494 | 0,002562 | 0,232835 | 0,037475 | 0,004236 | 0,000000000089 |
| 1414 | 2015 | 0,007393156 | 0,085983 | 0,09476  | 0,002831 | 0,227759 | 0,039429 | 0,00675  | 0,000000000090 |
| 1414 | 2014 | 0,00444254  | 0,066652 | 0,094827 | 0,021102 | 0,248603 | 0,037801 | 0,004861 | 0,000000000096 |
| 1414 | 2013 | 0,004269711 | 0,065343 | 0,083296 | 0,020586 | 0,246162 | 0,041028 | 0,010014 | 0,000000000088 |
| 1416 | 2019 | 0,001497614 | 0,038699 | 0,26217  | 0,027938 | 0,095159 | 0,007646 | 0,016819 | 0,000000000088 |
| 1416 | 2018 | 0,001816721 | 0,042623 | 0,252863 | 0,029506 | 0,073332 | 0,00796  | 0,019335 | 0,000000000091 |
| 1416 | 2017 | 0,003072467 | 0,05543  | 0,25809  | 0,027884 | 0,065344 | 0,007004 | 0,013154 | 0,000000000086 |
| 1418 | 2014 | 0,060458793 | 0,245884 | 0,026148 | 0,005884 | 0,042652 | 0,017501 | 0,131896 | 0,000000000432 |
| 1418 | 2013 | 0,049977446 | 0,223556 | 0,029561 | 0,004298 | 0,030253 | 0,016593 | 0,119484 | 0,000000000458 |
| 1418 | 2012 | 0,037720155 | 0,194217 | 0,030544 | 0,001852 | 0,028478 | 0,016083 | 0,093974 | 0,000000000448 |
| 1421 | 2019 | 0,013991738 | 0,118287 | 0,120908 | 0,026352 | 0,154735 | 0,029422 | 0,004685 | 0,000000000467 |
| 1421 | 2018 | 0,011020539 | 0,104979 | 0,096517 | 0,022839 | 0,137346 | 0,02565  | 0,003895 | 0,000000000405 |
| 1421 | 2017 | 0,010201939 | 0,101005 | 0,131149 | 0,026757 | 0,180885 | 0,028917 | 0,00356  | 0,000000000269 |
| 1421 | 2016 | 0,005525149 | 0,074331 | 0,154876 | 0,02154  | 0,203033 | 0,04278  | 0,00154  | 0,000000000319 |
| 1421 | 2014 | 0,006269718 | 0,079182 | 0,137265 | 0        | 0,248748 | 0,044031 | 0,002329 | 0,000000000341 |
| 1424 | 2019 | 0,003097831 | 0,055658 | 0,001735 | 0,000532 | 0,500795 | 0,083643 | 0,028812 | 0,000000000181 |
| 1424 | 2018 | 0,054546003 | 0,233551 | 0,000272 | 0,000572 | 0,565898 | 0,070507 | 0,029003 | 0,000000000169 |

Continua...

...continuação

|      |      |             |          |          |          |          |          |          |                |
|------|------|-------------|----------|----------|----------|----------|----------|----------|----------------|
| 1425 | 2018 | 0,028278598 | 0,168162 | 0,043149 | 0,013477 | 0,096222 | 0,022737 | 0,103679 | 0,000000000369 |
| 1425 | 2017 | 0,033167349 | 0,182119 | 0,026937 | 0,010398 | 0,091432 | 0,022521 | 0,104667 | 0,000000000322 |
| 1427 | 2019 | 0,023279711 | 0,152577 | 0,053337 | 0,008804 | 0,291086 | 0,040432 | 0,025451 | 0,000000000367 |
| 1427 | 2018 | 0,022291959 | 0,149305 | 0,054865 | 0,006881 | 0,261402 | 0,031343 | 0,023187 | 0,000000000398 |
| 1427 | 2016 | 0,013289363 | 0,11528  | 0,057961 | 0,007894 | 0,346439 | 0,034645 | 0,038509 | 0,000000000393 |
| 1427 | 2015 | 0,015386197 | 0,124041 | 0,063509 | 0,007381 | 0,382514 | 0,039828 | 0,029485 | 0,000000000349 |
| 1427 | 2014 | 0,006999085 | 0,083661 | 0,077899 | 0        | 0,468297 | 0,038307 | 0,024287 | 0,000000000337 |
| 1433 | 2019 | 0,007008205 | 0,083715 | 0,000767 | 0,001322 | 0,58389  | 0,122174 | 0,018231 | 0,000000000279 |
| 1433 | 2018 | 0,008899747 | 0,094338 | 0,001759 | 0,001383 | 0,597687 | 0,120162 | 0,017947 | 0,000000000296 |
| 1433 | 2017 | 0,01048621  | 0,102402 | 0,003045 | 0,001126 | 0,662125 | 0,120221 | 0,019426 | 0,000000000293 |
| 1433 | 2016 | 0,009953722 | 0,099768 | 0,0019   | 0,001512 | 0,577997 | 0,114736 | 0,017891 | 0,000000000390 |
| 1433 | 2015 | 0,006168929 | 0,078543 | 0,003422 | 0,001535 | 0,489576 | 0,119404 | 0,015745 | 0,000000000465 |
| 1433 | 2014 | 0,003405084 | 0,058353 | 0,004838 | 0,001517 | 0,519532 | 0,123427 | 0,015304 | 0,000000000449 |
| 1433 | 2013 | 0,001683041 | 0,041025 | 0,005993 | 0,004665 | 0,510032 | 0,138243 | 0,01384  | 0,000000000424 |
| 1435 | 2019 | 0,012170367 | 0,110319 | 0,00706  | 0,000261 | 0,196939 | 0,006118 | 0,003895 | 0,000000000134 |
| 1439 | 2018 | 0,000306036 | 0,017494 | 0,035801 | 0,002441 | 0,120016 | 0,027258 | 0,128967 | 0,000000000424 |
| 1439 | 2017 | 0,000751518 | 0,027414 | 0,058053 | 0,003225 | 0,065309 | 0,052409 | 0,122959 | 0,000000000391 |
| 1439 | 2016 | 0,015643618 | 0,125074 | 0,078618 | 0,003971 | 0,054795 | 0,019456 | 0,084177 | 0,000000000416 |
| 1439 | 2015 | 0,009642395 | 0,098196 | 0,07356  | 0,015267 | 0,049618 | 0,01839  | 0,079112 | 0,000000000380 |
| 1439 | 2014 | 0,026091482 | 0,161529 | 0,107579 | 0,015093 | 0,05106  | 0,039178 | 0,066153 | 0,000000000319 |
| 1439 | 2013 | 0,031444362 | 0,177326 | 0,111111 | 0,013889 | 0,052003 | 0,033592 | 0,059432 | 0,000000000323 |
| 1441 | 2019 | 0,019044967 | 0,138004 | 0,020315 | 0,005044 | 0,202312 | 0,021436 | 0,090648 | 0,000000000137 |
| 1441 | 2018 | 0,020898896 | 0,144565 | 0,030288 | 0,00573  | 0,175999 | 0,022921 | 0,101997 | 0,000000000144 |
| 1442 | 2019 | 0,018872249 | 0,137376 | 0,057864 | 0,007327 | 0,046347 | 0,019552 | 0,080952 | 0,000000000423 |
| 1442 | 2018 | 0,021499391 | 0,146627 | 0,063175 | 0,013769 | 0,041702 | 0,023078 | 0,085595 | 0,000000000494 |
| 1442 | 2017 | 0,019581398 | 0,139934 | 0,054178 | 0,01102  | 0,053409 | 0,025555 | 0,088965 | 0,000000000574 |
| 1442 | 2016 | 0,020996402 | 0,144901 | 0,033819 | 0,00666  | 0,060728 | 0,029238 | 0,092807 | 0,000000000672 |
| 1442 | 2013 | 0,006159489 | 0,078482 | 0,007268 | 0,012267 | 0,061014 | 0,030189 | 0,077619 | 0,000000000690 |
| 1446 | 2019 | 0,002262564 | 0,047566 | 0,093386 | 0,004318 | 0,279158 | 0,050164 | 0,026389 | 0,000000000488 |
| 1446 | 2018 | 0,005883143 | 0,076702 | 0,068433 | 0,00536  | 0,286704 | 0,046033 | 0,031088 | 0,000000000545 |
| 1446 | 2017 | 0,009064445 | 0,095207 | 0,049503 | 0,009413 | 0,263304 | 0,041099 | 0,028943 | 0,000000000621 |
| 1446 | 2016 | 0,015287209 | 0,123641 | 0,138237 | 0,011309 | 0,167701 | 0,045267 | 0,020923 | 0,000000000532 |
| 1447 | 2019 | 0,010374439 | 0,101855 | 0,063423 | 0,008954 | 0,108915 | 0,014167 | 0,065597 | 0,000000000224 |
| 1447 | 2018 | 0,018831281 | 0,137227 | 0,081955 | 0,005996 | 0,084898 | 0,014663 | 0,067482 | 0,000000000245 |
| 1447 | 2017 | 0,023826466 | 0,154358 | 0,03145  | 0,006408 | 0,085423 | 0,016207 | 0,072762 | 0,000000000308 |
| 1447 | 2015 | 0,01391203  | 0,117949 | 0,022678 | 0,004207 | 0,069734 | 0,017312 | 0,05404  | 0,000000000262 |
| 1447 | 2014 | 0,011848872 | 0,108853 | 0,017821 | 0,002427 | 0,109001 | 0,017268 | 0,056165 | 0,000000000278 |
| 1447 | 2013 | 0,029139094 | 0,170702 | 0,011398 | 0,0014   | 0,099036 | 0,0169   | 0,06881  | 0,000000000298 |
| 1447 | 2012 | 0,029853632 | 0,172782 | 0,006746 | 0,001249 | 0,090913 | 0,016874 | 0,060029 | 0,000000000288 |
| 1448 | 2018 | 0,03292748  | 0,181459 | 0,016302 | 0        | 0,31406  | 0,045091 | 0,010092 | 0,000000000419 |
| 1448 | 2017 | 0,038555615 | 0,196356 | 0,01913  | 0        | 0,297758 | 0,054867 | 0,011715 | 0,000000000427 |
| 1448 | 2016 | 0,026045443 | 0,161386 | 0,019105 | 0        | 0,279259 | 0,044633 | 0,010454 | 0,000000000470 |
| 1448 | 2015 | 0,025339396 | 0,159184 | 0,010483 | 0,003497 | 0,262064 | 0,045848 | 0,010104 | 0,000000000511 |
| 1448 | 2014 | 0,023340338 | 0,152775 | 0,009828 | 0        | 0,249563 | 0,04228  | 0,008239 | 0,000000000485 |

Continua...

...continuação

|      |      |             |          |          |          |          |          |          |                |
|------|------|-------------|----------|----------|----------|----------|----------|----------|----------------|
| 1450 | 2019 | 0,000116308 | 0,010785 | 0,110036 | 0,018448 | 0,126131 | 0,010598 | 0,064428 | 0,000000000018 |
| 1450 | 2018 | 0,000471808 | 0,021721 | 0,080198 | 0,017276 | 0,079271 | 0,015885 | 0,072893 | 0,000000000033 |
| 1450 | 2017 | 0,000553498 | 0,023527 | 0,050421 | 0,014941 | 0,100895 | 0,024059 | 0,080477 | 0,000000000048 |
| 1450 | 2016 | 0,000206297 | 0,014363 | 0,085273 | 0,006595 | 0,117773 | 0,035061 | 0,07959  | 0,000000000057 |
| 1450 | 2015 | 8,99816E-05 | 0,009486 | 0,055695 | 0,013783 | 0,146253 | 0,03103  | 0,080661 | 0,000000000078 |
| 1450 | 2014 | 0,000185934 | -0,01364 | 0,07853  | 0,015618 | 0,113461 | 0,02956  | 0,079907 | 0,000000000094 |
| 1450 | 2013 | 0,000976869 | -0,03125 | 0,099421 | 0,01601  | 0,135557 | 0,024352 | 0,068153 | 0,000000000109 |
| 1451 | 2019 | 0,001133584 | 0,033669 | 0,148377 | 0,005787 | 0,154646 | 0,014389 | 0,026103 | 0,000000000093 |
| 1451 | 2018 | 0,001063581 | 0,032613 | 0,131103 | 0,007114 | 0,133701 | 0,012577 | 0,019726 | 0,000000000095 |
| 1451 | 2017 | 0,001790437 | 0,042314 | 0,156609 | 0,00437  | 0,159235 | 0,014069 | 0,019429 | 0,000000000101 |
| 1452 | 2019 | 0,00044369  | 0,021064 | 0,039362 | 0,010288 | 0,25411  | 0,061353 | 0,099694 | 0,000000000148 |
| 1453 | 2016 | 0,005213592 | 0,072205 | 0,013974 | 0,003599 | 0,115888 | 0,025345 | 0,009533 | 0,000000000383 |
| 1453 | 2015 | 0,003401056 | 0,058319 | 0,016091 | 0,003541 | 0,121102 | 0,02275  | 0,008931 | 0,000000000383 |
| 1453 | 2014 | 0,002028233 | 0,045036 | 0,017999 | 0,004059 | 0,119636 | 0,02225  | 0,007544 | 0,000000000387 |
| 1453 | 2013 | 0,002718886 | 0,052143 | 0,016749 | 0,004623 | 0,118837 | 0,022547 | 0,006594 | 0,000000000379 |
| 1454 | 2019 | 0,000161913 | 0,012725 | 0,004133 | 0,000922 | 0,600897 | 0,087049 | 0,082437 | 0,000000000288 |
| 1458 | 2016 | 0,008524521 | 0,092328 | 0,166841 | 0,021982 | 0,248772 | 0,03299  | 0,092091 | 0,000000000313 |
| 1458 | 2014 | 0,007257507 | 0,085191 | 0,193276 | 0        | 0,204534 | 0,038449 | 0,086451 | 0,000000000367 |
| 1460 | 2019 | 0,044567822 | 0,211111 | 0,056977 | 0,000779 | 0,193095 | 0,014342 | 0,127449 | 0,000000000154 |
| 1460 | 2018 | 0,038303706 | 0,195713 | 0,062286 | 0,000454 | 0,157438 | 0,013593 | 0,11292  | 0,000000000188 |
| 1460 | 2017 | 0,039941236 | 0,199853 | 0,091706 | 0,001528 | 0,13319  | 0,01452  | 0,108284 | 0,000000000176 |
| 1460 | 2016 | 0,036065996 | 0,18991  | 0,047799 | 0,00175  | 0,135367 | 0,014844 | 0,103462 | 0,000000000222 |
| 1461 | 2019 | 0,004836591 | 0,069546 | 0,047756 | 0,010624 | 0,467105 | 0,092418 | 0,007253 | 0,000000000204 |
| 1461 | 2018 | 0,001984141 | 0,044544 | 0,052296 | 0,008096 | 0,494811 | 0,079119 | 0,008372 | 0,000000000194 |
| 1461 | 2017 | 0,003672412 | 0,0606   | 0,055081 | 0,009823 | 0,531347 | 0,062302 | 0,01121  | 0,000000000183 |
| 1461 | 2016 | 0,000622988 | 0,02496  | 0,054083 | 0,0103   | 0,411774 | 0,075877 | 0,010617 | 0,000000000270 |
| 1461 | 2015 | 0,002671006 | 0,051682 | 0,046843 | 0,00894  | 0,380601 | 0,100295 | 0,009721 | 0,000000000306 |
| 1461 | 2014 | 0,004758058 | 0,068979 | 0,039769 | 0,008061 | 0,416915 | 0,110822 | 0,068151 | 0,000000000244 |
| 1461 | 2013 | 0,00094171  | 0,030687 | 0,037823 | 0,007815 | 0,474431 | 0,107724 | 0,062464 | 0,000000000237 |
| 1466 | 2014 | 0,006276491 | 0,079224 | 0,058025 | 0,008332 | 0,13077  | 0,035999 | 0,031091 | 0,000000000111 |
| 1466 | 2013 | 0,004977701 | 0,070553 | 0,064082 | 0,013945 | 0,130107 | 0,035865 | 0,028025 | 0,000000000099 |
| 1470 | 2019 | 0,006465634 | 0,080409 | 0,073752 | 0,014388 | 0,337449 | 0,059689 | 0,080047 | 0,000000000119 |
| 1470 | 2018 | 0,013484371 | 0,116122 | 0,07663  | 0,015112 | 0,344944 | 0,053711 | 0,088035 | 0,000000000132 |
| 1470 | 2017 | 0,010251571 | 0,10125  | 0,088997 | 0,017536 | 0,32283  | 0,050724 | 0,084196 | 0,000000000139 |
| 1470 | 2016 | 0,002734067 | 0,052288 | 0,141208 | 0,019418 | 0,400056 | 0,048045 | 0,082787 | 0,000000000144 |
| 1470 | 2015 | 0,005050861 | 0,071069 | 0,084444 | 0,035172 | 0,330232 | 0,057514 | 0,10282  | 0,000000000258 |
| 1475 | 2015 | 0,007758049 | 0,08808  | 0,001514 | 0,000388 | 0,00262  | 0,000203 | 5,81E-05 | 0,000000000020 |
| 1477 | 2019 | 0,001072396 | 0,032747 | 0,00037  | 0,004895 | 0,175285 | 0,015921 | 0,048701 | 0,000000000156 |
| 1477 | 2018 | 0,001256606 | 0,035449 | 0,000364 | 0,00472  | 0,143506 | 0,016294 | 0,041673 | 0,000000000150 |
| 1477 | 2015 | 0,000790967 | 0,028124 | 0,000335 | 0,005115 | 0,180274 | 0,021075 | 0,045858 | 0,000000000183 |
| 1482 | 2017 | 0,009744866 | 0,098716 | 0,209833 | 0,018732 | 0,288297 | 0,082139 | 0,132204 | 0,000000000102 |
| 1484 | 2016 | 0,027935925 | 0,16714  | 0,171148 | 0,008156 | 0,170653 | 0,014091 | 0,094062 | 0,000000000390 |
| 1484 | 2015 | 0,030738845 | 0,175325 | 0,082362 | 0,007452 | 0,189568 | 0,018113 | 0,104706 | 0,000000000475 |
| 1484 | 2014 | 0,024218675 | 0,155624 | 0,096122 | 0,007189 | 0,184956 | 0,01672  | 0,111655 | 0,000000000529 |

Continua...

...continuação

|      |      |             |          |          |          |          |          |          |                |
|------|------|-------------|----------|----------|----------|----------|----------|----------|----------------|
| 1489 | 2019 | 0,015304479 | 0,123711 | 0,11007  | 0,015772 | 0,139325 | 0,03073  | 0,038999 | 0,000000000216 |
| 1489 | 2018 | 0,015906145 | 0,12612  | 0,117079 | 0,014941 | 0,076093 | 0,01448  | 0,034756 | 0,000000000236 |
| 1489 | 2017 | 0,015662833 | 0,125151 | 0,130804 | 0,017425 | 0,079481 | 0,015188 | 0,035723 | 0,000000000231 |
| 1489 | 2016 | 0,019427072 | 0,139381 | 0,149425 | 0,016668 | 0,091291 | 0,016803 | 0,038842 | 0,000000000250 |
| 1489 | 2015 | 0,021064824 | 0,145137 | 0,103012 | 0,014758 | 0,098491 | 0,016999 | 0,047892 | 0,000000000359 |
| 1489 | 2014 | 0,023301127 | 0,152647 | 0,088263 | 0,009785 | 0,096052 | 0,016686 | 0,046568 | 0,000000000348 |
| 1489 | 2013 | 0,024683292 | 0,157109 | 0,093524 | 0,010055 | 0,1023   | 0,021984 | 0,048862 | 0,000000000344 |
| 1492 | 2019 | 0,001105402 | 0,033248 | 0,001755 | 0,001199 | 0,496786 | 0,078842 | 0,032409 | 0,000000000275 |
| 1492 | 2018 | 0,000170995 | 0,013076 | 0,001373 | 0,00183  | 0,438319 | 0,077378 | 0,026822 | 0,000000000295 |
| 1492 | 2015 | 1,07011E-05 | 0,003271 | 0,001681 | 0,000832 | 0,472343 | 0,076084 | 0,018403 | 0,000000000323 |
| 1492 | 2014 | 0,000121188 | 0,011009 | 0,001261 | 0,000673 | 0,475556 | 0,076916 | 0,017168 | 0,000000000307 |
| 1492 | 2013 | 0,000275272 | 0,016591 | 0,001095 | 0,000564 | 0,478293 | 0,079307 | 0,017092 | 0,000000000304 |
| 1493 | 2019 | 0,007343808 | 0,085696 | 0,076873 | 0,014637 | 0,224504 | 0,047221 | 0,014343 | 0,000000000320 |
| 1493 | 2018 | 0,007281236 | 0,08533  | 0,081096 | 0,018127 | 0,231429 | 0,055996 | 0,015167 | 0,000000000291 |
| 1493 | 2017 | 0,007653316 | 0,087483 | 0,106327 | 0        | 0,270818 | 0,058851 | 0,012484 | 0,000000000297 |
| 1508 | 2019 | 0,009003904 | 0,094889 | 0,091554 | 0,018818 | 0,054148 | 0,018915 | 0,037136 | 0,000000000113 |
| 1508 | 2018 | 0,012859497 | 0,1134   | 0,131497 | 0,008321 | 0,048607 | 0,026392 | 0,046653 | 0,000000000190 |
| 1508 | 2017 | 0,024372907 | 0,156118 | 0,041879 | 0,005552 | 0,050034 | 0,027553 | 0,051828 | 0,000000000189 |
| 1508 | 2016 | 0,025801378 | 0,160628 | 0,050132 | 0,007086 | 0,054504 | 0,0244   | 0,054295 | 0,000000000196 |
| 1508 | 2015 | 0,022368465 | 0,149561 | 0,060696 | 0,00945  | 0,051341 | 0,024123 | 0,052512 | 0,000000000212 |
| 1508 | 2014 | 0,02022966  | 0,142231 | 0,072647 | 0,011799 | 0,053163 | 0,023562 | 0,04982  | 0,000000000221 |
| 1508 | 2013 | 0,014891452 | 0,122031 | 0,08541  | 0,013277 | 0,053668 | 0,023351 | 0,046224 | 0,000000000227 |
| 1509 | 2019 | 0,000290295 | 0,017038 | 0,006162 | 0        | 0,492952 | 0,07581  | 0,015042 | 0,000000000526 |
| 1516 | 2019 | 0,001990128 | 0,044611 | 0,404859 | 0,056329 | 0,089896 | 0,013645 | 0,054933 | 0,000000000069 |
| 1516 | 2018 | 0,006550948 | 0,080938 | 0,197772 | 0,038701 | 0,065953 | 0,011059 | 0,027165 | 0,000000000151 |
| 1516 | 2017 | 0,006320246 | 0,0795   | 0,2307   | 0,038211 | 0,065891 | 0,01152  | 0,026171 | 0,000000000142 |
| 1516 | 2016 | 0,009438221 | 0,097151 | 0,245696 | 0,040589 | 0,064869 | 0,010994 | 0,027494 | 0,000000000140 |
| 1516 | 2015 | 0,004097901 | 0,064015 | 0,344741 | 0,035414 | 0,084875 | 0,009728 | 0,021827 | 0,000000000133 |
| 1534 | 2019 | 0,001513884 | 0,038909 | 0,318777 | 0,055562 | 0,055657 | 0,012394 | 0,049072 | 0,000000000057 |
| 1534 | 2018 | 0,003161294 | 0,056225 | 0,502541 | 0,05067  | 0,07492  | 0,015206 | 0,062111 | 0,000000000054 |
| 1534 | 2017 | 0,014329406 | 0,119705 | 0,208587 | 0,060932 | 0,096374 | 0,015525 | 0,066429 | 0,000000000121 |
| 1534 | 2016 | 0,003196055 | 0,056534 | 0,324336 | 0,050984 | 0,103176 | 0,019861 | 0,082333 | 0,000000000130 |
| 1534 | 2015 | 0,004742033 | 0,068862 | 0,117189 | 0,033802 | 0,117778 | 0,020081 | 0,072012 | 0,000000000180 |
| 1534 | 2014 | 0,009379003 | 0,096845 | 0,114014 | 0,03995  | 0,131453 | 0,021993 | 0,079008 | 0,000000000209 |
| 1534 | 2013 | 0,012894083 | 0,113552 | 0,109523 | 0,023241 | 0,130781 | 0,022052 | 0,074993 | 0,000000000246 |
| 1538 | 2019 | 0,002132862 | 0,046183 | 0,105262 | 0,019075 | 0,064945 | 0,012149 | 0,038135 | 0,000000000031 |
| 1538 | 2018 | 0,001508689 | 0,038842 | 0,115668 | 0,017334 | 0,056869 | 0,009978 | 0,039802 | 0,000000000033 |
| 1538 | 2017 | 0,000145213 | 0,01205  | 0,12307  | 0,01722  | 0,060618 | 0,009307 | 0,041929 | 0,000000000035 |
| 1538 | 2016 | 0,000644266 | 0,025382 | 0,134054 | 0,018151 | 0,063294 | 0,010327 | 0,048133 | 0,000000000037 |
| 1538 | 2015 | 6,05689E-06 | -0,00246 | 0,144669 | 0,018245 | 0,06239  | 0,010232 | 0,053778 | 0,000000000040 |
| 1538 | 2014 | 0,002374262 | 0,048726 | 0,176305 | 0,017582 | 0,077243 | 0,009171 | 0,051215 | 0,000000000037 |
| 1538 | 2013 | 0,003145958 | 0,056089 | 0,051734 | 0,007923 | 0,055529 | 0,005975 | 0,038397 | 0,000000000054 |
| 1540 | 2019 | 0,007208079 | 0,0849   | 0,02471  | 0        | 0,174042 | 0,034348 | 0,021655 | 0,000000000322 |
| 1540 | 2016 | 0,0072197   | 0,084969 | 0,018815 | 0        | 0,15751  | 0,026333 | 0,018302 | 0,000000000325 |
| 1542 | 2019 | 0,013956524 | 0,118138 | 0,05499  | 0,006078 | 0,298914 | 0,057654 | 0,016559 | 0,000000000211 |
| 1542 | 2018 | 0,011819093 | 0,108716 | 0,061691 | 0,00545  | 0,094756 | 0,020597 | 0,017369 | 0,000000000276 |
| 1542 | 2017 | 0,00826888  | 0,090933 | 0,063609 | 0,005447 | 0,096696 | 0,021369 | 0,019852 | 0,000000000285 |
| 1542 | 2016 | 0,002099543 | 0,045821 | 0,062016 | 0,004658 | 0,090528 | 0,016267 | 0,018673 | 0,000000000339 |
| 1542 | 2015 | 0,001298743 | 0,036038 | 0,060999 | 0,004897 | 0,087045 | 0,017102 | 0,021219 | 0,000000000344 |
| 1542 | 2014 | 0,002916481 | 0,054004 | 0,059752 | 0        | 0,089409 | 0,018916 | 0,018441 | 0,000000000345 |

Continua...

...continuação

|      |      |             |          |          |          |          |          |          |                |
|------|------|-------------|----------|----------|----------|----------|----------|----------|----------------|
| 1545 | 2019 | 0,0038698   | 0,062208 | 0,015337 | 0,004059 | 0,294371 | 0,054008 | 0,003226 | 0,000000000069 |
| 1545 | 2018 | 0,00392214  | 0,062627 | 0,020535 | 0,002552 | 0,266528 | 0,059155 | 0,003427 | 0,000000000077 |
| 1545 | 2017 | 0,002975305 | 0,054546 | 0,024124 | 0,003326 | 0,276386 | 0,06354  | 0,00333  | 0,000000000083 |
| 1545 | 2016 | 0,002860127 | 0,05348  | 0,026575 | 0,003317 | 0,301483 | 0,067687 | 0,002771 | 0,000000000090 |
| 1545 | 2015 | 0,002874987 | 0,053619 | 0,029806 | 0,003726 | 0,334427 | 0,066208 | 0,003207 | 0,000000000097 |
| 1545 | 2014 | 0,004236237 | 0,065086 | 0,031359 | 0,002704 | 0,310163 | 0,055824 | 0,003058 | 0,000000000104 |
| 1545 | 2013 | 0,001137832 | 0,033732 | 0,027681 | 0,002706 | 0,257657 | 0,052561 | 0,003245 | 0,000000000118 |
| 1545 | 2012 | 0,003722978 | 0,061016 | 0,028451 | 0,001765 | 0,25228  | 0,043912 | 0,003104 | 0,000000000109 |
| 1546 | 2019 | 0,013349303 | 0,115539 | 0,000899 | 5,6E-05  | 0,31598  | 0,016236 | 1,38E-05 | 0,000000000266 |
| 1546 | 2018 | 0,010284353 | 0,101412 | 0,000204 | 1,54E-05 | 0,309401 | 0,015378 | 1,16E-05 | 0,000000000266 |
| 1546 | 2017 | 0,018214022 | 0,134959 | 0,000318 | 1,58E-05 | 0,329959 | 0,018588 | 1,63E-05 | 0,000000000258 |
| 1546 | 2016 | 0,024701631 | 0,157168 | 0,000471 | 5,01E-05 | 0,334275 | 0,020214 | 2,91E-05 | 0,000000000285 |
| 1546 | 2015 | 0,027657415 | 0,166305 | 0,000708 | 0,000188 | 0,378072 | 0,019759 | 3,02E-05 | 0,000000000331 |
| 1546 | 2014 | 0,024544469 | 0,156667 | 0,000981 | 0,000389 | 0,423617 | 0,022611 | 1,48E-05 | 0,000000000325 |
| 1546 | 2013 | 0,016053274 | 0,126702 | 0,001191 | 0,000204 | 0,452459 | 0,024469 | 2,1E-05  | 0,000000000343 |
| 1551 | 2014 | 0,012792366 | 0,113103 | 0,138809 | 0,009481 | 0,087476 | 0,014582 | 0,016819 | 0,000000000149 |
| 1551 | 2013 | 0,014236093 | 0,119315 | 0,101074 | 0,009244 | 0,088754 | 0,016514 | 0,016925 | 0,000000000164 |
| 1553 | 2018 | 0,003083332 | 0,055528 | 0,198834 | 0,022524 | 0,052803 | 0,007407 | 0,032153 | 0,000000000167 |
| 1553 | 2017 | 0,003536036 | 0,059465 | 0,25982  | 0,014209 | 0,057496 | 0,006045 | 0,026902 | 0,000000000164 |
| 1553 | 2016 | 0,005072876 | 0,071224 | 0,099865 | 0,016992 | 0,034576 | 0,006766 | 0,029512 | 0,000000000234 |
| 1553 | 2015 | 0,004087175 | 0,063931 | 0,117393 | 0,01899  | 0,033253 | 0,008086 | 0,027204 | 0,000000000242 |
| 1556 | 2019 | 0,001582354 | 0,039779 | 0,001185 | 0,000886 | 0,135925 | 0,023577 | 0,048447 | 0,000000000088 |
| 1556 | 2018 | 0,001006164 | 0,03172  | 0,001519 | 0,000908 | 0,127963 | 0,02318  | 0,042438 | 0,000000000091 |
| 1556 | 2017 | 0,00037867  | 0,019459 | 0,001633 | 0,001056 | 0,123027 | 0,025441 | 0,048374 | 0,000000000089 |
| 1556 | 2016 | 0,000413196 | 0,020327 | 0,002319 | 0,001411 | 0,127692 | 0,027554 | 0,046641 | 0,000000000108 |
| 1556 | 2015 | 6,22558E-05 | 0,00789  | 0,004133 | 0,001447 | 0,126818 | 0,026213 | 0,044187 | 0,000000000112 |
| 1556 | 2014 | 0,000168156 | 0,012967 | 0,003355 | 0,001289 | 0,140102 | 0,026816 | 0,046224 | 0,000000000105 |
| 1556 | 2013 | 0,000529837 | 0,023018 | 0,004055 | 0,00144  | 0,147259 | 0,027775 | 0,049045 | 0,000000000113 |
| 1560 | 2019 | 0,004196852 | 0,064783 | 0,127008 | 0,037843 | 0,092544 | 0,011067 | 0,015579 | 0,000000000215 |
| 1560 | 2018 | 1,38732E-05 | -0,00372 | 0,133954 | 0,029365 | 0,070479 | 0,010109 | 0,014765 | 0,000000000209 |
| 1560 | 2017 | 0,002680185 | 0,051771 | 0,129942 | 0,033461 | 0,061287 | 0,009563 | 0,012506 | 0,000000000187 |
| 1560 | 2016 | 0,002408945 | 0,049081 | 0,158253 | 0,034182 | 0,075738 | 0,014729 | 0,008973 | 0,000000000160 |
| 1566 | 2019 | 0,004203996 | 0,064838 | 0,013775 | 0        | 0,325168 | 0,05113  | 0,01037  | 0,000000000137 |
| 1577 | 2018 | 0,007656386 | 0,087501 | 0,044518 | 0,00658  | 0,068445 | 0,025557 | 0,181168 | 0,000000000156 |
| 1580 | 2019 | 0,063139877 | 0,251276 | 0,00775  | 0,004872 | 0,388219 | 0,044905 | 0,117897 | 0,000000000007 |
| 1580 | 2018 | 0,075066683 | 0,273983 | 0,014231 | 0,007038 | 0,271454 | 0,040416 | 0,112978 | 0,000000000010 |
| 1580 | 2017 | 0,07306283  | 0,270301 | 0,025207 | 0,009258 | 0,183577 | 0,031174 | 0,103743 | 0,000000000012 |
| 1580 | 2016 | 0,047226258 | 0,217316 | 0,044331 | 0,013133 | 0,150234 | 0,027805 | 0,103508 | 0,000000000015 |
| 1580 | 2015 | 0,01931123  | 0,138965 | 0,072463 | 0,016296 | 0,126955 | 0,027235 | 0,107511 | 0,000000000020 |
| 1580 | 2014 | 0,029574595 | 0,171973 | 0,135298 | 0,000826 | 0,136607 | 0,031819 | 0,091806 | 0,000000000025 |
| 1580 | 2013 | 0,024552324 | 0,156692 | 0,049343 | 0,008103 | 0,161051 | 0,04789  | 0,079072 | 0,000000000056 |
| 1581 | 2019 | 4,67229E-06 | -0,00216 | 0,006282 | 0,002088 | 0,527126 | 0,070995 | 0,044544 | 0,000000000061 |
| 1581 | 2018 | 2,10495E-07 | -0,00046 | 0,009327 | 0,004082 | 0,514598 | 0,075515 | 0,042373 | 0,000000000069 |
| 1581 | 2017 | 9,50051E-05 | 0,009747 | 0,019964 | 0,005932 | 0,592129 | 0,082241 | 0,038769 | 0,000000000084 |
| 1581 | 2016 | 0,001637063 | 0,040461 | 0,028853 | 0,006582 | 0,660145 | 0,078135 | 0,03694  | 0,000000000099 |
| 1581 | 2015 | 0,000898521 | 0,029975 | 0,034813 | 0,007845 | 0,605961 | 0,073422 | 0,036812 | 0,000000000141 |
| 1581 | 2014 | 0,000512876 | 0,022647 | 0,040382 | 0,022026 | 0,581979 | 0,084742 | 0,036867 | 0,000000000173 |

Continua...

...continuação

|      |      |             |          |          |          |          |          |          |                |
|------|------|-------------|----------|----------|----------|----------|----------|----------|----------------|
| 1582 | 2019 | 0,004428968 | 0,06655  | 0,089368 | 0,00716  | 0,181303 | 0,024572 | 0,002992 | 0,000000000173 |
| 1582 | 2018 | 0,005047697 | 0,071047 | 0,090778 | 0,006891 | 0,158262 | 0,017953 | 0,002463 | 0,000000000184 |
| 1582 | 2017 | 0,005483094 | 0,074048 | 0,113001 | 0,008635 | 0,172367 | 0,020942 | 0,002869 | 0,000000000185 |
| 1582 | 2016 | 0,005243714 | 0,072413 | 0,117168 | 0,007396 | 0,169407 | 0,018834 | 0,003185 | 0,000000000218 |
| 1582 | 2015 | 0,006040643 | 0,077722 | 0,071038 | 0,006813 | 0,144948 | 0,019437 | 0,003056 | 0,000000000215 |
| 1582 | 2014 | 0,006918806 | 0,083179 | 0,077295 | 0        | 0,15197  | 0,027705 | 0,002515 | 0,000000000197 |
| 1585 | 2018 | 0,008576982 | 0,092612 | 0,033453 | 0,006619 | 0,180954 | 0,079727 | 0,048917 | 0,000000000183 |
| 1585 | 2017 | 0,007650263 | 0,087466 | 0,044844 | 0,006886 | 0,192187 | 0,071626 | 0,049562 | 0,000000000217 |
| 1585 | 2016 | 0,012461404 | 0,111631 | 0,034917 | 0,006224 | 0,18713  | 0,068267 | 0,039161 | 0,000000000229 |
| 1585 | 2015 | 0,013100509 | 0,114457 | 0,038121 | 0,00661  | 0,183939 | 0,066548 | 0,036288 | 0,000000000239 |
| 1585 | 2014 | 0,020205941 | 0,142148 | 0,038054 | 0,009213 | 0,17289  | 0,061889 | 0,036006 | 0,000000000250 |
| 1585 | 2013 | 0,020053701 | 0,141611 | 0,026179 | 0,010016 | 0,152243 | 0,052341 | 0,031741 | 0,000000000338 |
| 1589 | 2017 | 0,004157228 | 0,064477 | 0,019946 | 0,003976 | 0,220268 | 0,034737 | 0,018561 | 0,000000000265 |
| 1589 | 2016 | 0,002836565 | 0,053259 | 0,018949 | 0,004005 | 0,212308 | 0,030508 | 0,017651 | 0,000000000286 |
| 1589 | 2015 | 0,005512995 | 0,07425  | 0,010821 | 0,002784 | 0,191528 | 0,037793 | 0,018312 | 0,000000000267 |
| 1590 | 2018 | 0,00611471  | 0,078197 | 0,000581 | 3,88E-05 | 0,087617 | 0,025628 | 0,018567 | 0,000000000094 |
| 1590 | 2017 | 0,007888439 | 0,088817 | 0,000696 | 0        | 0,097446 | 0,021949 | 0,017641 | 0,000000000100 |
| 1590 | 2016 | 0,011078303 | 0,105254 | 0,001061 | 0        | 0,098745 | 0,02108  | 0,017333 | 0,000000000101 |
| 1590 | 2015 | 0,014022311 | 0,118416 | 0,001737 | 0        | 0,096563 | 0,020295 | 0,016517 | 0,000000000100 |
| 1599 | 2019 | 0,015090902 | 0,122845 | 0,040612 | 0,00394  | 0,304082 | 0,04041  | 0,041723 | 0,000000000103 |
| 1599 | 2018 | 0,016772392 | 0,129508 | 0,044209 | 0,004034 | 0,29209  | 0,03935  | 0,044269 | 0,000000000099 |
| 1599 | 2017 | 0,017074987 | 0,130671 | 0,052915 | 0,004296 | 0,307567 | 0,039501 | 0,043765 | 0,000000000102 |
| 1599 | 2015 | 0,01600238  | 0,126501 | 0,067681 | 0,00239  | 0,304689 | 0,037462 | 0,038259 | 0,000000000113 |
| 1600 | 2019 | 0,002862911 | -0,05351 | 0,059393 | 0,004795 | 0,279469 | 0,033169 | 0,060914 | 0,000000000310 |
| 1600 | 2018 | 3,7947E-05  | 0,00616  | 0,072565 | 0,00572  | 0,229244 | 0,035567 | 0,057898 | 0,000000000355 |
| 1600 | 2017 | 5,49649E-05 | -0,00741 | 0,081634 | 0,01164  | 0,222821 | 0,041835 | 0,048152 | 0,000000000379 |
| 1600 | 2016 | 0,000112076 | -0,01059 | 0,10136  | 0,010161 | 0,214777 | 0,040904 | 0,058584 | 0,000000000377 |
| 1600 | 2015 | 5,09462E-06 | 0,002257 | 0,106098 | 0,010067 | 0,210129 | 0,041625 | 0,05916  | 0,000000000362 |
| 1600 | 2014 | 6,74504E-05 | -0,00821 | 0,098806 | 0,008337 | 0,201941 | 0,054784 | 0,058126 | 0,000000000340 |
| 1603 | 2019 | 0,003207321 | 0,056633 | 0,14614  | 0,026664 | 0,290001 | 0,047953 | 0,069707 | 0,000000000049 |
| 1603 | 2018 | 0,004289614 | 0,065495 | 0,130828 | 0,021913 | 0,24992  | 0,039444 | 0,067604 | 0,000000000048 |
| 1603 | 2017 | 0,008853215 | 0,094092 | 0,133057 | 0,022301 | 0,267809 | 0,041454 | 0,079952 | 0,000000000047 |
| 1603 | 2016 | 0,009086614 | 0,095324 | 0,102737 | 0,041655 | 0,229361 | 0,041427 | 0,052641 | 0,000000000065 |
| 1603 | 2015 | 0,009146931 | 0,09564  | 0,103482 | 0,021437 | 0,247347 | 0,04546  | 0,053183 | 0,000000000079 |
| 1603 | 2014 | 0,007683698 | 0,087657 | 0,10303  | 0,019467 | 0,254215 | 0,039794 | 0,05182  | 0,000000000088 |
| 1604 | 2019 | 0,009827623 | 0,099134 | 0,058444 | 0,019077 | 0,075757 | 0,006727 | 0,005403 | 0,000000000107 |
| 1604 | 2018 | 0,007616886 | 0,087275 | 0,073423 | 0,022635 | 0,026689 | 0,006306 | 0,00518  | 0,000000000114 |
| 1604 | 2017 | 0,005715166 | 0,075599 | 0,094471 | 0,032557 | 0,025604 | 0,00607  | 0,004635 | 0,000000000111 |
| 1611 | 2019 | 0,002469213 | 0,049691 | 0,001642 | 0,001174 | 0,11046  | 0,022899 | 0,032348 | 0,000000000162 |
| 1611 | 2017 | 0,001774035 | 0,042119 | 0,002285 | 0,002151 | 0,113529 | 0,028974 | 0,032387 | 0,000000000154 |
| 1611 | 2016 | 0,003440417 | 0,058655 | 0,003048 | 0,002281 | 0,128422 | 0,03097  | 0,028169 | 0,000000000145 |
| 1611 | 2015 | 0,001547383 | 0,039337 | 0,004292 | 0,002463 | 0,151792 | 0,031104 | 0,027216 | 0,000000000154 |
| 1611 | 2014 | 0,00104579  | 0,032339 | 0,006107 | 0,00261  | 0,163857 | 0,032631 | 0,028918 | 0,000000000144 |
| 1614 | 2019 | 0,006109759 | 0,078165 | 0,386403 | 0,022061 | 0,083048 | 0,012857 | 0,068113 | 0,000000000066 |
| 1614 | 2018 | 0,010744101 | 0,103654 | 0,146215 | 0,022963 | 0,0229   | 0,007294 | 0,081101 | 0,000000000110 |
| 1614 | 2017 | 0,012536867 | 0,111968 | 0,157335 | 0,025874 | 0,024927 | 0,007615 | 0,085066 | 0,000000000114 |
| 1614 | 2016 | 0,010616987 | 0,103039 | 0,156024 | 0,024339 | 0,019578 | 0,006214 | 0,078152 | 0,000000000134 |
| 1614 | 2015 | 0,012049994 | 0,109772 | 0,174259 | 0,029652 | 0,023011 | 0,007439 | 0,083744 | 0,000000000141 |
| 1614 | 2014 | 0,009969795 | 0,099849 | 0,239148 | 0,028064 | 0,029041 | 0,007454 | 0,087007 | 0,000000000175 |
| 1614 | 2013 | 0,015160495 | 0,123128 | 0,159124 | 0,025765 | 0,024262 | 0,007975 | 0,090705 | 0,000000000176 |

Continua...

...continuação

|      |      |             |          |          |          |          |          |          |                |
|------|------|-------------|----------|----------|----------|----------|----------|----------|----------------|
| 1617 | 2019 | 0,027768287 | 0,166638 | 0,065372 | 0,001806 | 0,087437 | 0,019805 | 0,173411 | 0,000000000213 |
| 1617 | 2018 | 0,035398371 | 0,188145 | 0,015817 | 0,000966 | 0,064451 | 0,013854 | 0,145591 | 0,000000000194 |
| 1617 | 2016 | 0,021822196 | 0,147723 | 0,000748 | 0,001072 | 0,063537 | 0,009499 | 0,125776 | 0,000000000211 |
| 1621 | 2019 | 0,02407157  | 0,15515  | 0,006511 | 0,00595  | 0,250575 | 0,036486 | 0,109234 | 0,000000000112 |
| 1621 | 2018 | 0,025648999 | 0,160153 | 0,012134 | 0,002514 | 0,204318 | 0,050724 | 0,108336 | 0,000000000113 |
| 1621 | 2017 | 0,034038452 | 0,184495 | 0,020131 | 0,005675 | 0,191883 | 0,058357 | 0,109862 | 0,000000000106 |
| 1621 | 2016 | 0,019779404 | 0,140639 | 0,032078 | 0,011872 | 0,214041 | 0,066324 | 0,140639 | 0,000000000108 |
| 1621 | 2015 | 0,004694942 | 0,06852  | 0,049511 | 0,013593 | 0,238714 | 0,07084  | 0,136708 | 0,000000000121 |
| 1621 | 2014 | 0,023147663 | 0,152144 | 0,038269 | 0,013342 | 0,23561  | 0,073641 | 0,139939 | 0,000000000102 |
| 1621 | 2013 | 0,035960817 | 0,189633 | 0,037821 | 0,010324 | 0,225032 | 0,08228  | 0,129161 | 0,000000000105 |
| 1624 | 2019 | 0,040536842 | 0,201338 | 0,01269  | 0,004985 | 0,09383  | 0,015242 | 0,094307 | 0,000000000069 |
| 1624 | 2018 | 0,040622379 | 0,20155  | 0,017724 | 0,0104   | 0,086523 | 0,014877 | 0,097327 | 0,000000000083 |
| 1624 | 2017 | 0,068123219 | 0,261004 | 0,025838 | 0,013104 | 0,073371 | 0,01343  | 0,0967   | 0,000000000080 |
| 1624 | 2016 | 0,024326898 | 0,155971 | 0,033696 | 0,012675 | 0,056209 | 0,012487 | 0,084753 | 0,000000000082 |
| 1626 | 2019 | 0,003239261 | 0,056915 | 0,115156 | 0,018482 | 0,082892 | 0,023663 | 0,028669 | 0,000000000191 |
| 1626 | 2018 | 0,00296228  | 0,054427 | 0,088078 | 0,017762 | 0,094867 | 0,020513 | 0,030009 | 0,000000000174 |
| 1626 | 2017 | 0,002185155 | 0,046746 | 0,106844 | 0,023987 | 0,105774 | 0,022328 | 0,032971 | 0,000000000198 |
| 1628 | 2017 | 0,002316923 | 0,048134 | 0,007317 | 0,00155  | 0,684177 | 0,101794 | 0,000277 | 0,000000000158 |
| 1628 | 2016 | 0,002051169 | 0,04529  | 0,007892 | 0,001453 | 0,625857 | 0,098933 | 0,000332 | 0,000000000178 |
| 1628 | 2015 | 0,002062594 | 0,045416 | 0,009476 | 0,001474 | 0,584761 | 0,091296 | 0,000412 | 0,000000000173 |
| 1628 | 2014 | 0,003441513 | 0,058664 | 0,009867 | 0,000875 | 0,663119 | 0,098896 | 0,000386 | 0,000000000158 |
| 1628 | 2013 | 0,004057811 | 0,063701 | 0,000483 | 0,000757 | 0,690149 | 0,100934 | 0,00036  | 0,000000000155 |
| 1629 | 2019 | 0,035208301 | 0,187639 | 0,023859 | 0,000835 | 0,16411  | 0,025118 | 0,119395 | 0,000000000276 |
| 1629 | 2018 | 0,033810488 | 0,183876 | 0,013725 | 0,006313 | 0,140984 | 0,021085 | 0,106209 | 0,000000000267 |
| 1629 | 2017 | 0,035456731 | 0,1883   | 0,017346 | 0,011202 | 0,128437 | 0,020937 | 0,099967 | 0,000000000225 |
| 1629 | 2016 | 0,02635851  | 0,162353 | 0,02064  | 0,012646 | 0,137783 | 0,024672 | 0,10312  | 0,000000000219 |
| 1629 | 2015 | 0,015482028 | 0,124427 | 0,034631 | 0,002884 | 0,163666 | 0,012721 | 0,110401 | 0,000000000236 |
| 1632 | 2019 | 0,006800475 | 0,082465 | 0,099541 | 0,0089   | 0,635415 | 0,0536   | 0,006254 | 0,000000000105 |
| 1632 | 2018 | 0,004765627 | 0,069034 | 0,111255 | 0,002548 | 0,650934 | 0,054536 | 0,002592 | 0,000000000113 |
| 1632 | 2016 | 0,001315943 | 0,036276 | 0,114213 | 0,008107 | 0,572738 | 0,047819 | 9,62E-06 | 0,000000000107 |
| 1637 | 2019 | 0,016663566 | 0,129087 | 0,019204 | 0,001093 | 0,158798 | 0,038088 | 0,031192 | 0,000000000173 |
| 1637 | 2018 | 0,020819434 | 0,144289 | 0,020336 | 0,000307 | 0,150381 | 0,037053 | 0,034012 | 0,000000000179 |
| 1638 | 2019 | 0,006310998 | 0,079442 | 0,224379 | 0,014083 | 0,278703 | 0,025613 | 0,008908 | 0,000000000070 |
| 1638 | 2018 | 0,004813713 | 0,069381 | 0,23424  | 0,013475 | 0,222924 | 0,02325  | 0,00778  | 0,000000000071 |
| 1638 | 2017 | 0,005599669 | 0,074831 | 0,351013 | 0,012503 | 0,303307 | 0,028281 | 0,00901  | 0,000000000068 |
| 1638 | 2016 | 0,007537746 | 0,08682  | 0,146415 | 0,008935 | 0,364826 | 0,03836  | 0,012705 | 0,000000000146 |
| 1638 | 2015 | 0,005176706 | 0,071949 | 0,121817 | 0,007365 | 0,346    | 0,035958 | 0,015063 | 0,000000000162 |
| 1638 | 2014 | 0,003651407 | 0,060427 | 0,119357 | 0,007712 | 0,335614 | 0,039348 | 0,013746 | 0,000000000133 |
| 1638 | 2013 | 0,003777449 | 0,061461 | 0,123997 | 0,008409 | 0,383209 | 0,038832 | 0,017055 | 0,000000000137 |
| 1640 | 2019 | 0,002939445 | 0,054217 | 0,13454  | 0,019895 | 0,134182 | 0,031822 | 0,01951  | 0,000000000073 |
| 1640 | 2018 | 0,002949249 | 0,054307 | 0,141957 | 0,018923 | 0,110371 | 0,030054 | 0,018278 | 0,000000000073 |
| 1640 | 2017 | 0,001996011 | 0,044677 | 0,149972 | 0,026476 | 0,107388 | 0,026458 | 0,020653 | 0,000000000066 |
| 1640 | 2016 | 0,002339218 | 0,048365 | 0,190755 | 0,032656 | 0,103375 | 0,025915 | 0,022801 | 0,000000000066 |
| 1640 | 2015 | 0,003064659 | 0,055359 | 0,272059 | 0,033462 | 0,120482 | 0,030142 | 0,022625 | 0,000000000066 |
| 1641 | 2019 | 0,00058151  | 0,024115 | 0,062777 | 0,005023 | 0,390178 | 0,041097 | 0,001273 | 0,000000000141 |
| 1641 | 2018 | 0,002034575 | 0,045106 | 0,068498 | 0,00474  | 0,307542 | 0,031092 | 0,001282 | 0,000000000144 |
| 1641 | 2015 | 0,000304164 | -0,01744 | 0,073518 | 0,012686 | 0,302573 | 0,036922 | 0,001124 | 0,000000000134 |
| 1641 | 2014 | 0,000438597 | 0,020943 | 0,074829 | 0,010902 | 0,290227 | 0,030685 | 0,000805 | 0,000000000129 |
| 1641 | 2013 | 1,35504E-06 | 0,001164 | 0,092486 | 0,013723 | 0,307641 | 0,032514 | 0,00079  | 0,000000000110 |

Continua...

...continuação

|      |      |             |          |          |          |          |          |          |                |
|------|------|-------------|----------|----------|----------|----------|----------|----------|----------------|
| 1642 | 2018 | 0,104672941 | 0,323532 | 0,009423 | 0,004537 | 0,136114 | 0,034726 | 0,215164 | 0,000000000159 |
| 1642 | 2017 | 0,125692719 | 0,354532 | 0,013195 | 0,005408 | 0,175644 | 0,049319 | 0,256543 | 0,000000000193 |
| 1642 | 2012 | 0,048486659 | 0,220197 | 0,02716  | 0,012031 | 0,101167 | 0,030259 | 0,117937 | 0,000000000182 |
| 1653 | 2019 | 0,014580862 | 0,120751 | 0,180551 | 0,004954 | 0,152437 | 0,033644 | 0,030879 | 0,000000000108 |
| 1653 | 2018 | 0,01696128  | 0,130235 | 0,151962 | 0,011429 | 0,133375 | 0,057017 | 0,029765 | 0,000000000124 |
| 1653 | 2017 | 0,014986524 | 0,122419 | 0,180276 | 0,008153 | 0,137936 | 0,060487 | 0,029323 | 0,000000000127 |
| 1653 | 2015 | 0,016420357 | 0,128142 | 0,211505 | 0,028726 | 0,13124  | 0,04323  | 0,031261 | 0,000000000140 |
| 1653 | 2014 | 0,023723907 | 0,154026 | 0,271801 | 0,02007  | 0,138623 | 0,034539 | 0,036562 | 0,000000000142 |
| 1653 | 2013 | 0,025105283 | 0,158446 | 0,181131 | 0,015123 | 0,14023  | 0,065991 | 0,039698 | 0,000000000172 |
| 1655 | 2019 | 0,001270382 | 0,035642 | 0,010113 | 0,00067  | 0,113842 | 0,008173 | 0,001047 | 0,000000000079 |
| 1655 | 2018 | 0,001085428 | 0,032946 | 0,010856 | 0,000926 | 0,104119 | 0,007086 | 0,000917 | 0,000000000082 |
| 1655 | 2017 | 0,001131632 | 0,03364  | 0,005685 | 0,001022 | 0,110279 | 0,007246 | 0,000931 | 0,000000000081 |
| 1660 | 2019 | 0,037321305 | 0,193187 | 0,152163 | 0,024122 | 0,067869 | 0,01394  | 0,094446 | 0,000000000108 |
| 1660 | 2016 | 0,059122052 | 0,24315  | 0,003614 | 0,000572 | 0,054118 | 0,01045  | 0,100408 | 0,000000000181 |
| 1660 | 2014 | 0,017956502 | 0,134002 | 0,002295 | 0,004773 | 0,060704 | 0,010767 | 0,100247 | 0,000000000207 |
| 1665 | 2019 | 0,007711817 | 0,087817 | 0,012716 | 0,002787 | 0,341275 | 0,069936 | 0,009044 | 0,000000000190 |
| 1665 | 2018 | 0,023250148 | 0,15248  | 0,011355 | 0,002899 | 0,321622 | 0,049788 | 0,010135 | 0,000000000187 |
| 1665 | 2017 | 0,006518345 | 0,080736 | 0,010448 | 0,003206 | 0,29009  | 0,046173 | 0,010492 | 0,000000000206 |
| 1665 | 2016 | 0,000769967 | 0,027748 | 0,009617 | 0,003352 | 0,297853 | 0,045384 | 0,011122 | 0,000000000227 |
| 1665 | 2015 | 0,003284134 | 0,057307 | 0,007582 | 0,00337  | 0,308625 | 0,044332 | 0,011289 | 0,000000000235 |
| 1666 | 2019 | 0,011574167 | 0,107583 | 0,003305 | 0,001705 | 0,292378 | 0,050264 | 0,057334 | 0,000000000148 |
| 1666 | 2018 | 0,008071325 | 0,089841 | 0,004282 | 0,00148  | 0,22134  | 0,050525 | 0,051953 | 0,000000000149 |
| 1666 | 2017 | 0,010491711 | 0,102429 | 0,019637 | 0,0056   | 0,235113 | 0,045137 | 0,042433 | 0,000000000117 |
| 1678 | 2019 | 0,010453196 | 0,102241 | 0,050941 | 0,013886 | 0,155305 | 0,020221 | 0,048484 | 0,000000000158 |
| 1678 | 2018 | 0,011496541 | 0,107222 | 0,038562 | 0,018299 | 0,098737 | 0,020936 | 0,051486 | 0,000000000189 |
| 1678 | 2017 | 0,009334123 | 0,096613 | 0,049919 | 0,020417 | 0,093456 | 0,019843 | 0,052058 | 0,000000000187 |
| 1678 | 2016 | 0,009508443 | 0,097511 | 0,033424 | 0,020789 | 0,067042 | 0,019796 | 0,048837 | 0,000000000189 |
| 1678 | 2015 | 0,008222782 | 0,09068  | 0,052839 | 0,020622 | 0,062261 | 0,019129 | 0,047352 | 0,000000000188 |
| 1678 | 2014 | 0,010131795 | 0,100657 | 0,048053 | 0,013335 | 0,058862 | 0,019928 | 0,048515 | 0,000000000188 |
| 1678 | 2012 | 0,009557197 | 0,097761 | 0,031817 | 0,007798 | 0,055939 | 0,020782 | 0,048777 | 0,000000000203 |
| 1685 | 2019 | 0,017722103 | 0,133124 | 0,113163 | 0,004181 | 0,109026 | 0,025199 | 0,031792 | 0,000000000082 |
| 1685 | 2018 | 0,014877753 | 0,121974 | 0,605447 | 0,003563 | 0,076441 | 0,014235 | 0,027005 | 0,000000000086 |
| 1685 | 2017 | 0,018601511 | 0,136387 | 0,115461 | 0,006452 | 0,08405  | 0,011721 | 0,023386 | 0,000000000080 |
| 1685 | 2016 | 0,012939209 | 0,113751 | 0,099428 | 0,005233 | 0,08396  | 0,011896 | 0,023087 | 0,000000000092 |
| 1685 | 2015 | 0,018486197 | 0,135964 | 0,108053 | 0,004807 | 0,089929 | 0,012243 | 0,022976 | 0,000000000098 |
| 1685 | 2014 | 0,016679445 | 0,129149 | 0,098331 | 0        | 0,104195 | 0,014857 | 0,020874 | 0,000000000103 |
| 1685 | 2013 | 0,015719111 | 0,125376 | 0,108127 | 0,003721 | 0,106906 | 0,016494 | 0,023255 | 0,000000000108 |
| 1686 | 2019 | 0,00047028  | 0,021686 | 0,018974 | 0,004676 | 0,368562 | 0,046545 | 0,013806 | 0,000000000106 |
| 1688 | 2019 | 0,007097022 | 0,084244 | 0,016201 | 0,002869 | 0,527206 | 0,094906 | 0,055575 | 0,000000000136 |
| 1688 | 2018 | 0,019008899 | 0,137873 | 0,019478 | 0,003047 | 0,546487 | 0,084953 | 0,054438 | 0,000000000129 |
| 1688 | 2017 | 0,001732404 | 0,041622 | 0,02032  | 0,002659 | 0,564745 | 0,082591 | 0,043689 | 0,000000000138 |
| 1688 | 2016 | 1,03455E-05 | 0,003216 | 0,012152 | 0,002572 | 0,489653 | 0,080158 | 0,038035 | 0,000000000153 |
| 1688 | 2015 | 0,001545429 | 0,039312 | 0,011895 | 0,002051 | 0,430313 | 0,060714 | 0,039653 | 0,000000000166 |
| 1688 | 2014 | 7,57753E-05 | 0,008705 | 0,013922 | 0,002439 | 0,392143 | 0,085563 | 0,045601 | 0,000000000142 |
| 1688 | 2013 | 0,004445577 | 0,066675 | 0,023075 | 0,002667 | 0,423913 | 0,083516 | 0,048271 | 0,000000000151 |
| 1689 | 2019 | 0,000897074 | 0,029951 | 0,000442 | 0,000486 | 0,155611 | 0,032004 | 0,026173 | 0,000000000053 |
| 1689 | 2018 | 0,000479247 | 0,021892 | 0,000737 | 0,000484 | 0,165481 | 0,029403 | 0,027134 | 0,000000000053 |
| 1689 | 2017 | 0,001695905 | 0,041181 | 0,000989 | 0,000516 | 0,177293 | 0,02842  | 0,02892  | 0,000000000060 |
| 1689 | 2016 | 0,004723753 | 0,06873  | 0,00066  | 0,000315 | 0,148137 | 0,028384 | 0,029868 | 0,000000000070 |
| 1689 | 2015 | 0,006805274 | 0,082494 | 0,000504 | 0,000472 | 0,153767 | 0,028443 | 0,03051  | 0,000000000068 |
| 1689 | 2014 | 0,004027924 | 0,063466 | 0,000738 | 0,000453 | 0,167691 | 0,030653 | 0,027643 | 0,000000000069 |

Continua...

...continuação

|      |      |             |          |          |          |          |          |          |                |
|------|------|-------------|----------|----------|----------|----------|----------|----------|----------------|
| 1692 | 2019 | 0,035687379 | 0,188911 | 0,003202 | 0,001634 | 0,14977  | 0,023197 | 0,18486  | 0,000000000058 |
| 1692 | 2018 | 0,098509958 | 0,313863 | 0,003669 | 0,002364 | 0,114458 | 0,018995 | 0,193698 | 0,000000000075 |
| 1692 | 2017 | 0,09273559  | 0,304525 | 0,004933 | 0,005218 | 0,094583 | 0,013661 | 0,170477 | 0,000000000089 |
| 1692 | 2016 | 0,051505341 | 0,226948 | 0,012085 | 0,007902 | 0,060543 | 0,013712 | 0,170008 | 0,000000000102 |
| 1692 | 2015 | 0,015259642 | 0,12353  | 0,022784 | 0,01002  | 0,063961 | 0,01702  | 0,182687 | 0,000000000136 |
| 1692 | 2014 | 0,011032128 | 0,105034 | 0,030722 | 0,010656 | 0,077081 | 0,019803 | 0,188168 | 0,000000000139 |
| 1692 | 2013 | 0,005300883 | 0,072807 | 0,040824 | 0,010026 | 0,080368 | 0,022956 | 0,18423  | 0,000000000138 |
| 1695 | 2018 | 0,000553119 | 0,023518 | 0,002241 | 0,002578 | 0,0242   | 0,002646 | 0,016104 | 0,000000000200 |
| 1695 | 2015 | 2,5198E-05  | 0,00502  | 0,022117 | 0,005404 | 0,025817 | 0,003697 | 0,011174 | 0,000000000189 |
| 1695 | 2014 | 0,000189537 | 0,013767 | 0,024858 | 0,006185 | 0,027884 | 0,004069 | 0,012835 | 0,000000000164 |
| 1695 | 2013 | 0,003658551 | -0,06049 | 0,040467 | 0,009197 | 0,032517 | 0,004974 | 0,01639  | 0,000000000158 |
| 1696 | 2019 | 0,001808899 | 0,042531 | 0,009692 | 0        | 0,374892 | 0,052485 | 0,035002 | 0,000000000207 |
| 1696 | 2017 | 0,001685961 | 0,04106  | 0,009069 | 0,000564 | 0,371978 | 0,058719 | 0,037781 | 0,000000000249 |
| 1696 | 2016 | 3,49948E-05 | 0,005916 | 0,009553 | 0,002054 | 0,342722 | 0,075245 | 0,031995 | 0,000000000274 |
| 1699 | 2019 | 0,00162347  | 0,040292 | 0,023778 | 0,006961 | 0,352566 | 0,067132 | 0,048124 | 0,000000000103 |
| 1699 | 2018 | 0,004637697 | 0,068101 | 0,019537 | 0,00606  | 0,309275 | 0,053568 | 0,055965 | 0,000000000107 |
| 1699 | 2017 | 0,005473039 | 0,07398  | 0,017641 | 0        | 0,307865 | 0,050348 | 0,052015 | 0,000000000106 |
| 1699 | 2016 | 0,004713542 | 0,068655 | 0,017283 | 0        | 0,283245 | 0,044896 | 0,054278 | 0,000000000114 |
| 1699 | 2015 | 0,008427476 | 0,091801 | 0,016167 | 0        | 0,253399 | 0,049575 | 0,055116 | 0,000000000115 |
| 1699 | 2014 | 0,01711031  | 0,130806 | 0,016594 | 0        | 0,223881 | 0,044529 | 0,047126 | 0,000000000119 |
| 1707 | 2019 | 0,003263286 | 0,057125 | 0,004757 | 0,001791 | 0,356336 | 0,039802 | 0,02439  | 0,000000000114 |
| 1707 | 2018 | 0,003934714 | 0,062727 | 0,012508 | 0,002298 | 0,296911 | 0,037907 | 0,024816 | 0,000000000120 |
| 1707 | 2017 | 0,005637365 | 0,075082 | 0,015662 | 0,002119 | 0,298325 | 0,035422 | 0,026454 | 0,000000000121 |
| 1707 | 2016 | 0,006662238 | 0,081623 | 0,01188  | 0,000871 | 0,285594 | 0,033796 | 0,022364 | 0,000000000131 |
| 1707 | 2015 | 0,003390545 | 0,058228 | 0,01385  | 0,001049 | 0,278521 | 0,033552 | 0,021772 | 0,000000000138 |
| 1727 | 2019 | 0,001170155 | 0,034208 | 0,002999 | 0,001022 | 0,074711 | 0,006057 | 0,041579 | 0,000000000086 |
| 1727 | 2014 | 0,004272772 | 0,065366 | 0,003061 | 0,00113  | 0,02885  | 0,008259 | 0,034228 | 0,000000000089 |
| 1727 | 2013 | 0,004619014 | 0,067963 | 0,00352  | 0,001354 | 0,036821 | 0,008711 | 0,037573 | 0,000000000102 |
| 1731 | 2019 | 0,006206033 | 0,078778 | 0,174041 | 0,005461 | 0,412499 | 0,040754 | 0,008798 | 0,000000000100 |
| 1731 | 2018 | 0,007408548 | 0,086073 | 0,193338 | 0,005325 | 0,414172 | 0,041732 | 0,009672 | 0,000000000102 |
| 1731 | 2017 | 0,011293849 | 0,106273 | 0,166127 | 0,003787 | 0,418372 | 0,041532 | 0,010383 | 0,000000000116 |
| 1737 | 2018 | 0,007454016 | 0,086337 | 0,201576 | 0,027274 | 0,058314 | 0,011504 | 0,054029 | 0,000000000047 |
| 1737 | 2017 | 0,008891473 | 0,094295 | 0,22977  | 0,020625 | 0,055508 | 0,010989 | 0,056024 | 0,000000000049 |
| 1737 | 2016 | 0,006935766 | 0,083281 | 0,365451 | 0,020428 | 0,076073 | 0,013374 | 0,066512 | 0,000000000047 |
| 1737 | 2015 | 0,019211686 | 0,138606 | 0,073091 | 0,010012 | 0,084632 | 0,0179   | 0,086987 | 0,000000000125 |
| 1737 | 2014 | 0,014211393 | 0,119212 | 0,083725 | 0,013214 | 0,092419 | 0,018674 | 0,091465 | 0,000000000142 |
| 1737 | 2013 | 0,014194222 | 0,11914  | 0,101279 | 0,00421  | 0,09389  | 0,017206 | 0,084427 | 0,000000000145 |
| 1737 | 2012 | 0,015050763 | 0,122682 | 0,004474 | 3,45E-05 | 0,079629 | 0,017267 | 0,080391 | 0,000000000157 |
| 1738 | 2019 | 0,000928055 | 0,030464 | 0,000682 | 0,001984 | 0,081029 | 0,01294  | 0,024211 | 0,000000000049 |
| 1738 | 2018 | 0,000486677 | 0,022061 | 0,000682 | 0,001767 | 0,076287 | 0,009598 | 0,021262 | 0,000000000047 |
| 1738 | 2017 | 0,000863334 | 0,029383 | 0,000569 | 0,001751 | 0,070402 | 0,009895 | 0,021246 | 0,000000000048 |
| 1738 | 2016 | 0,001077199 | 0,032821 | 0,000473 | 0,000417 | 0,0781   | 0,011513 | 0,01925  | 0,000000000052 |
| 1738 | 2015 | 0,000958917 | 0,030966 | 0,000475 | 0,00163  | 0,083349 | 0,01103  | 0,018509 | 0,000000000061 |
| 1738 | 2014 | 0,000546268 | 0,023372 | 0,000495 | 0,001189 | 0,085394 | 0,009361 | 0,01728  | 0,000000000051 |
| 1738 | 2013 | 0,000565187 | 0,023774 | 0,000651 | 0,00129  | 0,087455 | 0,010718 | 0,019136 | 0,000000000054 |
| 1739 | 2019 | 0,002837202 | 0,053265 | 0,012903 | 0,00966  | 0,098614 | 0,009963 | 0,148701 | 0,000000000066 |
| 1739 | 2018 | 0,001576716 | 0,039708 | 0,020431 | 0,009446 | 0,09227  | 0,009055 | 0,141211 | 0,000000000076 |
| 1739 | 2017 | 0,00068399  | 0,026153 | 0,028185 | 0,009897 | 0,098386 | 0,009642 | 0,152274 | 0,000000000074 |
| 1740 | 2019 | 0,00066718  | -0,02583 | 0,118597 | 0,016172 | 0,155639 | 0,016776 | 0,00705  | 0,000000000052 |
| 1740 | 2018 | 0,000370132 | 0,019239 | 0,092684 | 0,01248  | 0,126571 | 0,011487 | 0,006211 | 0,000000000051 |

Continua...

...continuação

|      |      |             |          |          |          |          |          |          |                 |
|------|------|-------------|----------|----------|----------|----------|----------|----------|-----------------|
| 1742 | 2017 | 0,000673214 | 0,025946 | 0,00362  | 0,001099 | 0,051224 | 0,013758 | 0,032512 | 0,0000000000080 |
| 1742 | 2016 | 0,000990401 | 0,031471 | 0,003673 | 0,001418 | 0,0596   | 0,015872 | 0,034025 | 0,0000000000087 |
| 1742 | 2015 | 0,000959663 | 0,030978 | 0,00327  | 0,001598 | 0,066568 | 0,014967 | 0,033545 | 0,0000000000098 |
| 1742 | 2014 | 0,001020766 | 0,031949 | 0,002835 | 0,001926 | 0,067029 | 0,014713 | 0,033171 | 0,0000000000083 |
| 1742 | 2013 | 0,000787049 | 0,028054 | 0,00393  | 0,001796 | 0,064437 | 0,014734 | 0,034363 | 0,0000000000091 |
| 1748 | 2019 | 0,028098035 | 0,167625 | 0,060605 | 0,00231  | 0,098986 | 0,02169  | 0,062446 | 0,0000000000139 |
| 1748 | 2015 | 0,022114829 | 0,148711 | 0,04276  | 0,005557 | 0,127995 | 0,021247 | 0,081    | 0,0000000000169 |
| 1753 | 2018 | 0,002294712 | 0,047903 | 0,409451 | 0,013636 | 0,176671 | 0,011827 | 0,006497 | 0,0000000000019 |
| 1753 | 2017 | 0,012371176 | 0,111226 | 0,102886 | 0,014017 | 0,149375 | 0,017647 | 0,004954 | 0,0000000000066 |
| 1753 | 2016 | 0,009466921 | 0,097298 | 0,140593 | 0,016795 | 0,093523 | 0,017339 | 0,016486 | 0,0000000000072 |
| 1753 | 2015 | 0,010461448 | 0,102281 | 0,154992 | 0        | 0,101857 | 0,019664 | 0,018164 | 0,0000000000075 |
| 1753 | 2014 | 0,006487087 | 0,080542 | 0,163649 | 0,020474 | 0,123271 | 0,020976 | 0,020082 | 0,0000000000082 |
| 1755 | 2019 | 0,008600127 | 0,092737 | 0,206564 | 0        | 0,225816 | 0,0448   | 0,04323  | 0,0000000000086 |
| 1755 | 2018 | 0,007944815 | 0,089134 | 0,220195 | 0,01907  | 0,18177  | 0,040021 | 0,042909 | 0,0000000000098 |
| 1755 | 2017 | 0,011316068 | 0,106377 | 0,236928 | 0,019816 | 0,179648 | 0,040799 | 0,04144  | 0,0000000000102 |
| 1755 | 2016 | 0,008811598 | 0,09387  | 0,264068 | 0,01145  | 0,180322 | 0,03477  | 0,033818 | 0,0000000000112 |
| 1755 | 2015 | 0,007708149 | 0,087796 | 0,157755 | 0,013291 | 0,188904 | 0,037287 | 0,035619 | 0,0000000000121 |
| 1755 | 2014 | 0,004647658 | 0,068174 | 0,166756 | 0,012114 | 0,180395 | 0,030771 | 0,029672 | 0,0000000000121 |
| 1755 | 2013 | 0,005963624 | 0,077225 | 0,178128 | 0,029911 | 0,186597 | 0,036409 | 0,035639 | 0,0000000000122 |
| 1757 | 2019 | 0,015148198 | 0,123078 | 0,113942 | 0        | 0,105069 | 0,020069 | 0,070268 | 0,0000000000038 |
| 1757 | 2018 | 0,021748173 | 0,147473 | 0,131905 | 0,005235 | 0,087867 | 0,015922 | 0,063075 | 0,0000000000044 |
| 1757 | 2017 | 0,022331063 | 0,149436 | 0,162244 | 0        | 0,09168  | 0,025145 | 0,047148 | 0,0000000000045 |
| 1757 | 2016 | 0,016511158 | 0,128496 | 0,184954 | 0        | 0,108266 | 0,023157 | 0,041036 | 0,0000000000055 |
| 1757 | 2015 | 0,019957908 | 0,141272 | 0,153062 | 0        | 0,122895 | 0,022574 | 0,052198 | 0,0000000000069 |
| 1757 | 2014 | 0,015555422 | 0,124721 | 0,135762 | 0,009338 | 0,117669 | 0,016342 | 0,056736 | 0,0000000000071 |
| 1760 | 2019 | 0,007042378 | 0,083919 | 0,041805 | 0,003119 | 0,32246  | 0,040475 | 0,035517 | 0,0000000000097 |
| 1760 | 2016 | 0,010531531 | 0,102623 | 0,026555 | 0,002256 | 0,278444 | 0,037106 | 0,036346 | 0,0000000000118 |
| 1769 | 2018 | 4,11034E-06 | 0,002027 | 0,191076 | 0,003599 | 0,253337 | 0,03786  | 0,013187 | 0,0000000000023 |
| 1769 | 2015 | 0,007814921 | 0,088402 | 0,237551 | 0,002926 | 0,278753 | 0,065453 | 0,013528 | 0,0000000000025 |
| 1769 | 2014 | 0,012399746 | 0,111354 | 0,228234 | 0        | 0,271476 | 0,056073 | 0,012366 | 0,0000000000027 |
| 1769 | 2013 | 0,009765274 | 0,098819 | 0,207686 | 0        | 0,226819 | 0,050356 | 0,011446 | 0,0000000000027 |
| 1771 | 2019 | 0,012864808 | 0,113423 | 0,087111 | 0,019288 | 0,106924 | 0,012999 | 0,05189  | 0,0000000000104 |
| 1771 | 2018 | 0,013856219 | 0,117712 | 0,123048 | 0,013894 | 0,094481 | 0,01256  | 0,044906 | 0,0000000000106 |
| 1771 | 2017 | 0,013834306 | 0,117619 | 0,057867 | 0,012375 | 0,096877 | 0,012375 | 0,04561  | 0,0000000000117 |
| 1771 | 2016 | 0,010898301 | 0,104395 | 0,044442 | 0,014404 | 0,093192 | 0,011695 | 0,04198  | 0,0000000000119 |
| 1771 | 2015 | 0,00867031  | 0,093114 | 0,054404 | 0,019878 | 0,083568 | 0,012293 | 0,043026 | 0,0000000000128 |
| 1771 | 2014 | 0,004296632 | 0,065549 | 0,048615 | 0,017043 | 0,065986 | 0,010597 | 0,035615 | 0,0000000000134 |
| 1771 | 2013 | 0,002291453 | 0,047869 | 0,060324 | 0,018311 | 0,058651 | 0,017289 | 0,032811 | 0,0000000000092 |
| 1783 | 2019 | 0,002752559 | 0,052465 | 0,090145 | 0,006674 | 0,027542 | 0,010307 | 0,027711 | 0,0000000000129 |
| 1783 | 2018 | 0,000571804 | 0,023912 | 0,14196  | 0,02795  | 0,049844 | 0,025742 | 0,026499 | 0,0000000000063 |
| 1783 | 2017 | 0,000177411 | 0,01332  | 0,155768 | 0,012966 | 0,045852 | 0,02994  | 0,026816 | 0,0000000000063 |
| 1783 | 2016 | 0,000383056 | 0,019572 | 0,200661 | 0,009819 | 0,06259  | 0,025584 | 0,054975 | 0,0000000000055 |
| 1783 | 2015 | 0,002250554 | 0,04744  | 0,03544  | 0,00688  | 0,07656  | 0,01704  | 0,05984  | 0,0000000000085 |
| 1783 | 2014 | 0,000564355 | 0,023756 | 0,03922  | 0,011878 | 0,07097  | 0,020917 | 0,06066  | 0,0000000000076 |
| 1783 | 2013 | 0,011422572 | 0,106876 | 0,056725 | 0,015511 | 0,082429 | 0,020755 | 0,076741 | 0,0000000000074 |
| 1786 | 2019 | 0,016780462 | 0,129539 | 0,051702 | 0,009021 | 0,244388 | 0,033867 | 0,017114 | 0,0000000000051 |
| 1786 | 2018 | 0,016831389 | 0,129736 | 0,048954 | 0,00824  | 0,220589 | 0,024504 | 0,015779 | 0,0000000000052 |
| 1786 | 2017 | 0,014123375 | 0,118842 | 0,058816 | 0,00677  | 0,237381 | 0,028229 | 0,045578 | 0,0000000000055 |
| 1786 | 2014 | 0,017558161 | 0,132507 | 0,022489 | 0,006491 | 0,241673 | 0,023013 | 0,049436 | 0,0000000000063 |

Continua...

...continuação

|      |      |             |          |          |          |          |          |          |                 |
|------|------|-------------|----------|----------|----------|----------|----------|----------|-----------------|
| 1787 | 2019 | 0,000151793 | 0,01232  | 0,02487  | 0,00752  | 0,114913 | 0,017728 | 0,057679 | 0,000000000107  |
| 1789 | 2019 | 0,013818149 | 0,117551 | 0,100831 | 0,008048 | 0,173973 | 0,021653 | 0,100924 | 0,000000000159  |
| 1789 | 2018 | 0,009801766 | 0,099004 | 0,098613 | 0,006362 | 0,170253 | 0,016774 | 0,10948  | 0,000000000168  |
| 1790 | 2019 | 0,000547213 | 0,023393 | 0,00647  | 0,001469 | 0,009973 | 0,001611 | 0,001473 | 0,000000000019  |
| 1794 | 2019 | 0,005509499 | 0,074226 | 0,057232 | 0,01465  | 0,105772 | 0,027981 | 0,123157 | 0,000000000038  |
| 1794 | 2018 | 0,013621253 | 0,11671  | 0,030665 | 0,008843 | 0,064222 | 0,01128  | 0,111949 | 0,000000000068  |
| 1794 | 2017 | 0,007669621 | 0,087576 | 0,026574 | 0,006401 | 0,05208  | 0,009892 | 0,085103 | 0,000000000048  |
| 1800 | 2019 | 0,002435334 | 0,049349 | 0,261172 | 0,026168 | 0,11199  | 0,012214 | 0,020723 | 0,000000000019  |
| 1800 | 2018 | 0,003048159 | 0,05521  | 0,283489 | 0,028334 | 0,107108 | 0,011981 | 0,020101 | 0,000000000019  |
| 1800 | 2017 | 0,002173258 | 0,046618 | 0,358825 | 0,02739  | 0,117309 | 0,013095 | 0,021912 | 0,000000000019  |
| 1800 | 2016 | 0,002332347 | 0,048294 | 0,186134 | 0,016835 | 0,146494 | 0,012824 | 0,024321 | 0,000000000027  |
| 1800 | 2014 | 0,005499552 | 0,074159 | 0,376194 | 0,017623 | 0,206789 | 0,021239 | 0,03219  | 0,000000000037  |
| 1800 | 2013 | 0,017053837 | 0,13059  | 0,091478 | 0,00683  | 0,293137 | 0,038868 | 0,044723 | 0,000000000080  |
| 1800 | 2012 | 0,010671031 | 0,103301 | 0,099185 | 0,006832 | 0,286114 | 0,027821 | 0,040662 | 0,000000000082  |
| 1801 | 2019 | 0,016495781 | 0,128436 | 0,100024 | 0,015062 | 0,136363 | 0,016861 | 0,118733 | 0,0000000000101 |
| 1801 | 2018 | 0,007602776 | 0,087194 | 0,091706 | 0,015099 | 0,098273 | 0,025434 | 0,120922 | 0,0000000000102 |
| 1801 | 2017 | 0,005989707 | 0,077393 | 0,109145 | 0        | 0,104696 | 0,02591  | 0,13317  | 0,0000000000105 |
| 1801 | 2016 | 0,003684162 | 0,060697 | 0,112298 | 0        | 0,103387 | 0,025768 | 0,104085 | 0,0000000000111 |
| 1801 | 2015 | 0,003038942 | 0,055127 | 0,103893 | 0        | 0,104284 | 0,035215 | 0,111065 | 0,0000000000112 |
| 1818 | 2018 | 0,000946773 | 0,03077  | 0,069145 | 0,002595 | 0,055114 | 0,003986 | 0,000307 | 0,000000000030  |
| 1820 | 2018 | 0,000120872 | 0,010994 | 0,038057 | 0,003759 | 0,157019 | 0,026123 | 0,042661 | 0,000000000097  |
| 1820 | 2017 | 0,000323413 | 0,017984 | 0,038122 | 0,003895 | 0,139477 | 0,03315  | 0,042514 | 0,000000000091  |
| 1825 | 2019 | 0,082802793 | 0,287755 | 0,134318 | 0,018655 | 0,139912 | 0,007258 | 0,086541 | 0,000000000037  |
| 1825 | 2018 | 0,071956337 | 0,268247 | 0,127499 | 0,030539 | 0,147163 | 0,011009 | 0,106135 | 0,000000000040  |
| 1825 | 2017 | 0,057473636 | 0,239737 | 0,166759 | 0,035019 | 0,136791 | 0,011447 | 0,096868 | 0,000000000042  |
| 1825 | 2016 | 0,071358477 | 0,26713  | 0,179715 | 0,018197 | 0,118061 | 0,014596 | 0,093121 | 0,000000000044  |
| 1825 | 2015 | 0,086876768 | 0,294749 | 0,241569 | 0,022625 | 0,129362 | 0,012885 | 0,119025 | 0,000000000051  |
| 1825 | 2014 | 0,091319023 | 0,30219  | 0,307755 | 0,037415 | 0,13489  | 0,015157 | 0,144647 | 0,000000000070  |
| 1825 | 2013 | 0,047148441 | 0,217137 | 0,377183 | 0,028908 | 0,147573 | 0,01583  | 0,121724 | 0,000000000084  |
| 1829 | 2019 | 0,000279574 | 0,01672  | 0,03617  | 0,029559 | 0,118542 | 0,030635 | 0,086908 | 0,000000000039  |
| 1829 | 2018 | 0,000204927 | 0,014315 | 0,061541 | 0,034817 | 0,102257 | 0,030357 | 0,078482 | 0,000000000038  |
| 1829 | 2017 | 0,01680181  | 0,129622 | 0,090701 | 0,040105 | 0,104747 | 0,029478 | 0,081293 | 0,000000000034  |
| 1829 | 2016 | 0,00486972  | 0,069783 | 0,121874 | 0,037044 | 0,096689 | 0,030795 | 0,077721 | 0,000000000033  |
| 1829 | 2015 | 0,001139122 | 0,033751 | 0,209497 | 0,010737 | 0,145782 | 0,037413 | 0,067127 | 0,000000000030  |
| 1829 | 2014 | 0,013799357 | 0,117471 | 0,021643 | 0,010626 | 0,193286 | 0,061995 | 0,107301 | 0,000000000066  |
| 1829 | 2013 | 0,015635083 | 0,12504  | 0,029292 | 0,013743 | 0,212465 | 0,067682 | 0,107168 | 0,000000000065  |
| 1832 | 2019 | 0,045575006 | 0,213483 | 0,023863 | 0,002619 | 0,268944 | 0,017965 | 0,109421 | 0,000000000103  |
| 1832 | 2018 | 0,019531079 | 0,139754 | 0,025516 | 0,002249 | 0,24999  | 0,016505 | 0,111515 | 0,000000000118  |
| 1841 | 2018 | 0,030272776 | 0,173991 | 0,087049 | 0,020354 | 0,065418 | 0,008758 | 0,097656 | 0,000000000048  |
| 1841 | 2017 | 0,029094474 | 0,170571 | 0,124249 | 0,005471 | 0,064561 | 0,015337 | 0,092349 | 0,000000000053  |
| 1841 | 2016 | 0,025334788 | 0,159169 | 0,028313 | 0,005621 | 0,068787 | 0,011519 | 0,089863 | 0,000000000069  |
| 1841 | 2015 | 0,014916878 | 0,122135 | 0,033921 | 0,006428 | 0,066815 | 0,020709 | 0,079889 | 0,000000000079  |
| 1841 | 2014 | 0,006459121 | 0,080369 | 0,045309 | 0,006099 | 0,069954 | 0,013771 | 0,076644 | 0,000000000085  |
| 1841 | 2013 | 0,001670603 | 0,040873 | 0,044378 | 0,004954 | 0,074186 | 0,024677 | 0,079782 | 0,000000000093  |
| 1841 | 2012 | 0,001872831 | 0,043276 | 0,058308 | 0,01482  | 0,06356  | 0,01394  | 0,079635 | 0,000000000096  |

Continua...

...continuação

|      |      |             |          |          |          |          |          |          |                |
|------|------|-------------|----------|----------|----------|----------|----------|----------|----------------|
| 1845 | 2018 | 0,0156236   | 0,124994 | 0,234969 | 0,017961 | 0,05981  | 0,003374 | 0,072351 | 0,000000000016 |
| 1845 | 2017 | 0,051172796 | 0,226214 | 0,268741 | 0,016549 | 0,051784 | 0,003662 | 0,055194 | 0,000000000014 |
| 1845 | 2016 | 0,115178946 | 0,33938  | 0,164884 | 0,015035 | 0,052658 | 0,003253 | 0,078408 | 0,000000000018 |
| 1847 | 2019 | 0,023549311 | 0,153458 | 0,063681 | 0,004289 | 0,290558 | 0,059551 | 0,008316 | 0,000000000043 |
| 1847 | 2018 | 0,025459685 | 0,159561 | 0,06694  | 0,003877 | 0,143985 | 0,031143 | 0,009848 | 0,000000000057 |
| 1847 | 2017 | 0,022296739 | 0,149321 | 0,067841 | 0,004589 | 0,141335 | 0,026077 | 0,013215 | 0,000000000056 |
| 1849 | 2019 | 0,006508521 | 0,080675 | 0,03     | 0,007087 | 0,029551 | 0,004757 | 0,000444 | 0,000000000026 |
| 1849 | 2014 | 0,003821092 | 0,061815 | 0,015445 | 0,004625 | 0,020647 | 0,003904 | 0,000626 | 0,000000000030 |
| 1850 | 2019 | 0,010820098 | 0,10402  | 0,078695 | 0,017142 | 0,078789 | 0,011097 | 0,119308 | 0,000000000084 |
| 1850 | 2018 | 0,011146766 | 0,105578 | 0,082527 | 0,01279  | 0,076362 | 0,011003 | 0,110131 | 0,000000000084 |
| 1850 | 2017 | 0,013858242 | 0,117721 | 0,085113 | 0,017131 | 0,070112 | 0,007923 | 0,110116 | 0,000000000082 |
| 1850 | 2016 | 0,005398378 | 0,073474 | 0,080766 | 0,014768 | 0,062582 | 0,00678  | 0,09415  | 0,000000000093 |
| 1850 | 2015 | 0,002884503 | 0,053708 | 0,0982   | 0,016489 | 0,060596 | 0,00712  | 0,096525 | 0,000000000084 |
| 1850 | 2014 | 0,001354122 | 0,036798 | 0,118357 | 0,015093 | 0,066606 | 0,004672 | 0,090103 | 0,000000000088 |
| 1850 | 2013 | 0,000906354 | 0,030106 | 0,132992 | 0,018573 | 0,073186 | 0,005451 | 0,08981  | 0,000000000074 |
| 1865 | 2019 | 0,014986958 | 0,122421 | 0,086954 | 0,010818 | 0,302654 | 0,035822 | 0,030029 | 0,000000000055 |
| 1865 | 2018 | 0,013025756 | 0,11413  | 0,086102 | 0,01032  | 0,276624 | 0,037433 | 0,036578 | 0,000000000064 |
| 1865 | 2017 | 0,009989591 | 0,099948 | 0,084147 | 0,009431 | 0,280981 | 0,037174 | 0,037787 | 0,000000000058 |
| 1865 | 2016 | 0,0056288   | 0,075025 | 0,060842 | 0,008926 | 0,234879 | 0,03461  | 0,027491 | 0,000000000064 |
| 1865 | 2015 | 0,000896472 | 0,029941 | 0,057536 | 0,006739 | 0,187068 | 0,025463 | 0,025676 | 0,000000000048 |
| 1865 | 2014 | 0,000812359 | 0,028502 | 0,062565 | 0,007106 | 0,171243 | 0,031707 | 0,023481 | 0,000000000039 |
| 1865 | 2013 | 0,000615901 | 0,024817 | 0,088678 | 0,005025 | 0,302756 | 0,026789 | 0,020642 | 0,000000000039 |
| 1867 | 2019 | 0,003090287 | 0,05559  | 0,020416 | 0,003802 | 0,10995  | 0,019307 | 0,105016 | 0,000000000113 |
| 1867 | 2018 | 0,003854211 | 0,062082 | 0,012346 | 0,001813 | 0,09915  | 0,020118 | 0,104516 | 0,000000000107 |
| 1867 | 2017 | 0,008790836 | 0,093759 | 0,013145 | 0,001796 | 0,10478  | 0,021354 | 0,100635 | 0,000000000102 |
| 1867 | 2016 | 0,009550253 | 0,097725 | 0,014248 | 0,001773 | 0,116417 | 0,020847 | 0,110934 | 0,000000000104 |
| 1867 | 2015 | 0,011466782 | 0,107083 | 0,004817 | 0,003337 | 0,11996  | 0,016649 | 0,116847 | 0,000000000116 |
| 1867 | 2014 | 0,004068283 | 0,063783 | 0,007582 | 0,003876 | 0,096566 | 0,015996 | 0,107448 | 0,000000000119 |
| 1867 | 2013 | 0,003443005 | 0,058677 | 0,019107 | 0,003089 | 0,085445 | 0,015301 | 0,101027 | 0,000000000097 |
| 1870 | 2019 | 0,006102556 | 0,078119 | 0,063536 | 0,005165 | 0,28354  | 0,032935 | 0,009902 | 0,000000000014 |
| 1870 | 2018 | 0,006550821 | 0,080937 | 0,055543 | 0,006349 | 0,18395  | 0,019871 | 0,011535 | 0,000000000016 |
| 1870 | 2017 | 0,01021971  | 0,101093 | 0,06675  | 0,006394 | 0,20107  | 0,024438 | 0,011427 | 0,000000000015 |
| 1875 | 2019 | 0,005134176 | 0,071653 | 0,079673 | 0,010554 | 0,098376 | 0,014091 | 0,070931 | 0,000000000140 |
| 1875 | 2017 | 0,007636405 | 0,087387 | 0,080537 | 0,011293 | 0,153215 | 0,031919 | 0,06873  | 0,000000000154 |
| 1875 | 2016 | 0,005442187 | 0,073771 | 0,085659 | 0,018472 | 0,166651 | 0,033648 | 0,074588 | 0,000000000162 |
| 1875 | 2015 | 0,003628641 | 0,060238 | 0,078394 | 0,018378 | 0,20239  | 0,031639 | 0,070909 | 0,000000000168 |
| 1875 | 2014 | 0,002105832 | 0,045889 | 0,086659 | 0,016582 | 0,19269  | 0,030879 | 0,060471 | 0,000000000163 |
| 1875 | 2013 | 0,004864492 | 0,069746 | 0,065148 | 0,016384 | 0,185797 | 0,03002  | 0,05878  | 0,000000000142 |
| 1881 | 2019 | 0,005621056 | 0,074974 | 0,020877 | 0,002913 | 0,504496 | 0,078114 | 0,185261 | 0,000000000004 |
| 1881 | 2018 | 0,007141716 | 0,084509 | 0,027963 | 0,003232 | 0,420448 | 0,082583 | 0,196198 | 0,000000000006 |
| 1883 | 2019 | 0,036188083 | 0,190232 | 0,008755 | 0,000158 | 0,140759 | 0,023413 | 0,096416 | 0,000000000084 |
| 1883 | 2018 | 0,063045832 | 0,251089 | 0,00732  | 0,000284 | 0,121327 | 0,019534 | 0,09215  | 0,000000000089 |
| 1883 | 2017 | 0,072665654 | 0,269566 | 0,015226 | 0,000559 | 0,120753 | 0,019199 | 0,093095 | 0,000000000091 |
| 1883 | 2016 | 0,031658947 | 0,17793  | 0,0176   | 0,00072  | 0,114783 | 0,020397 | 0,095766 | 0,000000000116 |
| 1883 | 2015 | 0,020512276 | 0,143221 | 0,021587 | 0,001203 | 0,118116 | 0,023883 | 0,093552 | 0,000000000140 |
| 1883 | 2014 | 0,009021274 | 0,09498  | 0,019941 | 0,001251 | 0,115227 | 0,022711 | 0,07691  | 0,000000000136 |
| 1883 | 2013 | 0,001489849 | 0,038599 | 0,024158 | 0,061829 | 0,134651 | 0,030037 | 0,094283 | 0,000000000124 |

Continua...

...continuação

|      |      |             |          |          |          |          |          |          |                |
|------|------|-------------|----------|----------|----------|----------|----------|----------|----------------|
| 1887 | 2019 | 0,001804591 | 0,04248  | 0,028984 | 0,012026 | 0,64519  | 0,117333 | 0,044015 | 0,000000000018 |
| 1887 | 2018 | 0,142843521 | 0,377946 | 0,035702 | 0,009381 | 0,633774 | 0,105686 | 0,039436 | 0,000000000018 |
| 1887 | 2017 | 0,134620747 | 0,366907 | 0,041506 | 0,010902 | 0,643432 | 0,123613 | 0,049978 | 0,000000000023 |
| 1887 | 2016 | 0,010790643 | 0,103878 | 0,037579 | 0,010534 | 0,595273 | 0,134993 | 0,053577 | 0,000000000036 |
| 1887 | 2015 | 0,033576704 | 0,183239 | 0,033795 | 0,008698 | 0,582614 | 0,124532 | 0,053674 | 0,000000000040 |
| 1887 | 2014 | 0,044965509 | 0,212051 | 0,026275 | 0,007293 | 0,585332 | 0,136833 | 0,057486 | 0,000000000040 |
| 1887 | 2013 | 0,027868805 | 0,16694  | 0,023637 | 0,007514 | 0,599711 | 0,140511 | 0,04654  | 0,000000000052 |
| 1888 | 2019 | 0,027426708 | 0,16561  | 0,001836 | 0,000743 | 0,756613 | 0,00223  | 0,001049 | 0,000000000043 |
| 1888 | 2018 | 0,032565748 | 0,18046  | 0,003331 | 0,00074  | 0,756442 | 0,001619 | 0,000555 | 0,000000000044 |
| 1888 | 2017 | 0,028664869 | 0,169307 | 0,004325 | 0,000778 | 0,814122 | 0,001798 | 0,000632 | 0,000000000048 |
| 1888 | 2016 | 0,015504308 | 0,124516 | 0,004969 | 0,002557 | 0,82559  | 0,001833 | 0,000434 | 0,000000000049 |
| 1888 | 2013 | 0,022642267 | 0,150473 | 0,004492 | 0,004275 | 0,73876  | 0,044334 | 0,000696 | 0,000000000044 |
| 1890 | 2014 | 0,001929839 | 0,04393  | 0,196639 | 0,007602 | 0,163621 | 0,076882 | 0,006751 | 0,000000000066 |
| 1893 | 2019 | 0,006169311 | 0,078545 | 0,04895  | 0,004582 | 0,292238 | 0,046899 | 0,005662 | 0,000000000028 |
| 1893 | 2018 | 0,008039121 | 0,089661 | 0,02643  | 0,003595 | 0,148805 | 0,024208 | 0,00517  | 0,000000000034 |
| 1893 | 2017 | 0,012217436 | 0,110533 | 0,02975  | 0,005031 | 0,15208  | 0,027653 | 0,005674 | 0,000000000034 |
| 1898 | 2018 | 0,000212519 | 0,014578 | 0,007666 | 0,005382 | 0,446853 | 0,128014 | 0,033545 | 0,000000000084 |
| 1898 | 2017 | 0,000285947 | 0,01691  | 0,009835 | 0,005668 | 0,537151 | 0,135386 | 0,035639 | 0,000000000074 |
| 1898 | 2016 | 0,000284381 | 0,016864 | 0,011222 | 0,005818 | 0,62313  | 0,141562 | 0,037285 | 0,000000000081 |
| 1898 | 2015 | 0,001073298 | 0,032761 | 0,013695 | 0,005964 | 0,575907 | 0,129687 | 0,037144 | 0,000000000099 |
| 1898 | 2014 | 0,001028264 | 0,032067 | 0,014519 | 0,006016 | 0,538223 | 0,124665 | 0,043839 | 0,000000000101 |
| 1898 | 2013 | 0,000192428 | 0,013872 | 0,016064 | 0,004023 | 0,557637 | 0,12562  | 0,042802 | 0,000000000102 |
| 1901 | 2019 | 0,007328643 | 0,085607 | 0,01229  | 0,001351 | 0,38674  | 0,016939 | 0,002275 | 0,000000000023 |
| 1906 | 2019 | 0,006097983 | 0,07809  | 0,040738 | 0,008954 | 0,359571 | 0,057081 | 0,107678 | 0,000000000021 |
| 1906 | 2018 | 0,011597671 | 0,107692 | 0,039327 | 0,008306 | 0,310729 | 0,045277 | 0,107469 | 0,000000000022 |
| 1906 | 2017 | 0,018849761 | 0,137294 | 0,045856 | 0,004998 | 0,319595 | 0,056993 | 0,088548 | 0,000000000022 |
| 1906 | 2016 | 0,015094483 | 0,12286  | 0,043035 | 0,004079 | 0,29952  | 0,055716 | 0,07991  | 0,000000000026 |
| 1906 | 2015 | 0,019278284 | 0,138846 | 0,041873 | 0,008132 | 0,298876 | 0,04849  | 0,076752 | 0,000000000028 |
| 1906 | 2014 | 0,018487602 | 0,135969 | 0,015209 | 0,016567 | 0,289786 | 0,039387 | 0,073342 | 0,000000000030 |
| 1918 | 2016 | 0,034791897 | 0,186526 | 0,01231  | 0,003372 | 0,618074 | 0,1196   | 0,058019 | 0,000000000028 |
| 1918 | 2015 | 7,99077E-05 | 0,008939 | 0,017956 | 0,004876 | 0,568311 | 0,115318 | 0,062574 | 0,000000000036 |
| 1920 | 2015 | 0,000319599 | 0,017877 | 0,002015 | 0        | 0,016268 | 0,002112 | 7,49E-06 | 0,000000000011 |
| 1928 | 2017 | 0,016179253 | 0,127198 | 0,134773 | 0,006558 | 0,36452  | 0,066934 | 0,116117 | 0,000000000103 |
| 1928 | 2016 | 0,002911028 | 0,053954 | 0,137169 | 0,001852 | 0,28298  | 0,084079 | 0,134823 | 0,000000000125 |
| 1928 | 2015 | 0,002014783 | 0,044886 | 0,118728 | 0,006977 | 0,270481 | 0,078609 | 0,123844 | 0,000000000122 |
| 1928 | 2014 | 0,00248025  | 0,049802 | 0,116535 | 0,006706 | 0,291557 | 0,082454 | 0,123131 | 0,000000000111 |
| 1930 | 2019 | 0,044965276 | 0,21205  | 0,007395 | 0,00261  | 0,089712 | 0,015564 | 0,107934 | 0,000000000045 |
| 1930 | 2018 | 0,034856891 | 0,1867   | 0,008479 | 0,003098 | 0,083105 | 0,016632 | 0,111585 | 0,000000000053 |
| 1932 | 2019 | 0,002678767 | -0,05176 | 0,001195 | 0,000649 | 0,524429 | 0,090679 | 0,032364 | 0,000000000081 |
| 1932 | 2018 | 0,000132193 | 0,011498 | 0,001391 | 0,001161 | 0,495011 | 0,083426 | 0,028856 | 0,000000000075 |
| 1932 | 2017 | 0,014695403 | 0,121225 | 0,002099 | 0,003097 | 0,573065 | 0,084438 | 0,0333   | 0,000000000071 |
| 1932 | 2016 | 0,000291592 | 0,017076 | 0,003594 | 0,003322 | 0,538536 | 0,11222  | 0,029641 | 0,000000000083 |
| 1932 | 2015 | 0,002672823 | 0,051699 | 0,005177 | 0,0028   | 0,466947 | 0,118809 | 0,0332   | 0,000000000090 |
| 1932 | 2014 | 0,003083401 | 0,055528 | 0,006154 | 0,002987 | 0,460434 | 0,117272 | 0,024    | 0,000000000065 |
| 1932 | 2013 | 0,000938733 | 0,030639 | 0,008221 | 0,004529 | 0,545946 | 0,148661 | 0,024484 | 0,000000000060 |
| 1934 | 2014 | 5,65083E-05 | 0,007517 | 0,195022 | 0,072335 | 0,07886  | 0,026097 | 0,090916 | 0,000000000153 |
| 1934 | 2013 | 0,265186813 | -0,51496 | 0,190546 | 0,168167 | 0,150424 | 0,070445 | 0,160222 | 0,000000000132 |
| 1935 | 2019 | 0,006650863 | 0,081553 | 0,006184 | 0        | 0,202855 | 0,008728 | 0,002906 | 0,000000000040 |

Continua...

...continuação

|      |      |             |          |          |          |          |          |          |                 |
|------|------|-------------|----------|----------|----------|----------|----------|----------|-----------------|
| 1941 | 2019 | 0,002653899 | -0,05152 | 0,002334 | 0,001414 | 0,551058 | 0,09511  | 0,02469  | 0,0000000000076 |
| 1941 | 2018 | 0,000236253 | 0,015371 | 0,003449 | 0,001241 | 0,510793 | 0,077276 | 0,022007 | 0,0000000000075 |
| 1941 | 2017 | 0,008268498 | 0,090931 | 0,004392 | 0,001476 | 0,522583 | 0,084075 | 0,022895 | 0,0000000000066 |
| 1941 | 2016 | 0,000814258 | 0,028535 | 0,005371 | 0,002829 | 0,515136 | 0,094027 | 0,021001 | 0,0000000000072 |
| 1941 | 2015 | 0,001500608 | 0,038738 | 0,007284 | 0,001933 | 0,461606 | 0,101285 | 0,019686 | 0,0000000000079 |
| 1941 | 2014 | 0,002030468 | 0,045061 | 0,007899 | 0,001707 | 0,471263 | 0,114165 | 0,018615 | 0,0000000000067 |
| 1941 | 2013 | 0,000293787 | 0,01714  | 0,009162 | 0,001776 | 0,558632 | 0,127505 | 0,017632 | 0,0000000000062 |
| 1946 | 2019 | 0,002763519 | 0,052569 | 0,006084 | 0,001506 | 0,199893 | 0,016221 | 0,02151  | 0,0000000000025 |
| 1946 | 2018 | 0,002199759 | 0,046902 | 0,00673  | 0,001734 | 0,185634 | 0,014712 | 0,017442 | 0,0000000000026 |
| 1946 | 2017 | 0,002586517 | 0,050858 | 0,007892 | 0,001198 | 0,205784 | 0,015913 | 0,017235 | 0,0000000000026 |
| 1946 | 2014 | 0,007133405 | 0,084459 | 0,008487 | 0,00167  | 0,11917  | 0,011773 | 0,013055 | 0,0000000000028 |
| 1946 | 2013 | 0,007711472 | 0,087815 | 0,009796 | 0,004608 | 0,116587 | 0,011606 | 0,011799 | 0,0000000000031 |
| 1948 | 2019 | 0,001559383 | -0,03949 | 0,023996 | 0,011959 | 0,64163  | 0,091706 | 0,035498 | 0,0000000000034 |
| 1948 | 2018 | 8,55134E-06 | 0,002924 | 0,027808 | 0,013605 | 0,679986 | 0,098624 | 0,038444 | 0,0000000000033 |
| 1948 | 2017 | 0,009076016 | 0,095268 | 0,031339 | 0,016259 | 0,627039 | 0,107393 | 0,046962 | 0,0000000000037 |
| 1948 | 2016 | 0,002934205 | 0,054168 | 0,032419 | 0,016113 | 0,496961 | 0,112645 | 0,046839 | 0,0000000000047 |
| 1948 | 2015 | 0,004778478 | 0,069127 | 0,031225 | 0,016963 | 0,448465 | 0,123926 | 0,051792 | 0,0000000000053 |
| 1952 | 2019 | 0,001204815 | 0,03471  | 0,078357 | 0,019399 | 0,439474 | 0,086751 | 0,004976 | 0,0000000000035 |
| 1952 | 2018 | 0,001629254 | 0,040364 | 0,101462 | 0,020017 | 0,418136 | 0,086977 | 0,005656 | 0,0000000000035 |
| 1952 | 2017 | 0,002285947 | 0,047812 | 0,085654 | 0,021821 | 0,471492 | 0,094659 | 0,005863 | 0,0000000000036 |
| 1952 | 2016 | 0,002205182 | 0,046959 | 0,090311 | 0,020466 | 0,466734 | 0,096296 | 0,005475 | 0,0000000000038 |
| 1952 | 2015 | 0,001602812 | 0,040035 | 0,069899 | 0,01836  | 0,44833  | 0,091347 | 0,005692 | 0,0000000000041 |
| 1952 | 2014 | 0,000139677 | -0,01182 | 0,086164 | 0,017664 | 0,478687 | 0,093519 | 0,005582 | 0,0000000000033 |
| 1952 | 2013 | 0,000613409 | 0,024767 | 0,095459 | 0,013743 | 0,483542 | 0,090162 | 0,005059 | 0,0000000000031 |
| 1954 | 2019 | 0,009925617 | 0,099627 | 0,07544  | 0,011173 | 0,435733 | 0,051165 | 0,022731 | 0,0000000000029 |
| 1954 | 2018 | 0,009517588 | 0,097558 | 0,079139 | 0,004773 | 0,415648 | 0,042392 | 0,023131 | 0,0000000000030 |
| 1954 | 2017 | 0,013012501 | 0,114072 | 0,032562 | 0,006545 | 0,451436 | 0,050619 | 0,026589 | 0,0000000000032 |
| 1954 | 2016 | 0,013969548 | 0,118193 | 0,02482  | 0,005708 | 0,435462 | 0,049467 | 0,028287 | 0,0000000000037 |
| 1954 | 2015 | 0,011067249 | 0,105201 | 0,025955 | 0,005396 | 0,440197 | 0,051303 | 0,028798 | 0,0000000000038 |
| 1954 | 2014 | 0,009751361 | 0,098749 | 0,027182 | 0,004183 | 0,455184 | 0,042756 | 0,02962  | 0,0000000000039 |
| 1958 | 2019 | 0,000647175 | 0,02544  | 0,111526 | 0        | 0,282689 | 0,08738  | 0,008969 | 0,0000000000027 |
| 1958 | 2018 | 0,000986922 | 0,031415 | 0,144129 | 0        | 0,280189 | 0,086108 | 0,010134 | 0,0000000000026 |
| 1958 | 2017 | 0,002463331 | 0,049632 | 0,115856 | 0        | 0,327673 | 0,102231 | 0,012767 | 0,0000000000033 |
| 1958 | 2016 | 0,002482412 | 0,049824 | 0,122515 | 0        | 0,336568 | 0,105569 | 0,011186 | 0,0000000000036 |
| 1958 | 2015 | 0,003518046 | 0,059313 | 0,080037 | 0        | 0,360158 | 0,100819 | 0,010966 | 0,0000000000042 |
| 1958 | 2014 | 0,004452671 | 0,066728 | 0,090818 | 0        | 0,38637  | 0,105148 | 0,014293 | 0,0000000000039 |
| 1958 | 2013 | 0,006054325 | 0,07781  | 0,106427 | 0        | 0,394505 | 0,106477 | 0,013634 | 0,0000000000041 |
| 1959 | 2019 | 0,0645858   | 0,254137 | 0,104862 | 0,022035 | 0,292554 | 0,034574 | 0,146666 | 0,0000000000012 |
| 1959 | 2018 | 0,055728336 | 0,236068 | 0,117732 | 0,016094 | 0,274842 | 0,028506 | 0,139172 | 0,0000000000013 |
| 1959 | 2017 | 0,047105344 | 0,217038 | 0,107225 | 0,022793 | 0,267959 | 0,0296   | 0,133147 | 0,0000000000012 |
| 1959 | 2016 | 0,047780686 | 0,218588 | 0,155548 | 0,023615 | 0,257701 | 0,028582 | 0,127888 | 0,0000000000013 |
| 1959 | 2015 | 0,041001326 | 0,202488 | 0,174752 | 0,020838 | 0,232897 | 0,024527 | 0,11764  | 0,0000000000013 |
| 1959 | 2014 | 0,05020891  | 0,224073 | 0,16889  | 0,010234 | 0,226897 | 0,027789 | 0,117665 | 0,0000000000012 |
| 1959 | 2013 | 0,079957966 | 0,282768 | 0,064138 | 0,008091 | 0,256293 | 0,030209 | 0,141482 | 0,0000000000015 |
| 1960 | 2019 | 0,009908177 | 0,09954  | 0,232841 | 0,015377 | 0,481935 | 0,059598 | 0,001901 | 0,0000000000022 |
| 1960 | 2018 | 0,008870409 | 0,094183 | 0,225264 | 0,015193 | 0,423814 | 0,054985 | 0,001808 | 0,0000000000023 |
| 1960 | 2017 | 0,01125001  | 0,106066 | 0,258592 | 0,015826 | 0,468676 | 0,059118 | 0,002321 | 0,0000000000023 |
| 1960 | 2016 | 0,01148455  | 0,107166 | 0,243518 | 0,013205 | 0,453548 | 0,060209 | 0,002984 | 0,0000000000026 |
| 1960 | 2015 | 0,01056707  | 0,102796 | 0,223904 | 0,010686 | 0,433343 | 0,05827  | 0,002685 | 0,0000000000029 |

Continua...

...continuação

|      |      |              |          |          |          |          |          |          |                |
|------|------|--------------|----------|----------|----------|----------|----------|----------|----------------|
| 1961 | 2019 | 0,004532734  | 0,067326 | 0,083671 | 0,010021 | 0,119834 | 0,015567 | 0,095781 | 0,000000000051 |
| 1961 | 2018 | 0,001749254  | 0,041824 | 0,084678 | 0,009998 | 0,114465 | 0,012821 | 0,101786 | 0,000000000053 |
| 1961 | 2017 | 0,001759604  | 0,041948 | 0,095428 | 0,010338 | 0,119849 | 0,014563 | 0,129802 | 0,000000000057 |
| 1961 | 2013 | 0,003588324  | 0,059903 | 0,090933 | 0,002943 | 0,167792 | 0,02777  | 0,095838 | 0,000000000055 |
| 1966 | 2019 | 0,104677235  | 0,323539 | 0,023268 | 0,019457 | 0,207083 | 0,040279 | 0,08784  | 0,000000000056 |
| 1966 | 2018 | 0,149158218  | 0,38621  | 0,041232 | 0,020932 | 0,183041 | 0,033929 | 0,089652 | 0,000000000058 |
| 1966 | 2017 | 0,127951136  | 0,357703 | 0,061985 | 0,021425 | 0,15637  | 0,031638 | 0,088516 | 0,000000000057 |
| 1966 | 2016 | 0,087839885  | 0,296378 | 0,080585 | 0,021432 | 0,153823 | 0,037047 | 0,083035 | 0,000000000061 |
| 1966 | 2015 | 0,062706343  | 0,250412 | 0,095959 | 0,021619 | 0,152922 | 0,045123 | 0,074635 | 0,000000000062 |
| 1966 | 2014 | 0,04517654   | 0,212548 | 0,108292 | 0,020731 | 0,154937 | 0,046372 | 0,074086 | 0,000000000056 |
| 1966 | 2013 | 0,019580489  | 0,13993  | 0,123614 | 0,017742 | 0,17948  | 0,046415 | 0,080368 | 0,000000000053 |
| 1977 | 2019 | 0,000091476  | 0,030245 | 0,034884 | 0,010263 | 0,093861 | 0,043761 | 0,031727 | 0,000000000037 |
| 1977 | 2018 | 0,002123295  | 0,046079 | 0,03492  | 0,010718 | 0,092067 | 0,035028 | 0,034587 | 0,000000000040 |
| 1977 | 2017 | 0,0000826037 | 0,028741 | 0,036971 | 0,014945 | 0,096103 | 0,040584 | 0,03613  | 0,000000000041 |
| 1977 | 2016 | 0,0000145535 | 0,012064 | 0,043497 | 0        | 0,096588 | 0,03801  | 0,035744 | 0,000000000040 |
| 1977 | 2015 | 0,001398429  | 0,037396 | 0,050788 | 0        | 0,101098 | 0,040876 | 0,037305 | 0,000000000039 |
| 1979 | 2019 | 0,002948916  | 0,054304 | 0,046369 | 0,009598 | 0,32334  | 0,045105 | 0,009045 | 0,000000000026 |
| 1979 | 2018 | 0,003865975  | 0,062177 | 0,053262 | 0,009494 | 0,306687 | 0,036356 | 0,008492 | 0,000000000025 |
| 1979 | 2017 | 0,004253165  | 0,065216 | 0,045158 | 0,005246 | 0,311763 | 0,035049 | 0,007206 | 0,000000000026 |
| 1979 | 2016 | 0,001243348  | 0,035261 | 0,037578 | 0,011514 | 0,295804 | 0,036168 | 0,009342 | 0,000000000031 |
| 1979 | 2015 | 0,000990044  | 0,031465 | 0,034931 | 0,010844 | 0,276051 | 0,039213 | 0,010614 | 0,000000000033 |
| 1979 | 2014 | 0,002497937  | 0,049979 | 0,034125 | 0,011731 | 0,28964  | 0,042739 | 0,009617 | 0,000000000029 |
| 1979 | 2013 | 0,001317779  | 0,036301 | 0,035393 | 0,01082  | 0,300579 | 0,043452 | 0,011727 | 0,000000000031 |
| 1980 | 2019 | 0,009882436  | 0,09941  | 0,305872 | 0,027112 | 0,09367  | 0,012101 | 0,045536 | 0,000000000033 |
| 1980 | 2018 | 0,007544828  | 0,086861 | 0,318274 | 0,029919 | 0,089009 | 0,014785 | 0,055593 | 0,000000000048 |
| 1980 | 2017 | 0,008078591  | 0,089881 | 0,314341 | 0,030427 | 0,091389 | 0,015025 | 0,053692 | 0,000000000053 |
| 1980 | 2015 | 0,002800147  | 0,052916 | 0,354723 | 0,028348 | 0,085331 | 0,015692 | 0,050168 | 0,000000000055 |
| 1991 | 2019 | 0,018014084  | 0,134217 | 0,349074 | 0,010221 | 0,129367 | 0,018119 | 0,107995 | 0,000000000046 |
| 1991 | 2018 | 0,023393515  | 0,152949 | 0,228025 | 0,018555 | 0,092059 | 0,011068 | 0,110738 | 0,000000000059 |
| 1991 | 2017 | 0,024532208  | 0,156628 | 0,235151 | 0,019653 | 0,102256 | 0,012086 | 0,124527 | 0,000000000059 |
| 1991 | 2015 | 0,022662397  | 0,15054  | 0,191121 | 0,024797 | 0,113226 | 0,012257 | 0,127149 | 0,000000000060 |
| 1991 | 2014 | 0,012694544  | 0,11267  | 0,158247 | 0,02069  | 0,108515 | 0,01141  | 0,110507 | 0,000000000067 |
| 1994 | 2019 | 0,005691601  | 0,075443 | 0,02145  | 0,003007 | 0,074106 | 0,025727 | 0,024925 | 0,000000000066 |
| 1994 | 2018 | 0,00337319   | 0,058079 | 0,02427  | 0,003115 | 0,060999 | 0,031019 | 0,025762 | 0,000000000067 |
| 1994 | 2017 | 0,002738484  | 0,052331 | 0,027984 | 0,003109 | 0,063536 | 0,027808 | 0,024875 | 0,000000000063 |
| 1994 | 2016 | 0,002309583  | 0,048058 | 0,024029 | 0,002701 | 0,052855 | 0,023517 | 0,022166 | 0,000000000055 |
| 1994 | 2015 | 0,001908781  | 0,04369  | 0,023332 | 0,047273 | 0,046206 | 0,033549 | 0,019481 | 0,000000000040 |
| 1994 | 2013 | 0,002683009  | 0,051798 | 0,115443 | 0,045736 | 0,069741 | 0,035335 | 0,020767 | 0,000000000034 |
| 1996 | 2019 | 0,019371037  | 0,13918  | 0,159097 | 0,005428 | 0,202057 | 0,019585 | 0,134504 | 0,000000000025 |
| 1996 | 2018 | 0,016943839  | 0,130169 | 0,02403  | 0,012571 | 0,179911 | 0,019791 | 0,113651 | 0,000000000023 |
| 1996 | 2017 | 0,011270409  | 0,106162 | 0,096177 | 0,016108 | 0,210689 | 0,018215 | 0,121647 | 0,000000000022 |
| 1996 | 2016 | 0,010837323  | 0,104102 | 0,117188 | 0,018498 | 0,221919 | 0,019259 | 0,141013 | 0,000000000026 |
| 1996 | 2015 | 0,009752713  | 0,098756 | 0,138419 | 0,017216 | 0,221411 | 0,019729 | 0,131865 | 0,000000000028 |
| 1996 | 2014 | 0,008449082  | 0,091919 | 0,079644 | 0,014798 | 0,219916 | 0,020962 | 0,130714 | 0,000000000027 |
| 1996 | 2013 | 0,024774355  | 0,157399 | 0,079841 | 0,015745 | 0,226264 | 0,021981 | 0,156922 | 0,000000000028 |

Continua...

...continuação

|      |      |             |          |          |          |          |          |          |                |
|------|------|-------------|----------|----------|----------|----------|----------|----------|----------------|
| 1999 | 2019 | 0,007666295 | 0,087557 | 0,100598 | 0,009193 | 0,633616 | 0,066189 | 0,008381 | 0,000000000063 |
| 1999 | 2018 | 0,008746027 | 0,09352  | 0,10899  | 0,009378 | 0,62066  | 0,058752 | 0,007925 | 0,000000000066 |
| 1999 | 2017 | 0,011568488 | 0,107557 | 0,125633 | 0,008675 | 0,663411 | 0,064878 | 0,008849 | 0,000000000066 |
| 1999 | 2016 | 0,01170746  | 0,108201 | 0,104936 | 0,007693 | 0,648223 | 0,066267 | 0,008342 | 0,000000000071 |
| 1999 | 2015 | 0,01241763  | 0,111434 | 0,110909 | 0,006698 | 0,654476 | 0,066047 | 0,007888 | 0,000000000074 |
| 1999 | 2014 | 0,009570631 | 0,09783  | 0,094498 | 0,004871 | 0,670383 | 0,070036 | 0,007661 | 0,000000000071 |
| 1999 | 2013 | 0,012046495 | 0,109757 | 0,101965 | 0,002806 | 0,69776  | 0,070162 | 0,008424 | 0,000000000069 |
| 2005 | 2019 | 0,003539071 | 0,05949  | 0,177406 | 0,011374 | 0,055784 | 0,01027  | 0,020489 | 0,000000000016 |
| 2006 | 2019 | 0,003861412 | 0,06214  | 0,227237 | 0,022919 | 0,153877 | 0,01763  | 0,055329 | 0,000000000020 |
| 2006 | 2018 | 0,003287322 | 0,057335 | 0,194988 | 0,025635 | 0,129624 | 0,013593 | 0,059814 | 0,000000000024 |
| 2006 | 2017 | 0,004917727 | 0,070127 | 0,236705 | 0,036448 | 0,128413 | 0,01507  | 0,059824 | 0,000000000023 |
| 2006 | 2016 | 0,004054095 | 0,063672 | 0,254994 | 0,03282  | 0,108104 | 0,013596 | 0,050386 | 0,000000000025 |
| 2006 | 2015 | 0,004727101 | 0,068754 | 0,33481  | 0,030562 | 0,122774 | 0,012396 | 0,052274 | 0,000000000024 |
| 2006 | 2014 | 0,005882857 | 0,0767   | 0,238187 | 0,031519 | 0,124925 | 0,014837 | 0,071014 | 0,000000000034 |
| 2006 | 2013 | 0,010543674 | 0,102682 | 0,251739 | 0,048854 | 0,126117 | 0,020103 | 0,071668 | 0,000000000035 |
| 2012 | 2019 | 0,007175727 | 0,08471  | 0,029526 | 0,001768 | 0,481541 | 0,057284 | 0,027349 | 0,000000000028 |
| 2019 | 2019 | 0,014770257 | 0,121533 | 0,003269 | 0,002683 | 0,10431  | 0,030542 | 0,060498 | 0,000000000055 |
| 2019 | 2018 | 0,008292939 | 0,091066 | 0,00377  | 0,002008 | 0,065451 | 0,026516 | 0,052664 | 0,000000000044 |
| 2019 | 2017 | 0,00825783  | 0,090873 | 0,00277  | 0,001525 | 0,064101 | 0,025608 | 0,049129 | 0,000000000038 |
| 2019 | 2016 | 0,01247531  | 0,111693 | 0,0049   | 0,00269  | 0,072829 | 0,030073 | 0,053517 | 0,000000000042 |
| 2019 | 2015 | 0,005156517 | 0,071809 | 0,002861 | 0,002098 | 0,049398 | 0,01974  | 0,02934  | 0,000000000056 |
| 2019 | 2014 | 0,003268323 | 0,057169 | 0,003071 | 0,008127 | 0,034311 | 0,026276 | 0,022697 | 0,000000000022 |
| 2019 | 2013 | 0,003498679 | 0,05915  | 0,022681 | 0,009521 | 0,066525 | 0,024224 | 0,022055 | 0,000000000024 |
| 2020 | 2018 | 0,004725419 | 0,068742 | 0,265638 | 0,030877 | 0,073867 | 0,009329 | 0,01715  | 0,000000000018 |
| 2020 | 2017 | 0,004067003 | 0,063773 | 0,325778 | 0,031125 | 0,079023 | 0,008572 | 0,017339 | 0,000000000018 |
| 2020 | 2016 | 0,004290031 | 0,065498 | 0,321734 | 0,031738 | 0,059372 | 0,008752 | 0,017385 | 0,000000000022 |
| 2020 | 2014 | 0,004022812 | 0,063426 | 0,378715 | 0,035743 | 0,065127 | 0,009477 | 0,018549 | 0,000000000023 |
| 2020 | 2013 | 0,003151242 | 0,056136 | 0,221836 | 0,023939 | 0,055446 | 0,007429 | 0,012407 | 0,000000000031 |
| 2023 | 2019 | 0,003913469 | 0,062558 | 0,161203 | 0,032207 | 0,294884 | 0,036478 | 0,013452 | 0,000000000009 |
| 2023 | 2014 | 0,001137662 | 0,033729 | 0,124328 | 0,012798 | 0,278525 | 0,034287 | 0,013922 | 0,000000000009 |
| 2027 | 2017 | 0,039658172 | 0,199144 | 0,035981 | 0,00565  | 0,148711 | 0,02028  | 0,143418 | 0,000000000030 |
| 2027 | 2016 | 0,026842809 | 0,163838 | 0,042319 | 0,005439 | 0,152166 | 0,006233 | 0,150546 | 0,000000000030 |
| 2027 | 2015 | 0,003462427 | 0,058842 | 0,04333  | 0,005588 | 0,134724 | 0,015268 | 0,175886 | 0,000000000031 |
| 2027 | 2014 | 0,008068455 | 0,089825 | 0,048465 | 0,007907 | 0,122116 | 0,015012 | 0,108182 | 0,000000000030 |
| 2027 | 2013 | 0,006536039 | 0,080846 | 0,060064 | 0,022233 | 0,118652 | 0,011738 | 0,096678 | 0,000000000026 |
| 2031 | 2019 | 0,003805774 | 0,061691 | 0,211361 | 0,01947  | 0,063809 | 0,010056 | 0,025845 | 0,000000000011 |
| 2031 | 2018 | 0,005809109 | 0,076218 | 0,227073 | 0,019482 | 0,051633 | 0,009885 | 0,025733 | 0,000000000011 |
| 2031 | 2017 | 0,004854251 | 0,069672 | 0,227217 | 0,019068 | 0,048157 | 0,008587 | 0,023597 | 0,000000000011 |
| 2035 | 2019 | 0,001224813 | 0,034997 | 0,008738 | 0,000561 | 0,102037 | 0,019602 | 0,027885 | 0,000000000009 |
| 2045 | 2019 | 0,009849739 | 0,099246 | 0,157519 | 0,030015 | 0,259093 | 0,025379 | 0,032322 | 0,000000000013 |
| 2045 | 2018 | 0,008982675 | 0,094777 | 0,149604 | 0,019175 | 0,229845 | 0,026261 | 0,029511 | 0,000000000014 |
| 2045 | 2017 | 0,006507789 | 0,080671 | 0,167689 | 0,019555 | 0,268051 | 0,035108 | 0,02831  | 0,000000000014 |
| 2045 | 2016 | 0,004669972 | 0,068337 | 0,112602 | 0,019217 | 0,233152 | 0,0343   | 0,022586 | 0,000000000021 |
| 2045 | 2014 | 0,000161611 | 0,012713 | 0,069353 | 0,011194 | 0,172761 | 0,026819 | 0,0323   | 0,000000000014 |
| 2047 | 2019 | 0,002346689 | 0,048443 | 0,106183 | 0,018261 | 0,36478  | 0,054615 | 0,000132 | 0,000000000036 |
| 2047 | 2018 | 0,002501523 | 0,050015 | 0,078635 | 0,012803 | 0,302357 | 0,038781 | 0,00034  | 0,000000000036 |
| 2047 | 2017 | 0,002105862 | 0,04589  | 0,064099 | 0        | 0,245563 | 0,058366 | 0,000965 | 0,000000000032 |
| 2047 | 2016 | 0,002911088 | 0,053954 | 0,049099 | 0        | 0,219075 | 0,044751 | 0,000475 | 0,000000000035 |
| 2047 | 2015 | 0,002796846 | 0,052885 | 0,04924  | 0,009547 | 0,208775 | 0,031075 | 0,00047  | 0,000000000034 |
| 2047 | 2014 | 0,002515092 | 0,050151 | 0,054628 | 0,009628 | 0,249322 | 0,03482  | 0,000802 | 0,000000000030 |

Continua...

...continuação

|      |      |             |          |          |          |          |          |          |                |
|------|------|-------------|----------|----------|----------|----------|----------|----------|----------------|
| 2051 | 2019 | 0,001938419 | 0,044027 | 0,061745 | 0,0245   | 0,070363 | 0,011229 | 0,114238 | 0,000000000023 |
| 2051 | 2018 | 0,001393052 | 0,037324 | 0,07966  | 0,022853 | 0,042527 | 0,01164  | 0,112707 | 0,000000000022 |
| 2051 | 2017 | 0,002425782 | 0,049252 | 0,095638 | 0,026368 | 0,044628 | 0,013586 | 0,12177  | 0,000000000019 |
| 2051 | 2016 | 0,001181658 | 0,034375 | 0,153052 | 0,03039  | 0,057906 | 0,017289 | 0,146066 | 0,000000000021 |
| 2051 | 2015 | 0,008051347 | 0,089729 | 0,014779 | 0,004865 | 0,031801 | 0,010351 | 0,095174 | 0,000000000042 |
| 2051 | 2014 | 0,004217963 | 0,064946 | 0,014515 | 0,001552 | 0,029694 | 0,006209 | 0,078964 | 0,000000000042 |
| 2056 | 2019 | 0,03029628  | 0,174058 | 0,006974 | 0,002548 | 0,638522 | 0,131025 | 0,04262  | 0,000000000013 |
| 2056 | 2018 | 0,034731011 | 0,186363 | 0,005424 | 0,002122 | 0,518864 | 0,138269 | 0,041573 | 0,000000000015 |
| 2056 | 2017 | 0,042027655 | 0,205006 | 0,004521 | 0,002313 | 0,563362 | 0,136119 | 0,042805 | 0,000000000015 |
| 2056 | 2016 | 0,045463172 | 0,213221 | 0,004856 | 0,002171 | 0,562955 | 0,127632 | 0,040176 | 0,000000000017 |
| 2056 | 2015 | 0,040950733 | 0,202363 | 0,005001 | 0,001971 | 0,536103 | 0,135002 | 0,041171 | 0,000000000020 |
| 2056 | 2014 | 0,043966374 | 0,209682 | 0,005399 | 0,001851 | 0,577976 | 0,140331 | 0,040144 | 0,000000000021 |
| 2056 | 2013 | 0,027939783 | 0,167152 | 0,00468  | 0,001743 | 0,632798 | 0,121911 | 0,038414 | 0,000000000024 |
| 2057 | 2019 | 0,008370318 | 0,091489 | 0,130656 | 0,01297  | 0,108038 | 0,022346 | 0,065328 | 0,000000000034 |
| 2057 | 2018 | 0,006373422 | 0,079834 | 0,13528  | 0,013035 | 0,06453  | 0,015364 | 0,063437 | 0,000000000034 |
| 2057 | 2017 | 0,005111098 | 0,071492 | 0,121172 | 0,023769 | 0,058032 | 0,025376 | 0,060586 | 0,000000000032 |
| 2057 | 2016 | 0,002946503 | 0,054282 | 0,109302 | 0,010992 | 0,066314 | 0,0288   | 0,051358 | 0,000000000029 |
| 2057 | 2015 | 0,000772987 | 0,027803 | 0,121653 | 0,021331 | 0,07649  | 0,019188 | 0,051455 | 0,000000000030 |
| 2057 | 2014 | 0,001015196 | 0,031862 | 0,118839 | 0,019752 | 0,073922 | 0,019652 | 0,057691 | 0,000000000031 |
| 2057 | 2013 | 0,005547105 | 0,074479 | 0,123513 | 0,026996 | 0,105262 | 0,023796 | 0,062817 | 0,000000000028 |
| 2062 | 2019 | 0,001713957 | 0,0414   | 0,02381  | 0,009251 | 0,081433 | 0,014082 | 0,140252 | 0,000000000035 |
| 2062 | 2018 | 0,00142987  | 0,037814 | 0,027748 | 0,015757 | 0,046238 | 0,013532 | 0,135363 | 0,000000000034 |
| 2062 | 2017 | 0,000685244 | -0,02618 | 0,032725 | 0,084112 | 0,048135 | 0,024612 | 0,133207 | 0,000000000030 |
| 2062 | 2016 | 0,002147872 | 0,046345 | 0,053066 | 0,015724 | 0,056121 | 0,01579  | 0,096896 | 0,000000000031 |
| 2062 | 2015 | 0,009035772 | 0,095057 | 0,05058  | 0,018705 | 0,05431  | 0,015898 | 0,112107 | 0,000000000030 |
| 2062 | 2014 | 0,004238056 | 0,0651   | 0,053494 | 0,017826 | 0,044316 | 0,013674 | 0,119598 | 0,000000000028 |
| 2063 | 2015 | 0,008858923 | 0,094122 | 0,152466 | 0,019726 | 0,129999 | 0,00584  | 0,030295 | 0,000000000018 |
| 2063 | 2014 | 0,00907126  | 0,095243 | 0,117366 | 0,022059 | 0,139149 | 0,00988  | 0,031684 | 0,000000000022 |
| 2063 | 2013 | 0,006825678 | 0,082618 | 0,136314 | 0,024838 | 0,139661 | 0,00964  | 0,030037 | 0,000000000021 |
| 2064 | 2019 | 0,004782338 | 0,069154 | 0,25211  | 0,028669 | 0,132859 | 0,015963 | 0,035658 | 0,000000000015 |
| 2064 | 2018 | 0,002705453 | 0,052014 | 0,264142 | 0,030372 | 0,105464 | 0,015339 | 0,031906 | 0,000000000015 |
| 2064 | 2017 | 0,000842547 | 0,029027 | 0,333132 | 0,03064  | 0,118015 | 0,016228 | 0,033867 | 0,000000000013 |
| 2064 | 2016 | 0,004241149 | 0,065124 | 0,096664 | 0,011713 | 0,121495 | 0,017101 | 0,030709 | 0,000000000019 |
| 2064 | 2015 | 0,005153362 | 0,071787 | 0,1348   | 0,014566 | 0,138872 | 0,02111  | 0,033228 | 0,000000000024 |
| 2064 | 2014 | 0,004304362 | 0,065608 | 0,147172 | 0,013179 | 0,140927 | 0,021798 | 0,030679 | 0,000000000024 |
| 2064 | 2013 | 0,002466009 | 0,049659 | 0,133518 | 0,018415 | 0,137476 | 0,021605 | 0,031919 | 0,000000000023 |
| 2070 | 2019 | 0,008802336 | 0,093821 | 0,110572 | 0,00553  | 0,10891  | 0,030548 | 0,043467 | 0,000000000007 |
| 2070 | 2018 | 0,011341739 | 0,106498 | 0,024821 | 0,010879 | 0,086774 | 0,025143 | 0,04325  | 0,000000000008 |
| 2070 | 2017 | 0,01142224  | 0,106875 | 0,03082  | 0,012519 | 0,091564 | 0,024882 | 0,046041 | 0,000000000008 |
| 2070 | 2016 | 0,017062973 | 0,130625 | 0,041129 | 0,013546 | 0,095023 | 0,02489  | 0,050236 | 0,000000000009 |
| 2070 | 2015 | 0,022930874 | 0,151429 | 0,030584 | 0,010464 | 0,094085 | 0,023348 | 0,046021 | 0,000000000009 |
| 2070 | 2014 | 0,031508416 | 0,177506 | 0,025468 | 0,011052 | 0,088376 | 0,025805 | 0,04461  | 0,000000000009 |
| 2070 | 2013 | 0,027951904 | 0,167188 | 0,030668 | 0,010703 | 0,109497 | 0,026358 | 0,045499 | 0,000000000008 |
| 2072 | 2016 | 0,006134089 | 0,07832  | 0,449833 | 0,016046 | 0,111667 | 0,022389 | 0,09236  | 0,000000000016 |
| 2072 | 2015 | 0,009976597 | 0,099883 | 0,381506 | 0,027022 | 0,108037 | 0,021024 | 0,094391 | 0,000000000017 |
| 2072 | 2014 | 0,009280803 | 0,096337 | 0,3665   | 0,032893 | 0,104984 | 0,013555 | 0,08631  | 0,000000000017 |
| 2072 | 2013 | 0,004409688 | 0,066405 | 0,287071 | 0,028462 | 0,104081 | 0,022898 | 0,086245 | 0,000000000018 |

Continua...

...continuação

|      |      |             |          |          |          |          |          |          |                 |
|------|------|-------------|----------|----------|----------|----------|----------|----------|-----------------|
| 2076 | 2019 | 0,005039126 | 0,070987 | 0,057905 | 0,003271 | 0,313381 | 0,036594 | 0,009961 | 0,0000000000018 |
| 2076 | 2016 | 0,003583013 | 0,059858 | 0,058711 | 0,002153 | 0,257033 | 0,027942 | 0,009704 | 0,0000000000022 |
| 2076 | 2015 | 0,003086128 | 0,055553 | 0,059726 | 0        | 0,251836 | 0,045612 | 0,009454 | 0,0000000000020 |
| 2076 | 2014 | 0,002682828 | 0,051796 | 0,065649 | 0,004976 | 0,269344 | 0,030438 | 0,008321 | 0,0000000000020 |
| 2077 | 2019 | 0,023762564 | 0,154151 | 0,307842 | 0,022201 | 0,085583 | 0,01007  | 0,06527  | 0,0000000000017 |
| 2077 | 2018 | 0,021116933 | 0,145317 | 0,101701 | 0,017763 | 0,067746 | 0,008608 | 0,051062 | 0,0000000000015 |
| 2077 | 2017 | 0,017222606 | 0,131235 | 0,109265 | 0,0165   | 0,06332  | 0,007666 | 0,045209 | 0,0000000000013 |
| 2077 | 2016 | 0,017214667 | 0,131205 | 0,137786 | 0,020107 | 0,0665   | 0,008297 | 0,051474 | 0,0000000000013 |
| 2077 | 2015 | 0,01472584  | 0,12135  | 0,165608 | 0,019917 | 0,069808 | 0,010342 | 0,057901 | 0,0000000000014 |
| 2077 | 2013 | 0,008692302 | 0,093233 | 0,20056  | 0,009709 | 0,080892 | 0,009739 | 0,061747 | 0,0000000000015 |
| 2082 | 2019 | 0,000467766 | 0,021628 | 0,314894 | 0,033743 | 0,104656 | 0,010524 | 0,03717  | 0,0000000000008 |
| 2082 | 2018 | 0,000407392 | 0,020184 | 0,522635 | 0,022626 | 0,146514 | 0,030311 | 0,040513 | 0,0000000000008 |
| 2082 | 2017 | 0,002552326 | 0,050521 | 0,25262  | 0,029478 | 0,1337   | 0,047229 | 0,081057 | 0,0000000000027 |
| 2082 | 2016 | 0,002205835 | 0,046966 | 0,261052 | 0,037512 | 0,129501 | 0,012312 | 0,076693 | 0,0000000000026 |
| 2083 | 2019 | 0,003446968 | 0,058711 | 0,275527 | 0,021573 | 0,099061 | 0,017492 | 0,042406 | 0,0000000000007 |
| 2083 | 2018 | 0,003442108 | 0,058669 | 0,357987 | 0,020211 | 0,126265 | 0,012581 | 0,049802 | 0,0000000000007 |
| 2083 | 2017 | 0,009113992 | 0,095467 | 0,157036 | 0,022956 | 0,102677 | 0,019032 | 0,060587 | 0,0000000000011 |
| 2083 | 2016 | 0,007021847 | 0,083796 | 0,16953  | 0,025994 | 0,163869 | 0,018944 | 0,055044 | 0,0000000000012 |
| 2083 | 2015 | 0,009023921 | 0,094994 | 0,205916 | 0,02481  | 0,167888 | 0,021079 | 0,057984 | 0,0000000000012 |
| 2083 | 2014 | 0,008501532 | 0,092204 | 0,253382 | 0,025259 | 0,18499  | 0,018727 | 0,057255 | 0,0000000000013 |
| 2084 | 2013 | 0,018688676 | 0,136707 | 0,144767 | 0,007471 | 0,428647 | 0,095051 | 0,004829 | 0,0000000000021 |
| 2092 | 2019 | 0,000364696 | 0,019097 | 0,026509 | 0,006753 | 0,289378 | 0,014244 | 0,006831 | 0,0000000000006 |
| 2092 | 2018 | 0,000176594 | 0,013289 | 0,025577 | 0,007602 | 0,279648 | 0,01277  | 0,006175 | 0,0000000000006 |
| 2092 | 2017 | 0,000713873 | 0,026718 | 0,026387 | 0,007452 | 0,295268 | 0,013181 | 0,00607  | 0,0000000000006 |
| 2092 | 2016 | 0,000869629 | 0,029489 | 0,024393 | 0,007038 | 0,288013 | 0,012757 | 0,005787 | 0,0000000000006 |
| 2092 | 2015 | 0,001561049 | 0,03951  | 0,024895 | 0,005009 | 0,28846  | 0,012031 | 0,005775 | 0,0000000000007 |
| 2092 | 2014 | 0,002821282 | 0,053116 | 0,024871 | 0,005007 | 0,251916 | 0,013075 | 0,005577 | 0,0000000000007 |
| 2092 | 2013 | 0,00406107  | 0,063727 | 0,021686 | 0,005864 | 0,245445 | 0,013259 | 0,005539 | 0,0000000000008 |
| 2093 | 2019 | 0,016682128 | 0,129159 | 0,048227 | 0,018118 | 0,12169  | 0,022523 | 0,174323 | 0,0000000000028 |
| 2093 | 2018 | 0,01061142  | 0,103012 | 0,066176 | 0,02215  | 0,093871 | 0,020535 | 0,164465 | 0,0000000000030 |
| 2093 | 2017 | 0,005911375 | 0,076885 | 0,0602   | 0,015992 | 0,060608 | 0,015809 | 0,114595 | 0,0000000000031 |
| 2093 | 2016 | 0,005382799 | 0,073368 | 0,063422 | 0,013187 | 0,05458  | 0,011608 | 0,093088 | 0,0000000000015 |
| 2093 | 2015 | 0,016024067 | 0,126586 | 0,067859 | 0,015588 | 0,044709 | 0,012098 | 0,099675 | 0,0000000000019 |
| 2093 | 2014 | 0,016535418 | 0,12859  | 0,075314 | 0,011895 | 0,051001 | 0,012579 | 0,110214 | 0,0000000000020 |
| 2093 | 2013 | 0,027885344 | 0,166989 | 0,054841 | 0,011542 | 0,052864 | 0,012945 | 0,115783 | 0,0000000000021 |
| 2093 | 2012 | 0,027594994 | 0,166117 | 0,05609  | 0,010963 | 0,065801 | 0,011315 | 0,109126 | 0,0000000000022 |
| 2096 | 2019 | 0,00052731  | 0,022963 | 0,049774 | 0,008672 | 0,144482 | 0,020781 | 0,014636 | 0,0000000000008 |
| 2096 | 2018 | 0,000967906 | 0,031111 | 0,05093  | 0,007705 | 0,123204 | 0,017481 | 0,015495 | 0,0000000000008 |
| 2096 | 2017 | 0,001424491 | 0,037742 | 0,051316 | 0,009731 | 0,133009 | 0,02087  | 0,017373 | 0,0000000000007 |
| 2096 | 2016 | 0,001073485 | 0,032764 | 0,037915 | 0,015991 | 0,129659 | 0,019456 | 0,016242 | 0,0000000000009 |
| 2096 | 2015 | 0,000699899 | 0,026456 | 0,037428 | 0,009376 | 0,124436 | 0,022125 | 0,014904 | 0,0000000000010 |
| 2096 | 2014 | 0,000396227 | 0,019905 | 0,039922 | 0,009293 | 0,133623 | 0,022365 | 0,012965 | 0,0000000000011 |
| 2096 | 2013 | 0,000276945 | 0,016642 | 0,041001 | 0,013401 | 0,147028 | 0,028963 | 0,014216 | 0,0000000000010 |
| 2099 | 2019 | 0,001391845 | 0,037307 | 0,041795 | 0,009478 | 0,060008 | 0,019305 | 0,023025 | 0,0000000000005 |
| 2099 | 2017 | 0,001701977 | 0,041255 | 0,029777 | 0,010547 | 0,041769 | 0,009351 | 0,0259   | 0,0000000000006 |
| 2099 | 2016 | 0,000520543 | 0,022815 | 0,033555 | 0,00905  | 0,043551 | 0,009711 | 0,025702 | 0,0000000000006 |
| 2099 | 2015 | 0,000326828 | 0,018078 | 0,038128 | 0,014047 | 0,050826 | 0,011561 | 0,02899  | 0,0000000000006 |

Continua...

...continuação

|      |      |             |          |          |          |          |          |          |                |
|------|------|-------------|----------|----------|----------|----------|----------|----------|----------------|
| 2111 | 2015 | 0,006155744 | 0,078459 | 0,053278 | 0        | 0,269396 | 0,061207 | 0,072559 | 0,000000000027 |
| 2111 | 2014 | 0,005847669 | 0,07647  | 0,037297 | 0        | 0,267081 | 0,056444 | 0,065002 | 0,000000000026 |
| 2131 | 2019 | 0,016058063 | 0,12672  | 0,033353 | 0,014151 | 0,080697 | 0,012331 | 0,054134 | 0,000000000009 |
| 2131 | 2018 | 0,012998853 | 0,114013 | 0,042923 | 0,012757 | 0,050835 | 0,010001 | 0,048997 | 0,000000000009 |
| 2131 | 2017 | 0,010432485 | 0,10214  | 0,048998 | 0,011901 | 0,04332  | 0,008558 | 0,044693 | 0,000000000007 |
| 2131 | 2016 | 0,011895434 | 0,109066 | 0,062135 | 0,011741 | 0,043007 | 0,008092 | 0,049787 | 0,000000000007 |
| 2131 | 2015 | 0,013801771 | 0,117481 | 0,044315 | 0,014685 | 0,035861 | 0,007809 | 0,051882 | 0,000000000009 |
| 2131 | 2014 | 0,020165307 | 0,142005 | 0,063663 | 0,021357 | 0,036632 | 0,007076 | 0,054898 | 0,000000000009 |
| 2131 | 2013 | 0,027504194 | 0,165844 | 0,067929 | 0,025458 | 0,033882 | 0,00673  | 0,057015 | 0,000000000011 |
| 2135 | 2019 | 0,019952664 | 0,141254 | 0,007781 | 0,003637 | 0,332561 | 0,042681 | 0,102292 | 0,000000000004 |
| 2135 | 2018 | 0,022974673 | 0,151574 | 0,010323 | 0,004022 | 0,277707 | 0,037964 | 0,099603 | 0,000000000004 |
| 2135 | 2017 | 0,025129609 | 0,158523 | 0,014759 | 0,004452 | 0,232368 | 0,03346  | 0,091148 | 0,000000000005 |
| 2135 | 2016 | 0,022679715 | 0,150598 | 0,021    | 0,005569 | 0,217388 | 0,033446 | 0,088571 | 0,000000000006 |
| 2135 | 2015 | 0,019316444 | 0,138984 | 0,027617 | 0,006684 | 0,208303 | 0,029663 | 0,088171 | 0,000000000007 |
| 2135 | 2014 | 0,019439055 | 0,139424 | 0,038066 | 0,01203  | 0,197337 | 0,029109 | 0,081238 | 0,000000000008 |
| 2135 | 2013 | 0,019283724 | 0,138866 | 0,054688 | 0,01044  | 0,148972 | 0,025884 | 0,064344 | 0,000000000009 |
| 2137 | 2019 | 0,021616689 | 0,147026 | 0,016362 | 0,001464 | 0,035028 | 0,017306 | 0,065893 | 0,000000000011 |
| 2137 | 2018 | 0,019707524 | 0,140383 | 0,021309 | 0,001452 | 0,027002 | 0,016914 | 0,063676 | 0,000000000010 |
| 2137 | 2017 | 0,011348399 | 0,106529 | 0,021391 | 0,001852 | 0,025197 | 0,016521 | 0,053076 | 0,000000000009 |
| 2137 | 2016 | 0,010340869 | 0,10169  | 0,020193 | 0,00206  | 0,026421 | 0,016121 | 0,048189 | 0,000000000008 |
| 2137 | 2015 | 0,012291029 | 0,110865 | 0,021273 | 0,002577 | 0,029821 | 0,011398 | 0,053553 | 0,000000000008 |
| 2137 | 2014 | 0,010932426 | 0,104558 | 0,021737 | 0,003284 | 0,030483 | 0,019056 | 0,056785 | 0,000000000009 |
| 2137 | 2013 | 0,008956181 | 0,094637 | 0,031794 | 0,002666 | 0,031523 | 0,014026 | 0,061011 | 0,000000000010 |
| 2140 | 2019 | 0,001243609 | 0,035265 | 0,050914 | 0,00805  | 0,305687 | 0,048213 | 0,022606 | 0,000000000003 |
| 2140 | 2018 | 0,001377622 | 0,037116 | 0,049198 | 0,005463 | 0,28841  | 0,016478 | 0,023364 | 0,000000000003 |
| 2140 | 2017 | 0,002725924 | 0,05221  | 0,052103 | 0,005639 | 0,309873 | 0,018128 | 0,024318 | 0,000000000003 |
| 2140 | 2016 | 0,003199465 | 0,056564 | 0,045446 | 0,00682  | 0,30543  | 0,016586 | 0,02174  | 0,000000000004 |
| 2140 | 2015 | 0,004212207 | 0,064902 | 0,044018 | 0,007731 | 0,298093 | 1,85E-05 | 0,02225  | 0,000000000004 |
| 2140 | 2014 | 0,002755229 | 0,05249  | 0,046737 | 0,006228 | 0,304638 | 0,019461 | 0,024319 | 0,000000000005 |
| 2141 | 2019 | 0,028762884 | 0,169596 | 0,081872 | 0,001512 | 0,423567 | 0,069599 | 0,101041 | 0,000000000007 |
| 2141 | 2018 | 0,034245299 | 0,185055 | 0,094231 | 0,012062 | 0,389918 | 0,05987  | 0,107821 | 0,000000000008 |
| 2141 | 2017 | 0,024286101 | 0,15584  | 0,107746 | 0,011641 | 0,347533 | 0,057081 | 0,110197 | 0,000000000008 |
| 2141 | 2016 | 0,018906377 | 0,1375   | 0,087748 | 0,002717 | 0,33431  | 0,057913 | 0,117241 | 0,000000000009 |
| 2141 | 2015 | 0,021675251 | 0,147225 | 0,040334 | 0,009127 | 0,326714 | 0,080207 | 0,124376 | 0,000000000010 |
| 2141 | 2014 | 0,028808982 | 0,169732 | 0,048244 | 0,00319  | 0,360667 | 0,080081 | 0,125189 | 0,000000000011 |
| 2141 | 2013 | 0,01840867  | 0,135679 | 0,055761 | 0,013448 | 0,340285 | 0,073518 | 0,11489  | 0,000000000011 |
| 2145 | 2019 | 0,037106872 | 0,192631 | 0,169977 | 0,016991 | 0,193086 | 0,026737 | 0,116096 | 0,000000000012 |
| 2145 | 2018 | 0,028426321 | 0,168601 | 0,134081 | 0,031341 | 0,155898 | 0,016609 | 0,092124 | 0,000000000012 |
| 2145 | 2017 | 0,022419281 | 0,149731 | 0,154795 | 0,033834 | 0,135761 | 0,01588  | 0,081801 | 0,000000000011 |
| 2145 | 2016 | 0,03063512  | 0,175029 | 0,175546 | 0,037534 | 0,121995 | 0,016342 | 0,06613  | 0,000000000010 |
| 2145 | 2015 | 0,019588864 | 0,13996  | 0,225891 | 0,046973 | 0,124999 | 0,015921 | 0,065613 | 0,000000000010 |
| 2145 | 2014 | 0,008399033 | 0,091646 | 0,199882 | 0,041181 | 0,128797 | 0,024228 | 0,064045 | 0,000000000010 |
| 2145 | 2013 | 0,007610042 | 0,087236 | 0,225292 | 0,045085 | 0,141729 | 0,021061 | 0,067424 | 0,000000000009 |
| 2146 | 2019 | 0,023669401 | 0,153849 | 0,306699 | 0,029149 | 0,119833 | 0,01545  | 0,073097 | 0,000000000006 |
| 2146 | 2018 | 0,020885712 | 0,144519 | 0,306913 | 0,028086 | 0,109812 | 0,01658  | 0,069459 | 0,000000000007 |
| 2146 | 2017 | 0,020923995 | 0,144651 | 0,356623 | 0,019852 | 0,113932 | 0,017949 | 0,070979 | 0,000000000006 |
| 2146 | 2016 | 0,025056368 | 0,158292 | 0,195733 | 0,008739 | 0,115884 | 0,018083 | 0,066237 | 0,000000000007 |
| 2146 | 2015 | 0,01890742  | 0,137504 | 0,194791 | 0,01187  | 0,120251 | 0,016452 | 0,068401 | 0,000000000007 |
| 2146 | 2014 | 0,026981202 | 0,16426  | 0,206382 | 0,010599 | 0,122258 | 0,018931 | 0,064397 | 0,000000000008 |
| 2146 | 2013 | 0,023367278 | 0,152864 | 0,21063  | 0,010273 | 0,125939 | 0,020658 | 0,061703 | 0,000000000008 |

Continua...

...continuação

|      |      |             |          |          |          |          |          |          |                |
|------|------|-------------|----------|----------|----------|----------|----------|----------|----------------|
| 2147 | 2019 | 0,032690883 | 0,180806 | 0,023944 | 0,005443 | 0,179986 | 0,036403 | 0,065556 | 0,000000000003 |
| 2147 | 2018 | 0,024815994 | 0,157531 | 0,028419 | 0,006967 | 0,16082  | 0,03557  | 0,061884 | 0,000000000003 |
| 2147 | 2017 | 0,019670206 | 0,140251 | 0,032216 | 0,009017 | 0,144603 | 0,030804 | 0,058912 | 0,000000000004 |
| 2147 | 2016 | 0,022059881 | 0,148526 | 0,046488 | 0,008073 | 0,13933  | 0,02806  | 0,056544 | 0,000000000004 |
| 2147 | 2015 | 0,02160757  | 0,146995 | 0,020183 | 0,005661 | 0,099244 | 0,026492 | 0,064815 | 0,000000000005 |
| 2147 | 2014 | 0,026123006 | 0,161626 | 0,027739 | 0,007458 | 0,084514 | 0,023522 | 0,069109 | 0,000000000006 |
| 2147 | 2013 | 0,026168482 | 0,161767 | 0,040497 | 0,004902 | 0,075477 | 0,025333 | 0,066021 | 0,000000000006 |
| 2155 | 2019 | 0,007373705 | 0,08587  | 0,218139 | 0,030114 | 0,104163 | 0,011723 | 0,063546 | 0,000000000008 |
| 2155 | 2018 | 0,005039175 | 0,070987 | 0,277912 | 0,027483 | 0,112661 | 0,012324 | 0,058527 | 0,000000000007 |
| 2155 | 2017 | 0,004779365 | 0,069133 | 0,227938 | 0,028032 | 0,125105 | 0,01155  | 0,059331 | 0,000000000008 |
| 2155 | 2016 | 0,004929147 | 0,070208 | 0,239529 | 0,029509 | 0,119543 | 0,01138  | 0,064216 | 0,000000000008 |
| 2155 | 2015 | 0,006062433 | 0,077862 | 0,266339 | 0,029228 | 0,124401 | 0,011442 | 0,068015 | 0,000000000008 |
| 2155 | 2014 | 0,009263721 | 0,096248 | 0,189413 | 0,022667 | 0,12703  | 0,01313  | 0,072214 | 0,000000000008 |
| 2155 | 2013 | 0,008445985 | 0,091902 | 0,220516 | 0,023405 | 0,14413  | 0,016118 | 0,071847 | 0,000000000008 |
| 2158 | 2019 | 0,004010477 | 0,063328 | 0,148546 | 0,039122 | 0,098753 | 0,012458 | 0,053916 | 0,000000000008 |
| 2158 | 2018 | 0,003452666 | 0,058759 | 0,201849 | 0,019786 | 0,088997 | 0,010367 | 0,054315 | 0,000000000008 |
| 2158 | 2017 | 0,005197928 | 0,072097 | 0,133895 | 0,019525 | 0,098057 | 0,01173  | 0,056015 | 0,000000000008 |
| 2158 | 2016 | 0,00466622  | 0,06831  | 0,100547 | 0,015912 | 0,092598 | 0,01073  | 0,047653 | 0,000000000009 |
| 2158 | 2015 | 0,004715645 | 0,068671 | 0,114922 | 0,021232 | 0,095017 | 0,011833 | 0,04844  | 0,000000000009 |
| 2158 | 2014 | 0,004131512 | 0,064277 | 0,14522  | 0,02351  | 0,10381  | 0,010656 | 0,046483 | 0,000000000009 |
| 2158 | 2013 | 0,004935746 | 0,070255 | 0,162106 | 0,030334 | 0,107214 | 0,014438 | 0,048353 | 0,000000000008 |
| 2161 | 2019 | 0,006385783 | 0,079911 | 0,041592 | 0,008456 | 0,344829 | 0,074311 | 0,057288 | 0,000000000003 |
| 2161 | 2018 | 0,032412439 | 0,180035 | 0,027693 | 0,004027 | 0,352864 | 0,077075 | 0,056114 | 0,000000000003 |
| 2161 | 2017 | 0,039252017 | 0,198121 | 0,03345  | 0,005613 | 0,412402 | 0,075863 | 0,060404 | 0,000000000004 |
| 2161 | 2016 | 0,012935853 | 0,113736 | 0,01556  | 0,005654 | 0,355798 | 0,077964 | 0,054888 | 0,000000000004 |
| 2161 | 2015 | 0,012004259 | 0,109564 | 0,018607 | 0,005122 | 0,35871  | 0,079412 | 0,056852 | 0,000000000005 |
| 2161 | 2014 | 0,012606659 | 0,112279 | 0,018153 | 0,005102 | 0,362851 | 0,075451 | 0,064543 | 0,000000000005 |
| 2161 | 2013 | 0,031273247 | 0,176842 | 0,016442 | 0,004556 | 0,362946 | 0,072264 | 0,06884  | 0,000000000005 |
| 2162 | 2015 | 0,038456776 | 0,196104 | 0,010474 | 0,004901 | 0,088244 | 0,027117 | 0,032818 | 0,000000000003 |
| 2162 | 2014 | 0,074390229 | 0,272746 | 0,014907 | 0,004978 | 0,086043 | 0,035228 | 0,030889 | 0,000000000003 |
| 2162 | 2013 | 0,057255577 | 0,239281 | 0,018877 | 0,005013 | 0,093993 | 0,031447 | 0,027532 | 0,000000000004 |
| 2162 | 2012 | 0,056031693 | 0,23671  | 0,020188 | 0,004638 | 0,080179 | 0,028019 | 0,021618 | 0,000000000005 |
| 2168 | 2018 | 0,005766011 | 0,075934 | 0,001622 | 0,001023 | 0,457343 | 0,09699  | 0,027243 | 0,000000000004 |
| 2168 | 2017 | 0,007820467 | 0,088433 | 0,001147 | 0,000353 | 0,483814 | 0,102559 | 0,025329 | 0,000000000004 |
| 2169 | 2019 | 0,010090073 | 0,100449 | 0,216389 | 0,001658 | 0,093481 | 0,03511  | 0,048845 | 0,000000000006 |
| 2169 | 2018 | 0,010119976 | 0,100598 | 0,212615 | 0,001697 | 0,080823 | 0,036852 | 0,048343 | 0,000000000006 |
| 2169 | 2017 | 0,008236282 | 0,090754 | 0,283863 | 0,001124 | 0,080748 | 0,035386 | 0,044594 | 0,000000000006 |
| 2169 | 2013 | 0,009776856 | 0,098878 | 0,228848 | 0,000935 | 0,072033 | 0,03631  | 0,038803 | 0,000000000006 |
| 2189 | 2019 | 0,071232784 | -0,26689 | 0,001083 | 0,003025 | 0,013754 | 0,0125   | 0,088793 | 0,000000005863 |
| 2189 | 2018 | 0,221995987 | -0,47116 | 0,006322 | 0,00205  | 0,031052 | 0,029317 | 0,232729 | 0,000000005178 |
| 2189 | 2016 | 0,179816983 | -0,42405 | 0,010594 | 0,003532 | 0,122282 | 0,021916 | 0,21207  | 0,000000003700 |
| 2214 | 2019 | 0,000665427 | 0,025796 | 0,106552 | 0,006423 | 0,135408 | 0,013699 | 0,027498 | 0,000000000126 |
| 2216 | 2019 | 0,002415097 | -0,04914 | 0,058243 | 0,00353  | 0,085711 | 0,008883 | 0,12075  | 0,000000000287 |
| 2216 | 2018 | 0,002978831 | -0,05458 | 0,015481 | 0,006057 | 0,036583 | 0,010038 | 0,134021 | 0,000000000444 |
| 2230 | 2018 | 0,100859047 | 0,317583 | 0,001083 | 0,001884 | 0,435697 | 0,056648 | 0,043385 | 0,000000000486 |
| 2233 | 2018 | 0,000249147 | 0,015784 | 0,083488 | 0,009927 | 0,07649  | 0,006701 | 0,020748 | 0,000000000545 |
| 2235 | 2019 | 0,013620483 | 0,116707 | 0,023529 | 0,01001  | 0,181438 | 0,040693 | 0,008324 | 0,000000000132 |
| 2235 | 2018 | 0,013069616 | 0,114322 | 0,033133 | 0,013024 | 0,139259 | 0,02663  | 0,009477 | 0,000000000141 |
| 2235 | 2017 | 0,01191883  | 0,109173 | 0,051389 | 0,017377 | 0,153496 | 0,031222 | 0,011075 | 0,000000000150 |

Continua...

...continuação

|      |      |             |          |          |          |          |          |          |                 |
|------|------|-------------|----------|----------|----------|----------|----------|----------|-----------------|
| 2236 | 2019 | 0,002982493 | 0,054612 | 0,019353 | 0,002466 | 0,411282 | 0,059233 | 0,019532 | 0,000000000116  |
| 2236 | 2018 | 0,005283425 | 0,072687 | 0,03671  | 0,002019 | 0,436445 | 0,057192 | 0,019765 | 0,000000000115  |
| 2236 | 2017 | 0,007558024 | 0,086937 | 0,015769 | 0,00189  | 0,472444 | 0,056545 | 0,019441 | 0,000000000115  |
| 2236 | 2016 | 0,012410279 | 0,111401 | 0,011985 | 0,00159  | 0,474086 | 0,052201 | 0,016855 | 0,000000000118  |
| 2236 | 2015 | 0,00943491  | 0,097133 | 0,012654 | 0,001337 | 0,49271  | 0,048203 | 0,016337 | 0,000000000125  |
| 2236 | 2014 | 0,016248737 | 0,127471 | 0,012924 | 0,001365 | 0,496291 | 0,051152 | 0,01917  | 0,000000000132  |
| 2236 | 2013 | 0,018260407 | 0,135131 | 0,012763 | 0,000821 | 0,458159 | 0,052195 | 0,016233 | 0,000000000137  |
| 2242 | 2019 | 0,000900828 | 0,030014 | 0,020847 | 0,007163 | 0,123892 | 0,04245  | 0,035419 | 0,000000000019  |
| 2242 | 2018 | 0,002131793 | 0,046171 | 0,021026 | 0,004977 | 0,112847 | 0,042276 | 0,034335 | 0,000000000019  |
| 2242 | 2017 | 0,001615119 | 0,040189 | 0,013499 | 0,00503  | 0,105014 | 0,039042 | 0,02852  | 0,000000000018  |
| 2242 | 2016 | 0,000684797 | 0,026169 | 0,014771 | 0,00455  | 0,088868 | 0,0387   | 0,021122 | 0,000000000016  |
| 2242 | 2015 | 0,000894614 | 0,02991  | 0,008388 | 0,009382 | 0,079218 | 0,037527 | 0,021299 | 0,000000000013  |
| 2259 | 2019 | 0,00728236  | 0,085337 | 0,068362 | 0,015118 | 0,099379 | 0,028861 | 0,043671 | 0,000000000134  |
| 2259 | 2018 | 0,00675954  | 0,082216 | 0,073429 | 0,014429 | 0,064194 | 0,019932 | 0,04647  | 0,000000000141  |
| 2259 | 2017 | 0,006710165 | 0,081916 | 0,082503 | 0,019822 | 0,072227 | 0,023787 | 0,051968 | 0,000000000120  |
| 2260 | 2019 | 0,003671465 | 0,060593 | 0,016437 | 0,004458 | 0,045888 | 0,01481  | 0,04405  | 0,000000000019  |
| 2260 | 2018 | 0,003799059 | 0,061637 | 0,019618 | 0,003472 | 0,040996 | 0,014981 | 0,025468 | 0,000000000023  |
| 2260 | 2017 | 0,003840016 | 0,061968 | 0,004548 | 0,003492 | 0,041366 | 0,018301 | 0,0258   | 0,000000000025  |
| 2262 | 2019 | 0,047421966 | 0,217766 | 0,00051  | 0,000157 | 0,030849 | 0,005384 | 0,038485 | 0,000000000628  |
| 2265 | 2019 | 0,006171718 | 0,078561 | 0,03072  | 0,001514 | 0,502074 | 0,014587 | 0,019181 | 0,000000000402  |
| 2265 | 2018 | 0,005671094 | 0,075307 | 0,035797 | 0,001349 | 0,313286 | 0,023444 | 0,018263 | 0,000000000715  |
| 2273 | 2018 | 0,000658285 | 0,025657 | 0,06619  | 0,006661 | 0,002122 | 0,000815 | 0,015292 | 0,000000000241  |
| 2273 | 2017 | 0,000756712 | 0,027508 | 0,050174 | 0,010176 | 0,002317 | 0,001469 | 0,018852 | 0,000000000418  |
| 2274 | 2019 | 0,002313428 | 0,048098 | 0,036732 | 0,01188  | 0,44062  | 0,049977 | 0,038562 | 0,000000000258  |
| 2274 | 2018 | 0,001909129 | 0,043694 | 0,04688  | 0,001382 | 0,430057 | 0,048529 | 0,028232 | 0,000000000251  |
| 2283 | 2019 | 0,006189661 | 0,078674 | 0,02809  | 0,001892 | 0,242543 | 0,02717  | 0,017562 | 0,000000000241  |
| 2283 | 2018 | 0,002909989 | 0,053944 | 0,017362 | 0,001241 | 0,13907  | 0,014204 | 0,011732 | 0,000000000191  |
| 2284 | 2019 | 0,014438121 | 0,120159 | 0,066994 | 0,031573 | 0,036564 | 0,00655  | 0,02835  | 0,000000000349  |
| 2292 | 2019 | 0,029296701 | -0,17116 | 0,006326 | 0,007442 | 0,213209 | 0,035349 | 0,197209 | 0,000000000365  |
| 2301 | 2019 | 0,078023379 | 0,279327 | 0,001367 | 0,000527 | 0,286201 | 0,018817 | 0,061809 | 0,0000000002913 |
| 2317 | 2019 | 0,005560107 | 0,074566 | 0,180416 | 0,020241 | 0,197707 | 0,029748 | 0,002107 | 0,000000000618  |
| 2318 | 2019 | 0,015182988 | 0,123219 | 0,005963 | 0,003353 | 0,1654   | 0,018094 | 0,041197 | 0,0000000001761 |
| 2319 | 2018 | 0,008480104 | 0,092087 | 0,108861 | 0        | 0,041737 | 0,023933 | 0,00104  | 0,000000002262  |
| 2334 | 2019 | 0,017091559 | 0,130735 | 0,000532 | 0,000304 | 0,270483 | 0,021295 | 0,016468 | 0,0000000001675 |
| 2356 | 2019 | 0,007466822 | 0,086411 | 0,001788 | 0,000255 | 0,228031 | 0,013594 | 0,05385  | 0,0000000001190 |
| 2364 | 2019 | 0,004202604 | 0,064827 | 0,137892 | 0,020187 | 0,097995 | 0,012399 | 0,065056 | 0,000000000621  |
| 2364 | 2018 | 0,004048412 | 0,063627 | 0,166131 | 0,022498 | 0,048359 | 0,014893 | 0,055552 | 0,000000000706  |
| 2370 | 2017 | 0,021098736 | 0,145254 | 0,110603 | 0,041693 | 0,110968 | 0,017067 | 0,014499 | 0,000000000975  |
| 2370 | 2016 | 0,014132053 | 0,118878 | 0,138451 | 0,037193 | 0,106381 | 0,015062 | 0,009201 | 0,000000001037  |
| 2384 | 2019 | 0,010502376 | 0,102481 | 0,048479 | 0,007842 | 0,242939 | 0,031098 | 0,044944 | 0,000000001375  |
| 2399 | 2019 | 0,011804648 | 0,108649 | 0,011369 | 0,004561 | 0,2793   | 0,041053 | 0,006681 | 0,000000001020  |
| 2399 | 2018 | 0,006678125 | 0,08172  | 0,013851 | 0,003608 | 0,160795 | 0,016597 | 0,008185 | 0,000000001188  |
| 2399 | 2017 | 0,004807614 | 0,069337 | 0,01849  | 0,003297 | 0,174702 | 0,017309 | 0,008293 | 0,000000001050  |
| 2399 | 2016 | 0,003771907 | 0,061416 | 0,015937 | 0,001191 | 0,168311 | 0,02183  | 0,007385 | 0,000000001189  |
| 2399 | 2015 | 0,003784127 | 0,061515 | 0,017235 | 0,000424 | 0,182304 | 0,023459 | 0,007287 | 0,000000001171  |
| 2401 | 2019 | 0,007689236 | 0,087688 | 0,079263 | 0,010408 | 0,133873 | 0,021735 | 0,020908 | 0,000000000263  |
| 2401 | 2018 | 0,005669145 | 0,075294 | 0,065233 | 0,009627 | 0,112941 | 0,014761 | 0,020122 | 0,000000000295  |
| 2401 | 2017 | 0,004530798 | 0,067311 | 0,070116 | 0,011212 | 0,124105 | 0,017722 | 0,021035 | 0,000000000272  |

Continua...

...continuação

|      |      |             |          |          |          |          |          |          |                 |
|------|------|-------------|----------|----------|----------|----------|----------|----------|-----------------|
| 2404 | 2019 | 0,005205319 | 0,072148 | 0,052132 | 0,009892 | 0,140576 | 0,019382 | 0,02715  | 0,000000000234  |
| 2404 | 2018 | 0,006761856 | 0,082231 | 0,05673  | 0,0106   | 0,120334 | 0,012979 | 0,030759 | 0,000000000243  |
| 2404 | 2017 | 0,006673502 | 0,081692 | 0,0611   | 0,012214 | 0,127225 | 0,013481 | 0,03391  | 0,000000000240  |
| 2404 | 2016 | 0,004747404 | 0,068901 | 0,064466 | 0,015793 | 0,121398 | 0,013034 | 0,029989 | 0,000000000282  |
| 2404 | 2015 | 0,0053381   | 0,073062 | 0,077859 | 0,013551 | 0,131477 | 0,013262 | 0,029186 | 0,000000000304  |
| 2404 | 2014 | 0,006612014 | 0,081314 | 0,089425 | 0,007027 | 0,146811 | 0,008312 | 0,02088  | 0,000000000310  |
| 2405 | 2019 | 0,00701806  | 0,083774 | 0,085137 | 0,012232 | 0,274001 | 0,040604 | 0,033609 | 0,000000000565  |
| 2405 | 2018 | 0,010334255 | 0,101658 | 0,083809 | 0,011775 | 0,215066 | 0,042059 | 0,031024 | 0,000000000579  |
| 2408 | 2019 | 0,000917737 | 0,030294 | 0,002682 | 0,002076 | 0,176055 | 0,010485 | 0,001821 | 0,000000000434  |
| 2408 | 2018 | 0,001329093 | 0,036457 | 0,002567 | 0,002186 | 0,147374 | 0,00539  | 0,001946 | 0,000000000403  |
| 2408 | 2017 | 0,001980801 | 0,044506 | 0,001435 | 0,002409 | 0,098911 | 0,005396 | 0,001926 | 0,000000000418  |
| 2408 | 2016 | 0,00406437  | 0,063752 | 0,001956 | 0,002565 | 0,105315 | 0,005884 | 0,001777 | 0,000000000460  |
| 2408 | 2015 | 0,002484921 | 0,049849 | 0,002017 | 0,002477 | 0,116268 | 0,00559  | 0,001742 | 0,000000000540  |
| 2408 | 2014 | 0,002495479 | 0,049955 | 0,002193 | 0,002864 | 0,129898 | 0,00608  | 0,001922 | 0,000000000550  |
| 2408 | 2013 | 0,002446842 | 0,049466 | 0,0024   | 0,002817 | 0,149515 | 0,007235 | 0,002248 | 0,000000000623  |
| 2413 | 2019 | 0,007611011 | 0,087241 | 0,001191 | 0,001186 | 0,155764 | 0,025632 | 0,022322 | 0,000000000598  |
| 2419 | 2019 | 0,00629356  | 0,079332 | 0,065378 | 0,018732 | 0,073736 | 0,017275 | 0,031095 | 0,000000000615  |
| 2419 | 2018 | 0,000581592 | -0,02412 | 0,081695 | 0,004651 | 0,038029 | 0,022551 | 0,030324 | 0,000000000650  |
| 2419 | 2017 | 0,000155976 | 0,012489 | 0,099536 | 0,005705 | 0,042132 | 0,026257 | 0,030771 | 0,000000000596  |
| 2419 | 2016 | 0,000189125 | -0,01375 | 0,098796 | 0,026809 | 0,042749 | 0,009547 | 0,025494 | 0,000000000661  |
| 2419 | 2015 | 0,000590574 | 0,024302 | 0,112202 | 0,010684 | 0,053063 | 0,010012 | 0,030765 | 0,000000000578  |
| 2419 | 2014 | 0,000975768 | 0,031237 | 0,095274 | 0,011624 | 0,047311 | 0,008216 | 0,030066 | 0,000000000613  |
| 2419 | 2013 | 0,010361011 | 0,101789 | 0,082288 | 0,008495 | 0,04625  | 0,01503  | 0,026287 | 0,000000000479  |
| 2427 | 2019 | 0,004624722 | 0,068005 | 0,125006 | 0,020192 | 0,274871 | 0,044624 | 0,052409 | 0,000000000704  |
| 2427 | 2018 | 0,006093715 | 0,078062 | 0,122568 | 0,025616 | 0,223553 | 0,033689 | 0,044427 | 0,000000000708  |
| 2440 | 2019 | 0,000800739 | 0,028297 | 0,055822 | 0,008867 | 0,049088 | 0,008429 | 0,000356 | 0,000000000107  |
| 2440 | 2017 | 0,000826346 | 0,028746 | 0,076045 | 0,009329 | 0,030636 | 0,003674 | 0,000312 | 0,000000000127  |
| 2443 | 2019 | 0,003951004 | 0,062857 | 0,047304 | 0,018387 | 0,288276 | 0,050467 | 0,00393  | 0,000000000896  |
| 2443 | 2018 | 0,001625573 | 0,040318 | 0,051452 | 0,014156 | 0,238592 | 0,037546 | 0,004775 | 0,000000000955  |
| 2450 | 2018 | 0,009559154 | 0,097771 | 0,062425 | 0,004231 | 0,077091 | 0,006844 | 0,003597 | 0,000000000272  |
| 2450 | 2017 | 0,010437173 | 0,102162 | 0,089464 | 0,005658 | 0,109504 | 0,009311 | 0,005339 | 0,000000000347  |
| 2455 | 2019 | 0,000181346 | -0,01347 | 0,051898 | 0,006199 | 0,217225 | 0,032622 | 0,055109 | 0,0000000001004 |
| 2457 | 2019 | 0,004596833 | 0,0678   | 0,143997 | 0,012868 | 0,090147 | 0,019713 | 0,011133 | 0,000000000236  |
| 2457 | 2018 | 0,003751267 | 0,061248 | 0,15878  | 0,016077 | 0,064576 | 0,012543 | 0,011486 | 0,000000000247  |
| 2457 | 2017 | 0,004660141 | 0,068265 | 0,253265 | 0,015757 | 0,108137 | 0,032004 | 0,014397 | 0,000000000229  |
| 2457 | 2016 | 0,007072599 | 0,084099 | 0,062786 | 0,016411 | 0,081987 | 0,016215 | 0,014272 | 0,000000000611  |
| 2457 | 2015 | 0,005912639 | 0,076894 | 0,071014 | 0,014627 | 0,093096 | 0,017967 | 0,01875  | 0,000000000607  |
| 2457 | 2014 | 0,006126496 | 0,078272 | 0,066508 | 0,011463 | 0,098908 | 0,015099 | 0,018993 | 0,000000000597  |
| 2462 | 2019 | 0,000518773 | 0,022777 | 0,061868 | 0,002773 | 0,198366 | 0,023106 | 0,030611 | 0,000000000696  |
| 2462 | 2018 | 0,004177597 | 0,064634 | 0,03749  | 0,001723 | 0,172882 | 0,006401 | 0,036662 | 0,000000000746  |
| 2471 | 2019 | 0,000614091 | -0,02478 | 0,018905 | 0,005354 | 0,412537 | 0,051875 | 0,045144 | 0,000000000252  |
| 2471 | 2018 | 0,001723567 | 0,041516 | 0,022462 | 0,006331 | 0,357137 | 0,040339 | 0,044182 | 0,000000000255  |
| 2471 | 2017 | 0,00321826  | 0,05673  | 0,019143 | 0,006053 | 0,312395 | 0,0391   | 0,038186 | 0,000000000261  |
| 2471 | 2016 | 0,001621472 | 0,040268 | 0,020096 | 0,006113 | 0,270214 | 0,038005 | 0,037941 | 0,000000000235  |
| 2471 | 2014 | 0,005709505 | 0,075561 | 0,03255  | 0,005713 | 0,318992 | 0,037113 | 0,042851 | 0,000000000354  |

Continua...

...continuação

|      |      |             |          |          |          |          |          |          |                |
|------|------|-------------|----------|----------|----------|----------|----------|----------|----------------|
| 2472 | 2019 | 0,004633817 | 0,068072 | 0,04294  | 0,007228 | 0,235727 | 0,027162 | 0,022282 | 0,000000000468 |
| 2472 | 2018 | 0,007469321 | 0,086425 | 0,047415 | 0,007576 | 0,233378 | 0,028558 | 0,019843 | 0,000000000464 |
| 2472 | 2017 | 0,005410607 | 0,073557 | 0,051924 | 0,001612 | 0,268044 | 0,03155  | 0,019659 | 0,000000000474 |
| 2472 | 2016 | 0,002951274 | 0,054326 | 0,055115 | 0,009476 | 0,266547 | 0,030675 | 0,02083  | 0,000000000518 |
| 2472 | 2015 | 0,004359043 | 0,066023 | 0,057242 | 0,008202 | 0,275254 | 0,029185 | 0,022212 | 0,000000000536 |
| 2472 | 2014 | 0,005329214 | 0,073001 | 0,06037  | 0,008617 | 0,305466 | 0,031606 | 0,018892 | 0,000000000473 |
| 2472 | 2013 | 0,007322397 | 0,085571 | 0,068457 | 0,007793 | 0,324733 | 0,030979 | 0,0149   | 0,000000000513 |
| 2483 | 2017 | 0,001165309 | 0,034137 | 0,003269 | 0,001571 | 0,133296 | 0,022807 | 0,059029 | 0,000000000561 |
| 2492 | 2019 | 0,003744796 | 0,061195 | 0,021923 | 0,059108 | 0,234054 | 0,044519 | 0,008438 | 0,000000000703 |
| 2492 | 2018 | 0,00164806  | 0,040596 | 0,02951  | 0,004984 | 0,220732 | 0,024279 | 0,008957 | 0,000000000704 |
| 2492 | 2017 | 0,003403771 | 0,058342 | 0,024618 | 0,005014 | 0,179157 | 0,029132 | 0,008684 | 0,000000000729 |
| 2500 | 2019 | 0,07453911  | 0,273019 | 0,076271 | 0,018376 | 0,309152 | 0,014419 | 0,053234 | 0,000000000359 |
| 2500 | 2018 | 0,071345619 | 0,267106 | 0,084087 | 0,018389 | 0,277645 | 0,014382 | 0,054587 | 0,000000000382 |
| 2500 | 2017 | 0,070795166 | 0,266074 | 0,096137 | 0,018094 | 0,283371 | 0,014187 | 0,054407 | 0,000000000392 |
| 2500 | 2016 | 0,068515023 | 0,261754 | 0,07983  | 0,017228 | 0,269377 | 0,015647 | 0,05696  | 0,000000000462 |
| 2500 | 2015 | 0,063465471 | 0,251924 | 0,057231 | 0,015369 | 0,256843 | 0,01643  | 0,05913  | 0,000000000495 |
| 2500 | 2014 | 0,052973893 | 0,230161 | 0,054198 | 0,014025 | 0,245781 | 0,016155 | 0,05925  | 0,000000000498 |
| 2500 | 2013 | 0,042775276 | 0,206822 | 0,053148 | 0,011399 | 0,23896  | 0,016149 | 0,054044 | 0,000000000465 |
| 2511 | 2018 | 0,00015154  | 0,01231  | 0,046983 | 0,011218 | 0,12175  | 0,018237 | 0,055789 | 0,000000000836 |
| 2511 | 2014 | 0,001173488 | -0,03426 | 0,069497 | 0,010832 | 0,222985 | 0,038203 | 0,037796 | 0,000000000801 |
| 2511 | 2013 | 0,001763104 | -0,04199 | 0,077358 | 0,011498 | 0,250541 | 0,03985  | 0,040028 | 0,000000000760 |
| 2517 | 2019 | 0,003298077 | 0,057429 | 0,026949 | 0,007017 | 0,331117 | 0,070077 | 0,011399 | 0,000000000175 |
| 2517 | 2018 | 0,003665257 | 0,060541 | 0,030607 | 0,006784 | 0,304215 | 0,050469 | 0,011773 | 0,000000000185 |
| 2520 | 2019 | 0,024890242 | 0,157766 | 0,070208 | 0,007205 | 0,223732 | 0,030827 | 0,006563 | 0,000000000130 |
| 2520 | 2018 | 0,027263381 | 0,165116 | 0,05519  | 0,006526 | 0,190998 | 0,023245 | 0,006651 | 0,000000000143 |
| 2546 | 2019 | 0,006362993 | 0,079768 | 0,107052 | 0,005813 | 0,152924 | 0,021795 | 0,008974 | 0,000000000119 |
| 2546 | 2018 | 0,006862945 | 0,082843 | 0,102784 | 0,005624 | 0,120657 | 0,016978 | 0,008982 | 0,000000000129 |
| 2546 | 2017 | 0,005912861 | 0,076895 | 0,112955 | 0,015663 | 0,129627 | 0,019741 | 0,009041 | 0,000000000135 |
| 2546 | 2016 | 0,006400625 | 0,080004 | 0,323742 | 0,013459 | 0,119777 | 0,017933 | 0,012092 | 0,000000000162 |
| 2546 | 2015 | 0,007337943 | 0,085662 | 0,351424 | 0,013812 | 0,121906 | 0,019353 | 0,012538 | 0,000000000173 |
| 2546 | 2014 | 0,005982643 | 0,077348 | 0,356074 | 0,012547 | 0,127093 | 0,018476 | 0,015374 | 0,000000000182 |
| 2560 | 2019 | 0,002785663 | 0,052779 | 0,011525 | 0,016947 | 0,07553  | 0,023702 | 0,003988 | 0,000000000183 |
| 2560 | 2018 | 0,002981167 | 0,0546   | 0,002993 | 0,002487 | 0,028322 | 0,00653  | 0,000413 | 0,000000000205 |
| 2560 | 2017 | 0,003713348 | 0,060937 | 0,003803 | 0,001614 | 0,029969 | 0,007002 | 0,000326 | 0,000000000201 |
| 2561 | 2019 | 0,005083157 | 0,071296 | 0,080518 | 0,007794 | 0,194281 | 0,022365 | 0,016647 | 0,000000000407 |
| 2561 | 2018 | 0,007285163 | 0,085353 | 0,079482 | 0,007805 | 0,163174 | 0,013918 | 0,018666 | 0,000000000462 |
| 2562 | 2019 | 0,009475235 | 0,097341 | 0,039679 | 0,015525 | 0,189893 | 0,020597 | 0,032718 | 0,000000000130 |
| 2563 | 2019 | 0,003291855 | 0,057375 | 0,000413 | 0,000278 | 0,177462 | 0,048999 | 0,009838 | 0,000000000123 |
| 2563 | 2018 | 0,015364238 | 0,123953 | 0,000526 | 0,000144 | 0,215956 | 0,050532 | 0,008453 | 0,000000000120 |
| 2563 | 2017 | 0,028204196 | 0,167941 | 0,00041  | 0,000212 | 0,273875 | 0,054116 | 0,008335 | 0,000000000137 |
| 2563 | 2016 | 0,022635017 | 0,150449 | 0,000599 | 0,000261 | 0,286593 | 0,064755 | 0,007047 | 0,000000000164 |
| 2565 | 2016 | 0,000912115 | 0,030201 | 0,093159 | 0,007754 | 0,272518 | 0,010387 | 0,033747 | 0,000000000203 |
| 2565 | 2015 | 0,000230442 | -0,01518 | 0,043715 | 0,008863 | 0,215342 | 0,010308 | 0,052113 | 0,000000000298 |
| 2567 | 2019 | 0,028670829 | 0,169325 | 0,075322 | 0,008793 | 0,24608  | 0,025728 | 0,024082 | 0,000000000422 |
| 2586 | 2019 | 0,001428449 | 0,037795 | 0,05558  | 0,001063 | 0,258607 | 0,018738 | 0,012603 | 0,000000000305 |
| 2586 | 2018 | 0,001409602 | 0,037545 | 0,059267 | 0,001436 | 0,18752  | 0,014034 | 0,011952 | 0,000000000335 |
| 2586 | 2017 | 0,001447751 | 0,038049 | 0,061079 | 0,001217 | 0,198552 | 0,014414 | 0,013943 | 0,000000000317 |
| 2586 | 2016 | 0,002075868 | 0,045562 | 0,061301 | 0,001613 | 0,207289 | 0,01558  | 0,015156 | 0,000000000329 |
| 2586 | 2015 | 0,001900112 | 0,04359  | 0,063779 | 0,001246 | 0,176658 | 0,014117 | 0,016517 | 0,000000000381 |

Continua...

...continuação

|      |      |             |          |          |          |          |          |          |                |
|------|------|-------------|----------|----------|----------|----------|----------|----------|----------------|
| 2587 | 2018 | 0,001631385 | 0,04039  | 0,012017 | 0,00054  | 0,901033 | 0,037366 | 0,001614 | 0,000000000274 |
| 2591 | 2019 | 0,001335137 | 0,03654  | 0,000179 | 0        | 0,472852 | 0,029815 | 1,49E-05 | 0,000000000117 |
| 2591 | 2018 | 0,001569981 | 0,039623 | 0,014685 | 0,000802 | 0,719018 | 0,029307 | 3,19E-05 | 0,000000000123 |
| 2591 | 2017 | 0,003286535 | 0,057328 | 0,012822 | 0,000604 | 0,761304 | 0,030604 | 1,77E-05 | 0,000000000122 |
| 2591 | 2016 | 0,002173463 | 0,04662  | 0,010529 | 0,000519 | 0,643867 | 0,028917 | 3,14E-05 | 0,000000000130 |
| 2595 | 2019 | 0,005621473 | 0,074976 | 0,13712  | 0,006696 | 0,175499 | 0,012855 | 0,016972 | 0,000000000104 |
| 2595 | 2018 | 0,006245742 | 0,07903  | 0,131251 | 0,002825 | 0,166109 | 0,001249 | 0,014245 | 0,000000000102 |
| 2595 | 2017 | 0,004599109 | 0,067817 | 0,140901 | 0,011396 | 0,183395 | 0,014204 | 0,012727 | 0,000000000106 |
| 2595 | 2016 | 0,001955923 | 0,044226 | 0,134489 | 0,010499 | 0,164273 | 0,014156 | 0,011406 | 0,000000000113 |
| 2595 | 2015 | 6,19727E-05 | -0,00787 | 0,126723 | 0,010128 | 0,186614 | 0,014077 | 0,01417  | 0,000000000105 |
| 2595 | 2014 | 0,001473439 | 0,038385 | 0,134848 | 0,009496 | 0,193418 | 0,015026 | 0,018324 | 0,000000000091 |
| 2595 | 2013 | 0,00110389  | 0,033225 | 0,146174 | 0,008396 | 0,202908 | 0,015477 | 0,020302 | 0,000000000094 |
| 2598 | 2019 | 0,003212452 | 0,056678 | 0,011586 | 0,003548 | 0,334308 | 0,046347 | 0,016335 | 0,000000000278 |
| 2608 | 2019 | 0,000813877 | 0,028529 | 0,003333 | 0        | 0,087441 | 0,008532 | 0,030515 | 0,000000000105 |
| 2616 | 2019 | 0,004342936 | 0,065901 | 0,075312 | 0,009591 | 0,124553 | 0,023742 | 0,024188 | 0,000000000215 |
| 2616 | 2018 | 0,004200653 | 0,064812 | 0,074924 | 0,008234 | 0,083019 | 0,012272 | 0,02259  | 0,000000000240 |
| 2616 | 2017 | 0,005432184 | 0,073703 | 0,07491  | 0,008444 | 0,089271 | 0,012666 | 0,024845 | 0,000000000230 |
| 2616 | 2016 | 0,004256803 | 0,065244 | 0,076009 | 0,007809 | 0,080828 | 0,014791 | 0,021818 | 0,000000000250 |
| 2616 | 2015 | 0,003620707 | 0,060172 | 0,072462 | 0,007936 | 0,0814   | 0,01319  | 0,020031 | 0,000000000248 |
| 2616 | 2014 | 0,001579929 | 0,039748 | 0,079609 | 0,0077   | 0,084787 | 0,013567 | 0,016403 | 0,000000000242 |
| 2616 | 2013 | 0,001493897 | 0,038651 | 0,066755 | 0,005786 | 0,094524 | 0,01463  | 0,016216 | 0,000000000222 |
| 2617 | 2019 | 0,002732382 | 0,052272 | 0,069627 | 0,024182 | 0,11774  | 0,018851 | 0,07606  | 0,000000000369 |
| 2617 | 2018 | 0,000135973 | 0,011661 | 0,109258 | 0,030418 | 0,096095 | 0,021541 | 0,088186 | 0,000000000383 |
| 2617 | 2017 | 0,00766783  | 0,087566 | 0,051699 | 0,011284 | 0,108996 | 0,023035 | 0,09197  | 0,000000000475 |
| 2617 | 2016 | 0,008673843 | 0,093133 | 0,044773 | 0,015583 | 0,1095   | 0,026811 | 0,104107 | 0,000000000634 |
| 2617 | 2015 | 0,000772129 | 0,027787 | 0,062137 | 0,019308 | 0,115979 | 0,02759  | 0,098958 | 0,000000000608 |
| 2630 | 2019 | 0,012245608 | 0,11066  | 0,003872 | 0        | 0,432375 | 0,081214 | 0,038689 | 0,000000000312 |
| 2643 | 2019 | 0,002464213 | 0,049641 | 0,046565 | 0,004851 | 0,381571 | 0,03725  | 0,013594 | 0,000000000329 |
| 2643 | 2018 | 0,015097342 | 0,122871 | 0,057685 | 0,005163 | 0,334967 | 0,034984 | 0,013973 | 0,000000000376 |
| 2643 | 2017 | 0,012805104 | 0,11316  | 0,066078 | 0,005492 | 0,308623 | 0,035202 | 0,014566 | 0,000000000342 |
| 2650 | 2019 | 0,002549754 | 0,050495 | 0,089099 | 0,004411 | 0,159366 | 0,01871  | 0,017349 | 0,000000000161 |
| 2650 | 2018 | 0,00192703  | 0,043898 | 0,072589 | 0,005623 | 0,125495 | 0,011321 | 0,02098  | 0,000000000165 |
| 2650 | 2017 | 0,002984116 | 0,054627 | 0,187627 | 0,006978 | 0,135148 | 0,013636 | 0,03217  | 0,000000000178 |
| 2650 | 2016 | 0,002004385 | 0,04477  | 0,047366 | 0,011518 | 0,127324 | 0,012535 | 0,031968 | 0,000000000217 |
| 2656 | 2019 | 0,007832354 | 0,088501 | 0,031874 | 0,004292 | 0,217527 | 0,035984 | 0,001429 | 0,000000000250 |
| 2656 | 2018 | 0,006245334 | 0,079027 | 0,02964  | 0,004421 | 0,218971 | 0,037213 | 0,001369 | 0,000000000268 |
| 2656 | 2017 | 0,006507507 | 0,080669 | 0,024661 | 0,004245 | 0,244453 | 0,036874 | 0,00124  | 0,000000000275 |
| 2656 | 2016 | 0,006006577 | 0,077502 | 0,017411 | 0,002867 | 0,237164 | 0,0367   | 0,001295 | 0,000000000295 |
| 2656 | 2015 | 0,006662615 | 0,081625 | 0,014745 | 0,00318  | 0,217415 | 0,035072 | 0,000964 | 0,000000000313 |
| 2667 | 2019 | 0,007661884 | 0,087532 | 0,098817 | 0,006575 | 0,248603 | 0,02868  | 0,010743 | 0,000000000171 |
| 2667 | 2018 | 0,007593389 | 0,08714  | 0,096516 | 0,005683 | 0,204315 | 0,017912 | 0,010281 | 0,000000000179 |
| 2667 | 2017 | 0,007477014 | 0,08647  | 0,101128 | 0,006371 | 0,197204 | 0,021453 | 0,010253 | 0,000000000163 |
| 2667 | 2016 | 0,006235213 | 0,078963 | 0,11452  | 0,004847 | 0,215324 | 0,020575 | 0,009288 | 0,000000000181 |
| 2667 | 2015 | 0,009005732 | 0,094899 | 0,03885  | 0,003175 | 0,190151 | 0,02154  | 0,010679 | 0,000000000244 |
| 2667 | 2014 | 0,008052947 | 0,089738 | 0,041393 | 0,001866 | 0,191492 | 0,018485 | 0,010537 | 0,000000000254 |
| 2667 | 2013 | 0,006771785 | 0,082291 | 0,021954 | 0,002602 | 0,189051 | 0,022391 | 0,010958 | 0,000000000237 |

Continua...

...continuação

|      |      |             |          |          |          |          |          |          |                |
|------|------|-------------|----------|----------|----------|----------|----------|----------|----------------|
| 2675 | 2019 | 0,000709115 | -0,02663 | 0,029588 | 0,016237 | 0,348646 | 0,087433 | 0,089257 | 0,000000000211 |
| 2675 | 2018 | 0,000154359 | 0,012424 | 0,058479 | 0,011899 | 0,319814 | 0,055603 | 0,089539 | 0,000000000210 |
| 2675 | 2017 | 0,008769511 | 0,093646 | 0,066632 | 0,007089 | 0,364903 | 0,051397 | 0,090044 | 0,000000000185 |
| 2675 | 2016 | 0,013173791 | 0,114777 | 0,03306  | 0,005937 | 0,325008 | 0,045211 | 0,084744 | 0,000000000204 |
| 2675 | 2015 | 0,009750292 | 0,098744 | 0,024523 | 0,006109 | 0,23004  | 0,038131 | 0,072484 | 0,000000000191 |
| 2675 | 2014 | 0,024786174 | 0,157436 | 0,027077 | 0,005987 | 0,22768  | 0,051603 | 0,0584   | 0,000000000195 |
| 2675 | 2013 | 0,010733361 | 0,103602 | 0,02266  | 0,005486 | 0,244005 | 0,05171  | 0,071114 | 0,000000000172 |
| 2678 | 2019 | 0,000534908 | 0,023128 | 0,010586 | 0,002217 | 0,153662 | 0,025038 | 0,035336 | 0,000000000390 |
| 2682 | 2019 | 0,000651039 | 0,025515 | 0,039863 | 0,004685 | 0,223879 | 0,022763 | 0,005647 | 0,000000000110 |
| 2682 | 2018 | 0,001212293 | 0,034818 | 0,046354 | 0,002947 | 0,217135 | 0,020889 | 0,005161 | 0,000000000106 |
| 2682 | 2017 | 0,00185917  | 0,043118 | 0,050478 | 0,003509 | 0,209874 | 0,023208 | 0,005074 | 0,000000000109 |
| 2682 | 2016 | 0,000773971 | 0,02782  | 0,056833 | 0,006673 | 0,248485 | 0,029274 | 0,00517  | 0,000000000121 |
| 2682 | 2015 | 0,000911651 | 0,030194 | 0,056148 | 0,00548  | 0,248174 | 0,027199 | 0,005739 | 0,000000000120 |
| 2682 | 2014 | 0,00096821  | 0,031116 | 0,055096 | 0,005194 | 0,259751 | 0,028284 | 0,00447  | 0,000000000106 |
| 2682 | 2013 | 0,001474659 | 0,038401 | 0,0578   | 0,005266 | 0,280675 | 0,027505 | 0,003552 | 0,000000000107 |
| 2696 | 2019 | 0,013155527 | 0,114698 | 0,051154 | 0,015618 | 0,145971 | 0,017101 | 0,017579 | 0,000000000149 |
| 2696 | 2018 | 0,0096441   | 0,098204 | 0,06714  | 0,017478 | 0,099366 | 0,010541 | 0,017561 | 0,000000000157 |
| 2696 | 2017 | 0,007644853 | 0,087435 | 0,089612 | 0,020272 | 0,092649 | 0,012489 | 0,016654 | 0,000000000150 |
| 2696 | 2016 | 0,006513227 | 0,080705 | 0,107257 | 0,02     | 0,089111 | 0,012086 | 0,014719 | 0,000000000164 |
| 2696 | 2015 | 0,011051332 | 0,105125 | 0,120722 | 0,01989  | 0,08789  | 0,012127 | 0,013792 | 0,000000000165 |
| 2696 | 2014 | 0,011061321 | 0,105173 | 0,166798 | 0,018121 | 0,10568  | 0,011326 | 0,016578 | 0,000000000147 |
| 2696 | 2013 | 0,015819908 | 0,125777 | 0,103905 | 0,016057 | 0,109794 | 0,012851 | 0,020131 | 0,000000000187 |
| 2698 | 2019 | 0,004037109 | 0,063538 | 0,088268 | 0,013003 | 0,134834 | 0,020716 | 0,017567 | 0,000000000193 |
| 2698 | 2018 | 0,002963633 | 0,054439 | 0,096962 | 0,014873 | 0,116293 | 0,015455 | 0,019066 | 0,000000000205 |
| 2698 | 2017 | 0,002591683 | 0,050909 | 0,107112 | 0,014128 | 0,135315 | 0,018829 | 0,020618 | 0,000000000229 |
| 2698 | 2016 | 0,002162905 | 0,046507 | 0,082333 | 0,011723 | 0,125476 | 0,017225 | 0,017532 | 0,000000000270 |
| 2698 | 2015 | 0,000748133 | 0,027352 | 0,052942 | 0,009197 | 0,105584 | 0,016111 | 0,015771 | 0,000000000233 |
| 2698 | 2014 | 0,00277685  | 0,052696 | 0,063211 | 0,009295 | 0,10569  | 0,016846 | 0,015175 | 0,000000000200 |
| 2698 | 2013 | 0,00344012  | 0,058653 | 0,066612 | 0,009881 | 0,107877 | 0,021171 | 0,01548  | 0,000000000196 |
| 2702 | 2017 | 0,001624927 | 0,04031  | 0,031911 | 0,009688 | 0,027746 | 0,008449 | 0,007259 | 0,000000000116 |
| 2702 | 2016 | 0,000937477 | 0,030618 | 0,136287 | 0,008051 | 0,044984 | 0,007066 | 0,006122 | 0,000000000087 |
| 2702 | 2015 | 0,003250343 | 0,057012 | 0,15154  | 0,010528 | 0,046813 | 0,012098 | 0,00856  | 0,000000000081 |
| 2704 | 2014 | 0,000559892 | -0,02366 | 0,026602 | 0,005    | 0,037403 | 0,012169 | 0,004748 | 0,000000000169 |
| 2705 | 2019 | 0,008191338 | 0,090506 | 0,037921 | 0,002907 | 0,157254 | 0,019006 | 0,008809 | 0,000000000203 |
| 2705 | 2018 | 0,003915257 | 0,062572 | 0,040003 | 0,003496 | 0,128081 | 0,020116 | 0,008313 | 0,000000000217 |
| 2705 | 2017 | 0,002867949 | 0,053553 | 0,043519 | 0,003525 | 0,139186 | 0,021016 | 0,007997 | 0,000000000204 |
| 2705 | 2016 | 0,00303932  | 0,05513  | 0,043574 | 0,003424 | 0,147219 | 0,020291 | 0,008693 | 0,000000000211 |
| 2705 | 2015 | 0,014766829 | 0,121519 | 0,045429 | 0,005478 | 0,150603 | 0,019758 | 0,009114 | 0,000000000196 |
| 2705 | 2014 | 0,023895201 | 0,154581 | 0,029253 | 0,003392 | 0,13871  | 0,018653 | 0,008176 | 0,000000000201 |
| 2705 | 2013 | 0,020506572 | 0,143201 | 0,031875 | 0,003117 | 0,142213 | 0,018007 | 0,007505 | 0,000000000199 |
| 2719 | 2019 | 0,004761534 | 0,069004 | 0,230889 | 0,028556 | 0,094544 | 0,011823 | 0,008415 | 0,000000000162 |
| 2719 | 2018 | 0,002718687 | 0,052141 | 0,230084 | 0,026644 | 0,078396 | 0,010803 | 0,009295 | 0,000000000155 |
| 2719 | 2017 | 0,004353685 | 0,065982 | 0,240953 | 0,034971 | 0,082595 | 0,00856  | 0,011509 | 0,000000000149 |
| 2736 | 2019 | 0,008868978 | 0,094175 | 0,021053 | 0,00109  | 0,094175 | 0,037077 | 0,00094  | 0,000000000145 |
| 2736 | 2018 | 0,007010283 | 0,083727 | 0,019415 | 0,003553 | 0,126198 | 0,016521 | 0,000693 | 0,000000000138 |
| 2736 | 2017 | 0,008349852 | 0,091378 | 0,018313 | 0,004245 | 0,074575 | 0,020068 | 0,000755 | 0,000000000134 |
| 2736 | 2016 | 0,006087408 | 0,078022 | 0,018959 | 0,005754 | 0,079662 | 0,01906  | 0,000729 | 0,000000000146 |
| 2736 | 2015 | 0,00538073  | 0,073353 | 0,027349 | 0,008179 | 0,090526 | 0,022493 | 0,001696 | 0,000000000149 |
| 2736 | 2014 | 0,008348143 | 0,091368 | 0,032134 | 0,01076  | 0,090594 | 0,020036 | 0,001936 | 0,000000000139 |

Continua...

...continuação

|      |      |             |          |          |          |          |          |          |                |
|------|------|-------------|----------|----------|----------|----------|----------|----------|----------------|
| 2737 | 2018 | 0,001432513 | 0,037849 | 0,095241 | 0,003794 | 0,093947 | 0,004715 | 1,29E-05 | 0,000000000044 |
| 2737 | 2017 | 0,001474414 | 0,038398 | 0,102878 | 0,003503 | 0,090553 | 0,005454 | 0,000192 | 0,000000000051 |
| 2739 | 2019 | 0,003475889 | 0,058957 | 0,075453 | 0,013239 | 0,126281 | 0,021692 | 0,015946 | 0,000000000159 |
| 2739 | 2018 | 0,002921467 | 0,054051 | 0,0817   | 0,01412  | 0,087799 | 0,010176 | 0,013527 | 0,000000000155 |
| 2739 | 2017 | 0,004098774 | 0,064022 | 0,093143 | 0,010755 | 0,089038 | 0,010312 | 0,011509 | 0,000000000141 |
| 2739 | 2016 | 0,003355607 | 0,057928 | 0,067497 | 0,009386 | 0,07635  | 0,009194 | 0,009105 | 0,000000000153 |
| 2739 | 2015 | 0,007137412 | 0,084483 | 0,061714 | 0,007936 | 0,082004 | 0,009855 | 0,010713 | 0,000000000146 |
| 2739 | 2014 | 0,006024499 | 0,077618 | 0,051146 | 0,006325 | 0,078357 | 0,008418 | 0,010706 | 0,000000000151 |
| 2744 | 2019 | 0,004727683 | 0,068758 | 0,091751 | 0,010883 | 0,240213 | 0,038648 | 0,080478 | 0,000000000096 |
| 2744 | 2018 | 0,004862672 | 0,069733 | 0,04855  | 0,008369 | 0,18054  | 0,033949 | 0,071299 | 0,000000000118 |
| 2744 | 2017 | 0,006818901 | 0,082577 | 0,059119 | 0,007962 | 0,188333 | 0,035069 | 0,067606 | 0,000000000117 |
| 2744 | 2016 | 0,007834208 | 0,088511 | 0,059818 | 0,008172 | 0,174643 | 0,031741 | 0,063455 | 0,000000000132 |
| 2744 | 2015 | 0,008072266 | 0,089846 | 0,0543   | 0,00654  | 0,186596 | 0,030436 | 0,061808 | 0,000000000144 |
| 2744 | 2014 | 0,011453636 | 0,107022 | 0,022117 | 0,004799 | 0,177497 | 0,031037 | 0,056171 | 0,000000000143 |
| 2744 | 2013 | 0,010102985 | 0,100514 | 0,020357 | 0,005648 | 0,196409 | 0,036624 | 0,058088 | 0,000000000154 |
| 2747 | 2019 | 0,004812794 | 0,069374 | 0,065215 | 0,007942 | 0,208448 | 0,027414 | 0,044638 | 0,000000000129 |
| 2747 | 2018 | 0,004126597 | 0,064239 | 0,073483 | 0,008296 | 0,17606  | 0,028875 | 0,045544 | 0,000000000131 |
| 2748 | 2019 | 0,004944731 | 0,070319 | 0,157246 | 0,018752 | 0,120413 | 0,015671 | 0,025583 | 0,000000000130 |
| 2748 | 2018 | 0,009217745 | 0,096009 | 0,174975 | 0,020452 | 0,093169 | 0,016617 | 0,026843 | 0,000000000138 |
| 2748 | 2017 | 0,007487907 | 0,086533 | 0,175165 | 0,018746 | 0,096431 | 0,016347 | 0,027145 | 0,000000000146 |
| 2748 | 2016 | 0,006134915 | 0,078326 | 0,215755 | 0,011497 | 0,110662 | 0,015629 | 0,019761 | 0,000000000154 |
| 2748 | 2015 | 0,009135191 | 0,095578 | 0,091377 | 0,009453 | 0,092217 | 0,018485 | 0,019956 | 0,000000000215 |
| 2748 | 2014 | 0,010045142 | 0,100225 | 0,096331 | 0,009633 | 0,094487 | 0,019471 | 0,021316 | 0,000000000206 |
| 2748 | 2013 | 0,006984232 | 0,083572 | 0,099714 | 0,010421 | 0,099714 | 0,020229 | 0,021251 | 0,000000000204 |
| 2749 | 2019 | 0,000771148 | 0,02777  | 0,005049 | 0,004396 | 0,031697 | 0,018133 | 0,004769 | 0,000000000234 |
| 2749 | 2018 | 0,000607004 | 0,024637 | 0,024344 | 0,005287 | 0,089457 | 0,011563 | 0,004693 | 0,000000000268 |
| 2749 | 2017 | 0,005206572 | 0,072157 | 0,024991 | 0,005651 | 0,090789 | 0,013734 | 0,008225 | 0,000000000244 |
| 2749 | 2016 | 0,004224337 | 0,064995 | 0,025523 | 0,005265 | 0,093486 | 0,0133   | 0,010091 | 0,000000000287 |
| 2749 | 2015 | 0,008372639 | 0,091502 | 0,028377 | 0,005408 | 0,09932  | 0,015208 | 0,011872 | 0,000000000278 |
| 2749 | 2014 | 0,014982237 | 0,122402 | 0,028535 | 0,004898 | 0,108162 | 0,014436 | 0,016306 | 0,000000000256 |
| 2749 | 2013 | 0,017340272 | 0,131682 | 0,031078 | 0,005111 | 0,10341  | 0,046493 | 0,017327 | 0,000000000200 |
| 2757 | 2019 | 0,002742826 | 0,052372 | 0,024996 | 0,001336 | 0,274159 | 0,028432 | 0,018648 | 0,000000000181 |
| 2757 | 2018 | 0,001298807 | 0,036039 | 0,024589 | 0,002589 | 0,213043 | 0,022745 | 0,019709 | 0,000000000173 |
| 2757 | 2017 | 0,002897554 | 0,053829 | 0,025226 | 0,002899 | 0,224254 | 0,025675 | 0,019664 | 0,000000000155 |
| 2757 | 2016 | 0,002054431 | 0,045326 | 0,027345 | 0,002278 | 0,219137 | 0,022967 | 0,015171 | 0,000000000177 |
| 2757 | 2015 | 0,001348261 | 0,036719 | 0,027869 | 0,002503 | 0,217676 | 0,023872 | 0,015441 | 0,000000000179 |
| 2760 | 2019 | 0,001567739 | 0,039595 | 0,007495 | 0,000767 | 0,087744 | 0,007669 | 0,001497 | 0,000000000123 |
| 2760 | 2018 | 0,005061431 | 0,071144 | 0,007988 | 0,000799 | 0,064898 | 0,009478 | 0,001433 | 0,000000000128 |
| 2760 | 2017 | 0,002314088 | 0,048105 | 0,008983 | 0,000796 | 0,070607 | 0,009366 | 0,001245 | 0,000000000124 |
| 2760 | 2016 | 0,00205846  | -0,04537 | 0,008364 | 0,000887 | 0,071007 | 0,008948 | 0,001355 | 0,000000000115 |
| 2760 | 2015 | 0,00025915  | 0,016098 | 0,011417 | 0,000923 | 0,089223 | 0,005721 | 0,001368 | 0,000000000119 |
| 2760 | 2014 | 0,001720484 | 0,041479 | 0,011138 | 0,000933 | 0,077488 | 0,004731 | 0,001232 | 0,000000000106 |
| 2760 | 2013 | 0,000617693 | -0,02485 | 0,011158 | 0,000896 | 0,070919 | 0,004933 | 0,001637 | 0,000000000107 |
| 2772 | 2019 | 0,003725144 | 0,061034 | 0,030362 | 0,001232 | 0,134836 | 0,008567 | 0,002623 | 0,000000000091 |
| 2772 | 2018 | 0,00658907  | 0,081173 | 0,01215  | 0,000889 | 0,064116 | 0,002633 | 0,002619 | 0,000000000093 |
| 2772 | 2017 | 0,000604334 | 0,024583 | 0,011916 | 0,000777 | 0,069227 | 0,003614 | 0,002764 | 0,000000000078 |
| 2772 | 2016 | 0,000113289 | 0,010644 | 0,010355 | 0,000765 | 0,072777 | 0,004155 | 0,002576 | 0,000000000087 |
| 2772 | 2015 | 8,22333E-05 | 0,009068 | 0,006653 | 0,001011 | 0,099381 | 0,004917 | 0,00256  | 0,000000000093 |
| 2772 | 2014 | 1,56895E-05 | 0,003961 | 0,008697 | 0,001208 | 0,18982  | 0,004729 | 0,003416 | 0,000000000082 |
| 2772 | 2013 | 0,005980032 | -0,07733 | 0,010947 | 0,003918 | 0,18552  | 0,004443 | 0,004086 | 0,000000000087 |

Continua...

...continuação

|      |      |             |          |          |          |          |          |          |                |
|------|------|-------------|----------|----------|----------|----------|----------|----------|----------------|
| 2774 | 2019 | 0,001764373 | 0,042004 | 0,001092 | 0,000382 | 0,001465 | 0,00043  | 6,49E-05 | 0,000000000037 |
| 2774 | 2018 | 0,001543931 | 0,039293 | 0,001245 | 0,000408 | 0,000385 | 8,48E-05 | 3,5E-05  | 0,000000000036 |
| 2774 | 2017 | 0,001759691 | 0,041949 | 0,001583 | 0,000469 | 0,000594 | 0,000164 | 4,21E-05 | 0,000000000032 |
| 2774 | 2016 | 0,001898816 | 0,043575 | 0,001953 | 0,000514 | 0,000718 | 0,000165 | 0,000126 | 0,000000000038 |
| 2774 | 2015 | 0,003832472 | 0,061907 | 0,002944 | 0        | 0,001381 | 0,032161 | 0,000188 | 0,000000000048 |
| 2774 | 2014 | 0,003165147 | 0,05626  | 0,003819 | 0,000664 | 0,001116 | 0,000344 | 0,000345 | 0,000000000085 |
| 2774 | 2013 | 0,00404677  | 0,063614 | 0,00288  | 0,000456 | 0,001254 | 0,000476 | 0,00037  | 0,000000000061 |
| 2783 | 2019 | 0,0021868   | 0,046763 | 0,004319 | 0,001055 | 0,081813 | 0,006233 | 0,008252 | 0,000000000064 |
| 2783 | 2018 | 0,002014704 | 0,044885 | 0,004969 | 0,00298  | 0,077081 | 0,006218 | 0,005899 | 0,000000000062 |
| 2783 | 2017 | 0,002900298 | 0,053854 | 0,007745 | 0,003076 | 0,076486 | 0,007331 | 0,004699 | 0,000000000058 |
| 2783 | 2016 | 0,003369568 | 0,058048 | 0,00961  | 0,002899 | 0,075082 | 0,006934 | 0,004391 | 0,000000000059 |
| 2783 | 2015 | 0,003111807 | 0,055784 | 0,012225 | 0,003572 | 0,089831 | 0,006093 | 0,00325  | 0,000000000062 |
| 2783 | 2014 | 0,003252342 | 0,057029 | 0,01669  | 0,002495 | 0,101739 | 0,006719 | 0,003591 | 0,000000000058 |
| 2783 | 2013 | 0,002418957 | 0,049183 | 0,00544  | 0,000247 | 0,114434 | 0,006047 | 0,004335 | 0,000000000073 |
| 2791 | 2014 | 0,001472644 | -0,03838 | 0,00581  | 0,000284 | 0,321955 | 0,012683 | 0,003566 | 0,000000000055 |
| 2791 | 2013 | 0,000595538 | 0,024404 | 0,005283 | 0,00047  | 0,343777 | 0,013609 | 0,005179 | 0,000000000058 |
| 2792 | 2019 | 0,013513436 | 0,116247 | 0,226794 | 0,005229 | 0,093471 | 0,016246 | 0,028597 | 0,000000000078 |
| 2794 | 2019 | 0,001908027 | -0,04368 | 0,003274 | 0,001334 | 0,412714 | 0,016008 | 0,00352  | 0,000000000086 |
| 2794 | 2018 | 0,000808789 | -0,02844 | 0,004083 | 0,002689 | 0,408763 | 0,017718 | 0,003142 | 0,000000000078 |
| 2794 | 2017 | 0,001260074 | -0,0355  | 0,006202 | 0,002366 | 0,417365 | 0,018976 | 0,003838 | 0,000000000077 |
| 2794 | 2016 | 7,03421E-05 | -0,00839 | 0,005478 | 0,001716 | 0,367072 | 0,016881 | 0,003807 | 0,000000000068 |
| 2794 | 2015 | 0,007273332 | -0,08528 | 0,005522 | 0,001306 | 0,317014 | 0,015556 | 0,004794 | 0,000000000069 |
| 2794 | 2014 | 0,000111901 | 0,010578 | 0,007168 | 0,00125  | 0,304773 | 0,015086 | 0,005278 | 0,000000000064 |
| 2794 | 2013 | 0,002934263 | 0,054169 | 0,007842 | 0,000105 | 0,311299 | 0,01608  | 0,008217 | 0,000000000062 |
| 2800 | 2018 | 0,002815024 | 0,053057 | 0,000477 | 9,85E-05 | 0,093438 | 0,000663 | 0,000871 | 0,000000000004 |
| 2809 | 2018 | 0,000981887 | 0,031335 | 0,013609 | 0,001694 | 0,844922 | 0,057993 | 0,000878 | 0,000000000027 |
| 2817 | 2019 | 0,001879552 | 0,043354 | 0,102654 | 0,006918 | 0,238392 | 0,014474 | 0,008023 | 0,000000000048 |
| 2817 | 2018 | 0,001617122 | 0,040213 | 0,093305 | 0,002432 | 0,257049 | 0,011557 | 0,006802 | 0,000000000045 |
| 2817 | 2017 | 0,001480266 | 0,038474 | 0,09442  | 0,008636 | 0,290834 | 0,012381 | 0,006593 | 0,000000000044 |
| 2817 | 2016 | 0,000878108 | 0,029633 | 0,084868 | 0,008005 | 0,237155 | 0,012886 | 0,006403 | 0,000000000046 |
| 2817 | 2015 | 9,28695E-07 | -0,00096 | 0,079831 | 0,007451 | 0,254096 | 0,012922 | 0,007771 | 0,000000000044 |
| 2817 | 2014 | 0,00098963  | 0,031458 | 0,082577 | 0,006596 | 0,257588 | 0,013982 | 0,009409 | 0,000000000039 |
| 2817 | 2013 | 0,001261696 | 0,03552  | 0,083185 | 0,005544 | 0,268119 | 0,01389  | 0,009418 | 0,000000000039 |
| 2819 | 2019 | 0,047644164 | 0,218275 | 0,132061 | 0,015193 | 0,138227 | 0,028669 | 0,027069 | 0,000000000086 |
| 2819 | 2018 | 0,031989366 | 0,178856 | 0,089932 | 0,013697 | 0,115688 | 0,018821 | 0,020618 | 0,000000000094 |
| 2819 | 2017 | 0,027218866 | 0,164981 | 0,10011  | 0,020625 | 0,104515 | 0,024034 | 0,017267 | 0,000000000063 |
| 2819 | 2016 | 0,03111853  | 0,176404 | 0,119523 | 0,015645 | 0,112283 | 0,023733 | 0,026729 | 0,000000000076 |
| 2819 | 2015 | 0,036584033 | 0,19127  | 0,12394  | 0,015595 | 0,114643 | 0,025565 | 0,028806 | 0,000000000083 |
| 2819 | 2014 | 0,027695112 | 0,166418 | 0,129935 | 0,012058 | 0,123407 | 0,022134 | 0,028704 | 0,000000000079 |
| 2819 | 2013 | 0,039696909 | 0,199241 | 0,074158 | 0,00925  | 0,107386 | 0,021504 | 0,024374 | 0,000000000074 |
| 2821 | 2019 | 0,010966404 | 0,104721 | 0,042265 | 0,00523  | 0,156691 | 0,021145 | 0,024615 | 0,000000000243 |
| 2821 | 2018 | 0,009443503 | 0,097178 | 0,045422 | 0,004664 | 0,137485 | 0,021942 | 0,026077 | 0,000000000260 |
| 2821 | 2017 | 0,007284221 | 0,085348 | 0,05426  | 0,005177 | 0,142894 | 0,021446 | 0,02561  | 0,000000000270 |
| 2822 | 2019 | 0,00032425  | -0,01801 | 0,001316 | 0,00053  | 0,046654 | 0,007633 | 0,001149 | 0,000000000124 |
| 2822 | 2018 | 0,000602582 | 0,024548 | 0,001475 | 0,000558 | 0,048155 | 0,007318 | 0,001906 | 0,000000000108 |
| 2822 | 2017 | 0,000115796 | 0,010761 | 0,001618 | 0        | 0,051646 | 0,012274 | 0,00078  | 0,000000000106 |
| 2822 | 2016 | 5,7261E-05  | 0,007567 | 0,001802 | 0        | 0,058004 | 0,013533 | 0,000619 | 0,000000000105 |

Continua...

...continuação

|      |      |             |          |          |          |          |          |          |                |
|------|------|-------------|----------|----------|----------|----------|----------|----------|----------------|
| 2823 | 2019 | 0,003828947 | 0,061878 | 0,192113 | 0,016391 | 0,489229 | 0,034152 | 0,004257 | 0,000000000055 |
| 2823 | 2017 | 0,006904446 | 0,083093 | 0,223558 | 0,012152 | 0,567287 | 0,038767 | 0,004176 | 0,000000000057 |
| 2823 | 2016 | 0,004431134 | 0,066567 | 0,008482 | 0,001851 | 0,578172 | 0,043506 | 0,004518 | 0,000000000089 |
| 2823 | 2015 | 0,005083967 | 0,071302 | 0,008209 | 0,001958 | 0,568888 | 0,042791 | 0,003913 | 0,000000000086 |
| 2823 | 2014 | 0,004532423 | 0,067323 | 0,006355 | 0,001493 | 0,588632 | 0,040024 | 0,003773 | 0,000000000090 |
| 2823 | 2013 | 0,004012775 | 0,063346 | 0,006542 | 0,001818 | 0,62173  | 0,043586 | 0,003635 | 0,000000000076 |
| 2831 | 2019 | 0,027501199 | 0,165835 | 0,047194 | 0,009832 | 0,238831 | 0,037005 | 0,030452 | 0,000000000079 |
| 2831 | 2018 | 0,024962891 | 0,157996 | 0,056613 | 0,008085 | 0,216075 | 0,030062 | 0,030117 | 0,000000000076 |
| 2831 | 2017 | 0,03084187  | 0,175619 | 0,05285  | 0,008509 | 0,235944 | 0,036411 | 0,030588 | 0,000000000075 |
| 2831 | 2016 | 0,00962077  | 0,098086 | 0,054408 | 0,007614 | 0,246011 | 0,034338 | 0,028323 | 0,000000000085 |
| 2831 | 2015 | 0,004595917 | 0,067793 | 0,053876 | 0,007531 | 0,250817 | 0,035783 | 0,028586 | 0,000000000083 |
| 2831 | 2014 | 0,009647316 | 0,098221 | 0,052649 | 0,006275 | 0,260497 | 0,029677 | 0,024617 | 0,000000000078 |
| 2831 | 2013 | 0,005512429 | 0,074246 | 0,032146 | 0,006178 | 0,273534 | 0,035076 | 0,028821 | 0,000000000070 |
| 2835 | 2019 | 0,002501653 | 0,050017 | 0,100005 | 0,016127 | 0,1363   | 0,022291 | 0,039089 | 0,000000000029 |
| 2835 | 2018 | 0,003296267 | 0,057413 | 0,030438 | 0,00663  | 0,07157  | 0,012419 | 0,034873 | 0,000000000034 |
| 2835 | 2017 | 0,002844309 | 0,053332 | 0,040047 | 0,005295 | 0,082491 | 0,014789 | 0,036362 | 0,000000000035 |
| 2835 | 2016 | 0,002782694 | 0,052751 | 0,042222 | 0,008616 | 0,079217 | 0,013174 | 0,032415 | 0,000000000042 |
| 2835 | 2015 | 0,002484847 | 0,049848 | 0,040625 | 0,00533  | 0,079881 | 0,014381 | 0,032579 | 0,000000000042 |
| 2835 | 2014 | 0,002186339 | 0,046758 | 0,04411  | 0,004474 | 0,072585 | 0,011231 | 0,029901 | 0,000000000045 |
| 2845 | 2019 | 0,000554088 | 0,023539 | 0,011495 | 0,004623 | 0,276394 | 0,037719 | 0,036284 | 0,000000000060 |
| 2845 | 2018 | 0,001611847 | 0,040148 | 0,014717 | 0,005094 | 0,258772 | 0,027459 | 0,033914 | 0,000000000058 |
| 2845 | 2017 | 6,39057E-05 | 0,007994 | 0,020055 | 0,006159 | 0,200398 | 0,0251   | 0,035967 | 0,000000000068 |
| 2845 | 2016 | 0,003415756 | -0,05844 | 0,021314 | 0,006154 | 0,15797  | 0,023463 | 0,03486  | 0,000000000078 |
| 2845 | 2015 | 0,0002584   | -0,01607 | 0,027921 | 0,007676 | 0,194042 | 0,031403 | 0,032387 | 0,000000000074 |
| 2852 | 2019 | 0,001917696 | 0,043792 | 0,035609 | 0,001043 | 0,103872 | 0,020787 | 0,018638 | 0,000000000071 |
| 2852 | 2018 | 0,001550284 | 0,039374 | 0,033283 | 0,006287 | 0,067488 | 0,007064 | 0,016783 | 0,000000000067 |
| 2852 | 2017 | 0,000909003 | 0,03015  | 0,031593 | 0,00524  | 0,064856 | 0,005604 | 0,014961 | 0,000000000060 |
| 2852 | 2016 | 0,000818684 | 0,028613 | 0,026846 | 0,005889 | 0,050905 | 0,004977 | 0,008631 | 0,000000000063 |
| 2852 | 2015 | 0,000244302 | 0,01563  | 0,016527 | 0,012007 | 0,027972 | 0,008148 | 0,003545 | 0,000000000064 |
| 2852 | 2014 | 7,26792E-05 | 0,008525 | 0,011903 | 0,002836 | 0,017587 | 0,004112 | 0,001314 | 0,000000000027 |
| 2852 | 2013 | 7,60213E-05 | 0,008719 | 0,066792 | 0,002826 | 0,09656  | 0,003648 | 0,001757 | 0,000000000024 |
| 2854 | 2013 | 0,005870686 | 0,07662  | 0,090106 | 0,011817 | 0,146702 | 0,027387 | 0,011454 | 0,000000000051 |
| 2865 | 2019 | 0,002875728 | 0,053626 | 0,013747 | 1,53E-07 | 0,889995 | 0,07717  | 0,001815 | 0,000000000024 |
| 2865 | 2018 | 0,002822656 | 0,053129 | 0,014821 | 0,001692 | 0,759284 | 0,057525 | 0,000422 | 0,000000000028 |
| 2870 | 2019 | 0,002205512 | 0,046963 | 0,003188 | 0,001106 | 0,023425 | 0,002686 | 0,000645 | 0,000000000004 |
| 2870 | 2018 | 0,002236552 | 0,047292 | 0,003482 | 0,000882 | 0,009453 | 0,001223 | 0,000665 | 0,000000000004 |
| 2876 | 2019 | 0,007467563 | 0,086415 | 0,181079 | 0,009369 | 0,097964 | 0,018638 | 0,012759 | 0,000000000049 |
| 2876 | 2018 | 0,007871946 | 0,088724 | 0,181065 | 0,009109 | 0,099522 | 0,017211 | 0,014332 | 0,000000000052 |
| 2876 | 2016 | 0,009015159 | 0,094948 | 0,148455 | 0,009322 | 0,093689 | 0,017018 | 0,013196 | 0,000000000064 |
| 2876 | 2015 | 0,007813283 | 0,088393 | 0,164748 | 0,010184 | 0,094006 | 0,026837 | 0,012187 | 0,000000000065 |
| 2881 | 2018 | 0,000358946 | 0,018946 | 0,041953 | 0,001691 | 0,607671 | 0,021077 | 0,000104 | 0,000000000029 |
| 2883 | 2019 | 0,00896499  | 0,094684 | 0,145171 | 0,011487 | 0,123073 | 0,016182 | 0,018968 | 0,000000000030 |
| 2883 | 2018 | 0,009414715 | 0,097029 | 0,15217  | 0,011995 | 0,108868 | 0,01636  | 0,018338 | 0,000000000032 |
| 2883 | 2017 | 0,007099799 | 0,08426  | 0,167092 | 0,012314 | 0,111141 | 0,016693 | 0,018534 | 0,000000000031 |
| 2883 | 2016 | 0,006936762 | 0,083287 | 0,179463 | 0,012758 | 0,112059 | 0,017478 | 0,01917  | 0,000000000033 |
| 2883 | 2015 | 0,00619644  | 0,078717 | 0,186307 | 0,012577 | 0,11044  | 0,028656 | 0,019362 | 0,000000000032 |
| 2883 | 2014 | 0,006517369 | 0,08073  | 0,189974 | 0,012489 | 0,108664 | 0,028484 | 0,018748 | 0,000000000030 |
| 2883 | 2013 | 0,004265701 | 0,065312 | 0,202474 | 0,012313 | 0,107999 | 0,015779 | 0,018145 | 0,000000000028 |

Continua...

...continuação

|      |      |             |          |          |          |          |          |          |                |
|------|------|-------------|----------|----------|----------|----------|----------|----------|----------------|
| 2884 | 2019 | 0,007896771 | 0,088864 | 0,081827 | 0,009349 | 0,210756 | 0,027173 | 0,031488 | 0,000000000052 |
| 2884 | 2018 | 0,012718077 | 0,112774 | 0,079641 | 0,008982 | 0,178343 | 0,025449 | 0,032136 | 0,000000000051 |
| 2884 | 2017 | 0,015577128 | 0,124808 | 0,085652 | 0,009048 | 0,175777 | 0,024479 | 0,03418  | 0,000000000049 |
| 2884 | 2016 | 0,012009758 | 0,109589 | 0,099484 | 0,009132 | 0,170706 | 0,025182 | 0,033017 | 0,000000000052 |
| 2884 | 2015 | 0,008943054 | 0,094568 | 0,098336 | 0,007798 | 0,159724 | 0,022818 | 0,031557 | 0,000000000057 |
| 2884 | 2012 | 0,007738586 | 0,087969 | 0,067385 | 0,006013 | 0,171497 | 0,026867 | 0,031959 | 0,000000000054 |
| 2894 | 2015 | 9,42131E-07 | 0,000971 | 0,01399  | 0        | 0,575123 | 0,04037  | 6,94E-05 | 0,000000000049 |
| 2894 | 2014 | 4,05209E-05 | 0,006366 | 0,01368  | 0        | 0,552835 | 0,032615 | 7,27E-05 | 0,000000000045 |
| 2898 | 2019 | 0,005367036 | 0,07326  | 0,015716 | 0,0043   | 0,14518  | 0,021735 | 0,009097 | 0,000000000030 |
| 2898 | 2018 | 0,004272876 | 0,065367 | 0,016803 | 0,003487 | 0,094843 | 0,013373 | 0,008502 | 0,000000000031 |
| 2898 | 2017 | 0,005836434 | 0,076397 | 0,017157 | 0,003989 | 0,100155 | 0,012059 | 0,010689 | 0,000000000032 |
| 2898 | 2016 | 0,00496723  | 0,070479 | 0,0155   | 0,00379  | 0,089832 | 0,011241 | 0,008821 | 0,000000000035 |
| 2898 | 2015 | 0,005263319 | 0,072549 | 0,013774 | 0,005222 | 0,084433 | 0,013248 | 0,008354 | 0,000000000035 |
| 2898 | 2014 | 0,004535581 | 0,067347 | 0,015704 | 0,008965 | 0,078227 | 0,014762 | 0,006745 | 0,000000000033 |
| 2898 | 2013 | 0,006324083 | 0,079524 | 0,017885 | 0,009603 | 0,097814 | 0,01631  | 0,00864  | 0,000000000031 |
| 2900 | 2014 | 0,000413026 | 0,020323 | 0,013716 | 0,001457 | 0,28147  | 0,030484 | 0,007092 | 0,000000000060 |
| 2910 | 2019 | 0,014072469 | 0,118627 | 0,019941 | 0,004128 | 0,172373 | 0,028708 | 0,021572 | 0,000000000013 |
| 2910 | 2018 | 0,014625453 | 0,120936 | 0,024403 | 0,004258 | 0,174618 | 0,031324 | 0,023799 | 0,000000000013 |
| 2910 | 2017 | 0,00703835  | 0,083895 | 0,027837 | 0,004259 | 0,18666  | 0,033692 | 0,02429  | 0,000000000013 |
| 2910 | 2014 | 0,002653942 | 0,051516 | 0,036279 | 0,004305 | 0,19551  | 0,033    | 0,02807  | 0,000000000012 |
| 2910 | 2013 | 0,004777556 | 0,06912  | 0,042358 | 0,00437  | 0,201128 | 0,031921 | 0,0241   | 0,000000000012 |
| 2911 | 2019 | 0,008957875 | 0,094646 | 0,027337 | 0,004999 | 0,193257 | 0,032363 | 0,031997 | 0,000000000018 |
| 2911 | 2018 | 0,007714092 | 0,08783  | 0,030099 | 0,006378 | 0,212775 | 0,032514 | 0,034258 | 0,000000000019 |
| 2911 | 2017 | 0,004954781 | 0,07039  | 0,032639 | 0,008413 | 0,236245 | 0,035307 | 0,040071 | 0,000000000019 |
| 2911 | 2016 | 0,002873581 | 0,053606 | 0,035579 | 0,008653 | 0,221382 | 0,023507 | 0,035777 | 0,000000000022 |
| 2911 | 2015 | 0,002835748 | 0,053252 | 0,037427 | 0,008602 | 0,224297 | 0,034929 | 0,040144 | 0,000000000023 |
| 2911 | 2014 | 0,001353755 | 0,036793 | 0,040291 | 0,008538 | 0,222161 | 0,022366 | 0,04296  | 0,000000000022 |
| 2911 | 2013 | 0,000615374 | 0,024807 | 0,048735 | 0,01479  | 0,227289 | 0,01798  | 0,044311 | 0,000000000019 |
| 2919 | 2019 | 0,003437426 | 0,05863  | 0,031507 | 0,004802 | 0,152541 | 0,024095 | 0,029619 | 0,000000000008 |
| 2919 | 2018 | 0,001974043 | 0,04443  | 0,03102  | 0,003796 | 0,141115 | 0,016096 | 0,027065 | 0,000000000008 |
| 2919 | 2017 | 0,000261218 | 0,016162 | 0,022978 | 0,003774 | 0,153403 | 0,018234 | 0,025924 | 0,000000000007 |
| 2919 | 2016 | 2,10509E-06 | -0,00145 | 0,023671 | 0,004055 | 0,151475 | 0,016284 | 0,0266   | 0,000000000009 |
| 2919 | 2015 | 0,000769485 | 0,02774  | 0,025558 | 0,004746 | 0,165308 | 0,018799 | 0,033396 | 0,000000000009 |
| 2919 | 2014 | 0,000992056 | 0,031497 | 0,028577 | 0,003987 | 0,167829 | 0,015728 | 0,03487  | 0,000000000009 |
| 2921 | 2019 | 0,000134312 | 0,011589 | 0,004027 | 0,000502 | 0,398471 | 0,014743 | 0,003029 | 0,000000000047 |
| 2921 | 2018 | 0,000295724 | -0,0172  | 0,002727 | 0,000699 | 0,366857 | 0,013436 | 0,002382 | 0,000000000045 |
| 2921 | 2017 | 1,53572E-07 | 0,000392 | 0,00247  | 0,001292 | 0,295572 | 0,014136 | 0,002087 | 0,000000000036 |
| 2921 | 2016 | 5,99684E-05 | 0,007744 | 0,014111 | 0,002173 | 0,376017 | 0,015998 | 0,001532 | 0,000000000024 |
| 2921 | 2015 | 0,000843278 | -0,02904 | 0,014708 | 0,001985 | 0,307715 | 0,017892 | 0,003571 | 0,000000000024 |
| 2921 | 2014 | 0,003695032 | -0,06079 | 0,015928 | 0,001758 | 0,300435 | 0,017156 | 0,004092 | 0,000000000021 |
| 2921 | 2013 | 0,000235677 | 0,015352 | 0,017112 | 0,001678 | 0,303575 | 0,016763 | 0,003504 | 0,000000000020 |
| 2923 | 2019 | 0,010162705 | 0,10081  | 0,026415 | 0,008433 | 0,213939 | 0,017424 | 0,024206 | 0,000000000024 |
| 2923 | 2017 | 0,011305151 | 0,106326 | 0,001718 | 0,000463 | 0,139598 | 0,015232 | 0,021113 | 0,000000000029 |
| 2923 | 2014 | 0,014571102 | 0,120711 | 0,003815 | 0,000831 | 0,112968 | 0,016619 | 0,021491 | 0,000000000038 |
| 2924 | 2015 | 0,000245373 | 0,015664 | 0,019946 | 0,001391 | 0,098015 | 0,021735 | 0,003053 | 0,000000000027 |
| 2927 | 2019 | 0,002186667 | 0,046762 | 0,128902 | 0,00929  | 0,10226  | 0,01071  | 0,006594 | 0,000000000025 |
| 2927 | 2018 | 0,001503686 | 0,038777 | 0,123666 | 0,008278 | 0,073515 | 0,009837 | 0,007005 | 0,000000000024 |
| 2927 | 2017 | 0,002013712 | 0,044874 | 0,122903 | 0,007628 | 0,065554 | 0,013925 | 0,006158 | 0,000000000020 |

Continua...

...continuação

|      |      |             |          |          |          |          |          |          |                 |
|------|------|-------------|----------|----------|----------|----------|----------|----------|-----------------|
| 2929 | 2019 | 0,000949254 | 0,03081  | 0,015396 | 0        | 0,005388 | 3,03E-05 | 0,000272 | 0,000000000014  |
| 2929 | 2018 | 0,001070865 | 0,032724 | 0,020511 | 0        | 0,005303 | 3,39E-05 | 3,81E-05 | 0,000000000014  |
| 2929 | 2017 | 0,001532272 | 0,039144 | 0,004236 | 0        | 0,00532  | 5,6E-05  | 8,86E-05 | 0,000000000019  |
| 2929 | 2016 | 0,00137447  | 0,037074 | 0,005646 | 0        | 0,005409 | 5,54E-05 | 0,000145 | 0,000000000023  |
| 2929 | 2015 | 0,001428365 | 0,037794 | 0,006433 | 0        | 0,005747 | 5,88E-05 | 0,00012  | 0,000000000024  |
| 2930 | 2019 | 0,003976536 | 0,06306  | 0,049741 | 0,00762  | 0,109686 | 0,013606 | 0,026461 | 0,000000000022  |
| 2930 | 2018 | 0,003219081 | 0,056737 | 0,059451 | 0,007708 | 0,09425  | 0,013181 | 0,02602  | 0,000000000023  |
| 2930 | 2017 | 0,003687482 | 0,060725 | 0,058575 | 0,008478 | 0,091884 | 0,018116 | 0,024469 | 0,000000000023  |
| 2930 | 2016 | 0,003287221 | 0,057334 | 0,049349 | 0,009098 | 0,117265 | 0,018963 | 0,023636 | 0,000000000025  |
| 2930 | 2015 | 0,008328991 | 0,091263 | 0,054201 | 0,009184 | 0,122365 | 0,017719 | 0,032609 | 0,000000000024  |
| 2930 | 2014 | 0,004148102 | 0,064406 | 0,058144 | 0,00977  | 0,121624 | 0,018312 | 0,032257 | 0,000000000022  |
| 2938 | 2019 | 0,009182965 | 0,095828 | 0,108217 | 0,003875 | 0,085698 | 0,015703 | 0,0153   | 0,000000000021  |
| 2938 | 2018 | 0,007487177 | 0,086528 | 0,114572 | 0,004099 | 0,059261 | 0,008939 | 0,014034 | 0,000000000021  |
| 2938 | 2017 | 0,00782036  | 0,088433 | 0,110065 | 0,003705 | 0,063221 | 0,010243 | 0,01272  | 0,000000000020  |
| 2938 | 2015 | 0,00602197  | 0,077601 | 0,10902  | 0,013519 | 0,062953 | 0,010069 | 0,013034 | 0,000000000021  |
| 2938 | 2014 | 0,006045417 | 0,077752 | 0,12556  | 0,006037 | 0,06825  | 0,00965  | 0,014067 | 0,000000000021  |
| 2938 | 2013 | 0,007070128 | 0,084084 | 0,115941 | 0,011139 | 0,070296 | 0,011031 | 0,013978 | 0,000000000020  |
| 2942 | 2018 | 0,005728776 | 0,075689 | 0,22865  | 0,008445 | 0,106407 | 0,01073  | 0,021304 | 0,000000000007  |
| 2942 | 2013 | 0,008904956 | 0,094366 | 0,171325 | 0,007837 | 0,097865 | 0,01159  | 0,025852 | 0,000000000011  |
| 2946 | 2015 | 0,004277279 | 0,065401 | 0,027961 | 0,002042 | 0,670451 | 0,12105  | 0,006446 | 0,000000000016  |
| 2946 | 2014 | 0,011752849 | 0,108411 | 0,038772 | 0        | 0,635122 | 0,099638 | 0,010877 | 0,000000000015  |
| 2946 | 2013 | 0,009790884 | 0,098949 | 0,060007 | 0,003955 | 0,574912 | 0,059277 | 0,015997 | 0,000000000014  |
| 2955 | 2019 | 0,011776193 | 0,108518 | 0,052164 | 0,032079 | 0,112275 | 0,015028 | 0,103316 | 0,000000000139  |
| 2966 | 2019 | 0,000379657 | 0,019485 | 0,018502 | 0,002561 | 0,11979  | 0,009491 | 0,00209  | 0,000000000025  |
| 2966 | 2018 | 0,000563748 | 0,023743 | 0,021539 | 0,004051 | 0,108114 | 0,005743 | 0,001678 | 0,000000000027  |
| 2966 | 2017 | 0,000386132 | 0,01965  | 0,027902 | 0,004817 | 0,111224 | 0,00576  | 0,00188  | 0,000000000022  |
| 2966 | 2016 | 9,9403E-06  | 0,003153 | 0,034812 | 0,005729 | 0,119396 | 0,005981 | 0,002651 | 0,000000000026  |
| 2966 | 2015 | 2,08673E-06 | 0,001445 | 0,069183 | 0        | 0,1998   | 0,010644 | 0,001492 | 0,000000000028  |
| 2968 | 2016 | 0,000697446 | 0,026409 | 0,064333 | 0,002345 | 0,172927 | 0,018677 | 0,010965 | 0,000000000022  |
| 2968 | 2015 | 0,000888024 | 0,0298   | 0,062226 | 0,002066 | 0,158481 | 0,015914 | 0,008053 | 0,000000000020  |
| 2977 | 2019 | 0,021558741 | 0,146829 | 0,006803 | 0,00216  | 0,335361 | 0,030261 | 0,00363  | 0,0000000000869 |
| 2977 | 2018 | 0,023605876 | 0,153642 | 0,007318 | 0,002253 | 0,353445 | 0,029017 | 0,007487 | 0,0000000000879 |
| 2977 | 2017 | 0,023317487 | 0,152701 | 0,009344 | 0,002359 | 0,393317 | 0,030937 | 0,006828 | 0,0000000000903 |
| 2981 | 2019 | 0,00488745  | 0,06991  | 0,253422 | 0,019305 | 0,04787  | 0,008786 | 0,030101 | 0,000000000057  |
| 2981 | 2018 | 0,010259543 | 0,101289 | 0,211594 | 0,011544 | 0,049226 | 0,010741 | 0,035401 | 0,000000000077  |
| 2987 | 2019 | 0,013291037 | 0,115287 | 0,079868 | 0,002441 | 0,299581 | 0,027706 | 0,000336 | 0,0000000000831 |
| 2992 | 2019 | 0,003543181 | 0,059525 | 0,108046 | 0,017653 | 0,070365 | 0,014893 | 0,059107 | 0,0000000000359 |
| 2992 | 2018 | 0,003230586 | 0,056838 | 0,130141 | 0,013694 | 0,05568  | 0,017285 | 0,061477 | 0,0000000000392 |
| 2993 | 2019 | 0,00149944  | 0,038723 | 0,001167 | 0,000355 | 0,010781 | 0,002123 | 9,99E-05 | 0,000000000011  |
| 3003 | 2019 | 0,051360015 | 0,226627 | 0,052978 | 0,010199 | 0,151223 | 0,037337 | 0,018819 | 0,0000000000235 |
| 3003 | 2018 | 0,045268371 | 0,212764 | 0,04966  | 0,011257 | 0,105528 | 0,02658  | 0,018566 | 0,0000000000252 |

Fonte: Elaborado pelo autor a partir de transcrição exata da base TRRE (2022)

Quadro 2: Amostra de empresas agrupadas por setor primário-secundário

| Empresas Primário-Secundário |     |     |     |     |     |      |      |      |  |
|------------------------------|-----|-----|-----|-----|-----|------|------|------|--|
| 5                            | 252 | 415 | 562 | 696 | 846 | 979  | 1191 | 1362 |  |
| 8                            | 255 | 418 | 563 | 697 | 847 | 994  | 1192 | 1368 |  |
| 9                            | 258 | 424 | 565 | 699 | 853 | 1007 | 1194 | 1369 |  |
| 10                           | 260 | 437 | 568 | 703 | 858 | 1009 | 1196 | 1370 |  |
| 25                           | 272 | 438 | 572 | 707 | 859 | 1011 | 1210 | 1371 |  |
| 28                           | 273 | 439 | 576 | 714 | 862 | 1020 | 1214 | 1372 |  |
| 31                           | 277 | 440 | 582 | 715 | 868 | 1021 | 1218 | 1377 |  |
| 32                           | 284 | 449 | 588 | 723 | 872 | 1022 | 1220 | 1378 |  |
| 46                           | 288 | 450 | 589 | 725 | 880 | 1034 | 1224 | 1384 |  |
| 48                           | 289 | 455 | 591 | 726 | 883 | 1051 | 1229 | 1389 |  |
| 70                           | 291 | 459 | 593 | 728 | 884 | 1056 | 1230 | 1391 |  |
| 74                           | 301 | 461 | 598 | 729 | 886 | 1061 | 1241 | 1397 |  |
| 77                           | 303 | 463 | 599 | 733 | 887 | 1071 | 1248 | 1405 |  |
| 81                           | 304 | 474 | 601 | 740 | 888 | 1080 | 1253 | 1407 |  |
| 82                           | 326 | 477 | 606 | 744 | 890 | 1081 | 1256 | 1409 |  |
| 94                           | 330 | 479 | 608 | 746 | 891 | 1083 | 1262 | 1410 |  |
| 95                           | 336 | 481 | 615 | 751 | 892 | 1084 | 1267 | 1416 |  |
| 98                           | 337 | 485 | 621 | 759 | 896 | 1086 | 1270 | 1419 |  |
| 138                          | 345 | 489 | 625 | 762 | 897 | 1089 | 1273 | 1421 |  |
| 163                          | 348 | 492 | 626 | 769 | 900 | 1094 | 1282 | 1428 |  |
| 168                          | 350 | 507 | 628 | 774 | 902 | 1099 | 1284 | 1429 |  |
| 169                          | 353 | 508 | 630 | 776 | 904 | 1108 | 1288 | 1435 |  |
| 171                          | 358 | 509 | 633 | 784 | 905 | 1111 | 1290 | 1437 |  |
| 173                          | 359 | 511 | 634 | 789 | 906 | 1115 | 1291 | 1438 |  |
| 206                          | 367 | 513 | 639 | 796 | 907 | 1120 | 1301 | 1439 |  |
| 210                          | 374 | 520 | 642 | 810 | 908 | 1122 | 1314 | 1442 |  |
| 211                          | 375 | 523 | 644 | 813 | 909 | 1124 | 1315 | 1443 |  |
| 213                          | 377 | 525 | 651 | 814 | 910 | 1131 | 1319 | 1450 |  |
| 214                          | 383 | 528 | 654 | 815 | 911 | 1132 | 1322 | 1451 |  |
| 215                          | 386 | 529 | 656 | 819 | 912 | 1138 | 1323 | 1454 |  |
| 227                          | 388 | 531 | 666 | 822 | 918 | 1146 | 1324 | 1460 |  |
| 230                          | 394 | 537 | 669 | 823 | 920 | 1151 | 1328 | 1466 |  |
| 238                          | 403 | 539 | 673 | 826 | 925 | 1157 | 1329 | 1468 |  |
| 239                          | 408 | 540 | 678 | 831 | 926 | 1162 | 1335 | 1471 |  |
| 242                          | 409 | 550 | 685 | 832 | 936 | 1165 | 1342 | 1473 |  |
| 245                          | 410 | 555 | 686 | 840 | 947 | 1181 | 1348 | 1475 |  |
| 248                          | 412 | 558 | 693 | 843 | 948 | 1189 | 1349 | 1478 |  |
| 250                          | 414 | 559 | 695 | 844 | 960 | 1190 | 1350 | 1482 |  |

Fonte: Elaborado pelo autor a partir de transcrição exata da base TRRE (2022)

Quadro 3: Amostra de empresas agrupadas por setor terciário

| Empresas Terciário |     |     |     |     |     |     |     |      |      |  |
|--------------------|-----|-----|-----|-----|-----|-----|-----|------|------|--|
| 2                  | 115 | 264 | 357 | 443 | 580 | 717 | 860 | 989  | 1131 |  |
| 4                  | 123 | 270 | 359 | 444 | 589 | 721 | 865 | 995  | 1135 |  |
| 5                  | 128 | 272 | 360 | 448 | 590 | 727 | 871 | 996  | 1136 |  |
| 6                  | 131 | 280 | 365 | 450 | 593 | 728 | 873 | 1002 | 1137 |  |
| 9                  | 144 | 281 | 366 | 451 | 594 | 729 | 877 | 1009 | 1145 |  |
| 16                 | 145 | 282 | 369 | 456 | 601 | 730 | 878 | 1010 | 1148 |  |
| 22                 | 146 | 283 | 373 | 460 | 604 | 732 | 880 | 1013 | 1151 |  |
| 23                 | 154 | 284 | 377 | 465 | 607 | 738 | 883 | 1017 | 1152 |  |
| 25                 | 159 | 285 | 378 | 467 | 611 | 743 | 888 | 1021 | 1158 |  |
| 26                 | 164 | 286 | 381 | 472 | 614 | 745 | 891 | 1025 | 1159 |  |
| 34                 | 166 | 290 | 382 | 474 | 616 | 747 | 896 | 1035 | 1179 |  |
| 38                 | 172 | 291 | 387 | 479 | 618 | 750 | 908 | 1037 | 1204 |  |
| 42                 | 186 | 295 | 391 | 482 | 619 | 759 | 910 | 1041 | 1206 |  |
| 44                 | 187 | 296 | 393 | 483 | 622 | 761 | 918 | 1046 | 1220 |  |
| 48                 | 189 | 297 | 398 | 498 | 627 | 773 | 920 | 1047 | 1223 |  |
| 52                 | 193 | 301 | 399 | 499 | 628 | 776 | 922 | 1052 | 1225 |  |
| 55                 | 199 | 305 | 404 | 506 | 630 | 777 | 924 | 1053 | 1226 |  |
| 60                 | 203 | 311 | 406 | 524 | 631 | 779 | 925 | 1054 | 1232 |  |
| 62                 | 204 | 314 | 408 | 528 | 632 | 780 | 931 | 1060 | 1249 |  |
| 66                 | 206 | 316 | 411 | 530 | 643 | 784 | 936 | 1062 | 1250 |  |
| 68                 | 208 | 317 | 414 | 532 | 645 | 790 | 938 | 1066 | 1252 |  |
| 69                 | 209 | 320 | 415 | 535 | 650 | 791 | 942 | 1067 | 1255 |  |
| 73                 | 213 | 322 | 417 | 536 | 655 | 808 | 944 | 1072 | 1263 |  |
| 81                 | 218 | 323 | 423 | 541 | 656 | 810 | 948 | 1073 | 1264 |  |
| 86                 | 236 | 330 | 425 | 543 | 668 | 815 | 949 | 1074 | 1273 |  |
| 88                 | 241 | 331 | 429 | 546 | 675 | 819 | 950 | 1082 | 1274 |  |
| 91                 | 242 | 332 | 431 | 550 | 676 | 822 | 951 | 1083 | 1282 |  |
| 92                 | 244 | 333 | 432 | 556 | 678 | 831 | 956 | 1086 | 1377 |  |
| 98                 | 245 | 341 | 436 | 567 | 679 | 835 | 967 | 1089 | 1423 |  |
| 99                 | 246 | 343 | 437 | 570 | 682 | 837 | 969 | 1101 | 1438 |  |
| 102                | 247 | 346 | 438 | 571 | 685 | 839 | 970 | 1121 | 1446 |  |
| 103                | 248 | 349 | 440 | 572 | 686 | 840 | 981 | 1125 | 1469 |  |
| 110                | 251 | 350 | 441 | 575 | 689 | 855 | 984 | 1127 | 1487 |  |
| 113                | 256 | 353 | 442 | 579 | 697 | 857 | 986 | 1130 | 1515 |  |

Fonte: Elaborado pelo autor a partir de transcrição exata da base TRRE (2022)

Quadro 4: Amostra de empresas agrupadas por país desenvolvido

| Empresas Países Desenvolvidos |     |     |     |     |      |      |      |      |      |
|-------------------------------|-----|-----|-----|-----|------|------|------|------|------|
| 4                             | 255 | 431 | 602 | 800 | 945  | 1089 | 1267 | 1446 | 1817 |
| 7                             | 262 | 439 | 603 | 804 | 947  | 1091 | 1274 | 1449 | 1819 |
| 8                             | 267 | 440 | 604 | 805 | 948  | 1095 | 1276 | 1452 | 1833 |
| 9                             | 268 | 444 | 605 | 807 | 949  | 1099 | 1278 | 1457 | 1834 |
| 21                            | 269 | 446 | 610 | 808 | 950  | 1100 | 1279 | 1473 | 1836 |
| 24                            | 271 | 447 | 612 | 827 | 951  | 1106 | 1289 | 1494 | 1838 |
| 27                            | 272 | 448 | 616 | 829 | 952  | 1112 | 1293 | 1496 | 1839 |
| 38                            | 274 | 449 | 621 | 830 | 953  | 1113 | 1294 | 1505 | 1850 |
| 40                            | 278 | 454 | 628 | 831 | 954  | 1117 | 1295 | 1508 | 1861 |
| 56                            | 289 | 462 | 629 | 836 | 957  | 1118 | 1299 | 1512 | 1863 |
| 61                            | 290 | 464 | 638 | 844 | 958  | 1120 | 1302 | 1523 | 1868 |
| 64                            | 291 | 465 | 652 | 850 | 962  | 1137 | 1304 | 1524 | 1869 |
| 72                            | 295 | 466 | 665 | 851 | 965  | 1140 | 1311 | 1537 | 1870 |
| 73                            | 298 | 467 | 674 | 852 | 969  | 1146 | 1313 | 1542 | 1875 |
| 75                            | 302 | 468 | 676 | 853 | 974  | 1149 | 1315 | 1560 | 1883 |
| 102                           | 304 | 474 | 677 | 854 | 976  | 1151 | 1322 | 1593 | 1895 |
| 120                           | 313 | 479 | 678 | 858 | 979  | 1153 | 1323 | 1598 | 1913 |
| 121                           | 315 | 487 | 679 | 860 | 991  | 1156 | 1326 | 1609 | 1915 |
| 124                           | 316 | 489 | 682 | 861 | 992  | 1164 | 1332 | 1622 | 1916 |
| 142                           | 321 | 501 | 690 | 862 | 996  | 1170 | 1333 | 1624 | 1924 |
| 143                           | 324 | 506 | 691 | 864 | 1009 | 1172 | 1336 | 1627 | 1927 |
| 144                           | 331 | 514 | 692 | 871 | 1013 | 1173 | 1339 | 1628 | 1939 |
| 151                           | 332 | 525 | 693 | 872 | 1014 | 1175 | 1342 | 1637 | 1941 |
| 158                           | 334 | 528 | 697 | 873 | 1015 | 1176 | 1351 | 1642 | 1957 |
| 159                           | 337 | 529 | 701 | 876 | 1019 | 1180 | 1352 | 1652 | 1960 |
| 161                           | 339 | 530 | 704 | 882 | 1021 | 1184 | 1356 | 1654 | 1961 |
| 164                           | 340 | 534 | 716 | 883 | 1025 | 1185 | 1359 | 1660 | 1970 |
| 166                           | 342 | 537 | 718 | 884 | 1029 | 1199 | 1363 | 1662 | 1974 |
| 167                           | 349 | 539 | 723 | 885 | 1036 | 1201 | 1364 | 1665 | 1976 |
| 171                           | 350 | 544 | 724 | 890 | 1038 | 1205 | 1370 | 1669 | 1984 |
| 178                           | 355 | 545 | 731 | 892 | 1041 | 1208 | 1372 | 1684 | 1985 |
| 179                           | 362 | 552 | 734 | 893 | 1045 | 1209 | 1376 | 1691 | 1991 |
| 182                           | 365 | 554 | 735 | 897 | 1046 | 1215 | 1377 | 1704 | 1993 |
| 188                           | 366 | 555 | 737 | 901 | 1051 | 1218 | 1381 | 1707 | 1994 |
| 189                           | 369 | 561 | 738 | 904 | 1052 | 1220 | 1382 | 1724 | 1997 |
| 191                           | 373 | 565 | 743 | 908 | 1053 | 1221 | 1383 | 1734 | 1999 |
| 198                           | 378 | 568 | 744 | 911 | 1054 | 1222 | 1391 | 1735 | 2000 |
| 200                           | 380 | 574 | 750 | 912 | 1060 | 1230 | 1394 | 1738 | 2006 |
| 201                           | 382 | 578 | 753 | 917 | 1063 | 1232 | 1397 | 1752 | 2007 |
| 216                           | 387 | 586 | 762 | 919 | 1066 | 1234 | 1406 | 1756 | 2010 |
| 222                           | 388 | 588 | 766 | 920 | 1069 | 1236 | 1422 | 1759 | 2015 |
| 228                           | 392 | 589 | 778 | 925 | 1070 | 1242 | 1426 | 1771 | 2026 |
| 231                           | 394 | 591 | 781 | 926 | 1071 | 1243 | 1428 | 1772 | 2035 |
| 232                           | 400 | 594 | 784 | 928 | 1076 | 1246 | 1431 | 1783 | 2038 |
| 234                           | 405 | 595 | 786 | 929 | 1077 | 1248 | 1432 | 1792 | 2041 |
| 238                           | 411 | 598 | 794 | 931 | 1078 | 1250 | 1436 | 1797 | 2049 |
| 243                           | 412 | 600 | 795 | 935 | 1079 | 1254 | 1437 | 1803 |      |
| 250                           | 416 | 601 | 796 | 942 | 1080 | 1256 | 1438 | 1809 |      |

Fonte: Elaborado pelo autor a partir de transcrição exata da base TRRE (2022)

Quadro 5: Amostra de empresas agrupadas por país em desenvolvimento

| Empresas Países Em Desenvolvimento |     |     |     |     |     |     |     |
|------------------------------------|-----|-----|-----|-----|-----|-----|-----|
| 5                                  | 167 | 256 | 353 | 452 | 554 | 700 | 837 |
| 16                                 | 177 | 257 | 355 | 455 | 558 | 702 | 843 |
| 18                                 | 178 | 267 | 358 | 457 | 560 | 710 | 861 |
| 46                                 | 187 | 270 | 366 | 462 | 574 | 712 | 876 |
| 49                                 | 188 | 274 | 367 | 467 | 575 | 726 | 878 |
| 65                                 | 190 | 275 | 371 | 469 | 578 | 727 | 885 |
| 70                                 | 196 | 280 | 374 | 472 | 582 | 737 | 891 |
| 71                                 | 197 | 286 | 380 | 473 | 592 | 739 | 896 |
| 77                                 | 199 | 290 | 381 | 475 | 598 | 742 | 897 |
| 84                                 | 202 | 291 | 382 | 478 | 599 | 743 | 898 |
| 86                                 | 205 | 294 | 394 | 479 | 600 | 747 | 901 |
| 88                                 | 211 | 297 | 409 | 488 | 601 | 755 | 903 |
| 99                                 | 212 | 298 | 410 | 490 | 607 | 758 | 906 |
| 114                                | 218 | 299 | 413 | 492 | 642 | 759 | 907 |
| 115                                | 219 | 300 | 416 | 493 | 646 | 762 | 911 |
| 121                                | 221 | 301 | 423 | 499 | 652 | 769 | 916 |
| 126                                | 222 | 304 | 425 | 500 | 655 | 779 | 917 |
| 127                                | 225 | 305 | 426 | 503 | 660 | 781 | 922 |
| 130                                | 227 | 306 | 427 | 508 | 662 | 792 | 929 |
| 133                                | 229 | 307 | 428 | 512 | 663 | 803 | 942 |
| 137                                | 232 | 310 | 433 | 513 | 665 | 806 | 945 |
| 143                                | 234 | 335 | 437 | 527 | 666 | 811 | 952 |
| 149                                | 238 | 341 | 441 | 531 | 676 | 827 |     |
| 155                                | 240 | 349 | 442 | 534 | 683 | 828 |     |
| 158                                | 244 | 350 | 443 | 543 | 690 | 829 |     |
| 165                                | 252 | 351 | 448 | 544 | 698 | 835 |     |

Fonte: Elaborado pelo autor a partir de transcrição exata da base TRRE (2022)

Quadro 6: Amostra de empresas agrupadas por ciclo de vida introdução-crescimento

| Empresas Ciclo de Vida Introdução-Crescimento |      |      |      |      |
|---|------|------|------|------|
| 80  | 1081 | 1600 | 2102 | 2580 |
| 144   | 1118 | 1616 | 2103 | 2588 |
| 157   | 1180 | 1644 | 2146 | 2602 |
| 330   | 1200 | 1645 | 2157 | 2603 |
| 536   | 1229 | 1649 | 2176 | 2625 |
| 544   | 1308 | 1660 | 2199 | 2634 |
| 558   | 1321 | 1723 | 2210 | 2639 |
| 560   | 1333 | 1728 | 2216 | 2647 |
| 575   | 1341 | 1731 | 2278 | 2665 |
| 633   | 1347 | 1771 | 2282 | 2683 |
| 639   | 1352 | 1781 | 2301 | 2692 |
| 655   | 1357 | 1809 | 2309 | 2702 |
| 784   | 1360 | 1811 | 2362 | 2705 |
| 806   | 1404 | 1852 | 2421 | 2719 |
| 875   | 1410 | 1874 | 2436 | 2742 |
| 890   | 1434 | 1919 | 2438 | 2826 |
| 891   | 1507 | 1948 | 2445 | 2867 |
| 936   | 1515 | 1949 | 2466 | 2874 |
| 952   | 1529 | 1976 | 2477 | 2897 |
| 954   | 1537 | 1991 | 2498 | 2915 |
| 962   | 1549 | 1993 | 2506 | 300  |
| 967   | 1552 | 2035 | 2508 | 425  |
| 978   | 1557 | 2040 | 2509 | 829  |
| 991   | 1565 | 2049 | 2515 | 986  |
| 1003  | 1570 | 2054 | 2552 | 1131 |
| 1037  | 1590 | 2078 | 2556 | 1708 |
| 1071  | 1597 | 2081 | 2568 | 1721 |

Fonte: Elaborado pelo autor a partir de transcrição exata da base TRRE (2022)

Quadro 7: Amostra de empresas agrupadas por ciclo de vida maturidade

| Empresas Ciclo de Vida Maturidade |     |     |      |      |      |      |      |      |      |      |      |
|-----------------------------------|-----|-----|------|------|------|------|------|------|------|------|------|
| 8                                 | 387 | 653 | 916  | 1138 | 1399 | 1616 | 1836 | 2078 | 2286 | 2495 | 2687 |
| 10                                | 414 | 655 | 920  | 1145 | 1401 | 1624 | 1840 | 2081 | 2299 | 2498 | 2690 |
| 11                                | 420 | 668 | 934  | 1146 | 1410 | 1628 | 1847 | 2082 | 2301 | 2499 | 2692 |
| 14                                | 421 | 669 | 936  | 1149 | 1424 | 1631 | 1851 | 2084 | 2306 | 2503 | 2696 |
| 23                                | 425 | 693 | 937  | 1151 | 1429 | 1642 | 1852 | 2091 | 2309 | 2506 | 2697 |
| 24                                | 428 | 694 | 950  | 1157 | 1431 | 1644 | 1860 | 2099 | 2310 | 2508 | 2702 |
| 25                                | 434 | 701 | 952  | 1160 | 1434 | 1645 | 1861 | 2102 | 2320 | 2509 | 2703 |
| 37                                | 435 | 708 | 954  | 1163 | 1439 | 1649 | 1873 | 2103 | 2322 | 2515 | 2704 |
| 46                                | 436 | 722 | 955  | 1167 | 1447 | 1653 | 1880 | 2106 | 2324 | 2516 | 2705 |
| 50                                | 449 | 724 | 959  | 1180 | 1449 | 1658 | 1882 | 2111 | 2339 | 2530 | 2706 |
| 74                                | 453 | 725 | 962  | 1183 | 1455 | 1659 | 1888 | 2113 | 2341 | 2536 | 2708 |
| 80                                | 455 | 728 | 967  | 1184 | 1458 | 1660 | 1891 | 2114 | 2343 | 2544 | 2709 |
| 83                                | 459 | 729 | 969  | 1198 | 1460 | 1668 | 1892 | 2123 | 2349 | 2547 | 2710 |
| 88                                | 469 | 734 | 970  | 1200 | 1464 | 1674 | 1894 | 2128 | 2352 | 2552 | 2711 |
| 92                                | 472 | 737 | 972  | 1202 | 1467 | 1677 | 1897 | 2138 | 2358 | 2556 | 2712 |
| 94                                | 474 | 738 | 978  | 1211 | 1480 | 1683 | 1898 | 2141 | 2359 | 2566 | 2719 |
| 102                               | 479 | 742 | 981  | 1229 | 1487 | 1697 | 1901 | 2146 | 2360 | 2567 | 2721 |
| 109                               | 495 | 743 | 986  | 1235 | 1489 | 1700 | 1906 | 2149 | 2361 | 2568 | 2723 |
| 121                               | 498 | 766 | 988  | 1237 | 1494 | 1702 | 1907 | 2151 | 2362 | 2570 | 2729 |
| 144                               | 517 | 767 | 990  | 1238 | 1496 | 1705 | 1919 | 2157 | 2373 | 2580 | 2732 |
| 145                               | 523 | 768 | 995  | 1246 | 1507 | 1708 | 1923 | 2172 | 2376 | 2582 | 2733 |
| 154                               | 544 | 776 | 1003 | 1253 | 1511 | 1715 | 1926 | 2173 | 2385 | 2584 | 2736 |
| 157                               | 547 | 784 | 1006 | 1260 | 1515 | 1721 | 1930 | 2175 | 2387 | 2587 | 2741 |
| 173                               | 551 | 788 | 1008 | 1263 | 1519 | 1722 | 1937 | 2176 | 2399 | 2588 | 2742 |
| 195                               | 552 | 790 | 1018 | 1283 | 1527 | 1723 | 1942 | 2184 | 2405 | 2594 | 2743 |
| 199                               | 554 | 796 | 1023 | 1284 | 1529 | 1725 | 1948 | 2190 | 2406 | 2596 | 2761 |
| 208                               | 555 | 798 | 1027 | 1297 | 1537 | 1728 | 1949 | 2196 | 2418 | 2602 | 2764 |
| 210                               | 557 | 805 | 1037 | 1300 | 1541 | 1733 | 1951 | 2198 | 2421 | 2603 | 2793 |
| 223                               | 558 | 806 | 1042 | 1301 | 1549 | 1734 | 1957 | 2199 | 2427 | 2609 | 2812 |
| 225                               | 559 | 807 | 1045 | 1308 | 1552 | 1737 | 1958 | 2200 | 2428 | 2610 | 2824 |
| 230                               | 560 | 829 | 1049 | 1310 | 1557 | 1739 | 1963 | 2203 | 2429 | 2616 | 2827 |
| 232                               | 570 | 832 | 1051 | 1311 | 1560 | 1742 | 1964 | 2208 | 2433 | 2624 | 2862 |
| 244                               | 571 | 835 | 1059 | 1315 | 1565 | 1753 | 1967 | 2209 | 2436 | 2625 | 2863 |
| 245                               | 575 | 838 | 1062 | 1321 | 1566 | 1760 | 1974 | 2210 | 2438 | 2628 | 2871 |
| 255                               | 576 | 840 | 1065 | 1323 | 1570 | 1763 | 1982 | 2213 | 2442 | 2630 | 2874 |
| 261                               | 588 | 847 | 1070 | 1329 | 1576 | 1766 | 1985 | 2216 | 2444 | 2633 | 2879 |
| 273                               | 591 | 852 | 1071 | 1333 | 1586 | 1771 | 1987 | 2220 | 2445 | 2634 | 2897 |
| 277                               | 601 | 856 | 1076 | 1336 | 1588 | 1798 | 1991 | 2223 | 2452 | 2639 | 2911 |
| 300                               | 607 | 857 | 1079 | 1338 | 1590 | 1800 | 1993 | 2229 | 2459 | 2646 | 2935 |
| 306                               | 608 | 861 | 1081 | 1341 | 1591 | 1803 | 2001 | 2239 | 2462 | 2647 | 2950 |
| 307                               | 612 | 873 | 1082 | 1344 | 1592 | 1809 | 2032 | 2242 | 2464 | 2651 | 2952 |
| 308                               | 633 | 875 | 1097 | 1352 | 1593 | 1811 | 2035 | 2252 | 2466 | 2652 | 2976 |
| 314                               | 634 | 890 | 1100 | 1360 | 1594 | 1816 | 2040 | 2255 | 2474 | 2653 | 2992 |
| 326                               | 638 | 891 | 1105 | 1363 | 1597 | 1819 | 2048 | 2257 | 2475 | 2657 |      |
| 330                               | 639 | 895 | 1112 | 1369 | 1600 | 1823 | 2049 | 2263 | 2477 | 2658 |      |
| 340                               | 640 | 896 | 1117 | 1379 | 1602 | 1824 | 2054 | 2277 | 2479 | 2665 |      |
| 365                               | 646 | 899 | 1125 | 1395 | 1608 | 1826 | 2058 | 2278 | 2485 | 2672 |      |
| 377                               | 651 | 914 | 1131 | 1396 | 1613 | 1830 | 2062 | 2282 | 2491 | 2683 |      |

Fonte: Elaborado pelo autor a partir de transcrição exata da base TRRE (2022)

Quadro 8: Amostra de empresas agrupadas por ciclo de vida turbulência-declínio

| Empresas Ciclo de Vida Turbulência-Declínio |     |      |      |      |      |      |      |      |      |
|---|-----|------|------|------|------|------|------|------|------|
|   |     |      |      |      |      |      |      |      |      |
| 8   | 443 | 790  | 1059 | 1360 | 1608 | 1858 | 2172 | 2406 | 2672 |
| 9   | 449 | 799  | 1060 | 1363 | 1613 | 1860 | 2173 | 2418 | 2683 |
| 19  | 453 | 805  | 1066 | 1369 | 1624 | 1880 | 2175 | 2428 | 2687 |
| 24  | 455 | 820  | 1070 | 1379 | 1631 | 1888 | 2184 | 2429 | 2695 |
| 25  | 456 | 823  | 1071 | 1399 | 1634 | 1891 | 2190 | 2436 | 2696 |
| 55  | 472 | 829  | 1076 | 1402 | 1645 | 1892 | 2196 | 2438 | 2697 |
| 73  | 495 | 835  | 1082 | 1404 | 1653 | 1894 | 2199 | 2445 | 2705 |
| 86  | 517 | 847  | 1097 | 1410 | 1660 | 1919 | 2200 | 2449 | 2706 |
| 88  | 536 | 853  | 1112 | 1423 | 1668 | 1923 | 2205 | 2452 | 2708 |
| 91  | 554 | 856  | 1117 | 1424 | 1702 | 1943 | 2208 | 2466 | 2712 |
| 93  | 555 | 866  | 1125 | 1429 | 1705 | 1948 | 2220 | 2477 | 2721 |
| 94  | 558 | 869  | 1131 | 1433 | 1708 | 1949 | 2223 | 2485 | 2729 |
| 96  | 565 | 873  | 1149 | 1434 | 1721 | 1951 | 2242 | 2499 | 2736 |
| 138   | 570 | 890  | 1151 | 1449 | 1722 | 1963 | 2255 | 2503 | 2743 |
| 139   | 575 | 895  | 1163 | 1451 | 1723 | 1976 | 2257 | 2508 | 2761 |
| 141   | 612 | 899  | 1167 | 1453 | 1725 | 1982 | 2263 | 2513 | 2772 |
| 144   | 624 | 914  | 1183 | 1455 | 1731 | 1987 | 2278 | 2521 | 2824 |
| 150   | 632 | 922  | 1197 | 1458 | 1737 | 2001 | 2282 | 2537 | 2830 |
| 154   | 637 | 936  | 1229 | 1460 | 1739 | 2028 | 2286 | 2544 | 2860 |
| 157   | 638 | 950  | 1238 | 1489 | 1742 | 2029 | 2288 | 2566 | 2863 |
| 173   | 646 | 952  | 1260 | 1494 | 1753 | 2032 | 2299 | 2567 | 2867 |
| 223   | 651 | 955  | 1263 | 1507 | 1766 | 2035 | 2304 | 2570 | 2871 |
| 224   | 655 | 959  | 1283 | 1511 | 1771 | 2040 | 2306 | 2584 | 2874 |
| 230   | 670 | 969  | 1284 | 1519 | 1781 | 2048 | 2308 | 2588 | 2879 |
| 245   | 679 | 970  | 1297 | 1527 | 1798 | 2049 | 2320 | 2596 | 2911 |
| 250   | 693 | 979  | 1301 | 1529 | 1800 | 2054 | 2324 | 2609 | 2913 |
| 268   | 714 | 981  | 1308 | 1547 | 1812 | 2058 | 2339 | 2610 | 2915 |
| 300   | 722 | 988  | 1310 | 1557 | 1816 | 2078 | 2341 | 2616 | 2922 |
| 304   | 724 | 990  | 1311 | 1560 | 1823 | 2084 | 2343 | 2624 | 2925 |
| 308   | 732 | 995  | 1315 | 1566 | 1824 | 2091 | 2349 | 2625 | 2941 |
| 314   | 734 | 1003 | 1321 | 1588 | 1826 | 2103 | 2352 | 2628 | 2944 |
| 326   | 738 | 1006 | 1329 | 1590 | 1836 | 2111 | 2361 | 2630 | 2953 |
| 368   | 742 | 1023 | 1336 | 1592 | 1840 | 2141 | 2376 | 2633 | 2973 |
| 387   | 769 | 1042 | 1338 | 1595 | 1843 | 2149 | 2387 | 2639 | 2985 |
| 425   | 784 | 1045 | 1341 | 1597 | 1847 | 2151 | 2399 | 2647 | 3002 |
| 434   | 788 | 1049 | 1352 | 1600 | 1851 | 2159 | 2405 | 2653 | 3020 |

Fonte: Elaborado pelo autor a partir de transcrição exata da base TRRE (2022)